

การวิเคราะห์การแพร่กระจายของลำแสงในท่อนำคลื่นแสงแบบแอนไอโซทรอปิกด้วยวิธีไฟไนต์อีลีเมนต์



นาย สุรพัทธ์ เจริญยิ่ง

สถาบันวิทยบริการ

จุฬาลงกรณ์มหาวิทยาลัย

วิทยานิพนธ์นี้เป็นส่วนหนึ่งของการศึกษาตามหลักสูตรปริญญาวิศวกรรมศาสตรมหาบัณฑิต

สาขาวิชาวิศวกรรมไฟฟ้า ภาควิชาวิศวกรรมไฟฟ้า

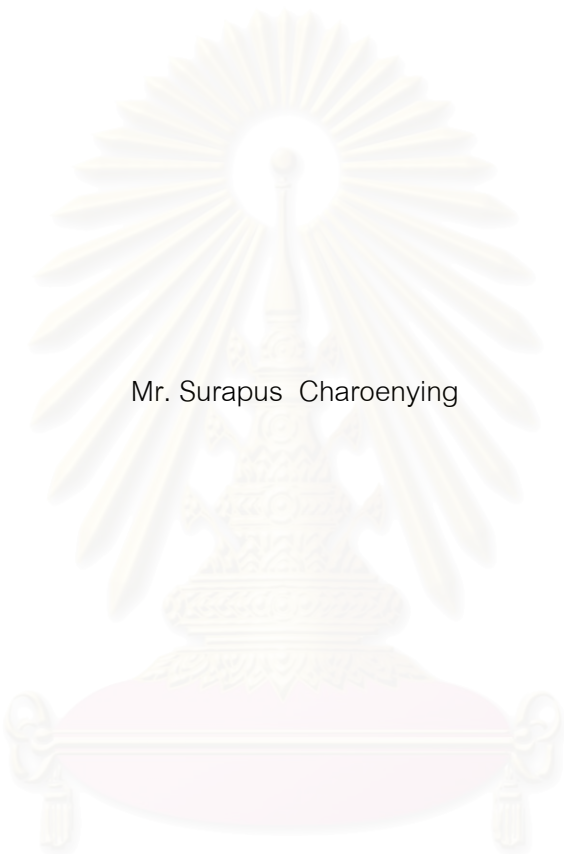
คณะวิศวกรรมศาสตร์ จุฬาลงกรณ์มหาวิทยาลัย

ปีการศึกษา 2544

ISBN 974-03-1656-5

ลิขสิทธิ์ของจุฬาลงกรณ์มหาวิทยาลัย

ANALYSIS OF OPTICAL BEAM PROPAGATION IN AN ANISOTROPIC OPTICAL  
WAVEGUIDE BY THE FINITE ELEMENT METHOD



Mr. Surapus Charoenying

สถาบันวิทยบริการ  
จุฬาลงกรณ์มหาวิทยาลัย

A Thesis Submitted in Partial Fulfillment of the Requirements  
for the Degree of Master of Engineering in Electrical Engineering

Department of Electrical Engineering

Faculty of Engineering

Chulalongkorn University

Academic Year 2001

ISBN 974-03-1656-5

หัวข้อวิทยานิพนธ์

การวิเคราะห์การแพร่กระจายของลำแสงในพื่อนำคลื่นแสงแบบแอนไอโซทรอปิกด้วยวิธีไฟไนต์อีลีเมนต์

โดย

นาย สุรพัชร์ เจริญยิ่ง

สาขาวิชา

วิศวกรรมไฟฟ้า

อาจารย์ที่ปรึกษา

ผู้ช่วยศาสตราจารย์ ดร. ทับทิม อ่างแก้ว

คณะวิศวกรรมศาสตร์ จุฬาลงกรณ์มหาวิทยาลัย อนุมัติให้หัวข้อวิทยานิพนธ์ฉบับนี้เป็นส่วนหนึ่งของการศึกษาตามหลักสูตรปริญญาโทบริหารธุรกิจ

.....คณบดีคณะวิศวกรรมศาสตร์  
(ศาสตราจารย์ ดร. สมศักดิ์ ปัญญาแก้ว)

คณะกรรมการสอบวิทยานิพนธ์

.....ประธานกรรมการ  
(ศาสตราจารย์ ดร. สมศักดิ์ ปัญญาแก้ว)

.....อาจารย์ที่ปรึกษา  
(ผู้ช่วยศาสตราจารย์ ดร. ทับทิม อ่างแก้ว)

.....กรรมการ  
(รองศาสตราจารย์ ดร. ฉัตรชัย ไวยภาพฒนกร)

สถาบันวิทยบริการ  
จุฬาลงกรณ์มหาวิทยาลัย

สุรพัทธ์ เจริญยิ่ง: การวิเคราะห์การแพร่กระจายของลำแสงในท่อนำคลื่นแสงแบบแอนไอโซทรอปิกด้วยวิธีไฟไนต์อีลีเมนต์. (ANALYSIS OF OPTICAL BEAM PROPAGATION IN AN ANISOTROPIC OPTICAL WAVEGUIDE BY THE FINITE ELEMENT METHOD)  
 อ. ที่ปรึกษา : ผู้ช่วยศาสตราจารย์ ดร. ทับทิม อ่างแก้ว, 163 หน้า. ISBN 974-03-1656-5.

วิทยานิพนธ์นี้นำเสนอวิธีวิเคราะห์การแพร่กระจายของคลื่นแสงในท่อนำคลื่นแสงด้วยวิธีไฟไนต์อีลีเมนต์ปริมพรอพาเกชัน (Finite Element Beam Propagation Method) โดยผู้เขียนวิทยานิพนธ์ประยุกต์ใช้อัลกอริทึมนิวมาร์ก (Newmark Method) ที่มีการใช้งานอย่างแพร่หลายในวิธีไฟไนต์อีลีเมนต์โดเมนเวลาในงานปริมพรอพาเกชันโดยได้ศึกษาในกรณีที่มีการเคลื่อนที่ในรูปสมการสเกลาร์และรูปเวกเตอร์ เพื่อวิเคราะห์ท่อนำคลื่นที่ทำจากวัสดุแอนไอโซทรอปิก นอกจากนี้ยังได้ศึกษาถึงการใส่เงื่อนไขขอบเขตแบบ PML และแบบโปร่งใสเพื่อลดบริเวณที่ใช้ในการคำนวณสำหรับอัลกอริทึมนิวมาร์ก

ผลการคำนวณในกรณีตัวอย่างได้มีการนำมาเปรียบเทียบกับผลที่ได้จากวิธีไฟไนต์อีลีเมนต์ หรือ ผลที่ได้จากการคำนวณด้วยวิธีไฟไนต์อีลีเมนต์ปริมพรอพาเกชันซึ่งใช้การประมาณแบบปาเด (Pade Approximation) ของผู้วิจัยอื่น พบว่าอัลกอริทึมแบบนิวมาร์กสามารถใช้งานในวิธีไฟไนต์อีลีเมนต์-ปริมพรอพาเกชันได้เป็นอย่างดีโดยมีข้อดีกว่าวิธีปาเด คือ 1.สามารถจัดรูปสมการได้ง่ายกว่า 2. มีพารามิเตอร์ในการปรับแต่งค่า 2 ตัวคือ  $\beta$  และ  $\gamma$  จึงทำให้อยู่ในรูปทั่วไปที่ง่ายกว่า

สถาบันวิทยบริการ  
 จุฬาลงกรณ์มหาวิทยาลัย

ภาควิชา.....วิศวกรรมไฟฟ้า..... ลายมือชื่อนิสิต.....  
 สาขาวิชา.....วิศวกรรมไฟฟ้า..... ลายมือชื่ออาจารย์ที่ปรึกษา.....  
 ปีการศึกษา.....2544.....

## 4170602521 : MAJOR ELECTRICAL ENGINEERING

KEY WORD: FEBPM / BPM / FEM / PADE APPROXIMATION / VECTOR EQUATION / NEWMARK METHOD  
/ TBC / PML / ANISOTROPIC

SURAPUS CHAROENYING : ANALYSIS OF OPTICAL BEAM PROPAGATION IN AN  
ANISOTROPIC OPTICAL WAVEGUIDE BY THE FINITE ELEMENT METHOD. THESIS  
ADVISOR : ASSIST. PROF. TUPTIM ANGKAEW. Ph.D., 163 pp. ISBN 974-03-1656-5.

This thesis presents the finite element beam propagation analysis method for anisotropic optical waveguides. The Newmark algorithm is introduced in this thesis to replace the conventional Pade algorithm. Use of the Newmark algorithm in FE-BPM has been verified in various cases such as in scalar and vector equations. In addition, the use of the transparent boundary condition and the perfectly matched layer have been studied in conjunction with the FE-BPM based on Newmark algorithm.

Computational results of the presented method have been compared with results from previously published data for which the Pade' approximation was used. The advantage of this algorithm includes: the formulation is easy to manipulate, and the algorithm can be adjusted by using two parameters.

สถาบันวิทยบริการ  
จุฬาลงกรณ์มหาวิทยาลัย

Department.....Electrical Engineering..... Student's signature .....

Field of study.....Electrical Engineering..... Advisor's signature .....

Academic year ..2001.....

## กิตติกรรมประกาศ

วิทยานิพนธ์ฉบับนี้สำเร็จลุล่วงไปได้ ผู้วิจัยขอกราบขอบพระคุณ ผู้ช่วยศาสตราจารย์ ดร.ทับทิม อ่างแก้ว อาจารย์ที่ปรึกษาวิทยานิพนธ์ ที่ได้ให้คำแนะนำในการวิจัย แนวทางการวิจัยตลอดจนให้คำปรึกษา ข้อคิดเห็นต่างๆในการวิจัยและจัดหาอุปกรณ์การดำเนินการวิจัยอย่างครบถ้วน

ขอขอบคุณ อาจารย์สุวิทย์ นาคพิระยุทธ ที่ได้สละเวลาให้คำแนะนำในวิทยานิพนธ์นี้, ขอขอบคุณ Dr. Yasuhide Tsuji ที่กรุณาตอบคำถามและข้อสงสัยในงานวิทยานิพนธ์นี้, ขอขอบคุณ นายปราโมทย์ งามอิสระกุล ที่ได้สละเวลาให้คำแนะนำในงานวิทยานิพนธ์นี้, ขอขอบคุณ นายชัยรัตน์ พิณทอง ที่ได้สละเวลาให้คำแนะนำในงานวิทยานิพนธ์นี้, ขอขอบคุณ นางสาวนันทิยา นาพิกาวิท ขอขอบคุณ ดร.ชนินทร์ ที่แนะนำการใช้ภาษาในงานวิทยานิพนธ์นี้

นอกจากนั้นขอขอบคุณสมาชิกในห้องปฏิบัติการวิจัยคลื่นแม่เหล็กไฟฟ้าทุกท่านที่คอยช่วยเหลือกันตลอดเวลา ขอขอบคุณ นางสาวสุวภา เจริญยิ่ง พี่สาว ที่ออกค่าใช้จ่ายในการเล่าเรียนทั้งหมด

ท้ายนี้ขอกราบขอบพระคุณบิดา มารดาของผู้วิจัย ที่สนับสนุนในด้านการเรียน และให้กำลังใจเสมอจนสำเร็จการศึกษา

สถาบันวิทยบริการ  
จุฬาลงกรณ์มหาวิทยาลัย

หน้า

|  |    |
|--|----|
| บทคัดย่อภาษาไทย.....   | ง  |
| บทคัดย่อภาษาอังกฤษ.....  | จ  |
| กิตติกรรมประกาศ.....   | ฉ  |
| สารบัญ.....  | ช  |
| สารบัญตาราง.....   | ฎ  |
| สารบัญภาพ.....   | ฏ  |
| คำอธิบายสัญลักษณ์.....   | ด  |
| <br>   |    |
| บทที่ 1 บทนำ.....  | 1  |
| 1.1ความเป็นมาและความสำคัญของปัญหา.....   | 1  |
| 1.2 วิธีป้อนพรอพาเกชัน.....  | 9  |
| 1.3 สมการป้อนพรอพาเกชัน.....   | 11 |
| 1.4 วัตถุประสงค์ของการวิจัย.....   | 19 |
| 1.5 ขอบเขตของการวิจัย.....   | 20 |
| 1.6 ประโยชน์ที่คาดว่าจะได้รับ.....   | 20 |
| 1.7 ขั้นตอนและวิธีดำเนินการวิจัย.....  | 20 |
| <br>   |    |
| บทที่.2 การวิเคราะห์ที่นำคลื่นแสง 2 มิติด้วยวิธีไฟไนต์อีลีเมนต์ป้อนพรอพาเกชัน<br>และอัลกอริทึมแบบนิวมาร์ก..... | 21 |
| 2.1 ความนำ.....  | 21 |
| 2.2 วิธีไฟไนต์อีลีเมนต์ป้อนพรอพาเกชันและอัลกอริทึมนิวมาร์ก.....  | 21 |
| 2.2.1 วิธีนิวมาร์ก.....  | 28 |
| 2.3 การคำนวณในกรณีตัวอย่าง.....  | 31 |
| 2.3.1 ท่อนำคลื่นแสงแบบคู่ควบ.....  | 31 |
| 2.3.2 ท่อนำคลื่นแสงโค้งรูปตัวเอส.....  | 36 |
| 2.4 เงื่อนไขขอบเขตที่ใช้งานร่วมกับอัลกอริทึมนิวมาร์ก.....  | 41 |
| 2.4.1 เงื่อนไขขอบเขตแบบโปร่งใส.....  | 43 |
| 2.4.2 เงื่อนไขขอบเขตแบบPML.....  | 45 |
| 2.5 เงื่อนไขขอบเขตแบบผสม.....  | 48 |

|  |     |
|--|-----|
| 2.6 สรุป.....  | 50  |
| บทที่ 3. การวิเคราะห์ท่อนำคลื่นแสงด้วยวิธีไฟไนต์อีลีเมนต์ปีมพรอพาเกชันและ              |     |
| อัลกอริทึมแบบนิวมาร์ก.....   | 51  |
| 3.1 ความนำ.....  | 51  |
| 3.2 วิธีไฟไนต์อีลีเมนต์ปีมพรอพาเกชันอัลกอริทึมนิวมาร์ก                                 |     |
| สำหรับตัวกลางไอโซทรอปิก.....   | 51  |
| 3.3 การคำนวณในกรณีตัวอย่างในวัสดุไอโซทรอปิก.....                                       | 56  |
| 3.3.1 ท่อนำคลื่นแสงแบบตัวคู่ควบ 3 มิติ.....  | 56  |
| 3.3.2 ท่อนำคลื่นแสงแบบริบ.....   | 62  |
| 3.3.3 ท่อนำคลื่นแสงแบบริบรูปตัววาย.....  | 68  |
| 3.4 วิธีไฟไนต์อีลีเมนต์ปีมพรอพาเกชันอัลกอริทึมนิวมาร์กสำหรับ                           |     |
| ตัวกลางแอนไอโซทรอปิก.....  | 73  |
| 3.5 การคำนวณในกรณีตัวอย่างในวัสดุแอนไอโซทรอปิก.....                                    | 77  |
| 3.6 สรุป.....  | 84  |
| บทที่ 4. วิธีไฟไนต์อีลีเมนต์ปีมพรอพาเกชันอัลกอริทึมนิวมาร์กในรูปแบบการแบบเวกเตอร์..... |     |
| 4.1 ความนำ.....  | 85  |
| 4.2 สมการเวกเตอร์ปีมพรอพาเกชัน.....  | 86  |
| 4.3 การพิจารณาเสถียรภาพของระบบ.....  | 91  |
| 4.3.1 วิเคราะห์โดยใช้ Growth Factor.....   | 91  |
| 4.3.2 วิธีวิเคราะห์โดยอาศัย Z Transform.....   | 92  |
| 4.3.3 การเลือกดัชนีหักเหอ้างอิง $n_0$ .....  | 94  |
| 4.3.4 การเลือกกระยะขั้นการคำนวณ $\Delta z$ .....                                       | 95  |
| 4.3.5 การเลือกค่า $\beta$ และ $\gamma$ .....   | 95  |
| 4.4 การคำนวณในกรณีตัวอย่าง.....  | 96  |
| 4.4.1 ท่อนำคลื่นแสงแบบริบ.....   | 96  |
| 4.4.2 ท่อนำคลื่นแสงแบบริบรูปตัววาย.....  | 99  |
| 4.4.3 ท่อนำคลื่นแสงแบบฝังในแผ่นฐาน.....  | 102 |



|   |      |
|---|------|
|   | หน้า |
| 4.4.4 โยแก้วนำแสงแบบ stress-birefringence.....                            | 107  |
| 4.4.5 โยแก้วนำแสงแบบ stress birefringence<br>ที่ได้รับแรงกดจากภายนอก..... | 111  |
| 4.5 สรุป.....   | 115  |
| บทที่ 5 สรุปผลการวิจัย และ ข้อเสนอแนะ.....                                | 116  |
| รายการอ้างอิง.....  | 119  |
| ภาคผนวก.....  | 125  |
| ภาคผนวก ก การประมาณแบบปาเด (Pade Approximation).....                      | 127  |
| ก.1 การประมาณแบบปาเด.....   | 127  |
| ก.2 การประยุกต์ใช้งานกับวิธี BPM.....                                     | 128  |
| ภาคผนวก ข การพิสูจน์วิธีนิวมาร์ก (Newmark Method).....                    | 133  |
| ภาคผนวก ค เงื่อนไขขอบเขตแบบโปร่งใส (Transparent Boundary Condition) ..... | 137  |
| ค.1 หลักการของเงื่อนไขขอบเขตแบบโปร่งใส.....                               | 137  |
| ค.2 เงื่อนไขขอบเขตแบบโปร่งใสใน FE-BPM บนท่อนำคลื่นแสง 2 มิติ.....         | 138  |
| ค.3 เงื่อนไขขอบเขตแบบโปร่งใสใน FE-BPM บนท่อนำคลื่นแสง 3 มิติ.....         | 140  |
| ภาคผนวก ง เงื่อนไขขอบเขตแบบPML.....                                       | 144  |
| ง.1 เงื่อนไขขอบเขตPML.....  | 144  |
| ง.1.1 เงื่อนไขขอบเขต PML แบบแยกสนาม (Splited field).....                  | 144  |
| ง.1.2 เงื่อนไขขอบเขต PML แบบแปรงตัวแปร (Streched Coordinate).....         | 149  |
| ง.1.3 เงื่อนไขขอบเขต PML แบบวัสดุดูดซับแบบแอนไอโซทรอปิก.....              | 151  |
| ง.2 สรุป.....   | 154  |

|  |     |
|--|-----|
| ภาคผนวก จ. การพิสูจน์สมการสเกลาร์ไฟไนต์อิลีเมนต์บีมพหุพหุภาคชั้น<br>ในวัสดุแอนไอโซทรอปิก.....  | 155 |
| ภาคผนวก ฉ. การพิสูจน์สมการเวกเตอร์ไฟไนต์อิลีเมนต์บีมพหุพหุภาคชั้น<br>ในวัสดุแอนไอโซทรอปิก..... | 161 |
| ประวัติผู้เขียนวิทยานิพนธ์.....  | 163 |



สถาบันวิทยบริการ  
จุฬาลงกรณ์มหาวิทยาลัย

| ตาราง   | หน้า |
|---|------|
| ตารางที่ 1.1 วิวัฒนาการของวงจรรวมทางแสง (Nishihara, Hurana, and Suhara, 1985:4).....  | 5    |
| ตารางที่ 1.2 ตารางเปรียบเทียบงานวิจัยต่างๆที่ใช้สมการสเกลาร์ไฟไนต์อีลีเมนต์<br>ปื้มพรวดพาดักซ์ในการคำนวณกับงานในวิทยานิพนธ์นี้.....   | 17   |
| ตารางที่ 1.3 ตารางเปรียบเทียบงานวิจัยต่างๆที่ใช้สมการเวกเตอร์ไฟไนต์อีลีเมนต์<br>ปื้มพรวดพาดักซ์ในการคำนวณกับงานในวิทยานิพนธ์นี้.....  | 18   |
| ตารางที่ 2.1 การเปรียบเทียบค่าพารามิเตอร์นิวมาร์กโดยให้ค่า $\gamma = 0.5$<br>และเปลี่ยนแปลงค่า $\beta$ เป็นค่าต่างๆตั้งแต่ 0.4 ถึง 1.0 โดยนำ<br>ค่าระยะคู่ควบมาพิจารณา..... | 36   |
| ตารางที่ 3.1 การเปรียบเทียบระยะคู่ควบเมื่อใช้ค่าพารามิเตอร์นิวมาร์กที่แตกต่างกัน.....   | 62   |
| ตารางที่ ง.1 แสดงค่า $\sigma_x$ และ $\sigma_y$ ในทิศทางต่างๆตามรูปที่ ง.2 เสนอโดย Bereneger .....   | 146  |
| ตารางที่ ง.2 ค่า $s$ ในตำแหน่งต่างๆตามรูปที่ ง.2 เสนอโดย Chew and Weedon, 1994.....   | 148  |

| ภาพประกอบ  | หน้า |
|--|------|
| รูปที่ 1.1 ท่อนำคลื่นแสงแบบต่างๆ (Koshiba, 1990:3).....  | 2    |
| รูปที่ 1.2 optical switch ที่สร้างจากท่อนำคลื่นแสง coupler หลายตัว<br>มาวางต่อกันแบบคาสเคด (Tamir, 1990:202).....  | 3    |
| รูปที่ 1.3 ตัว modulator (Tamir, 1990:204).....  | 4    |
| รูปที่ 1.4 วงจรรวมทางแสง (optical integrated circuits).....  | 7    |
| รูปที่ 1.5 ท่อนำคลื่นแสงที่มีรูปร่างเปลี่ยนแปลงตามแนวแกน<br>เช่น ท่อนำคลื่นแสงแบบเรียว (Tapered optical waveguide).....  | 7    |
| รูปที่ 1.6 การแบ่งท่อนำคลื่นแสงออกเป็นระนาบย่อยๆโดยแต่ละระนาบ<br>มีทิศทางตั้งฉากกับทิศทางการแพร่กระจายและมีระยะห่างระหว่างระนาบน้อยๆ.....  | 9    |
| รูปที่ 1.7 การคำนวณด้วยวิธีBPM เป็นขั้นๆ.....  | 10   |
| รูปที่ 1.8 ท่อนำคลื่นที่มีรูปร่างเบี่ยงเบนจากแนวแกนมาก.....  | 12   |
| รูปที่ 1.9 ขั้นตอนการคำนวณด้วยวิธีไฟไนต์อีลีเมนต์ปริมพหุพาเกชันอัลกอริทึมนิวมาร์ก.....   | 16   |
| รูปที่ 2.1 โครงสร้างทั่วไปของท่อนำคลื่นแสง 2 มิติ.....   | 22   |
| รูปที่ 2.2 การแบ่งแกนขวางออกเป็นอีลีเมนต์ย่อยๆ.....  | 24   |
| รูปที่ 2.3 ฟังก์ชันฐานของไฟไนต์อีลีเมนต์ 1 มิติ (ก) $N_1^e$ (ข) $N_2^e$ .....  | 25   |
| รูปที่ 2.4 การเปรียบเทียบระนาบที่ใช้ในการคำนวณระหว่างวิธีนิวมาร์กและวิธีปาเด<br>(ก) แบบนิวมาร์กซึ่งใช้สนามที่ระนาบ $z_0$ และ $z_0 + \Delta z$ ในการคำนวณหาสนามที่ระนาบ<br>$z_0 + 2\Delta z$<br>(ข) แบบปาเด แครงนิโคลสัน ใช้สนามที่ระนาบ $z_0$ ในการคำนวณหาสนามที่ระนาบ<br>$z_0 + \Delta z$ ..... | 30   |
| รูปที่ 2.5 ท่อนำคลื่นแสงแบบคู่ควบ.....   | 31   |
| รูปที่ 2.6 สนามไฟฟ้าอินพุตโหมด $TE^0$ บ่อนเข้าไปในแกนทางซ้ายมือ<br>ของท่อนำคลื่นแสงคู่ควบ.....   | 32   |
| รูปที่ 2.7 สนามไฟฟ้าในท่อนำคลื่นแสงแบบคู่ควบ<br>(ก) ใช้อัลกอริทึมแบบนิวมาร์ก (ข) ใช้อัลกอริทึมแบบปาเด.....   | 33   |
| รูปที่ 2.8 สนามโหมดนำในท่อนำคลื่นแสงแบบคู่ควบคำนวณด้วยวิธี FEM<br>(ก) โหมดคี่ (ข) โหมดคู่.....   | 35   |
| รูปที่ 2.9 ท่อนำคลื่นแสงโค้งรูปตัวเอส (S bend optical waveguide).....  | 37   |
| รูปที่ 2.10 สนามไฟฟ้าอินพุต $TE^0$ โหมด.....   | 37   |

ภาพประกอบ

หน้า

รูปที่ 2.11 สนามไฟฟ้าคำนวณด้วยอัลกอริทึมแบบนิวมาร์กที่ระยะ  $1000\mu m$   
 โดยใช้ค่าพารามิเตอร์นิวมาร์ก  $\gamma = 0.5$  ในขณะที่ค่า  $(\alpha)$  ค่า  $\beta = 0.3$   $(\beta)$   $\beta = 0.4$   
 $(ค)$   $\beta = 0.5$   $(ง)$   $\beta = 0.6$   $(จ)$   $\beta = 0.7$   $(ฉ)$   $\beta = 0.8$   $(ช)$   $\beta = 0.9$   $(ฌ)$   $\beta = 1.0$ .....38

รูปที่ 2.12 (ก) การแผ่พลังงานในขอบเขตแบบเปิด  $(ข)$  การคำนวณในหน้าต่างการคำนวณ  
 ที่มีขอบเขตจำกัด  $(ค)$  การสะท้อนกลับของคลื่นที่แพร่กระจายไปกระทบขอบหน้าต่าง  
 การคำนวณ  $(ง)$  เงื่อนไขขอบเขตเทียม (artificial boundary) ป้องกันการสะท้อนกลับ  
 ของคลื่นที่แพร่กระจายมากระทบขอบหน้าต่างการคำนวณ.....42

รูปที่ 2.13 การแพร่กระจายสนามไฟฟ้าในท่อนำคลื่นโค้งรูปตัวเอส  
 $()$  ใช้ค่าสนามระนาบที่  $i$  มาคำนวณสัมประสิทธิ์TBC  
 $()$   $(ข)$  ใช้ค่าสนามระนาบที่  $i - 1$  มาคำนวณสัมประสิทธิ์TBC  
 $(ค)$  ใช้ค่าเฉลี่ยระหว่างสนามที่ระนาบ  $i$  และ  $i - 1$  มาคำนวณสัมประสิทธิ์TBC.....43

รูปที่ 2.14 การแพร่กระจายของสนามไฟฟ้าในท่อนำคลื่นโค้งรูปตัวเอสวิเคราะห์  
 ด้วยวิธี FE-BPM อัลกอริทึมนิวมาร์ก โดยใช้เงื่อนไขขอบเขตแบบPML.....45

รูปที่ 2.15 เงื่อนไขขอบเขตแบบPMLที่บังคับให้สนามที่ปลายผนังชั้นดูดซับเป็นศูนย์.....46

รูปที่ 2.16 การแพร่กระจายของสนามในท่อนำคลื่นแสงโค้งรูปตัวเอสที่วิเคราะห์  
 ด้วยวิธี FE-BPM โดยใช้เงื่อนไขขอบเขตแบบPMLที่มีการลดทอนคงที่.....47

รูปที่ 2.17 เงื่อนไขขอบเขตแบบผสมระหว่างเงื่อนไขขอบเขตแบบที่สาม  
 กับเงื่อนไขขอบเขตแบบPML.....48

รูปที่ 2.18 การแพร่กระจายของสนามไฟฟ้าในท่อนำคลื่นโค้งรูปตัวเอสโดย  
 วิเคราะห์ด้วยวิธีFE-BPM ที่ใช้เงื่อนไขขอบเขตแบบผสม.....49

รูปที่ 2.19 การเปรียบเทียบระหว่างสนามที่ระยะ  $1000\mu m$  โดยการคำนวณ  
 ใช้เงื่อนไขขอบเขตแบบPMLกับเงื่อนไขขอบเขตแบบผสม.....49

รูปที่ 3.1 ฟังก์ชันฐานของไฟไนต์อีลีเมนต์ 2 มิติที่มีรูปร่างแบบสามเหลี่ยม  
 $(ก)$   $N_i^e$   $(ข)$   $N_j^e$   $(ค)$   $N_k^e$ .....53

รูปที่ 3.2 ท่อนำคลื่นแสงแบบคู่ควบ 3 มิติ.....57

รูปที่ 3.3 สนามไฟฟ้าอินพุตโหมด  $TE_{11}^y$  ที่แกนซ้ายของท่อนำคลื่นแสงแบบคู่ควบ.....57

รูปที่ 3.4 (ก)-(ง) สนามไฟฟ้าในท่อนำคลื่นแสงแบบคู่ควบคำนวณ  
 ด้วยอัลกอริทึมนิวมาร์ก.....58

ภาพประกอบ

หน้า

|  |    |
|--|----|
| รูปที่ 3.5 การเปรียบเทียบพลังงานในแกนด้านซ้ายของท่อนำคลื่นแสง<br>ระหว่างวิธี FE-BPM อัลกอริทึมนิวมาร์ก กับอัลกอริทึมแบบปาเด.....                         | 61 |
| รูปที่ 3.6 ท่อนำคลื่นแสงแบบหลิบ 3 มิติ.....  | 63 |
| รูปที่ 3.7 สนามไฟฟ้าอินพุตที่มีการกระจายตัวแบบเกาส์เซียน<br>ที่มีขนาดจุดเป็น $0.3 \mu m$ .....   | 63 |
| รูปที่ 3.8 (ก)-(ค) สนามไฟฟ้าคำนวณด้วยอัลกอริทึมนิวมาร์กโดย<br>ใช้เงื่อนไขขอบเขตแบบโปร่งใส.....   | 64 |
| รูปที่ 3.9 สนามไฟฟ้าที่คำนวณด้วยอัลกอริทึมนิวมาร์ก<br>โดยใช้เงื่อนไขขอบเขตแบบชั้นดูดซับ.....   | 66 |
| รูปที่ 3.10 สนามไฟฟ้าโหมด $TE_{11}^y$ ที่คำนวณด้วยวิธีไฟไนต์อีลีเมนต์.....   | 68 |
| รูปที่ 3.11 ท่อนำคลื่นแสงหลิบรูปตัววาย แบบ 3 มิติ.....   | 69 |
| รูปที่ 3.12 สนามไฟฟ้าอินพุต $TE_{11}^y$ โหมด.....  | 69 |
| รูปที่ 3.13 (ก)-(จ) สนามไฟฟ้าที่คำนวณด้วยอัลกอริทึมนิวมาร์กที่ระยะทาง $z$ ต่างๆ.....   | 70 |
| รูปที่ 3.14 สนามไฟฟ้าที่ระยะ $z = 40 \mu m$ คำนวณด้วยอัลกอริทึมปาเด.....   | 73 |
| รูปที่ 3.15 ท่อนำคลื่นแสงตัวแยกโดดเดี่ยวแบบแมกนีโตออปติก.....  | 77 |
| รูปที่ 3.16 สนามไฟฟ้าอินพุตโหมด $TE_{11}^y$ ที่ $\delta = 0$ .....   | 78 |
| รูปที่ 3.17(ก)-(ข) สนามไฟฟ้าในท่อนำคลื่นแสงตัวแยกโดดเดี่ยวแมกนีโตออปติก<br>คำนวณด้วยอัลกอริทึมนิวมาร์กโดยใช้เงื่อนไขขอบเขตแบบโปร่งใสที่ระยะทางต่างๆ..    | 79 |
| รูปที่ 3.18(ก)-(ข) สนามแม่เหล็กในท่อนำคลื่นแสงตัวแยกโดดเดี่ยวแมกนีโตออปติก<br>คำนวณด้วยอัลกอริทึมนิวมาร์กโดยใช้เงื่อนไขขอบเขตแบบโปร่งใสที่ระยะทางต่างๆ.. | 81 |
| รูปที่ 3.19 การเปรียบเทียบพลังงานในท่อนำคลื่นแสงระหว่างการคำนวณด้วย<br>อัลกอริทึมปาเดกับอัลกอริทึมนิวมาร์กโดยใช้เงื่อนไขขอบเขตแบบโปร่งใส.....            | 84 |
| รูปที่ 4.1 ฟังก์ชันฐานแบบอีลีเมนต์ขอบคกที่ (ก) $W_1^e$ (ข) $W_2^e$ (ค) $W_3^e$ .....   | 87 |
| รูปที่ 4.2 พื้นที่ที่ทำให้ระบบเสถียรกับพื้นที่ที่ทำให้ระบบไม่เสถียรใน $z$ plane.....   | 94 |
| รูปที่ 4.3 สนามไฟฟ้าอินพุต $E_{11}^x$ โหมด (ก) สนามตามขวาง (ข) สนามตามแกนยาว.....  | 96 |
| รูปที่ 4.4 (ก)-(ง) สนามไฟฟ้าที่แพร่กระจายในท่อนำคลื่นแสงแบบหลิบ<br>โดยคำนวณด้วยวิธีไฟไนต์อีลีเมนต์ปริมพอพาเกชันอัลกอริทึมแบบนิวมาร์ก.....                | 97 |

| ภาพประกอบ   | หน้า |
|---|------|
| รูปที่ 4.5 สนามไฟฟ้า $E_{11}^x$ โมดคำนวณด้วยวิธีไฟไนต์อีลีเมนต์<br>(ก) สนามตามขวาง (ข) สนามตามแกนยาว.....   | 98   |
| รูปที่ 4.6 สนามไฟฟ้าอินพุตโมด $E_{11}^x$ (ก) สนามตามขวาง (ข) สนามตามแกนยาว.....   | 99   |
| รูปที่ 4.7 (ก)-(ญ) สนามไฟฟ้าในท่อนำคลื่นแสงแบบหลิบริบรูปตัววายคำนวณด้วย<br>วิธีไฟไนต์อีลีเมนต์ปริมพรอพาเกชันอัลกอริทึมแบบนิวมาร์กโดย<br>ใช้สมการแบบเวกเตอร์ที่ระยะต่างๆ.....                      | 99   |
| รูปที่ 4.8 สนามไฟฟ้าที่คำนวณด้วยวิธีไฟไนต์อีลีเมนต์ปริมพรอพาเกชัน<br>อัลกอริทึมปาเดที่ระยะ $z = 40 \mu m$ .....   | 101  |
| รูปที่ 4.9 ท่อนำคลื่นแสงแบบฝังในชิปเซตรท (Embeded Waveguide).....   | 102  |
| รูปที่ 4.10 สนามไฟฟ้าอินพุต (ก) สนามตามขวาง (ข) สนามตามแกนยาว.....  | 103  |
| รูปที่ 4.11 (ก)-(ค) สนามไฟฟ้าในท่อนำคลื่นแสงแบบฝังในชิปเซตรทโดยคำนวณ<br>ด้วยวิธีไฟไนต์อีลีเมนต์ปริมพรอพาเกชันอัลกอริทึมนิวมาร์กในสมการ<br>แบบเวกเตอร์ที่ระยะทางต่างๆ.....                         | 104  |
| รูปที่ 4.12 สนามไฟฟ้าในท่อนำคลื่นแสงแบบฝังในชิปเซตรทโดยคำนวณ<br>ด้วยวิธีไฟไนต์อีลีเมนต์ (ก) สนามตามขวาง (ข) สนามตามแกนยาว.....  | 106  |
| รูปที่ 4.13 โยแก้วนำแสงแบบ stress-birefringence.....  | 107  |
| รูปที่ 4.14 สนามแม่เหล็กอินพุต (ก) สนามแม่เหล็กตามขวาง<br>(ข) สนามแม่เหล็กตามแกนยาว.....  | 108  |
| รูปที่ 4.15 (ก)-(ฎ) สนามแม่เหล็กในโยแก้วนำแสงแบบ stress-birefringence<br>โดยคำนวณด้วยวิธีไฟไนต์อีลีเมนต์ปริมพรอพาเกชันอัลกอริทึมนิวมาร์ก<br>ในสมการเวกเตอร์ที่ระยะทางต่างๆ.....                   | 108  |
| รูปที่ 4.16 สนามแม่เหล็กในโยแก้วนำแสงแบบ stress-birefringence<br>ที่คำนวณด้วยวิธีไฟไนต์อีลีเมนต์ (ก) สนามตามขวาง (ข) สนามตามแกนยาว.....   | 110  |
| รูปที่ 4.17 โยแก้วนำแสงแบบ stress birefringence โดยได้รับแรงกดจากภายนอก $F$<br>ทำมุมกับแกน slow เป็นมุม $\theta$ ทำให้เกิดการรบกวนของแกน slow<br>และแกน fast ทำให้เคลื่อนไปเป็นมุม $\alpha$ ..... | 111  |
| รูปที่ 4.18 สนามอินพุต $HE_{11}^x$ (ก) สนามแม่เหล็กตามขวาง (ข) สนามแม่เหล็กตามยาว.....  | 112  |
| รูปที่ 4.19 สนามแม่เหล็กในโยแก้วนำแสงแบบ stress birefringence<br>ที่โดนแรงบีบจากภายนอกในระยะทางต่างๆ.....   | 113  |

| ภาพประกอบ  | หน้า |
|--|------|
| รูปที่ ค.1 ตำแหน่งโนดที่นำมาใช้คำนวณเงื่อนไขขอบเขตแบบโปร่งใส<br>ในท่อนำคลื่น 2 มิติในแกนตัดขวาง $x$ และมีการแพร่กระจายในทิศทาง $z$ .....                       | 138  |
| รูปที่ ค.2 ตำแหน่งโนดบนอีลีเมนต์สามเหลี่ยมที่ขอบหน้าต่างการคำนวณ<br>ในระนาบตัดขวาง $xy$ และมีการแพร่กระจายในทิศทาง $z$ .....                                   | 140  |
| รูปที่ ง.1 สนามตกกระทบโหมด $TE$ .....  | 143  |
| รูปที่ ง.2 พื้นที่ของชั้นดูดซับในทิศทาง $x, y$ และตำแหน่งมุมโดยพิจารณาแบบ 2 มิติ.....  | 145  |
| รูปที่ ง.3 ชั้นดูดซับแบบวัสดุแอนไอโซทรอปิกโดยพิจารณาบนระนาบ 2 มิติ<br>มีการลดทอนในทิศทาง $z$ (1มิติ) เสนอโดย Sack et al., 1995.....                            | 149  |
| รูปที่ ง.4 ชั้นดูดซับPML แบบวัสดุแอนไอโซทรอปิกโดยมีค่าสัมประสิทธิ์<br>ตั้งรูปเสนอโดย Wu et al., 1997 มีการดูดซับในทิศทาง $x, y, z$ (3มิติ).....                | 151  |
| รูปที่ ง.5.วัสดุดูดซับแบบแอนไอโซทรอปิกนำมาใช้กับวัสดุแอนไอโซทรอปิก<br>ที่มีลักษณะ 2 มิติมีการลดทอนในทิศทาง $z$ (1มิติ)<br>นำเสนอโดย Mitchell et al., 1999..... | 152  |



| สัญลักษณ์                         | ความหมาย   |
|-----------------------------------|--|
| $\vec{a}_x, \vec{a}_y, \vec{a}_z$ | เวกเตอร์หนึ่งหน่วยในทิศทาง x,y,z   |
| $\vec{B}$                         | ความหนาแน่นฟลักซ์แม่เหล็ก  |
| BPM                               | วิธีปริมาตรพหุภาคี   |
| $\beta$                           | สัมประสิทธิ์รีแฟรคทีฟ  |
| $\beta_e$                         | ค่าคงที่การแพร่กระจายของสนามโมดคู่   |
| $\beta_o$                         | ค่าคงที่การแพร่กระจายของสนามโมดคี่   |
| $\theta_c$                        | มุมระหว่างแกน Crystalline C กับแกน Y   |
| $\theta_F$                        | มุมการหมุนของฟาราเดย์  |
| $\Delta$                          | พื้นที่ของอีลีเมนต์สามเหลี่ยม  |
| $\delta$                          | สภาพยอมไฟฟ้าที่เป็นผลมาจากปรากฏการณ์หมุนของฟาราเดย์                            |
| $\epsilon_0$                      | สภาพยอมไฟฟ้า   |
| $\vec{E}$                         | ความเข้มสนามไฟฟ้า  |
| $E_t$                             | สนามไฟฟ้าตามขวาง   |
| $E_z$                             | สนามไฟฟ้าตามแกนยาว   |
| $[\epsilon]$                      | เทนเซอร์สภาพยอมไฟฟ้า   |
| $F_b$                             | พลังงานรังสีออกจากหน้าต่างการคำนวณ   |
| $F_a$                             | พลังงานที่วิ่งสู่อินพุตหน้าต่างการคำนวณ  |
| FD-BPM                            | วิธีไฟไนต์ดิฟเฟอเรนซ์ปริมาตรพหุภาคี  |
| FDTD                              | วิธีไฟไนต์ดิฟเฟอเรนซ์โดเมนเวลา   |
| FE-BPM                            | วิธีไฟไนต์อีลีเมนต์ปริมาตรพหุภาคี  |
| FEM                               | วิธีไฟไนต์อีลีเมนต์  |
| FFT-BPM                           | วิธีการแปลงฟูเรียร์อย่างเร็วปริมาตรพหุภาคี                                     |
| $H$                               | ความเข้มสนามแม่เหล็ก   |
| $j$                               | สัญลักษณ์ค่าเชิงซ้อน   |
| $k_0$                             | เลขคลื่นในอวกาศว่าง  |
| $l_i$                             | ความยาวของด้านในอีลีเมนต์สามเหลี่ยมและใช้ในการกำหนดทิศทางของสนามในอีลีเมนต์ขอบ |
| $L$                               | ระยะเชื่อมต่อของท่อนำคลื่นตัวเชื่อมต่อ   |

| สัญลักษณ์  | ความหมาย                        |
|------------|---------------------------------|
| $\lambda$  | ความยาวคลื่นแสง                 |
| PML        | เงื่อนไขขอบเขตแบบ PML           |
| $\rho(A)$  | spectral radius ของเมตริกซ์ $A$ |
| $\rho$     | ความหนาของชั้นดูดซับ            |
| $s$        | พารามิเตอร์ของชั้นดูดซับ        |
| TBC        | เงื่อนไขขอบเขตแบบโปร่งใส        |
| $\sigma$   | สภาพนำไฟฟ้า                     |
| $\sigma^*$ | สภาพนำแม่เหล็ก                  |



สถาบันวิทยบริการ  
จุฬาลงกรณ์มหาวิทยาลัย

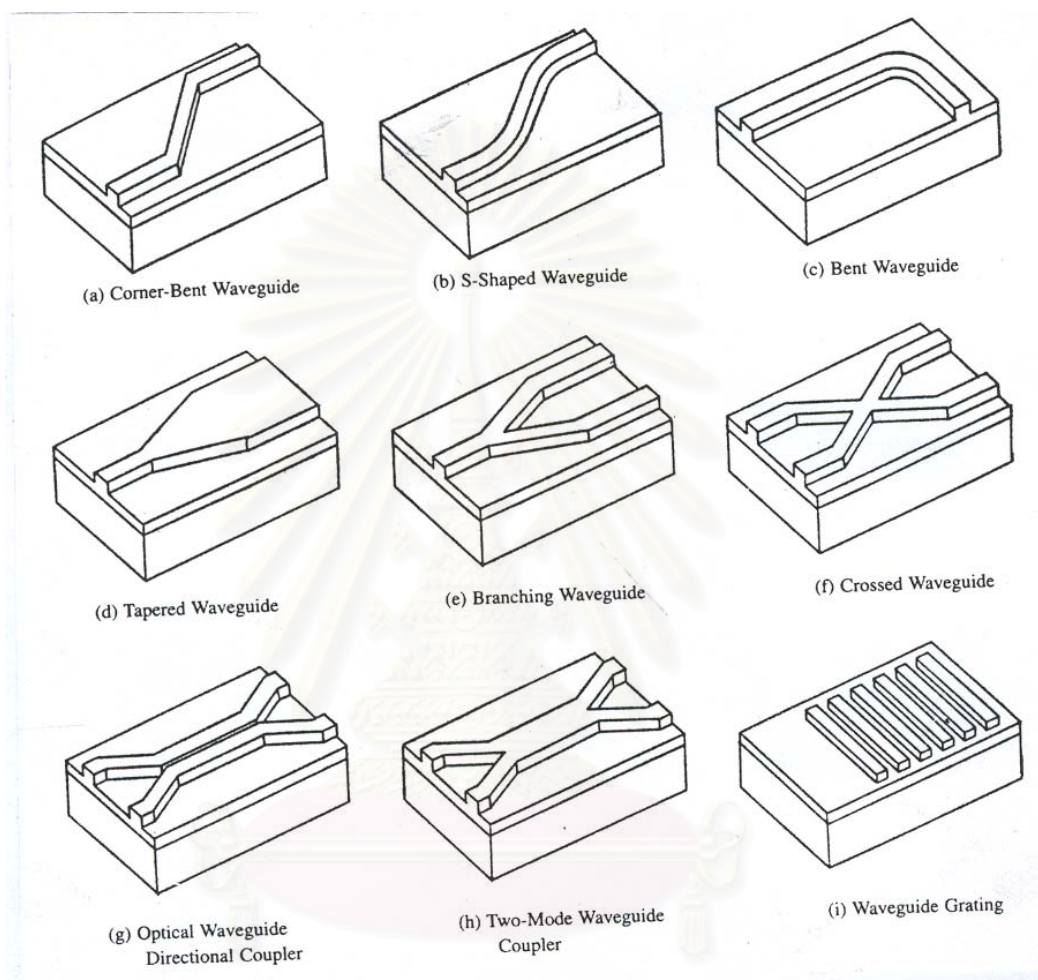
# บทที่ 1

## บทนำ

### 1.1 ความเป็นมาและความสำคัญของปัญหา

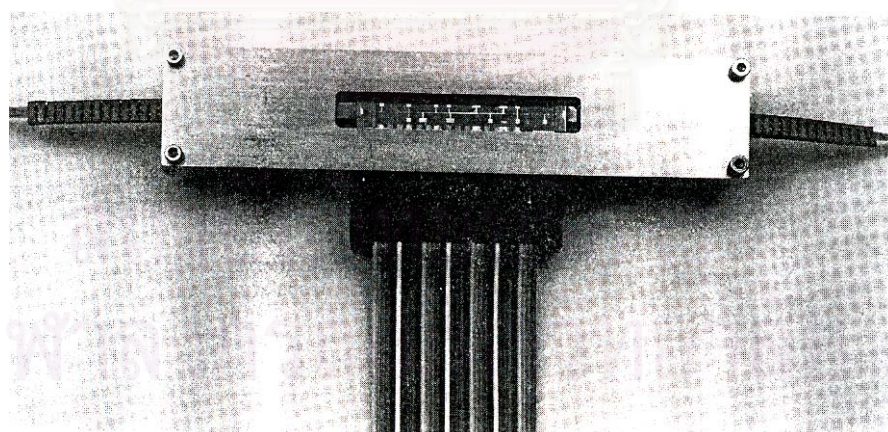
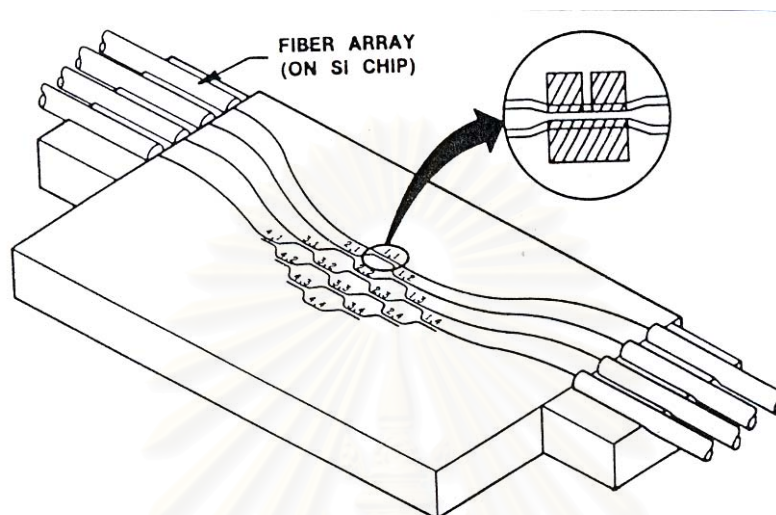
ในปัจจุบันนี้ระบบโทรคมนาคม เช่น ระบบสื่อสารไมโครเวฟบนภาคพื้นดิน ระบบสื่อสารผ่านดาวเทียม และ ระบบสื่อสารทางเคเบิลใยแก้วนำแสง มีความสำคัญเป็นอย่างมาก โดยระบบสื่อสารผ่านใยแก้วนำแสงเริ่มเข้ามามีบทบาทสำคัญมากขึ้น ข้อดีของระบบสื่อสารผ่านเส้นใยแก้วนำแสงคือ 1. มีขนาดแบนด์วิดท์กว้างทำให้สามารถส่งผ่านข้อมูลจำนวนมากได้อย่างรวดเร็ว 2. พลังงานสูญเสียต่ำกว่าการใช้งานด้วยหลอดทองแดงหรือคลื่นความถี่ย่านไมโครเวฟ 3. เส้นใยแก้วนำแสงมีขนาดเล็กและน้ำหนักเบา 4. มีความปลอดภัยทางข้อมูลสูง 5. ปราศจากสัญญาณรบกวนจากคลื่นแม่เหล็กไฟฟ้าภายนอก

อุปกรณ์ที่มีบทบาทสำคัญในการสื่อสารผ่านเส้นใยแก้วนำแสง คือ ท่อนำคลื่นแสง (optical waveguide) ดังรูปที่ 1.1 ท่อนำคลื่นแสงทำหน้าที่นำแสงเปลี่ยนแปลงทิศทางการลำแสง และปรับแต่งลำแสงให้มีคุณสมบัติทางแสงตามต้องการ ท่อนำคลื่นแสงสร้างจากวัสดุไดอิเล็กตริกสองชนิดมาวางซ้อนกัน โดยสารที่มีดัชนีหักเหมากกว่าทำหน้าที่เป็นแกน (core) และสารที่มีดัชนีหักเหน้อยกว่าทำหน้าที่เป็นเปลือก หรือ วัสดุหุ้ม (cladding) ท่อนำคลื่นแสงมีมากมายหลายชนิด โดยทำหน้าที่แตกต่างกันออกไป ตัวอย่างเช่น ท่อนำคลื่นแสงแบบ corner-bent, แบบ S-shaped และ แบบ bent ทำหน้าที่เปลี่ยนทิศทางของลำแสง ท่อนำคลื่นแสงแบบ tapered ทำหน้าที่เปลี่ยนแปลงขนาดของท่อนำคลื่นแสง, ท่อนำคลื่นแสงแบบ branching และแบบ crossed ทำหน้าที่รวมลำแสง แยกลำแสง และ แทรกสอดลำแสง ท่อนำคลื่นแสงแบบ directional coupler และ แบบ two mode coupler ทำหน้าที่ coupling ในขณะที่ท่อนำคลื่นแสงแบบ grating ทำหน้าที่ filter, mode converter, reflector, resonator และ demultiplexer เป็นต้น

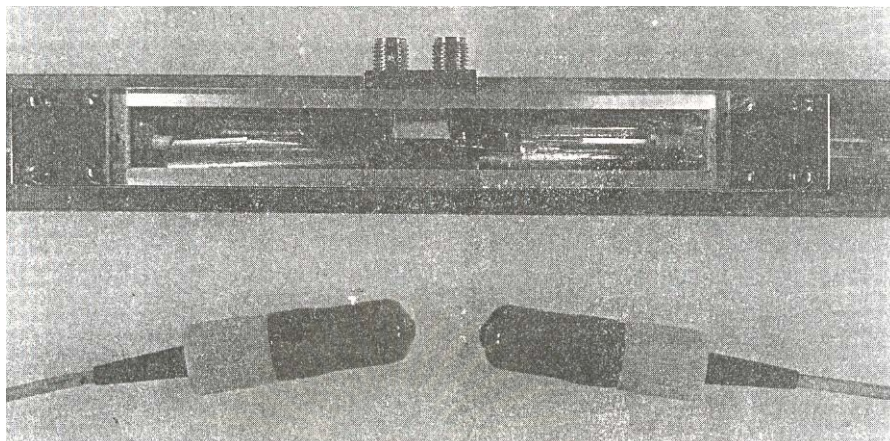


รูปที่ 1.1 ท่อนำคลื่นแสงแบบต่างๆ (Koshiba, 1990:3)

นอกจากนี้ยังพบการใช้งานรวมกันของท่อนำคลื่นแสงดังรูปที่ 1.2 โดยเป็น optical switch ที่สร้างจากท่อนำคลื่นแสงแบบ coupler มาวางต่อกันแบบ คาสเคด กัน และนอกจากนี้ยังมีใช้งานในตัว modulator ดังรูปที่ 1.3



รูปที่ 1.2 optical switch ที่สร้างจากท่อนำคลื่นแสง coupler หลายตัวมาวางต่อกันแบบคาสเคด (Tamir, 1990:202)



รูปที่ 1.3 ตัว modulator (Tamir, 1990:204)

การใช้งานอีกลักษณะหนึ่งของท่อนำคลื่นแสงคือนำมาใช้งานในวงจรรวมทางแสง (optical integrated circuits) โดย OIC คือ วงจรแสงที่ประกอบด้วยอุปกรณ์หลัก 3 ชนิด คือ source, waveguide และ detector สร้างอยู่บนแผ่นฐาน (substrate) เดียวกัน โดยถ้าอุปกรณ์ทั้งสามชนิดอยู่บนแผ่นฐานเดียวกันหมดจะเรียกว่า monolithic optical IC ในขณะที่อุปกรณ์ทั้ง 3 ชนิดวางอยู่ต่างแผ่นฐานกันหมดจะเรียกว่า hybrid optical IC และถ้ามี 2 ชนิดอยู่บนแผ่นฐานเดียวกันจะเรียกว่า quasi-hybrid หรือ quasi-monolithic IC

วงจรรวมทางแสงถูกคิดค้นขึ้นในทศวรรษที่ 60 แต่หลังจากที่แก้ไขปัญหาความสูญเสียในเส้นใยแก้วนำแสงได้ทำให้นักวิจัยเกี่ยวกับ OIC ลดลงเพราะเป็นที่คาดกันว่าจะยังไม่ได้นำมาใช้งานในอนาคตอันใกล้นี้และหันไปมุ่งเน้นงานวิจัยเกี่ยวกับเส้นใยแก้วนำแสงแทน จนกระทั่งการสื่อสารผ่านเส้นใยแก้วนำแสงพัฒนาจนใช้ความยาวคลื่นมีขนาดเล็กมากทำให้เกิดปัญหาเรื่อง alignment และ ความเสถียรของระบบจึงทำให้หันกลับมาสนใจวิเคราะห์วงจรรวมทางแสงอีกครั้งหนึ่ง โดยวิวัฒนาการของวงจรรวมทางแสงแสดงดังตารางที่ 1.1

ตารางที่ 1.1 วิวัฒนาการของวงจรรวมทางแสง (Nishihara, Haruna, and Suhara,1985:4)

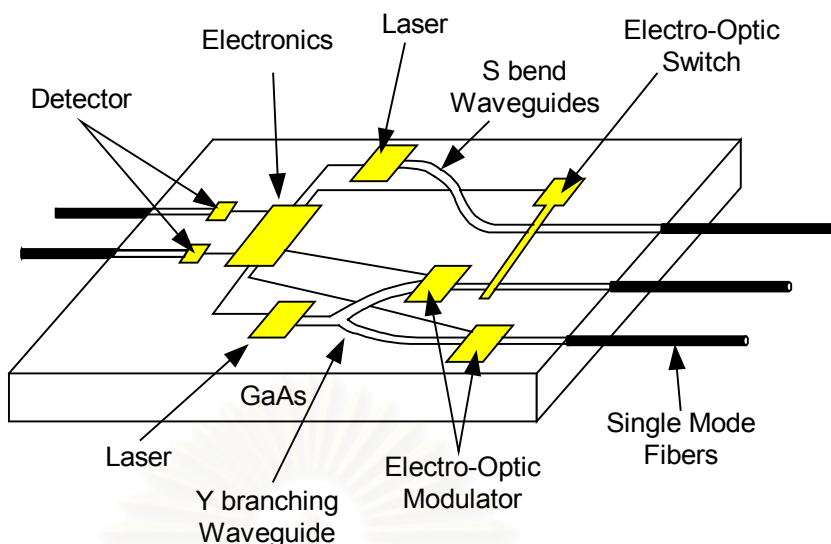
|                                    | First Generation           | Second Generation                     | Third Generation                   |  |
|------------------------------------|----------------------------|---------------------------------------|------------------------------------|--|
| Technology                         | Conventional Optics        | Micro-optics                          | Integrated Optics                  | -Wave Optics<br>-Thin-film Tech<br>-Micro fabrication  |
| Typical Components                 | Gas laser, lenses, Mirrors | LED, LD, Multimode fibers, rod lenses | Optical ICs single-mode LD, fibers | -Integration<br>-Difficulties of coupling to LDs and fibers  |
| Alignment of components            | necessary                  | Necessary (hard task)                 | not necessary (all fixed)          | -stable<br>(for vibration)   |
| Propagation system (size)          | beam                       | beam multimode waveguides             | single-mode waveguides             | -Easy control<br>-High intensity<br>◆ strong interaction ◆<br>◆ large nonlinearity ◆<br>optical damage |
| size of control electrodes (order) | 1 cm                       | 1 mm                                  | 1 $\mu$ m                          | -Low drive voltage<br>-High speed  |
| Size of devices (order)            | 1m square                  | 10 cm square                          | a few cm square (thin film)        | -Compact<br>-Light weight  |

### คุณสมบัติที่สำคัญของวงจรรวมทางแสงในยุคที่สามคือ

1. การวิเคราะห์ที่ต้องทำด้วยวิธีเชิงคลื่นแม่เหล็กไฟฟ้าเท่านั้นเนื่องจากไม่สามารถวิเคราะห์แบบรังสีได้อีกต่อไปเพราะท่อนำคลื่นแสงไม่ได้มีรูปร่างใหญ่กว่าความยาวคลื่นมากนัก
2. ไม่ต้องเรียงแนวเส้นตรง(alignment) เพราะสร้างอยู่บนแผ่นฐานเดียวกัน
3. ง่ายต่อการควบคุม เนื่องจากเป็นการส่งผ่านข้อมูลแบบ single mode จึงสามารถควบคุมได้ทั้ง electrooptics effect, acoustooptic effect และ thermooptic effect
4. ใช้แรงดันไฟฟ้าต่ำในการควบคุม และ ใช้ระยะเวลาการควบคุมสั้น
5. การทำงานรวดเร็ว
6. ส่งพลังงานสูงเนื่องจากใช้งานในท่อนำคลื่นแสงเหมาะสำหรับใช้งานร่วมกับ nonlinear optic
7. รูปร่างเล็กและน้ำหนักเบา
8. ราคาถูก

ก่อนอื่นต้องทำความเข้าใจเบื้องต้นว่าวงจรรวมทางแสงไม่ได้ช่วยให้วงจรทำงานได้เร็วมากขึ้นกล่าวคือวงจรโลหะที่ใช้ในปัจจุบันที่ใช้กระแสไฟฟ้าเป็นตัวพาห์เมื่อเทียบกับวงจรรวมทางแสงเมื่อใช้งานกับลำแสงพบว่าวงจรรวมทางแสงทำงานเร็วกว่าเพียงเล็กน้อยเท่านั้นแต่วงจรชนิดนี้มีความเหมาะสมที่จะใช้งานกับลำแสงมากกว่าวงจรโลหะอีกทั้งมีความจุหรือแบนด์วิดท์ที่กว้างกว่ามาก ในปัจจุบันการสื่อสารด้วยแสงยังใช้วงจรอิเล็กทรอนิกส์ร่วมอยู่เนื่องจากความจุที่ต้องการยังคงสามารถใช้งานได้อยู่ แต่ในอนาคตเมื่อใช้ความถี่ที่สูงมากๆ เช่น THz วงจรโลหะจะไม่สามารถใช้งานได้ สาเหตุอีกประการที่วงจรรวมทางแสงยังไม่มีการใช้งานเนื่องจากราคาในการสร้างยังสูงและยังไม่คุ้มค่าในการลงทุน ซึ่งกำลังรอคอยเทคนิคการสร้างที่จะช่วยลดต้นทุนในการผลิตเมื่อถึงจุดคุ้มทุนก็จะสามารถนำมาใช้งานได้เช่นเดียวกับระบบสื่อสารผ่านใยแก้วนำแสง

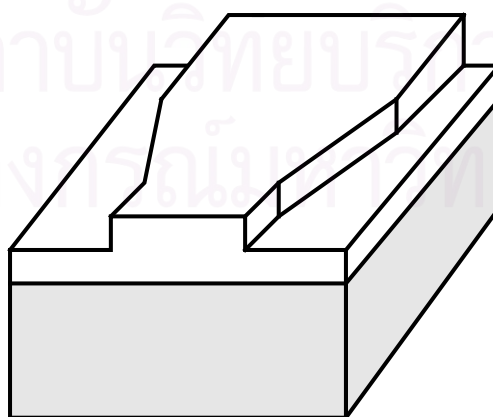




รูปที่ 1.4 วงจรรวมทางแสง (optical integrated circuits)

การสร้างท่อนำคลื่นแสงต้องอาศัยการออกแบบและวิเคราะห์ผลก่อนการสร้างจริงเสมอเพื่อลดปัญหาและค่าใช้จ่ายในการสร้างลง โดยการวิเคราะห์จะอาศัยการจำลองผลด้วยคอมพิวเตอร์ในการคำนวณ สิ่งที่น่ามาวิเคราะห์คือลักษณะทางกายภาพของท่อนำคลื่นแสงและชนิดของวัสดุที่ใช้ทำท่อนำคลื่นแสง เป็นต้น

รูปร่างของท่อนำคลื่นแสงที่นำมาใช้วิเคราะห์คือ ท่อนำคลื่นแสงที่มีรูปร่างเปลี่ยนแปลงตามแนวแกนแพร่กระจาย เช่น ท่อนำคลื่นแสงแบบเรียว (Tapered optical waveguide) ดังแสดงในรูปที่ 1.5 โดยท่อนำคลื่นแสงแบบเรียวมีความกว้างของแกนเปลี่ยนแปลงตามแนวแกน ทำหน้าที่คู่ควบระหว่างท่อนำคลื่นแสง 2 ชนิดที่มีความกว้างของท่อนำคลื่นแสงต่างกัน นอกจากนี้ยังสามารถใช้กรองโหมดการแพร่กระจายได้อีกด้วย



รูปที่ 1.5 ท่อนำคลื่นแสงที่มีรูปร่างเปลี่ยนแปลงตามแนวแกน เช่น ท่อนำคลื่นแสงแบบเรียว (Tapered optical waveguide)

นอกจากรูปร่างของท่อนำคลื่นแสงแล้วในวิทยานิพนธ์นี้ยังสนใจชนิดของวัสดุของท่อนำคลื่นแสงโดยวัสดุที่จะนำมาวิเคราะห์ในวิทยานิพนธ์นี้คือ วัสดุแอนไอโซทรอปิก คุณสมบัติของวัสดุชนิดนี้คือ ความหนาแน่นฟลักซ์ไฟฟ้าขึ้นกับทิศทางของสนามไฟฟ้า หรือ ดัชนีหักเหของท่อนำคลื่นแสงขึ้นกับทิศทาง โดยค่าสภาพยอมไฟฟ้าของวัสดุชนิดนี้สามารถเขียนในรูปเมทริกซ์ดังสมการ (1.1) ดังนี้

$$[\epsilon] = \begin{bmatrix} \epsilon_{xx} & \epsilon_{xy} & \epsilon_{xz} \\ \epsilon_{yx} & \epsilon_{yy} & \epsilon_{yz} \\ \epsilon_{zx} & \epsilon_{zy} & \epsilon_{zz} \end{bmatrix} \quad (1.1)$$

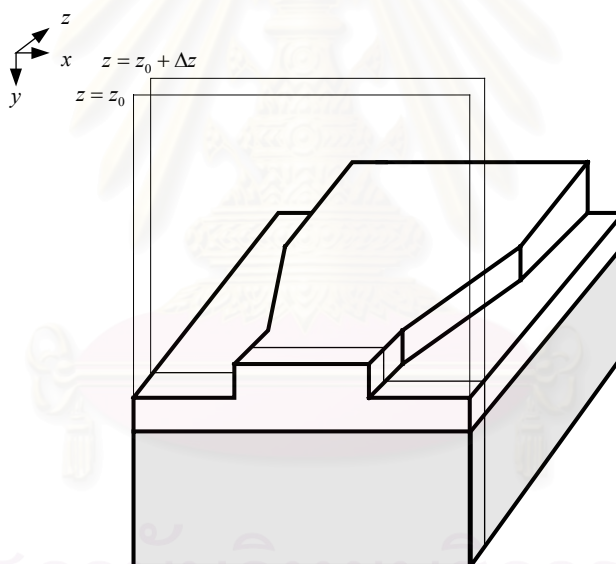
วัสดุที่มีคุณสมบัติแบบแอนไอโซทรอปิก เช่น ผลึกแก้ว proton exchanged  $LiNbO_3$ , ผลึกแก้ว (crystal) เป็นต้น วัสดุแอนไอโซทรอปิกนำมาสร้างท่อนำคลื่นแสงที่ควบคุมได้ด้วยสนามไฟฟ้า เช่น polarization converters, wavelength multiplexers, TE-TM mode coupler เป็นต้น นอกจากนั้นยังนำมาสร้างใยแก้วนำแสงที่มีโพลาไรเซชันคงที่เพื่อจะนำมาส่งผ่านข้อมูลในหลายๆโพลาไรเซชันได้ เช่น highly birefringence optical fibers เป็นต้น

การวิเคราะห์ท่อนำคลื่นแสงที่มีโครงสร้างไม่ซับซ้อนมากนักสามารถใช้วิธีเชิงวิเคราะห์มาวิเคราะห์ปัญหาได้แต่ถ้าท่อนำคลื่นแสงที่มีโครงสร้างซับซ้อนการวิเคราะห์ด้วยวิธีเชิงวิเคราะห์จะทำได้ยาก หรือ อาจหาผลเฉลยไม่ได้เลย วิธีเชิงตัวเลข (numerical method) จึงเข้ามามีประโยชน์ในลักษณะดังกล่าวนี้

วิธีเชิงตัวเลขที่นำมาวิเคราะห์ท่อนำคลื่นแสงมีมากมายหลายวิธี โดยวิธีที่มพรอพาเกชันเป็นวิธีวิเคราะห์ที่ได้รับความนิยมอย่างมากในการวิเคราะห์ท่อนำคลื่นแสงที่มีรูปร่างเปลี่ยนแปลงตามแนวแกนเนื่องจากการคำนวณจะแบ่งท่อนำคลื่นแสงออกเป็นระยะๆทำให้ประหยัดหน่วยความจำที่ใช้ในการคำนวณและลดเวลาในการคำนวณลง

## 1.2 วิธีบีมพรอพพาเกชัน

วิธีบีมพรอพพาเกชัน (Beam Propagation Method) เป็นวิธีเชิงตัวเลขที่นิยมอย่างมากในการวิเคราะห์ที่นำคลื่นแสงที่มีรูปร่างเปลี่ยนแปลงตามแนวแกนโดยวิธีนี้เป็นวิธีที่ดัดแปลงมาจากวิธีวิเคราะห์การแพร่กระจายคลื่นในอากาศโดยนำมาประยุกต์ใช้กับการวิเคราะห์ที่นำคลื่นแสง Fiet and Fleck, 1978 เสนอวิธีคำนวณด้วยวิธี BPM โดยเริ่มจากการแบ่งที่นำคลื่นแสงออกเป็นหลายระนาบ โดยระนาบแต่ละระนาบมีระยะห่างกันน้อยมาก และตั้งฉากกับทิศทางการแพร่กระจายดังรูปที่ 1.6 การคำนวณจะสมมติค่าตอบของสมการให้อยู่ในรูปใกล้เคียงกับคลื่นระนาบ (nearly plane wave) โดยขนาดของสนามมีการเปลี่ยนแปลงแบบช้าๆเมื่อเทียบกับทิศทางการแพร่กระจาย (slowly varying envelope approximation) และค่าเฟสของสนามมีการเปลี่ยนแปลงอย่างรวดเร็วเมื่อเทียบกับทิศทางการแพร่กระจาย



รูปที่ 1.6 การแบ่งที่นำคลื่นแสงออกเป็นระนาบย่อยๆโดยแต่ละระนาบมีทิศทางการตั้งฉากกับทิศทางการแพร่กระจายและมีระยะห่างระหว่างระนาบน้อยๆ

สมการ BPM เป็นสมการที่แสดงความสัมพันธ์ระหว่างสนามในระนาบทั้งสองดังสมการ (1.2) เมื่อป้อนสนามอินพุตเข้าที่ระนาบแรกจึงคำนวณด้วยสมการ BPM หาเอาท์พุตที่ระนาบที่สอง ค่าสนามเอาท์พุตนี้จะเป็นค่าอินพุตของการคำนวณในระนาบถัดไปดังรูปที่ 1.7 เมื่อคำนวณเป็นระนาบๆไปเรื่อยๆจะสามารถหาสนามได้ตลอดความยาวของที่นำคลื่นแสง

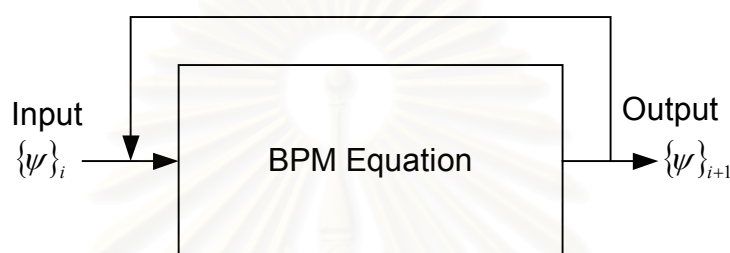
$$[A]\{\psi\}_{i+1} = [B]\{\psi\}_i \quad (1.2)$$

โดยที่

$\{\psi\}_{i+1}$  คือ ขนาดของสนามที่ระนาบ  $i + 1$

$\{\psi\}_i$  คือ ขนาดของสนามที่ระนาบ  $i$

$[A]$ ,  $[B]$  เป็น เมทริกซ์ที่ได้จากการคำนวณด้วยวิธี BPM



รูปที่ 1.7 การคำนวณด้วยวิธีBPM เป็นขั้นๆ

การวิเคราะห์ด้วยวิธี BPM มีข้อดี คือ รวมผลของสนามที่แผ่พลังงานออกไป (Radiated) และ สนามที่ถูกนำ (Guided) ทำให้สามารถวิเคราะห์การควบคุมของสนามในท่อนำคลื่นแสงแบบตัวคู่ควบ (Coupler) ได้ดี และ ใช้คำนวณแทนวิธีทฤษฎีโหมดเชื่อมโยง (Coupling Mode Theory) ได้ นอกจากนี้ยังสามารถคำนวณหาค่าสนามของท่อนำคลื่นแสงที่มีรูปร่างเปลี่ยนแปลงตามแนวแพร่กระจายได้ดี ในการคำนวณยังแบ่งท่อนำคลื่นแสงออกเป็นช่วงย่อยๆ ทำให้ประหยัดการใช้หน่วยความจำในการคำนวณและประหยัดเวลาในการคำนวณ

ข้อด้อยของวิธีบีมพรอพากะชันคือการคำนวณละเอียดผลการสะท้อนกลับจากการแพร่กระจาย ดังนั้นวิธีบีมพรอพากะชันจึงไม่เหมาะในการวิเคราะห์ท่อนำคลื่นแสงที่มีการเปลี่ยนแปลงรูปร่างอย่างทันทีทันใดนอกจากนั้นการคำนวณจะให้คำตอบ เฉพาะในช่วงความถี่แคบเท่านั้นทำให้ไม่เหมาะกับงานที่ต้องการคำตอบช่วงความถี่กว้าง

วิธีบีมพรอพากะชันที่เลือกใช้ในวิทยานิพนธ์นี้ คือวิธีไฟไนต์อีลีเมนต์บีมพรอพากะชัน (Finite Element-Beam Propagation Method) โดยวิธีนี้นำวิธีไฟไนต์อีลีเมนต์มาแก้ไขปัญหาในระนาบตัดขวาง(xy) และใช้วิธีไฟไนต์ดิฟเฟอเรนซ์มาแก้ไขปัญหาในแนวแกน (z) การใช้งานวิธีนี้มีข้อดีคือ วิธีไฟไนต์อีลีเมนต์สามารถคำนวณบนหน้าตัดใดๆได้ดีกว่าวิธี ไฟไนต์ดิฟเฟอเรนซ์บีมพรอพากะชัน (Finite Difference –Beam Propagation Method) โดยวิธีไฟไนต์อีลีเมนต์สามารถแบ่งจำนวนอีลีเมนต์ให้เล็กมากๆได้และมีขนาดใดๆตามต้องการได้ (nonuniform finite element

mesh) ซึ่งทำให้สามารถแบ่งพื้นที่การคำนวณได้อย่างมีประสิทธิภาพและลดจำนวนโนดที่ใช้ในการคำนวณลง นอกจากนี้วิธีไฟไนต์อีลีเมนต์ยังสามารถปรับแต่งอีลีเมนต์ให้สอดคล้องกับสนามและรูปร่างของท่อนำคลื่นแสงในระหว่างขั้นการคำนวณได้ (adaptive mesh generation) ทำให้สามารถให้ผลการคำนวณที่ละเอียดแม่นยำขึ้น

จุดเด่นของงานวิทยานิพนธ์นี้ที่แตกต่างจากงานวิจัยอื่นๆคือ ผู้วิจัยได้นำเอาอัลกอริทึมแบบนิวมาร์กมาแก้ปัญหาในแนวแกนแทนวิธีเดิม (การประมาณแบบปาดะ และวิธีไฟไนต์ดิฟเฟอเรนซ์ อัลกอริทึม แครงก์-นิโคลสัน (Crank-Nicholson) ) โดยรายละเอียดจะกล่าวในหัวข้อถัดไป

### 1.3 สมการบีมพรอพาเกชัน

พิจารณาการคำนวณซึ่งเริ่มจากสมการคลื่นดังนี้

$$\frac{\partial^2 \phi}{\partial x^2} + \frac{\partial^2 \phi}{\partial y^2} + \frac{\partial^2 \phi}{\partial z^2} + k^2 \phi = 0 \quad (1.3)$$

โดยที่

$\phi$  คือ ฟังก์ชันของสนามไฟฟ้า หรือ ฟังก์ชันของสนามแม่เหล็ก,  $k$  คือ เลขคลื่นในอวกาศว่าง

วิธีการของ BPM จะสมมติให้สนามมีคำตอบอยู่ในรูป

$$\phi(x, y, z) = \psi(x, y, z) \exp(-jk_0 n_0 z) \quad (1.4)$$

โดยที่

$\psi$  คือ ขนาดของสนาม,  $k_0$  คือ เลขคลื่นในอวกาศว่าง,  $n_0$  คือ ดัชนีหักเหอ้างอิง

เมื่อแทนคำตอบของสมการ (1.4) ลงในสมการ (1.3) และนำวิธีไฟไนต์อีลีเมนต์มาแก้ไขปัญหาในระนาบตัดขวาง (xy) จะสามารถจัดรูปสมการให้อยู่ในรูปสมการอนุพันธ์อันดับสองดังนี้ (ในที่นี้ให้คลื่นแพร่กระจายในทิศทาง+z)

$$[C] \frac{d^2 \{\psi\}}{dz^2} + [D] \frac{d\{\psi\}}{dz} + [E] \{\psi\} = \{0\} \quad (1.5)$$

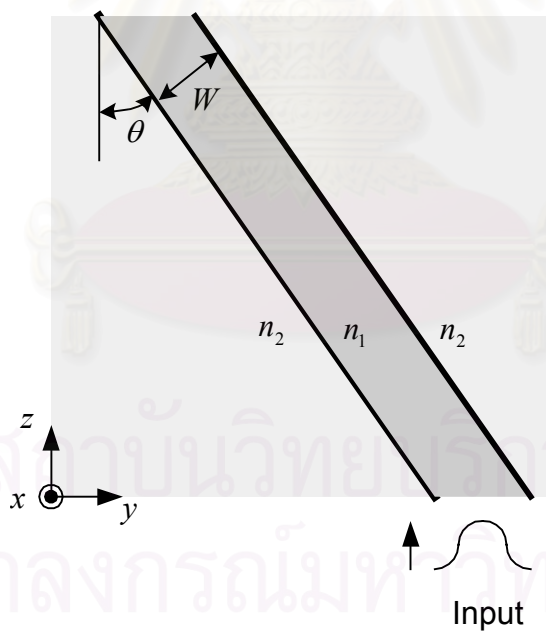
โดยที่  $[C]$ ,  $[D]$ ,  $[E]$  คือ เมทริกซ์ที่ได้จากการคำนวณด้วยวิธีไฟไนต์อีลีเมนต์ในระนาบตัดขวาง

ในกรณีที่ท่อนำคลื่นแสงมีรูปร่างเปลี่ยนแปลงตามแนวแกนน้อยเราสามารถพิจารณาให้สนามมีค่าเปลี่ยนแปลงไม่มากนักในแกนการแพร่กระจาย ดังนั้นการคำนวณจะประมาณอนุพันธ์อันดับสองของสนามเมื่อเทียบกับ  $z$  ให้เป็นศูนย์ ( $\frac{d^2}{dz^2} \approx 0$ ) ทำให้สามารถเขียนสมการ (1.5) ได้ดังนี้

$$[D]\frac{d\{\psi\}}{dz} + [E]\{\psi\} = \{0\} \quad (1.6)$$

การประมาณแบบนี้เรียกว่าการประมาณแบบเฟรสเนล และสมการ (1.6) เรียกว่าสมการเฟรสเนล หรือ สมการ paraxial

การประมาณแบบเฟรสเนลทำให้ลดรูปเมทริกซ์ที่ใช้ในการคำนวณลงทำให้ประหยัดหน่วยความจำและลดเวลาในการคำนวณลง แต่เมื่อนำมาวิเคราะห์ท่อนำคลื่นแสงที่รูปร่างมีการเปลี่ยนแปลงตามแนวแกนมากดังรูปที่ 1.8 จะทำให้ผลการคำนวณมีความคลาดเคลื่อนสูง ปัญหานี้เรียกว่าปัญหามุมกว้าง(wide angle) และท่อนำคลื่นแบบนี้ถูกเรียกว่าท่อนำคลื่นมุมกว้าง



รูปที่ 1.8 ท่อนำคลื่นที่มีรูปร่างเบี่ยงเบนจากแนวแกนมาก

นักวิจัยจำนวนมากเสนอการแก้ปัญหามุมกว้างนี้ หนึ่งในนั้นคือ Hadley (1992) โดย Hadley ได้เสนอการประมาณแบบปาเด (pade approximation) มาใช้แก้ปัญหามุมกว้างในงาน FD-BPM โดยลดสมการอนุพันธ์อันดับสองให้เหลือเพียงอนุพันธ์อันดับหนึ่ง

$$[F] \frac{d\{\psi\}}{dz} + [G]\{\psi\} = \{0\} \quad (1.7)$$

โดยที่  $[F]$ ,  $[G]$  เป็น เมทริกซ์ที่ลดรูปจากสมการ (1.5) จากอนุพันธ์อันดับสองเหลือเพียงอนุพันธ์อันดับหนึ่งโดยใช้การประมาณแบบปาเด

การประมาณแบบปาเดเป็นการประมาณแบบเศษส่วนโดย Koshiba and Tsuji (1996) นำมาใช้แก้ไขปัญหาในสมการสเกลาร์ FE-BPM ในขณะที่ schulz, Glingener, Bludzuweit and Voges (1998) นำมาใช้แก้ไขปัญหาในสมการเวกเตอร์ FE-BPM

จากสมการ (1.7) เราสามารถแก้สมการอนุพันธ์อันดับหนึ่งด้วยวิธีไฟไนต์ดิฟเฟอเรนซ์ได้ดังนี้

$$[H]\{\psi\}_{i+1} = [I]\{\psi\}_i \quad (1.8)$$

โดยที่

$\{\psi\}_{i+1}$  คือ สนามที่ระนาบ  $i + 1$

$\{\psi\}_i$  คือ สนามที่ระนาบ  $i$

$[H]$ ,  $[I]$  เป็น เมทริกซ์ที่หาได้จากวิธีไฟไนต์ดิฟเฟอเรนซ์

จากสมการ (1.8) พบว่าเมื่อป้อนสนามที่ระนาบ  $i$  สามารถคำนวณหาค่าสนามที่ระนาบ  $i + 1$  ได้ สมการ (1.8) เรียกว่าสมการ BPM

นอกจากการประมาณแบบปาเดแล้ว Hernandez (1994) ได้เสนอการประมาณแบบนิวมาร์กมาแก้สมการอนุพันธ์อันดับสอง การประมาณแบบนิวมาร์กได้รับความนิยมอย่างมากในงานไฟไนต์อีลีเมนต์โดเมนเวลา (finite element time domain) โดยใช้งานอย่างแพร่หลายในงานวิศวกรรมโยธา วิศวกรรมเครื่องกล และ วิศวกรรมสิ่งแวดล้อม เป็นต้น การประมาณแบบนิวมาร์กเป็นการประมาณการกระจายอนุกรมเทย์เลอร์ด้วยฟังก์ชันโพลีโนเมียลโดยสามารถแก้สมการอนุพันธ์อันดับสองและจัดรูปสมการออกมาได้ดังนี้

$$[J]\{\psi\}_{i+1} = [K]\{\psi\}_i + [L]\{\psi\}_{i-1} \quad (1.9)$$

โดยที่

$\{\psi\}_{i+1}$  คือ สนามที่ระนาบ  $i+1$

$\{\psi\}_i$  คือ สนามที่ระนาบ  $i$

$\{\psi\}_{i-1}$  คือ สนามที่ระนาบ  $i-1$

$[J]$ ,  $[K]$ ,  $[L]$  เป็นเมทริกซ์ที่หาได้จากวิธีนิวมาร์ก

การประมาณแบบปาเดมีข้อดีคือ

1. ให้ผลการคำนวณที่มีความแม่นยำสูงเนื่องจากการประมาณแบบเศษส่วน ถ้าต้องการความละเอียดของการคำนวณเพิ่มขึ้นสามารถเพิ่มอันดับการประมาณให้สูงขึ้นได้

2. การคำนวณเก็บค่าสนามเพียงระนาบเดียวทำให้ไม่สิ้นเปลืองหน่วยความจำมากนัก

การประมาณแบบปาเดมีข้อเสีย คือ

เมื่อสมการ (1.5) อยู่ในรูปที่ซับซ้อนการจัดรูปสมการต้องมีการหาอินเวอร์สของเมทริกซ์ซึ่งจะทำให้การคำนวณเสียเวลามากขึ้น และเป็นที่น่าทึ่งว่าการหาอินเวอร์สของเมทริกซ์จะทำให้ผลการคำนวณคลาดเคลื่อนเพิ่มขึ้น

การประมาณแบบนิวมาร์กมีข้อดีคือ

1. การจัดรูปสมการทำได้ง่ายเพราะอยู่ในรูปการบวกลบเมทริกซ์เท่านั้น

2. มีพารามิเตอร์ในการปรับค่าถึง 2 ตัวคือ  $\beta$  และ  $\gamma$  ทำให้สมการอยู่ในรูปทั่วไปมากกว่า นอกจากนั้นค่าพารามิเตอร์ทั้งสองยังช่วยในการปรับแต่งให้คำตอบไม่เกิดการลู่ออกได้ง่ายขึ้นอีกด้วย

3. จัดรูปสมการได้ทันทีไม่ต้องใช้วิธีไฟไนต์ดิฟเฟอเรนซ์ในการจัดรูปอีก



การประมาณแบบนิวมาร์กมีข้อเสียคือ

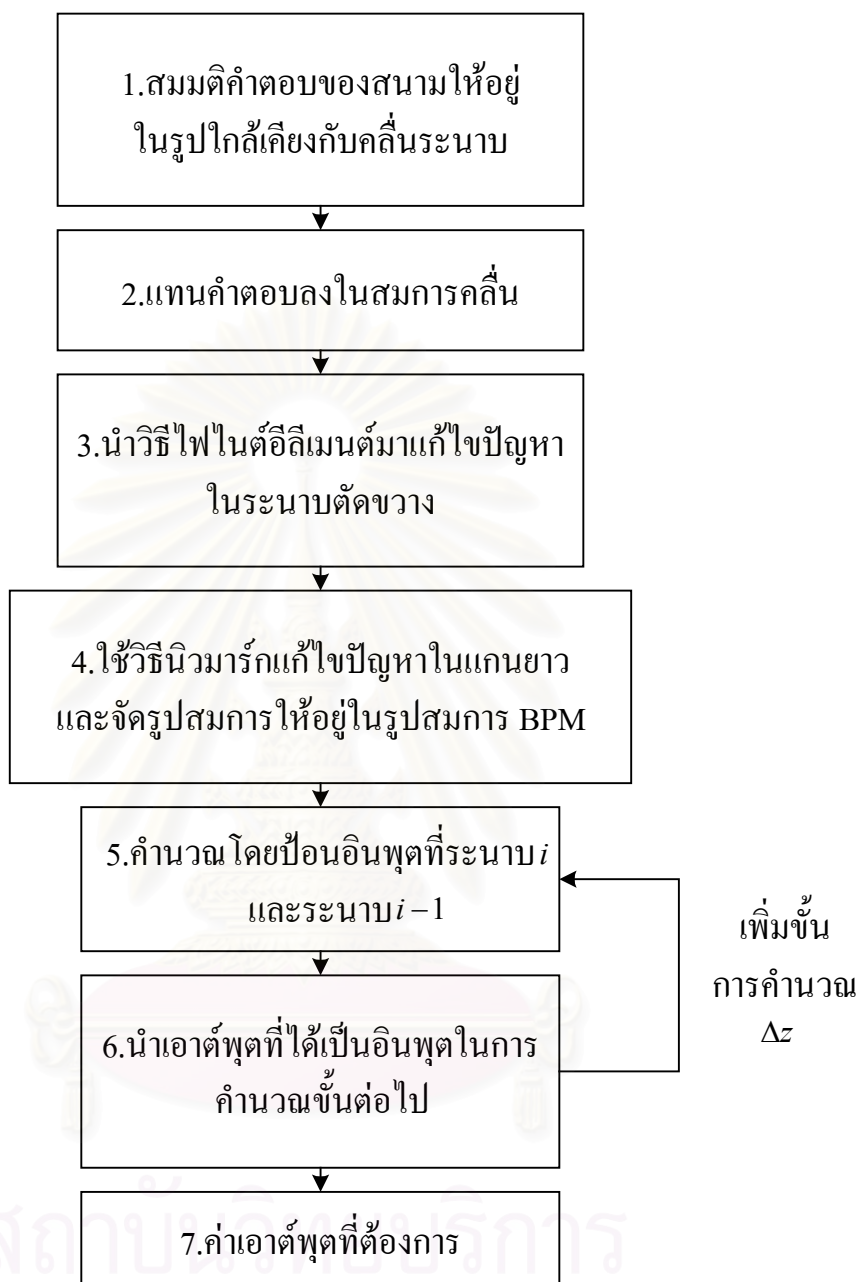
1. ต้องเก็บค่าสนามถึงสองระนาบทำให้ใช้หน่วยความจำเพิ่มขึ้น

2. ผลการคำนวณมีความถูกต้องแม่นยำน้อยกว่าวิธีปาเดเนื่องมาจากการประมาณแบบเศษส่วน (ปาเด) ให้ผลการคำนวณที่ถูกต้องมากกว่าการประมาณแบบโพลีโนเมียล (นิวมาร์ก)

เมื่อเปรียบเทียบข้อดีข้อเสียของทั้งสองวิธี พบว่าในกรณีที่สมการมีความยุ่งยากมากขึ้นตัวอย่างเช่นในกรณีสมการเวกเตอร์ของวัสดุไบแอนไอโซทรอปิก การประมาณแบบปาเดต้องหาอินเวอร์สเมทริกซ์จะทำให้เสียเวลาและใช้หน่วยความจำเป็นจำนวนมากโดยเฉพาะอย่างยิ่งเมื่อเมทริกซ์มีขนาดใหญ่มาๆ ดังนั้นในวิทยานิพนธ์นี้จึงนำการประมาณแบบนิวมาร์กมาใช้งาน

รูปที่ 1.9 เป็นการสรุปขั้นตอนการคำนวณด้วยวิธี FE-BPM อัลกอริทึม นิวมาร์ก ผู้วิจัยได้วิจัยเพิ่มเติมจากงานที่ Hernandez ได้เสนอไว้โดยคำนวณสมการทั้งแบบสเกลาร์และแบบเวกเตอร์ ศึกษาการคำนวณทั้งสนามไฟฟ้าและสนามแม่เหล็ก คำนวณทั้งท่อนำคลื่นแสงแบบ 2 มิติ และ 3 มิติ และศึกษาการใช้เงื่อนไขขอบเขตทั้งแบบโปร่งใสและแบบชั้นดูดซับ ในสมการเวกเตอร์ได้เลือกใช้ฟังก์ชันฐานแบบอีลีเมนต์ขอบที่ให้การคำนวณในผิวรอยต่อที่ต่อเนื่องกันตลอดทั้งหน้าตัด นอกจากนั้นในงานท่อนำคลื่นแสงแบบสองมิติยังเสนอเงื่อนไขขอบเขตแบบใหม่ที่ใช้งานร่วมระหว่างเงื่อนไขขอบเขตแบบชั้นดูดซับและเงื่อนไขขอบเขตชนิดที่สามอีกด้วย โดยสามารถเปรียบเทียบงานวิทยานิพนธ์นี้กับงานวิจัยอื่นๆ ได้ดังตารางที่ 1.2 และ 1.3

สถาบันวิทยบริการ  
จุฬาลงกรณ์มหาวิทยาลัย



รูปที่ 1.9 ขั้นตอนการคำนวณด้วยวิธีไฟไนต์อีลีเมนต์บีมพรอพagation เกชันอัลกอริทึมนิวมาร์ก

ตารางที่ 1.2 ตารางเปรียบเทียบงานวิจัยต่างๆที่ใช้สมการสเกลาร์ไฟไนต์อีลีเมนต์ปริมพหุพหุเกณฑ์ในการคำนวณกับงานในวิทยานิพนธ์นี้

| งานวิจัย                              | สมการ    | พอน้ำคลื่นแสง | วิธีแก้ปัญหาในแนวแกน | เงื่อนไขขอบเขต | วัสดุ                        | หมายเหตุ                           |
|---------------------------------------|----------|---------------|----------------------|----------------|------------------------------|------------------------------------|
| Schmidt (1993)                        | เฟรสเนล  | 2 มิติ        | Implicit midpoint    | Neumann        | ไอโซทรอปิก                   | adaptive mesh generation           |
| Hernandez (1994,a)                    | นิวมาร์ก | 2 มิติ        | นิวมาร์ก             | TBC            | ไอโซทรอปิก                   |                                    |
| Hernandez (1994,b)                    | นิวมาร์ก | 2 มิติ        | นิวมาร์ก             | TBC            | ไม่เชิงเส้น                  |                                    |
| Tsuji and Koshiha (1996)              | เฟรสเนล  | 2 มิติ        | Crank-Nicholson      | TBC            | ไอโซทรอปิก และ แอนไอโซทรอปิก |                                    |
| Koshiha and Tsuji (1996)              | ปาเด     | 2 มิติ        | Crank-Nicholson      | TBC            | ไอโซทรอปิก                   |                                    |
| Tsuji, Koshiha, and Tanabe (1997)     | ปาเด     | 2 มิติ        | Crank-Nicholson      | TBC            | ไอโซทรอปิก                   | adaptive mesh generation           |
| Tsuji, Koshiha, and Shiraiishi (1997) | ปาเด     | 3 มิติ        | Crank-Nicholson      | TBC            | ไอโซทรอปิก                   | ปรับปรุง TBC                       |
| Mitomi and Kasaya (1997)              | ปาเด     | 2 มิติ        | Crank-Nicholson      | TBC            | ไอโซทรอปิก                   | ใช้ปาเดอันดับสูงในการคำนวณ         |
| Niyama and Koshiha (1998)             | ปาเด     | 3 มิติ        | Crank-Nicholson      | TBC            | ไม่เชิงเส้น                  |                                    |
| Tsuji, Koshiha, and Takimoto (1999)   | ปาเด     | 3 มิติ        | Crank-Nicholson      | TBC            | แอนไอโซทรอปิก                |                                    |
| Koshiha, Tsuji and Hikari (1999)      | ปาเด     | 2 มิติ        | Crank-Nicholson      | PML            | ไอโซทรอปิก                   |                                    |
| Saitoh, Koshiha, and Tsuji (1999)     | ปาเด     | 3 มิติ        | Crank-Nicholson      | TBC            | แอนไอโซทรอปิก                | ใช้วิเคราะห์ Piezoelectric Effects |
| Yasui, Koshiha, and Tsuji (1999)      | ปาเด     | 2 มิติ        | Crank-Nicholson      | PML            | ไม่เชิงเส้น                  |                                    |
| Tsuji and Koshiha (2000)              | ปาเด     | 3 มิติ        | Crank-Nicholson      | PML            | ที่มีความสูญเสีย             |                                    |
| Saitoh and Koshiha (2001)             | ปาเด     | 3 มิติ        | Von-Nuemann          | PML            | แอนไอโซทรอปิก                |                                    |
| วิทยานิพนธ์                           | นิวมาร์ก | 2,3 มิติ      | นิวมาร์ก             | TBC, PML       | ไอโซทรอปิก และ แอนไอโซทรอปิก |                                    |

ตารางที่ 1.3 ตารางเปรียบเทียบงานวิจัยต่างๆที่ใช้สมการเวกเตอร์ไฟไนต์อีลีเมนต์บีมพหุพหุภาคชั้นในการคำนวณกับงานในวิทยานิพนธ์นี้

| งานวิจัย  | สมการ    | สนาม | ฟังก์ชันฐาน  | วิธีแก้ปัญหา<br>ในแนวแกน | เงื่อนไขขอบเขต | วัสดุ                     | หมายเหตุ      |
|---|----------|------|--------------|--------------------------|----------------|---------------------------|---------------|
| Mc $h_t$ nari, Selleri, Vincetti and Zoboli (1998)            | เฟรสเนล  |      | โนด          | Von-Nuemann              | Neumann        | ไอโซทรอปิก                |               |
| $\phi_t, \phi_z$ Glingener, Bludzuweit and Voges (1998)       | ปาเด     |      | อีลีเมนต์ขอบ | Crank-Nicholson          | Neumann        | ไอโซทรอปิก                |               |
| Cu $\phi_t$ otta, Pelosi, Selleri, Vincetti and Zoboli (1999) | เฟรสเนล  |      | โนด          | Von-Nuemann              | PMA            | ไอโซทรอปิก                |               |
| Pir $h_t$ iro and Hernandez (2000)                            | เฟรสเนล  |      | โนด          | Von-Nuemann              | dirichlet      | แอนไอโซทรอปิก แบบ biaxial |               |
| Ok $h_t$ ya, Rahmann and Mikati (2000)                        | ปาเด     |      | โนด          | Von-Nuemann              | PML            | ไอโซทรอปิก                |               |
| Pir $h_t$ iro, Barbero and Hernandez (2000)                   | เฟรสเนล  |      | โนด          | Von-Nuemann              | dirichlet      | แอนไอโซทรอปิก full tensor |               |
| T $\phi_t, \phi_z$ d Koshiba (2000)                           | ปาเด     |      | อีลีเมนต์ขอบ | Crank-Nicholson          | Neumann        | ไอโซทรอปิก                | adaptive mesh |
| Se $\phi_t$ i, Vincetti and Zoboli (2000)                     | เฟรสเนล  |      | โนด          | Von-Nuemann              | PMA            | แอนไอโซทรอปิก full tensor |               |
| S $\phi_t, \phi_z$ ind Koshiba (2001)                         | ปาเด     |      | อีลีเมนต์ขอบ | Von-Nuemann              | PML            | แอนไอโซทรอปิก full tensor |               |
| วิ $\phi_t, \phi_z$ เนย์                                      | นิวมาร์ก |      | อีลีเมนต์ขอบ | นิวมาร์ก                 | PML            | แอนไอโซทรอปิก full tensor |               |

หมายเหตุ

ปาเด คือ การประมาณแบบปาเด, เฟรสเนล คือ การประมาณแบบเฟรสเนล หรือ การประมาณแบบ paraxial, นิวมาร์ก คือ การประมาณแบบนิวมาร์ก

$\phi_t, \phi_z$  คือ สนามในระนาบตัดขวางกับสนามในแนวแกน,  $h_t$  คือ สนามแม่เหล็กระนาบตัดขวาง, TBC คือ เงื่อนไขขอบเขตแบบโปร่งใส

PMA คือ เงื่อนไขขอบเขตแบบPML ชนิด วัสดุดูดซับแอนไอโซทรอปิก (anisotropic absorber)

PML คือ เงื่อนไขขอบเขตแบบPML ในที่นี้หมายถึงแบบแปลงตัวแปร (stretched coordinate)

การนำเสนอในวิทยานิพนธ์นี้แบ่งออกเป็น 5 บท ดังนี้ บทที่ 1 บทนำ บทที่ 2 เสนอวิธีวิเคราะห์การแพร่กระจายของคลื่นแสงในท่อนำคลื่นแสงแบบ 2 มิติ (planar optical waveguide) โดยใช้สมการสเกลาร์อัลกอร์ที่มินิวมาร์กและแสดงตัวอย่างการวิเคราะห์บนท่อนำคลื่นแสงตัวคู่ควบ (coupler optical waveguides) ท่อนำคลื่นแสงโค้งรูปตัวเอส (S bended optical waveguide) ในบทที่ 3 เสนอวิธีวิเคราะห์การแพร่กระจายคลื่นแสงบนท่อนำคลื่นแสงแบบ 3 มิติ (3 Dimensional optical waveguide) โดยใช้สมการสเกลาร์อัลกอร์ที่มินิวมาร์ก และนำเสนอผลการวิเคราะห์ในท่อนำคลื่นแสงแบบตัวคู่ควบ (directional coupler optical waveguide), ท่อนำคลื่นแสงแบบริบ (rib optical waveguide), ท่อนำคลื่นแสงแบบริบรูปตัววาย (Y-rib optical waveguide), และ ท่อนำคลื่นแสงแบบตัวแยกโดดเดี่ยวแบบแมกนีโตออปติก (magneto-optic isolator optical waveguide) ในบทที่ 4 เสนอวิธีการวิเคราะห์การแพร่กระจายของคลื่นแสงด้วยสมการเวกเตอร์ (full vector wave equation) และแสดงผลการคำนวณการวิเคราะห์ในท่อนำคลื่นแสงแบบริบ, ท่อนำคลื่นแสงแบบริบรูปตัววาย, ท่อนำคลื่นแสงแบบฝังในแผ่นฐาน (embedded optical waveguide) และใยแก้วนำแสงแบบ stress birefringence optical fiber, บทที่ 5 เป็นการสรุปและวิจารณ์

#### 1.4 วัตถุประสงค์ของการวิจัย

1. ศึกษาและเสนอวิธีวิเคราะห์การแพร่กระจายของลำแสงที่เดินทางไปในท่อนำคลื่นแสงโดยวิธีไฟไนต์อีลีเมนต์
2. พัฒนาริวิวิเคราะห์ให้สามารถใช้ได้กับท่อนำคลื่นแสงที่มีโครงสร้าง 3 มิติแบบใดๆ และมีความยาวอยู่ในช่วงที่ไม่เกิน 1000 เท่าของความยาวคลื่นแสง และสามารถใช้งานได้กับท่อนำคลื่นแสงที่มีสมบัติทางไฟฟ้าของตัวกลางเป็นแบบแอนไอโซทรอปิก

## 1.5 ขอบเขตของการวิจัย

1. ศึกษาและเสนอวิธีวิเคราะห์การแพร่กระจายของลำแสงที่เดินทางในท่อนำคลื่นแสงด้วยวิธีไฟไนต์อีลีเมนต์โดยใช้สมการคลื่นในรูปเวกเตอร์
2. พัฒนารูปวิเคราะห์ให้สามารถใช้ได้กับท่อนำคลื่นแสงที่มีโครงสร้าง 3 มิติแบบใด ๆ และมีความยาวอยู่ในช่วงที่ไม่เกิน 1000 เท่าของความยาวคลื่นแสง อีกทั้งยังสามารถใช้ได้กับท่อนำคลื่นแสงที่มีสมบัติทางไฟฟ้าของตัวกลางเป็นแบบแอนไอโซทรอปิก
3. พิจารณาเงื่อนไขขอบเขตที่เหมาะสมกับการวิเคราะห์แบบเวกเตอร์ไฟไนต์อีลีเมนต์ปริมพรอพาเกชัน
4. เปรียบเทียบผลการคำนวณกับงานวิจัยที่ได้นำเสนอมาแล้ว

## 1.6 ประโยชน์ที่คาดว่าจะได้รับ

1. ได้พัฒนาองค์ความรู้เกี่ยวกับการวิเคราะห์ท่อนำคลื่นแสงแบบ 3 มิติโดยใช้การคำนวณด้วยคอมพิวเตอร์
2. โปรแกรมตัวอย่างเพื่อนำไปพัฒนาและวิเคราะห์ท่อนำคลื่นแสงแบบต่างๆ

## 1.7 ขั้นตอนและวิธีดำเนินการวิจัย

1. ศึกษาวิธี FE-BPM ที่มีผู้นำเสนอมาแล้ว
2. ศึกษาสมการคลื่นแบบเวกเตอร์ และไฟไนต์อีลีเมนต์แบบอีลีเมนต์ขอบ
3. เขียนโปรแกรมและทดสอบ
4. วิเคราะห์และแก้ไข
5. สรุปและรวบรวมผลการคำนวณ
6. จัดทำเอกสารวิทยานิพนธ์

## บทที่ 2

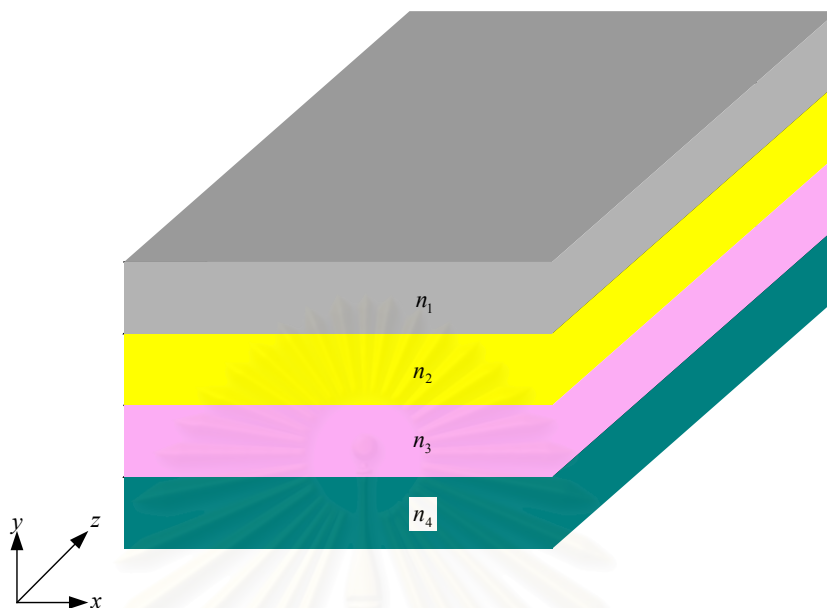
### การวิเคราะห์ท่อนำคลื่นแสง 2 มิติด้วยวิธีไฟไนต์อีลีเมนต์ปีมพรอพาเกชัน และอัลกอริทึมแบบนิวมาร์ก

#### 2.1 ความนำ

ในบทนี้จะกล่าวถึงวิธีวิเคราะห์ท่อนำคลื่นแสงด้วยวิธีไฟไนต์อีลีเมนต์ปีมพรอพาเกชันและอัลกอริทึมแบบนิวมาร์กในท่อนำคลื่นแสงแบบ 2 มิติ ทฤษฎีต่าง ๆ ที่นำเสนอในบทนี้จะเป็นหลักการสำคัญที่ใช้ในการคำนวณในบทถัดไป การคำนวณในกรณีของท่อนำคลื่นแสง 2 มิติเป็นการคำนวณที่ง่าย, รวดเร็ว และไม่ซับซ้อน จึงเหมาะที่จะนำมาทดสอบอัลกอริทึมนิวมาร์ก เนื้อหาในบทนี้ประกอบด้วย 4 หัวข้อ ในหัวข้อ 2.2 กล่าวถึงอัลกอริทึมนิวมาร์กที่จะนำมาใช้ในการคำนวณตลอดในงานวิทยานิพนธ์นี้ โดยนำเสนอในรูปแบบของการใช้ในสมการสเกลาร์สำหรับการวิเคราะห์ท่อนำคลื่นแสง 2 มิติ ในหัวข้อ 2.3 จะเป็นการนำเสนอตัวอย่างการคำนวณด้วยวิธีไฟไนต์อีลีเมนต์ปีมพรอพาเกชันและอัลกอริทึมนิวมาร์กในกรณีของท่อนำคลื่นแสงแบบ ตัวคู่ควบและท่อนำคลื่นแสงโค้งรูปตัวอักษรเอส(s) พร้อมผลการเปรียบเทียบระหว่างผลการคำนวณของอัลกอริทึมแบบปาดกับอัลกอริทึมนิวมาร์กที่นำเสนอในงานวิทยานิพนธ์นี้ นอกจากนี้ยังนำเสนอผลและการหาค่าสัมประสิทธิ์นิวมาร์กที่เหมาะสม ในหัวข้อ 2.4 จะกล่าวถึง เงื่อนไขขอบเขตที่ระยะอนันต์ 2 แบบคือ เงื่อนไขขอบเขตแบบโปร่งใส (transparent boundary- condition) และเงื่อนไขขอบเขตแบบPML (perfectly matched layer) ในหัวข้อ 2.5 จะกล่าวถึงเงื่อนไขขอบเขตแบบผสมที่ผู้วิจัยนำเสนอ

#### 2.2 วิธีไฟไนต์อีลีเมนต์ปีมพรอพาเกชันและอัลกอริทึมนิวมาร์ก

ท่อนำคลื่นแสง 2 มิติเป็นท่อนำคลื่นแสงที่มีโครงสร้างซึ่งประกอบด้วยแผ่นตัวกลางหลายชนิดที่ถูกนำมาเรียงซ้อนกัน โครงสร้างตามแกนหนึ่งมีความสม่ำเสมอจึงถือได้ว่าสนามแม่เหล็กไฟฟ้าของคลื่นแสงไม่แปรตามระยะทางในแกนนี้ โครงสร้างของท่อนำคลื่นแสง 2 มิติแสดงได้ดังในรูปที่ 2.1 การวิเคราะห์ในบทนี้จะถือว่าตัวกลางเป็นไดอิเล็กตริกไร้การสูญเสียแบบไอโซทรอปิก เชิงเส้น และคลื่นแสงที่พิจารณามีการเปลี่ยนแปลงตามเวลาแบบไซน์ซายด์ด้วยความถี่เชิงมุม  $\omega$  (rad/s) สมมติให้โครงสร้างของท่อนำคลื่นแสงมีความสม่ำเสมอในแนวแกน x ดังนั้นค่าดัชนีหักเหของแสงในตัวกลางไดอิเล็กตริกก็จะเป็นฟังก์ชันของ  $(y,z)$  โดยใช้สัญลักษณ์เป็น  $n(y,z)$



รูปที่ 2.1 โครงสร้างทั่วไปของท่อนำคลื่นแสง 2 มิติ

คลื่นแสงที่แพร่กระจายในโครงสร้างของท่อนำคลื่นแสงสามารถวิเคราะห์ได้จากชุดสมการแมกซ์เวลล์ดังนี้

$$\nabla \times \vec{E} = -j\omega\mu_0\vec{H} \quad (2.1a)$$

$$\nabla \times \vec{H} = j\omega\varepsilon_0 n^2 \vec{E} \quad (2.1b)$$

$$\nabla \cdot \varepsilon_0 n^2 \vec{E} = 0 \quad (2.1c)$$

$$\nabla \cdot \vec{H} = 0 \quad (2.1d)$$

ในที่นี้  $\vec{E}$  คือ ความเข้มสนามไฟฟ้าในหน่วย V/m,  $\vec{H}$  คือ ความเข้มสนามแม่เหล็กในหน่วย A/m,  $\mu_0$  คือค่าความซึมได้ของอวกาศว่าง,  $\varepsilon_0$  คือค่าสภาพยอมของอวกาศว่าง,  $n$  คือค่าดัชนีหักเหของตัวกลาง เมื่อให้  $\frac{\partial}{\partial x} = 0$  เนื่องจากโครงสร้างของท่อนำคลื่นสม่ำเสมอตามแกน  $x$  และจัดรูปชุดสมการ (2.1) แล้ว จะสามารถแบ่งคลื่นที่เกิดขึ้นได้เป็น 2 ชุดคือ คลื่น TM ซึ่งประกอบด้วยองค์ประกอบ  $H_x, E_y, E_z$  และ คลื่น TE ซึ่งประกอบด้วยองค์ประกอบ  $E_x, H_y, H_z$



สมการของคลื่นชุด TE และ TM แสดงได้ดังนี้

$$p\nabla^2\phi + k_0^2q\phi = 0 \quad (2.2)$$

โดยที่

$$\phi = \begin{cases} E_x & \text{for TE} \\ H_x & \text{for TM} \end{cases} \quad (2.3a)$$

$$p = \begin{cases} 1 & \text{for TE} \\ 1/n^2 & \text{for TM} \end{cases}, \quad q = \begin{cases} n^2 & \text{for TE} \\ 1 & \text{for TM} \end{cases} \quad (2.3b)$$

และ  $\nabla^2 = \frac{\partial^2}{\partial y^2} + \frac{\partial^2}{\partial z^2}$ ,  $k_0$  คือเลขคลื่นในอวกาศว่าง

คลื่นแสงที่พิจารณาจะประกอบไปด้วยส่วนของคลื่นแสงที่เป็นคลื่นรูปไซน์ที่มีความถี่สูงมาก(ในย่าน  $10^{14}$  Hz) ซึ่งมีแอมพลิจูดแปรตามตำแหน่ง  $(y,z)$  ตามหลักการของวิธี BPM จะให้คำตอบของสนามแม่เหล็กไฟฟ้าของคลื่นแสงแสดงในรูปของผลคูณของฟังก์ชัน 2 ฟังก์ชัน คือ ฟังก์ชันไซน์ซออดต์ที่แพร่กระจายไปตามแกน  $z$  ซึ่งถือว่าเป็นแกนของท่อนำคลื่นแสงในระบบ ด้วยความเร็วเสมือนว่าเป็นคลื่นระนาบซึ่งแพร่กระจายในตัวกลางที่มีค่าดัชนีหักเหของแสง  $n_0$  เรียกค่าดัชนีหักเหของแสง  $n_0$  ว่าค่าดัชนีหักเหของแสงอ้างอิง (reference index) ของระบบ ผลคูณของฟังก์ชันทั้งสองสามารถแสดงได้ดังนี้

$$\phi = \psi_x(y,z)\exp(-jk_0n_0z) \quad (2.4)$$

โดยที่  $\psi_x(y,z)$  คือ ขนาดของแอมพลิจูดที่แปรตาม  $y$  และ  $z$  และ  $\exp(-jk_0n_0z)$  คือ ฟังก์ชันของคลื่นที่แพร่กระจายไปในทิศทางตามแกน  $+z$

ฟังก์ชัน  $\psi_x(y,z)$  เป็นฟังก์ชันที่เราต้องการคำตอบ ในขณะที่ค่าดัชนีหักเหอ้างอิง  $n_0$  จะถูกกำหนดให้เหมาะสม เราสามารถเลือกค่า  $n_0$  ได้หลายค่าในช่วงของค่าดัชนีหักเหของแสงในตัวกลางของท่อนำคลื่นที่มีค่ามากที่สุดและน้อยที่สุด นอกจากการเลือกค่า  $n_0$  ให้เป็นค่าคงที่แล้วยังมีวิธีการเลือกค่า  $n_0$  ให้สามารถปรับค่าได้ (adaptive) อีกด้วย การคำนวณที่ใช้ในวิทยานิพนธ์นี้จะละเลยการแพร่กระจายสะท้อนกลับในทิศทาง  $-z$  นั่นคือจะสมมติให้คลื่นแพร่กระจายในทิศทาง  $+z$  เพียงทางเดียว อย่างไรก็ตามยังมีวิธี BPM แบบ สองทิศทาง (Bidirectional) ที่พิจารณการสะท้อนกลับรวมเข้ากับการคำนวณด้วย ซึ่งไม่ได้อยู่ในขอบเขตของงานในวิทยานิพนธ์นี้ ดังนั้นปัญหาท่อนำคลื่นที่นำมาวิเคราะห์จึงพิจารณาเฉพาะท่อนำคลื่นที่มีความต่อเนื่อง

ในแกนการแพร่กระจายเท่านั้น (ไม่พิจารณาที่อนาคตซึ่งมีการเปลี่ยนแปลงรูปร่างอย่างทันทีทันใดตามแกน z )

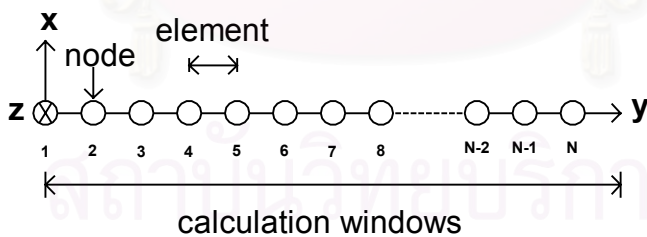
การหาผลเฉลยของฟังก์ชัน  $\psi_x(y, z)$  เริ่มจากการแทนสมการ (2.4) ลงในสมการ (2.2) แล้วจัดรูปสมการใหม่ให้อยู่ในรูปดังนี้

$$p \frac{\partial^2 \psi_x}{\partial z^2} + p \frac{\partial^2 \psi_x}{\partial y^2} - 2jk_0 n_0 p \frac{\partial \psi_x}{\partial z} + (k_0^2 q - k_0^2 n_0^2 p) \psi_x = 0 \quad (2.5)$$

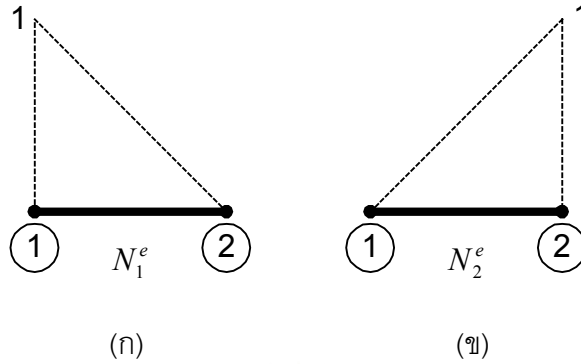
วิธีไฟไนต์อีลีเมนต์จะใช้ในการประมาณฟังก์ชัน  $\psi_x(y, z)$  ในส่วนที่แปรตามแกน y ซึ่งเป็นแกนตามขวาง (transverse axis) ณ ระนาบ  $z = z_0$  เริ่มต้นด้วยการแบ่งแกนตามขวางออกเป็นเส้นย่อยหรืออีลีเมนต์หนึ่งมิติดังรูปที่ 2.2 ฟังก์ชันในช่วงอีลีเมนต์แต่ละอีลีเมนต์จะประมาณด้วยฟังก์ชันฐานแบบ 1 มิติ ดังรูปที่ 2.3 คู่กับพารามิเตอร์ไม่ทราบค่า แสดงในรูปของผลคูณเมทริกซ์ดังนี้

$$\psi_x^e(y, z_0) = \{N(y)\}^T \{\varphi_x^e\} \Big|_{z_0} \quad (2.6)$$

โดยที่ฟังก์ชันรูปร่าง  $\{N(y)\}^T = \begin{bmatrix} N_1^e(y) \\ N_2^e(y) \end{bmatrix}$  แสดงในรูปทรานซโพสของเมทริกซ์ขนาด  $2 \times 1$ ,  $\{\varphi^e\} = [\varphi_1^e, \varphi_2^e]$  คือพารามิเตอร์ไม่ทราบค่าซึ่งมีอยู่ 2 ตัวต่อหนึ่งอีลีเมนต์ ในที่นี้  $\varphi_1^e$  และ  $\varphi_2^e$  คือ  $\psi_x$  ที่โนดที่ 1 และโนดที่ 2 ของอีลีเมนต์หมายเลข e ตามลำดับ



รูปที่ 2.2 การแบ่งแกนขวางออกเป็นอีลีเมนต์ย่อย



รูปที่ 2.3 ฟังก์ชันฐานของไฟไนต์อีลีเมนต์ 1 มิติ (ก)  $N_1^e$  (ข)  $N_2^e$

เมื่อแทนฟังก์ชัน  $\psi_x^e(y, z_0)$  ตามสมการ (2.6) ลงในสมการ (2.5) จะได้ว่า

$$p\{N\}^T \frac{\partial^2 \{\varphi_x^e\}}{\partial z^2} + p \frac{\partial^2 \{N\}^T}{\partial y^2} \{\varphi_x^e\} - 2jk_0 n_0 p\{N\}^T \frac{\partial \{\varphi_x^e\}}{\partial z} + (k_0^2 q - k_0^2 n_0^2 p)\{N\}^T \{\varphi_x^e\} = \{0\} \quad (2.7)$$

การหาผลเฉลยของพารามิเตอร์ไม่ทราบค่าจะทำโดยใช้วิธีหาปริพันธ์ถ่วงน้ำหนักของเศษตกค้าง (weighted residual integral) ตามวิธีกาลิเคอริน (Galerkin method) กล่าวคือจะหาผลคูณภายใน (inner product) ของสมการ (2.7) ด้วยฟังก์ชันทดสอบ และนำผลที่ได้จากอีลีเมนต์แต่ละอีลีเมนต์มารวมกัน ผลที่ได้คือชุดสมการพีชคณิตเชิงเส้นที่มีจำนวนสมการเท่ากับจำนวนพารามิเตอร์ไม่ทราบค่าแสดงเป็นสมการได้ดังนี้

$$\begin{aligned} & \sum_{i=1}^e \int p\{N_i\}\{N_i\}^T dy \frac{d^2 \{\varphi_x^e\}}{dz^2} + \sum_{i=1}^e \int p\{N_i\} \frac{d^2 \{N_i\}^T}{dy^2} dy \{\varphi_x^e\} \\ & - 2jk_0 n_0 \sum_{i=1}^e \int p\{N_i\}\{N_i\}^T dy \frac{d\{\varphi_x^e\}}{dz} + \sum_{i=1}^e \int k_0^2 q \{N_i\}\{N_i\}^T dy \{\varphi_x^e\} \\ & - k_0^2 n_0^2 \sum_{i=1}^e \int p\{N_i\}\{N_i\}^T dy \{\varphi_x^e\} = \{0\} \end{aligned} \quad (2.8)$$

แปลงพจน์ในสมการ (2.8) ที่มีอนุพันธ์อันดับสองให้เป็นพจน์ที่มีอนุพันธ์อันดับหนึ่งโดยใช้ความสัมพันธ์ในสมการ (2.9)

$$\frac{d}{dy} \left( \{N\} \frac{d\{N\}^T}{dy} \right) = \frac{d\{N\}}{dy} \frac{d\{N\}^T}{dy} + \{N\} \frac{d^2 \{N\}^T}{dy^2} \quad (2.9)$$

ผลที่ได้คือ

$$\begin{aligned} \sum_{i=1}^e \int \{N_i\} \frac{d^2 \{N_i\}^T}{dy^2} dy &= \sum_{i=1}^e \int \frac{d}{dy} \left( \{N_i\} \frac{d \{N_i\}^T}{dy} \right) dy - \sum_{i=1}^e \int \frac{d \{N_i\}}{dy} \frac{d \{N_i\}^T}{dy} dy \\ &= \{N_i\} \frac{d \{N_i\}^T}{dy} \Big|_{x_1}^{x_N} - \sum_{i=1}^e \int \frac{d \{N_i\}}{dy} \frac{d \{N_i\}^T}{dy} dy \end{aligned} \quad (2.10)$$

เมื่อแทนผลจากสมการ (2.10) ลงในสมการ (2.8) แล้ว จัดรูปสมการใหม่ได้ผล  
เป็น

$$[M] \frac{d^2 \{\varphi_x\}}{dz^2} - 2jk_0 n_0 [M] \frac{d \{\varphi_x\}}{dz} + ([K] - k_0^2 n_0^2 [M]) \{\varphi_x\} = \{0\} \quad (2.11)$$

โดยที่  $[K]$  และ  $[M]$  คือเมทริกซ์จัตุรัสที่มีความสมมาตร โดยที่ค่าของสมาชิกจะแปรตามเงื่อนไขขอบเขตที่ระยะอนันต์ที่เลือกใช้งานว่าเป็นแบบใด

- ถ้าเลือกเงื่อนไขขอบเขตแบบโปร่งใส (รายละเอียดในภาคผนวก ค )

เมทริกซ์  $[K]$  และ  $[M]$  จะเป็นดังนี้

$$[K] = [K]' + [K]_r \quad (2.12)$$

โดยที่

$$[K]' = \sum_{i=1}^e \int k_0^2 q \{N_i\} \{N_i\}^T - p \frac{d \{N_i\}}{dy} \frac{d \{N_i\}^T}{dy} dy \quad (2.13a)$$

$$[K]_r = p \begin{bmatrix} -jk_1 & 0 & 0 & 0 & 0 \\ 0 & \dots & \dots & \dots & 0 \\ 0 & \dots & \dots & \dots & 0 \\ 0 & \dots & \dots & \dots & 0 \\ 0 & 0 & 0 & 0 & -jk_m \end{bmatrix} \quad (2.13b)$$

$$[M] = \sum_{i=1}^e \int p \{N_i\} \{N_i\}^T dy \quad (2.13c)$$

ในที่นี้  $k_1$  และ  $k_m$  เป็นสัมประสิทธิ์ของเงื่อนไขขอบเขตแบบโปร่งใส (TBC)

- ถ้าใช้เงื่อนไขขอบเขตแบบPML เมทริกซ์  $[K]$  และ  $[M]$  เขียนได้ดังนี้

$$[K] = \sum_{i=1}^e \int qsk_0^2 \{N_i\} \{N_i\}^T - \frac{1}{s} p \frac{d\{N_i\}}{dy} \frac{d\{N_i\}^T}{dy} dy \quad (2.14a)$$

$$[M] = \sum_{i=1}^e \int sp \{N_i\} \{N_i\}^T dy \quad (2.14b)$$

โดย  $s$  คือ PML พารามิเตอร์ (รายละเอียดในภาคผนวก ง)

การแก้สมการอนุพันธ์อันดับสองของตัวแปร  $z$  ดังในสมการ (2.11) จะทำโดยการประมาณอนุพันธ์  $\frac{\partial}{\partial z}$  ในรูปของผลต่าง งานวิจัยในช่วงแรกของวิธี BPM จะใช้การประมาณแบบเฟรสเนล (แบบ paraxial) กล่าวคือประมาณให้  $\left(\frac{\partial^2}{\partial z^2} \approx 0\right)$  เนื่องจากถือว่า  $\psi_x(y, z)$  มีการเปลี่ยนแปลงไม่มากนักในทิศทางแพร่กระจาย การใช้การประมาณแบบเฟรสเนลช่วยลดเมทริกซ์ที่ใช้ในการคำนวณลงและช่วยลดเวลาในการคำนวณ อย่างไรก็ตามการประมาณแบบเฟรสเนลให้ข้อผิดพลาดมากเมื่อใช้กับท่อนำคลื่นที่มีรูปร่างเปลี่ยนในแนวแกนมาก (wide angle) นักวิจัยจำนวนมากได้เสนอการแก้ปัญหา wide angle มากมายหลายวิธี ในจำนวนนี้วิธีการประมาณแบบปาเด (Pade' approximation) ซึ่งได้รับความนิยมมากเนื่องจากให้ผลการคำนวณที่ถูกต้องแม่นยำสูง การประมาณแบบปาเดจะอาศัยวิธีการประมาณแบบเศษส่วนเข้ามาลดอนุพันธ์อันดับสองให้อยู่ในรูปอนุพันธ์อันดับหนึ่ง หลังจากนั้นจึงใช้วิธีไฟไนต์ดิฟเฟอเรนซ์ในการแก้สมการเชิงอนุพันธ์อันดับหนึ่ง นอกจากวิธีปาเดแล้วยังมีการแก้ปัญหาอีกวิธีหนึ่งเสนอโดย Hernandez (1994) นั่นคือวิธีนิวมาร์ก (Newmark Method) วิธีนี้มีการใช้งานอย่างมากในวิธีไฟไนต์อีลิเมนต์สำหรับปัญหาที่แก้สมการในโดเมนเวลา (time domain) ซึ่งพบในงานวิศวกรรมทั้งทางคลื่นแม่เหล็กไฟฟ้า โยธา เครื่องกล สิ่งแวดล้อม เป็นต้น โดย Hernandez ได้เสนอวิธีนิวมาร์กสำหรับการคำนวณในท่อนำคลื่นแสง 2 มิติแบบไอโซทรอปิกโดยใช้เงื่อนไขขอบเขตแบบโปร่งใส วิทยานิพนธ์นี้ได้นำวิธีนิวมาร์กมาใช้ในสมการสเกลาร์ในท่อนำคลื่นแสงแบบ 2 มิติ และขยายผลไปสู่การวิเคราะห์ท่อนำคลื่นแสงแบบ 3 มิติ อีกทั้งยังใช้กับท่อนำคลื่นที่ใช้วัสดุแบบแอนไอโซทรอปิกในโครงสร้างด้วย

### 2.2.1 วิธีนิวมาร์ก

วิธีนิวมาร์กคือวิธีการแก้สมการอนุพันธ์อันดับสองวิธีหนึ่งโดยใช้การประมาณแบบอนุกรมเทย์เลอร์เข้ามาช่วยแก้ปัญหา โดย Newmark ได้เสนอวิธีในปี ค.ศ.1959 เพื่อแก้ปัญหาในสมการ การสั่นพลวัต (dynamic vibration) วิธีนิวมาร์กจะแก้สมการอนุพันธ์อันดับสองโดยตรง ในที่นี้จะแสดงที่มาของวิธีนิวมาร์กที่ใช้แก้สมการอนุพันธ์อันดับสองในโดเมนเวลา

เริ่มต้นจากสมการเชิงอนุพันธ์อันดับสองดังสมการ (2.15)

$$Mx'' + Cx' + Kx + f = 0 \quad (2.15)$$

โดยที่  $M$ ,  $C$ ,  $K$  และ  $f$  เป็นเมทริกซ์จัตุรัส และ  $x''$ ,  $x'$  คืออนุพันธ์อันดับสอง และ อันดับหนึ่งของฟังก์ชัน  $x$  เทียบกับเวลาตามลำดับ สามารถกระจาย  $x'$  ด้วยอนุกรมเทย์เลอร์ได้ดังนี้

$$x'_{n+1} = x'_n + x''_n \Delta t + x''_n \Delta t^2 / 2 + \dots \quad (2.16)$$

ตามวิธีนิวมาร์กเราจะประมาณอนุกรมเทย์เลอร์ด้วยตัวแปรนิวมาร์กสองตัวคือ  $\gamma$  กับ  $\beta$  โดยเขียนการกระจายเป็นอย่างนี้

$$x_{n+1} = x_n + x'_n \Delta t + (1 - 2\beta)x''_n \frac{\Delta t^2}{2} + 2\beta x''_{n+1} \frac{\Delta t^2}{2} \quad (2.17a)$$

$$x'_{n+1} = x'_n + (1 - \gamma)x''_n \Delta t + \gamma x''_{n+1} \Delta t \quad (2.17b)$$

เมื่อจัดรูปสมการ (2.15), (2.16), และ (2.17) ดังมีรายละเอียดในภาคผนวก ข เราจะได้

$$\begin{aligned} & (M + \gamma \Delta t C + \beta \Delta t^2 K)x_{n+1} + (-2M + (1 - 2\gamma)\Delta t C + (0.5 + \gamma - 2\beta)\Delta t^2 K)x_n \\ & + (M + (\gamma - 1)\Delta t C + (0.5 - \gamma + \beta)\Delta t^2 K)x_{n-1} \\ & + \Delta t^2 (\beta f_{n+1} + (0.5 + \gamma - 2\beta)f_n + (0.5 - \gamma + \beta)f_{n-1}) = 0 \end{aligned} \quad (2.18)$$

หรือจัดสมการ (2.18) ใหม่ จะได้สมการอีกรูปหนึ่งดังนี้

$$\begin{aligned} & \frac{(Mx_{n+1} - 2Mx_n + Mx_{n-1}))}{\Delta t^2} + \frac{(\gamma Cx_{n+1} + (1-2\gamma)Cx_n + (\gamma-1)Cx_{n-1}))}{\Delta t} \\ & + (\beta Kx_{n+1} + (0.5 + \gamma - 2\beta)Kx_n + (0.5 - \gamma + \beta)Kx_{n-1}) \\ & + (\beta f_{n+1} + (0.5 + \gamma - 2\beta)f_n + (0.5 - \gamma + \beta)f_{n-1}) = 0 \end{aligned} \quad (2.19)$$

ผลที่ได้ในสมการ (2.19) แสดงให้เห็นว่าเราสามารถคำนวณหาฟังก์ชัน  $x$  ที่ขึ้นเวลา  $n+1$  จากฟังก์ชัน  $x$  ที่ขึ้นเวลา  $n$  และ  $n-1$  ซึ่งเป็นการคำนวณโดยใช้ค่าในอดีต 2 ค่า สังเกตว่าถ้าให้  $\beta = 0$ ,  $\gamma = 0.5$  แล้วสมการ (2.19) จะคล้ายกับการแก้สมการเชิงอนุพันธ์อันดับสองด้วยวิธีไฟไนต์ดิฟเฟอเรนซ์ด้วยอัลกอริทึมแบบ central difference

Hernandez ได้นำผลที่ได้จากสมการ (2.19) มาใช้กับวิธีคำนวณ BPM ในท่อนำคลื่นแสงโดยเทียบระหว่างสมการ (2.11) กับ (2.19) กล่าวคือถ้าให้  $M = [M]$ ,  $C = -2jk_0n_0[M]$ ,  $K = ([K] - k_0^2n_0^2[M])$ ,  $f = 0$  และ อนุพันธ์เทียบกับ  $z$  แทนการอนุพันธ์เทียบกับ  $t$  แล้ว ดังนั้นสมการ (2.11) เป็นดังนี้

$$\begin{aligned} & [M] \left( \frac{\{\varphi_x\}_{i+1} - 2\{\varphi_x\}_i + \{\varphi_x\}_{i-1}}{\Delta z^2} \right) \\ & - 2jk_0n_0[M] \left( \frac{\gamma\{\varphi_x\}_{i+1} + (1-2\gamma)\{\varphi_x\}_i + (\gamma-1)\{\varphi_x\}_{i-1}}{\Delta z} \right) \\ & + ([K] - k_0^2n_0^2[M]) (\beta\{\varphi_x\}_{i+1} + (0.5 + \gamma - 2\beta)\{\varphi_x\}_i + (0.5 - \gamma + \beta)\{\varphi_x\}_{i-1}) = 0 \end{aligned} \quad (2.20)$$

เมื่อจัดรูปให้  $\{\varphi_x\}_{i+1}$  ให้อยู่ทางซ้ายมือของสมการและย้าย  $\{\varphi_x\}_i$  และ  $\{\varphi_x\}_{i-1}$  ไปทางขวามือของสมการแล้วจะได้

$$[A]\{\varphi_x\}_{i+1} = [B]\{\varphi_x\}_i + [C]\{\varphi_x\}_{i-1} \quad (2.21)$$

โดยที่

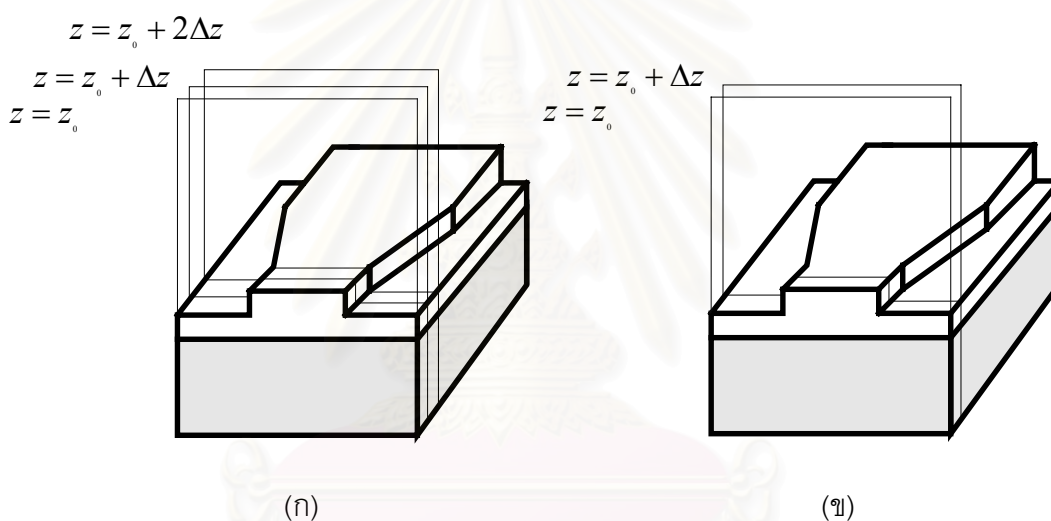
$$[A] = [M] - 2jk_0n_0[M]\gamma\Delta z + ([K] - k_0^2n_0^2[M])\beta\Delta z^2 \quad (2.22a)$$

$$[B] = 2[M] + 2jk_0n_0[M](1-2\gamma)\Delta z - ([K] - k_0^2n_0^2[M])(0.5 + \gamma - 2\beta)\Delta z^2 \quad (2.22b)$$

$$[C] = (-[M] + 2jk_0 n_0 [M](-1 + \gamma)\Delta z - ([K] - k_0^2 n_0^2 [M])(0.5 - \gamma + \beta)\Delta z^2) \quad (2.22c)$$

สมการ (2.21) เป็นสมการ BPM ถ้าเราทราบค่าสนาม  $\{\varphi_x\}_i$  และ  $\{\varphi_x\}_{i-1}$  จะสามารถคำนวณสนาม  $\{\varphi_x\}_{i+1}$  ได้

เมื่อเปรียบเทียบกับวิธีปาเดในแบบเดิมแล้วพบว่าวิธีนิวมาร์กมีสูตรการคำนวณที่ง่ายกว่า แต่วิธีปาเดมีข้อดีคือ ให้คำตอบที่มีความละเอียดแม่นยำกว่า นอกจากนี้อัลกอริทึมแบบ crank-nicholson ยังมีความเสถียรสูง และการคำนวณแบบนิวมาร์กยังต้องเก็บค่าสนามในสองระนาบ ในขณะที่วิธีปาเดเก็บค่าสนามเพียงระนาบเดียวทำให้ประหยัดหน่วยความจำมากกว่า อย่างไรก็ตามด้วยสูตรที่ง่ายกว่าของวิธีนิวมาร์กน่าจะทำให้การคำนวณง่ายในสมการเวกเตอร์โดยเฉพาะอย่างยิ่งเมื่อใช้ในกรณีของท่อนำคลื่นที่ประกอบด้วยวัสดุแอนไอโซทรอปิก



รูปที่ 2.4 การเปรียบเทียบระนาบที่ใช้ในการคำนวณระหว่างวิธีนิวมาร์กและวิธีปาเด

(ก) แบบนิวมาร์กซึ่งใช้สนามที่ระนาบ  $z_0$  และ  $z_0 + \Delta z$  ในการคำนวณหาสนามที่ระนาบ

$z_0 + 2\Delta z$

(ข) แบบปาเด-แครงกนิกอลสัน ใช้สนามที่ระนาบ  $z_0$  ในการคำนวณหาสนามที่ระนาบ  $z_0 + \Delta z$

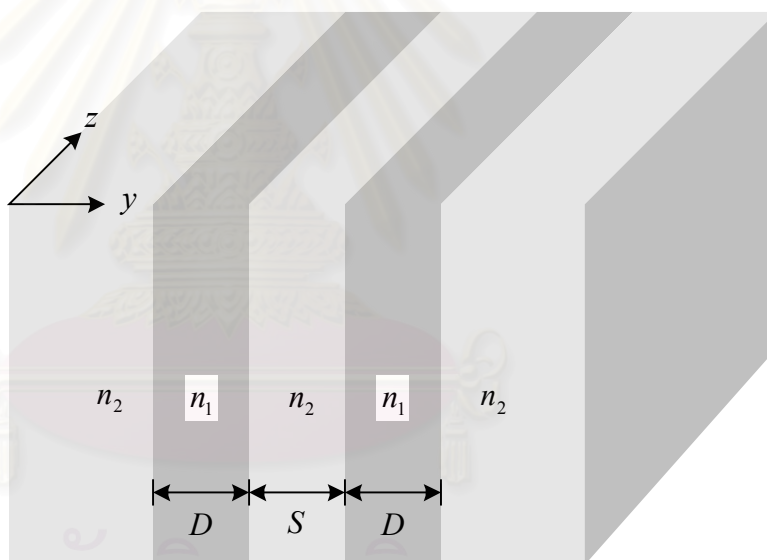


## 2.3 การคำนวณในกรณีตัวอย่าง

ในบทนี้จะกล่าวถึงการคำนวณในกรณีตัวอย่างของท่อนำคลื่นแสง 2 ชนิด คือ ท่อนำคลื่นแสงแบบตัวคู่ควบ และ ท่อนำคลื่นแสงโค้งรูปตัวเอส เพื่อตรวจสอบความถูกต้องของวิธีการ นอกจากนี้ยังเป็นการแสดงผลของการหาค่าสัมประสิทธิ์นิวมาร์ก

### 2.3.1 ท่อนำคลื่นแสงแบบคู่ควบ

พิจารณาการแพร่กระจายในท่อนำคลื่นแสงแบบ 2 มิติ แบบคู่ควบซึ่งปรากฏในงานวิจัยของ (Xiang and Yip, 1994) ดังรูปที่ 2.5 กำหนดหน้าต่างการคำนวณให้อยู่ที่  $(-5\mu\text{m}, 5\mu\text{m})$  ค่าพารามิเตอร์ที่ใช้เป็นดังนี้  $D = 0.5\mu\text{m}$ ,  $S = 1\mu\text{m}$ ,  $n_2 = 1.3$ ,  $n_1 = 1.5$  ความยาวคลื่นแสงที่ใช้คือ  $\lambda = 1.5\mu\text{m}$



รูปที่ 2.5 ท่อนำคลื่นแสงแบบคู่ควบ

การคำนวณด้วยวิธี FE-BPM และอัลกอริทึมแบบนิวมาร์ก จะใช้สมการ (2.21) โดยในที่นี้ เลือกค่า  $\gamma = 0.5$ ,  $\beta = 0.5$  ตามที่ Hernandez (1994) เสนอ เลือกค่าดัชนีหักเหอ้างอิง  $n_0$  เท่ากับค่าดัชนีหักเหเปลือก(cladding) ซึ่งเท่ากับ 1.3 เลือกค่าขั้นการแพร่กระจาย  $\Delta z = 0.25\mu\text{m}$  ให้ระยะการแพร่กระจายเป็น  $40\mu\text{m}$  ใช้อีดีเมนต์เส้นตรงดังรูปที่ 2.3 ความยาวของอีดีเมนต์ =  $0.05\mu\text{m}$  เลือกใช้เงื่อนไขขอบเขตแบบPMLโดยค่า  $s$  มีค่าดังนี้

$$s = \begin{cases} 1 & \text{non PML region} \\ 1 - j \frac{(\alpha + 1) \left(\frac{\rho}{d}\right)^\alpha \ln\left(\frac{1}{R}\right)}{4\pi d} & \text{PML region} \end{cases} \quad (2.23)$$

โดยที่  $\alpha$  คือ ลักษณะการกระจายตัวของการลดทอนของสนามในชั้นดูดซับ

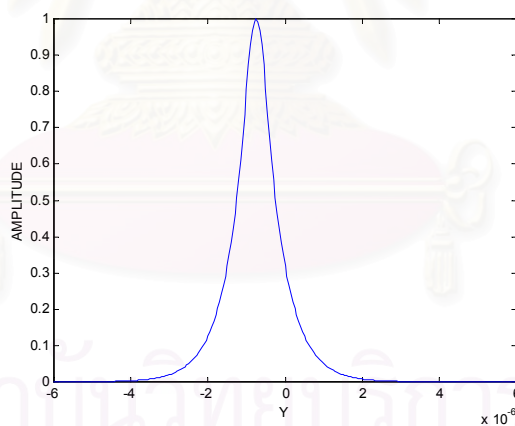
$n$  คือ ดัชนีหักเหของท่อนำคลื่นแสงที่ติดกับชั้นดูดซับ

$\rho$  คือ ระยะห่างจากผิวชั้นดูดซับ

$d$  คือ ความหนาของชั้นดูดซับ

$R$  คือ สัมประสิทธิ์การสะท้อนตามทฤษฎี

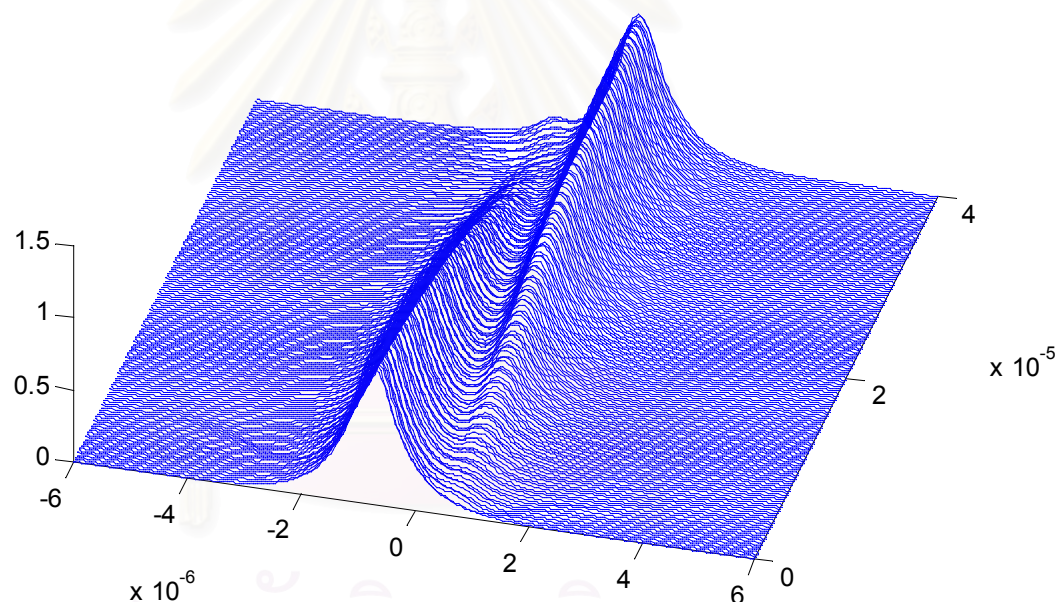
ในงานนี้ได้เลือกค่า  $\alpha = 2$  ซึ่งหมายถึงการกระจายตัวเป็นแบบพาราโบลา ค่าดัชนีหักเห  $n$  เท่ากับ 1.3 ความหนาของชั้นดูดซับ  $d$  เท่ากับ  $1 \mu\text{m}$  ใช้จำนวนอีลีเมนต์ในชั้นดูดซับทั้งหมด 20 อีลีเมนต์ สังเกตได้ว่าเมื่อแทนสมการ (2.23) ลงในการคำนวณจะไม่สามารถใช้สูตรการอินทิเกรตโดยทั่วไปได้เพราะเทอม  $s$  แปรตามระยะทางดังนั้นจึงต้องใช้การอินทิเกรตเชิงตัวเลข



รูปที่ 2.6 สนามไฟฟ้าอินพุตโหมด  $TE^0$  ป้อนเข้าไปในแกนทางซ้ายมือของท่อนำคลื่นแสงคู่ควม

เริ่มทำการคำนวณโดยป้อนสนามไฟฟ้าอินพุตของ  $TE^0$  โหมดดังแสดงในรูปที่ 2.6 ที่คำนวณจากวิธีเชิงวิเคราะห์ เข้าที่ระนาบ 0 และ  $-1$  ในสมการ (2.21) ผลการคำนวณเมื่อคำนวณได้เป็นระยะทาง  $40 \mu\text{m}$  แสดงดังรูปที่ 2.7 (ก) ซึ่งก็คือภาพของการกระจายของสนามไฟฟ้าบนแกน  $y$  ที่แพร่กระจายในท่อนำคลื่นแสงแบบคู่ควมมาเป็นระยะทาง  $40 \mu\text{m}$  นับจากตำแหน่งที่ป้อน เมื่อคำนวณด้วยวิธี FE-BPM และอัลกอริทึมนิวมาร์ก ในขณะที่ยังรูป 2.7 (ข) แสดงผลการคำนวณด้วยอัลกอริทึมปาเด จากผลการคำนวณพบว่าสนามในท่อนำคลื่นแสงด้านซ้ายค่อยๆ ถ่างออกและพลังงาน

ไปอยู่ในท่อนำคลื่นแสงด้านขวา โดย ณ ตำแหน่งคู่ควบสนามจะถ่ายโอนพลังงานไปหมด สังเกตได้ว่าสนามที่คำนวณด้วยวิธีปาดมีความราบเรียบกว่าเล็กน้อย ระยะคู่ควบ (coupling length) ที่หาได้ด้วยวิธีนิวมาร์ก  $= 37.25 \mu\text{m}$  ในขณะที่ระยะคู่ควบที่หาได้จากวิธีปาด  $= 36.5 \mu\text{m}$  เมื่อหาค่าระยะคู่ควบด้วยวิธีไฟไนต์อีลีเมนต์เพื่อนำผลมาเปรียบเทียบ โดยใช้สมการ (2.24) มาคำนวณ (Nishihara, Haruna, and Suhara, 1985)

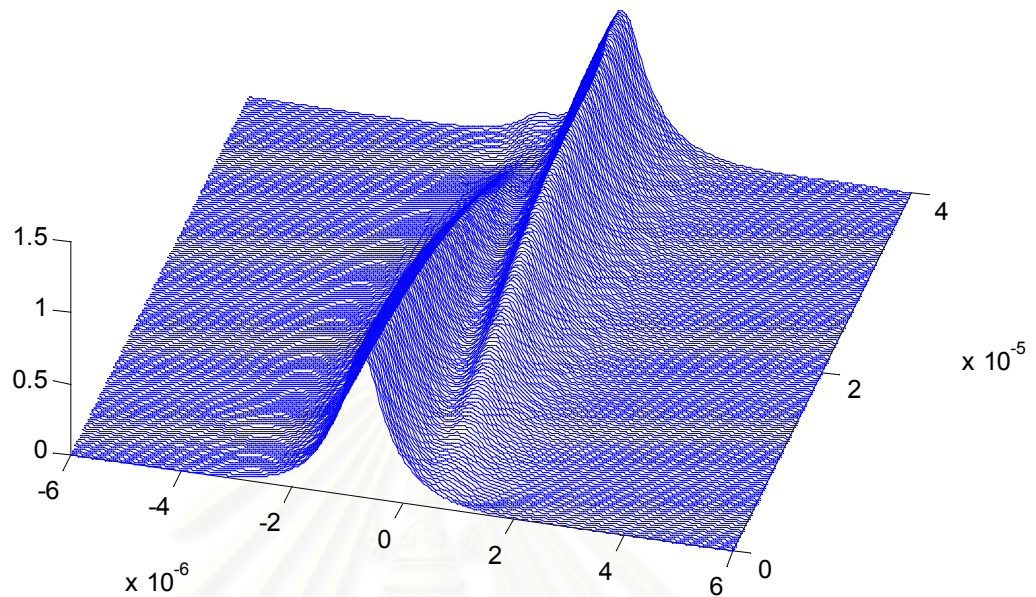


สถาบันวิทยบริการ  
จุฬาลงกรณ์มหาวิทยาลัย  
(ก)

รูปที่ 2.7 สนามไฟฟ้าในท่อนำคลื่นแสงแบบคู่ควบ

(ก) ใช้อัลกอริทึมแบบนิวมาร์ก

(ข) ใช้อัลกอริทึมแบบปาด



(ข)

รูปที่ 2.7 (ต่อ) สนามไฟฟ้าในท่อนำคลื่นแสงแบบคู่ควบ

(ก) ใช้อัลกอริทึมแบบนิวมาร์ก

(ข) ใช้อัลกอริทึมแบบปาเด

การคำนวณหาระยะคู่ควบด้วยวิธีไฟไนต์อีลีเมนต์หาได้จากความสัมพันธ์ดังนี้

$$L = \frac{\pi}{\beta_e - \beta_o} \quad (2.24)$$

โดยที่

$L$  คือ ระยะคู่ควบ(coupling length)

$\beta_e$  คือ ค่าคงที่การแพร่กระจายของโหมดคู่ดังรูปที่ 2.8 (ข)

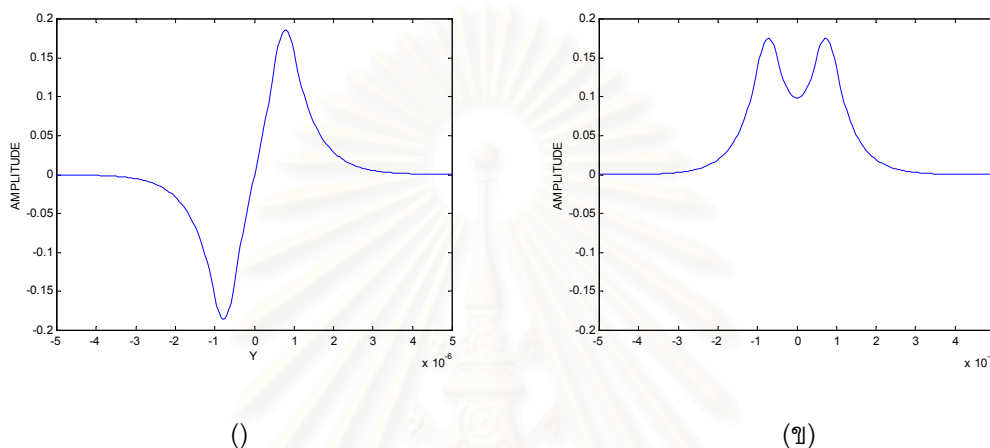
$\beta_o$  คือ ค่าคงที่การแพร่กระจายของโหมดคี่ดังรูปที่ 2.8 (ก)

คำนวณด้วยวิธีไฟไนต์อีลีเมนต์หาค่าคงที่การแพร่กระจายได้ดังนี้

$$\beta_e \text{ เท่ากับ } 5.788182150340998 \times 10^6,$$

$$\beta_o \text{ เท่ากับ } 5.701546910678580 \times 10^6$$

ดังนั้นสามารถคำนวณหาค่าระยะคู่ควบได้คือ  $36.2622954104046 \mu\text{m}$



รูปที่ 2.8 สนามโมดนำในท่อนำคลื่นแสงแบบคู่ควบคำนวณด้วยวิธี FEM

(ก) โมดคี่ (ข) โมดคู่

เมื่อเปรียบเทียบค่าระยะคู่ควบพบว่ามีค่าใกล้เคียงกันมากจึงสามารถสรุปได้ว่า อัลกอริทึมนิวมาร์กสามารถใช้งานได้ดีในการวิเคราะห์ท่อนำคลื่นแสงแบบ 2 มิติ อย่างไรก็ตามพบที่ อัลกอริทึมแบบปาเดให้ค่าที่ใกล้เคียงมากกว่าวิธีนิวมาร์ก

สถาบันวิทยบริการ  
จุฬาลงกรณ์มหาวิทยาลัย

ตารางที่ 2.1 การเปรียบเทียบค่าพารามิเตอร์นิวมาร์กโดยให้ค่า  $\gamma = 0.5$  และเปลี่ยนแปลงค่า  $\beta$  เป็นค่าต่างๆตั้งแต่ 0.4 ถึง 1.0 โดยนำค่าระยะคู่ควมมาพิจารณา

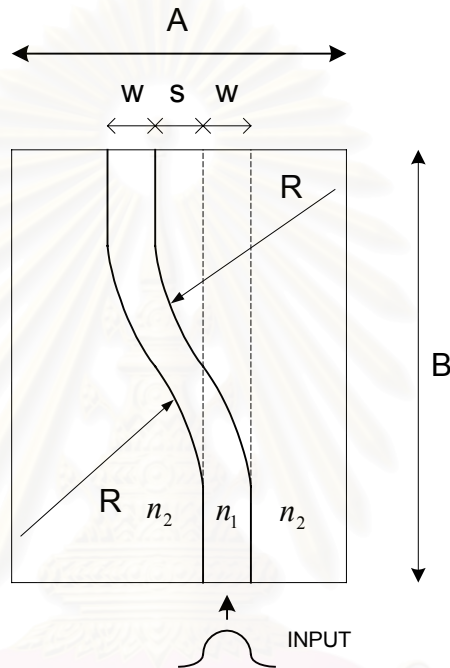
| $\gamma$ | $\beta$ | ระยะคู่ควม ( $\mu\text{m}$ ) |
|----------|---------|------------------------------|
| 0.5      | 0.4     | 37.25                        |
| 0.5      | 0.5     | 37.25                        |
| 0.5      | 0.6     | 36.75                        |
| 0.5      | 0.7     | 36.25                        |
| 0.5      | 0.8     | 36.75                        |
| 0.5      | 0.9     | 36.5                         |
| 0.5      | 1.0     | 36.75                        |

ตามหลักการของนิวมาร์ก การเลือกค่าต่างๆโดยส่วนใหญ่แล้วจะเลือกค่า  $\gamma = 0.5$  และ  $\beta = 0.5$  โดยค่า  $\beta$  จะมีค่าระหว่าง 0.25 ถึง 0.5 อย่างไรก็ตามเมื่อทดลองเปลี่ยนค่า  $\beta$  เป็นค่าต่างๆ แล้วนำผลการคำนวณระยะคู่ควม มาเปรียบเทียบพบว่าค่า  $\beta$  ที่มีค่าน้อยกว่า 0.4 จะให้คำตอบที่ลู่ออก ในขณะที่ค่า  $\beta = 0.7$  จะให้ค่าระยะคู่ควมที่ใกล้เคียงกับค่าที่หาได้ด้วยวิธีไฟไนต์อีลีเมนต์ อย่างไรก็ตามค่าที่คำนวณได้ไม่แตกต่างกันมากนัก เราพบว่าเมื่อเลือกค่า  $\gamma = 0.5$  และเลือกค่า  $\beta = 0.5$  ทำให้เทอมในสมการ (2.21) บางเทอมหายไปดังนั้นทำให้ช่วยประหยัดหน่วยความจำได้มากกว่าดังนั้นเราจึงเลือกค่า  $\gamma = 0.5$  และค่า  $\beta = 0.5$  มาใช้ในการคำนวณ

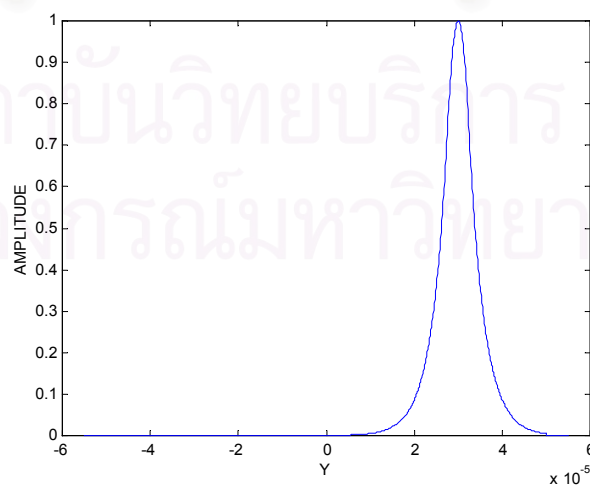
### 2.3.2 ท่อนำคลื่นแสงโค้งรูปตัวเอส

ตัวอย่างการคำนวณต่อไปเป็นการพิจารณาท่อนำคลื่นแสงที่มีรูปร่างเปลี่ยนแปลงตามแนวแกนในที่นี้เลือกท่อนำคลื่นแสงโค้งรูปตัวเอส (Tsuji and Koshiha, 1996) ดังรูปที่ 2.9 โดยมีค่าพารามิเตอร์ดังนี้  $A = 100 \mu\text{m}$ ,  $B = 1000 \mu\text{m}$ ,  $W = 5 \mu\text{m}$ ,  $S = 55 \mu\text{m}$   
 ค่ารัศมีความโค้ง ( $R$ ) =  $2679.2 \mu\text{m}$ , ใช้ความยาวคลื่นแสง  $\lambda = 1.55 \mu\text{m}$ ,  $n_1 = 1.45$ ,

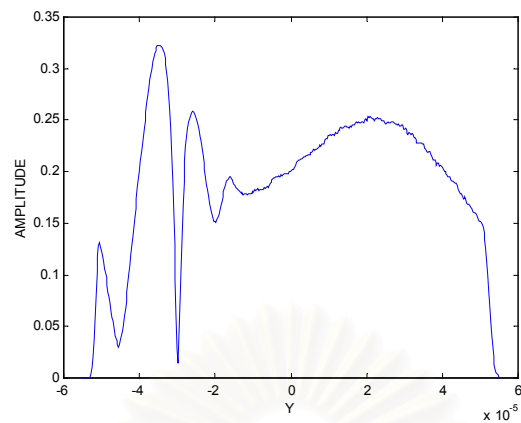
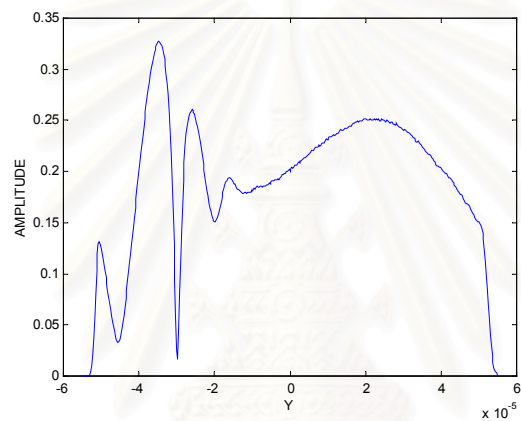
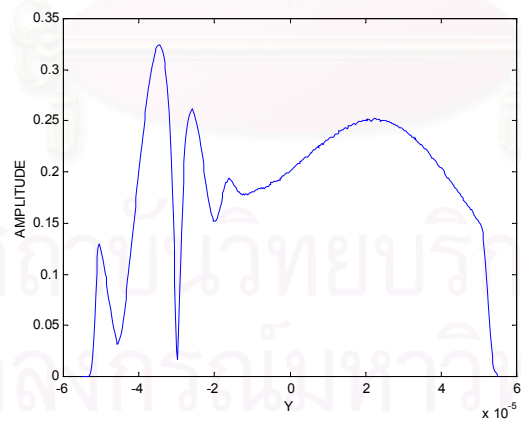
$n_2 = 1.44638404$  แบ่งอิลีเมนต์ในแกนตัดขวาง  $\Delta y = 0.25 \mu\text{m}$  เลือกระยะการแพร่กระจายในแต่  
 ละชั้น  $\Delta z = 1 \mu\text{m}$  ป้อนสนามไฟฟ้าอินพุต  $TE^0$  โมดดังรูปที่ 2.10 โดยให้สนามไฟฟ้าที่ระนาบ 0, -1  
 เท่ากับ  $TE^0$  โมดใช้วิธีไฟไนต์อิลีเมนต์บีมพรอพกาเกชันและอัลกอริทึมนิวมาร์ก เลือกค่าดัชนีหักเห  
 อ้างอิง  $n_0$  เป็น 1.44638404 เลือกวารามิเตอร์นิวมาร์ก  $\gamma = 0.5$  พิจารณาค่า  $\beta$  ที่เหมาะสม  
 กับวิธี FE-BPM โดยเลือกค่า  $\beta = 0.3, 0.4, 0.5, 0.6, 0.7, 0.8, 0.9, 1.0$  ตามลำดับ โดยพิจารณา  
 สนามที่ตำแหน่ง  $z = 1000 \mu\text{m}$  มาเปรียบเทียบกับ ได้ผลดังรูปที่ 2.11



รูปที่ 2.9 ท่อนำคลื่นแสงโค้งรูปตัวเอส (S bend optical waveguide)

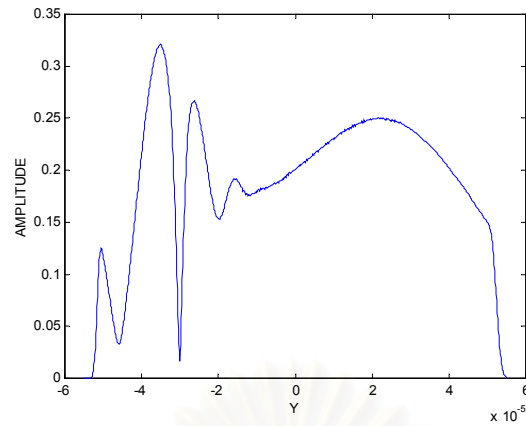
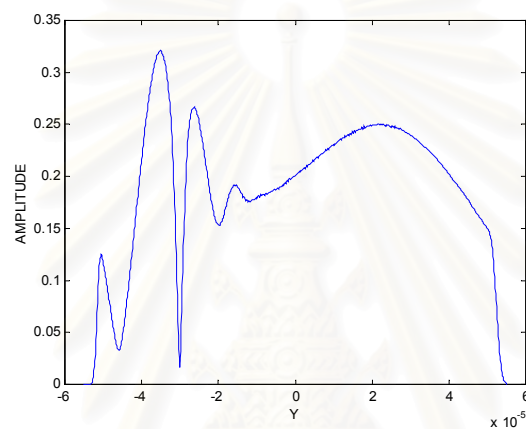
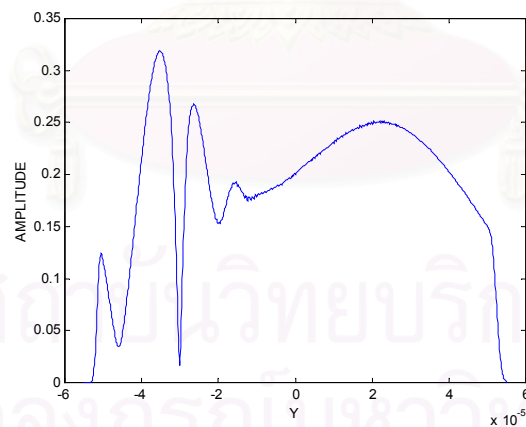


รูปที่ 2.10 สนามไฟฟ้าอินพุต  $TE^0$  โมด

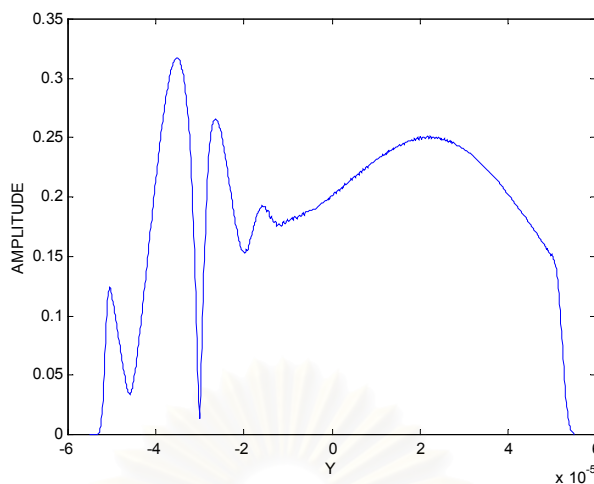
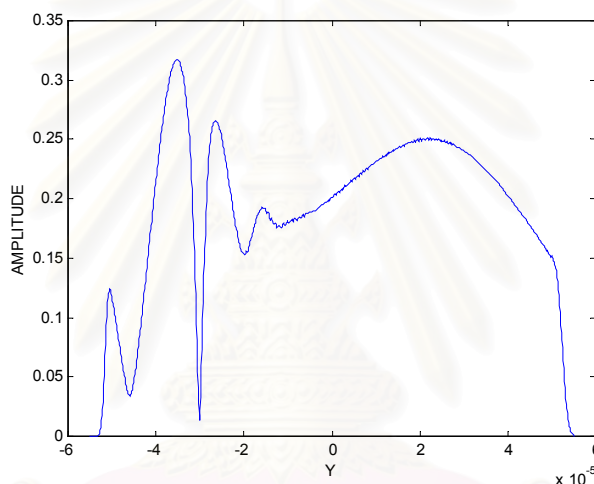
(ก)  $\beta = 0.3$ (ข)  $\beta = 0.4$ (ค)  $\beta = 0.5$ 

รูปที่ 2.11 สนามไฟฟ้าคำนวณด้วยอัลกอริทึมแบบนิวมาร์กที่ระยะ  $1000\mu m$  โดยใช้ค่าพารามิเตอร์นิวมาร์ก  $\gamma = 0.5$  โดยเปลี่ยนแปลงค่า  $\beta$  ดังนี้ (ก) ค่า  $\beta = 0.3$  (ข)  $\beta = 0.4$  (ค)  $\beta = 0.5$  (ง)  $\beta = 0.6$  (จ)  $\beta = 0.7$  (ฉ)  $\beta = 0.8$  (ช)  $\beta = 0.9$  (ซ)  $\beta = 1.0$



(ง)  $\beta = 0.6$ (จ)  $\beta = 0.7$ (ฉ)  $\beta = 0.8$ 

รูปที่ 2.11(ต่อ)สนามไฟฟ้าคำนวณด้วยอัลกอริทึมแบบนิวมาร์กที่ระยะ  $1000\mu m$  โดยใช้ค่าพารามิเตอร์นิวมาร์ก  $\gamma = 0.5$  โดยเปลี่ยนแปลงค่า  $\beta$  ดังนี้ (ก) ค่า  $\beta = 0.3$  (ข)  $\beta = 0.4$  (ค)  $\beta = 0.5$  (ง)  $\beta = 0.6$  (จ)  $\beta = 0.7$  (ฉ)  $\beta = 0.8$  (ช)  $\beta = 0.9$  (ซ)  $\beta = 1.0$

(ก)  $\beta = 0.9$ (ข)  $\beta = 1.0$ 

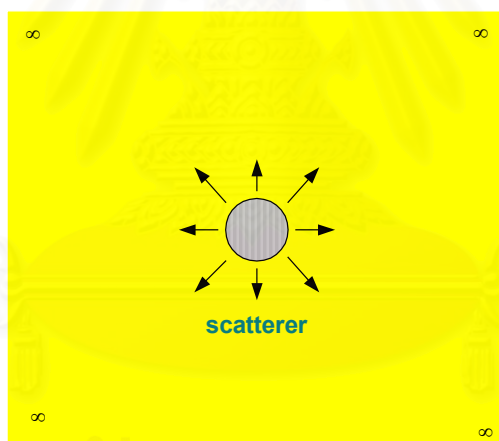
รูปที่ 2.11(ต่อ)สนามไฟฟ้าคำนวณด้วยอัลกอริทึมแบบนิวมาร์กที่ระยะ  $1000\mu\text{m}$  โดยใช้ค่าพารามิเตอร์นิวมาร์ก  $\gamma = 0.5$  โดยเปลี่ยนแปลงค่า  $\beta$  ดังนี้ (ก) ค่า  $\beta = 0.3$  (ข)  $\beta = 0.4$  (ค)  $\beta = 0.5$  (ง)  $\beta = 0.6$  (จ)  $\beta = 0.7$  (ฉ)  $\beta = 0.8$  (ช)  $\beta = 0.9$  (ซ)  $\beta = 1.0$

จากรูปที่ 2.11 พบว่าค่าของสนามที่ระยะ  $1000\mu\text{m}$  เมื่อใช้ค่าพารามิเตอร์นิวมาร์กต่างกันจะให้ผลการคำนวณต่างกัน ค่า  $\beta = 0.3$  ให้ผลการคำนวณที่แม่นยำน้อยที่สุดโดยคลื่นมีการกระเพื่อมขึ้นลงไม่ราบเรียบ เมื่อพิจารณาจากค่าสนามแล้วพบว่าค่า  $\beta = 0.6, 0.7$  ให้ค่าสนามที่ราบเรียบกว่าค่าพารามิเตอร์อื่นๆ อย่างไรก็ตามคำตอบที่ได้ไม่แตกต่างกันมากนัก เช่นเดียวกับตัวอย่างที่แล้วด้วยเหตุนี้เราจึงเลือกค่า  $\beta = 0.5$  เป็นค่าพารามิเตอร์ในการคำนวณ เนื่องจากจะช่วยลดเทอมในการคำนวณลงทำให้ลดหน่วยความจำและเวลาในการคำนวณลง

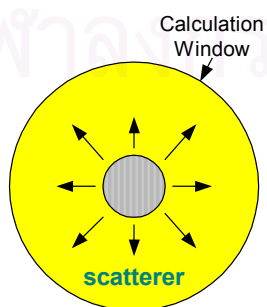
## 2.4 เงื่อนไขขอบเขตที่ใช้งานร่วมกับอัลกอริทึมนิวมาร์ก

ในหัวข้อนี้เราจะทำการทดสอบเงื่อนไขขอบเขตสองชนิดที่มีการใช้งานมากในการคำนวณด้วยวิธี BPM คือ เงื่อนไขขอบเขตแบบโปร่งใส และ เงื่อนไขขอบเขตแบบPML โดยพิจารณาว่าสามารถใช้งานร่วมกับอัลกอริทึมนิวมาร์กว่ามีประสิทธิภาพดีหรือไม่ แต่ก่อนที่จะทำการพิจารณาเราควรทราบก่อนว่าทำไมจึงต้องใช้เงื่อนไขขอบเขตในการคำนวณด้วยวิธี BPM

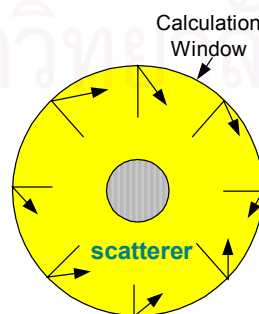
การคำนวณด้วยวิธีปริมาตรภาพเกชันนั้นการคำนวณทั้งโหมดนำ (guided mode) และ โหมดแผ่พลังงาน (radiation mode)เมื่อกำหนดไปพร้อมกัน ทำให้เมื่อคำนวณในขอบเขตแบบเปิดแล้วจะทำให้ สนามแผ่พลังงานแพร่กระจายออกไปในระยะไกล ซึ่งการคำนวณในแบบ FE-BPMนี้จะคำนวณขอบเขตที่มีโดเมนจำกัดเท่านั้น จึงจำเป็นที่จะต้องหาขอบเขตเทียม (artificial boundary) มาป้องกันการสะท้อนกลับของคลื่นไม่ให้แผ่กระจายกลับมากวนกับสนามในหน้าต่างการคำนวณ



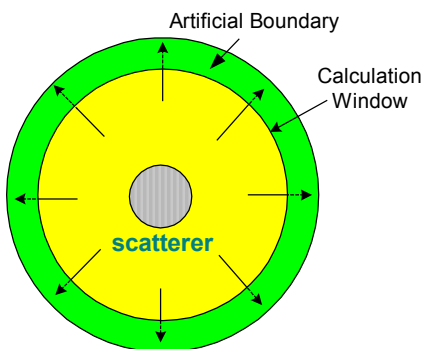
(ก)



(ข)



(ค)



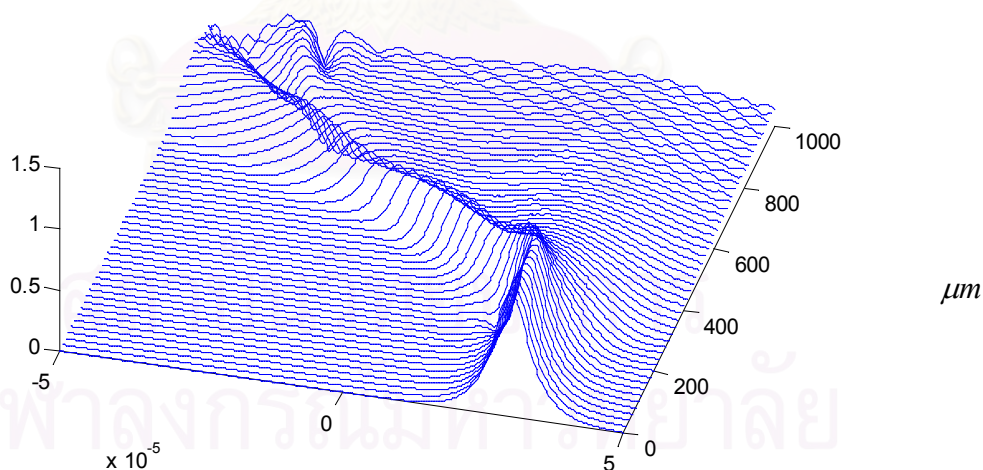
(ง)

รูปที่ 2.12 (ก) การแผ่พลังงานในขอบเขตแบบเปิด (ข) การคำนวณในหน้าต่างการคำนวณที่มีขอบเขตจำกัด (ค) การสะท้อนกลับของคลื่นที่แพร่กระจายไปกระทบขอบหน้าต่างการคำนวณ (ง) เงื่อนไขขอบเขตเทียม (artificial boundary) ป้องกันการสะท้อนกลับของคลื่นที่แพร่กระจายมากระทบขอบหน้าต่างการคำนวณ

โดยสามารถอธิบายการใช้งานของเงื่อนไขขอบเขตเทียมดังรูปที่ 2.12 เริ่มจากท่อนำคลื่นแสงมีขอบเขตแบบเปิดดังเช่นแสดงในรูปที่ 2.12 (ก) ในขณะที่การคำนวณไม่สามารถคำนวณขอบเขตเป็นอนันต์ได้ ดังนั้นจึงเลือกขอบเขตการคำนวณจำกัดดังรูปที่ 2.12 (ข) ซึ่งส่งผลให้คลื่นที่แพร่กระจายออกไปชนกับขอบหน้าต่างการคำนวณแล้วสะท้อนกลับเข้ามาบริเวณคลื่นในหน้าต่างการคำนวณอีกดังรูปที่ 2.12 (ค) การป้องกันการสะท้อนกลับทำได้โดยเลือกขอบเขตเทียมมาป้องกันการสะท้อนกลับของคลื่นดังรูปที่ 2.12 (ง) เงื่อนไขขอบเขตที่ใช้งานในวิธี BPM มีมากมายหลายวิธีเช่น เงื่อนไขขอบเขตแบบดูดกลืน (ABC), เงื่อนไขขอบเขตแบบโปร่งใส (TBC) (รายละเอียดในภาคผนวก ค) และ เงื่อนไขขอบเขตแบบชั้นดูดซับ (PML) เป็นต้น (รายละเอียดในภาคผนวก ง)

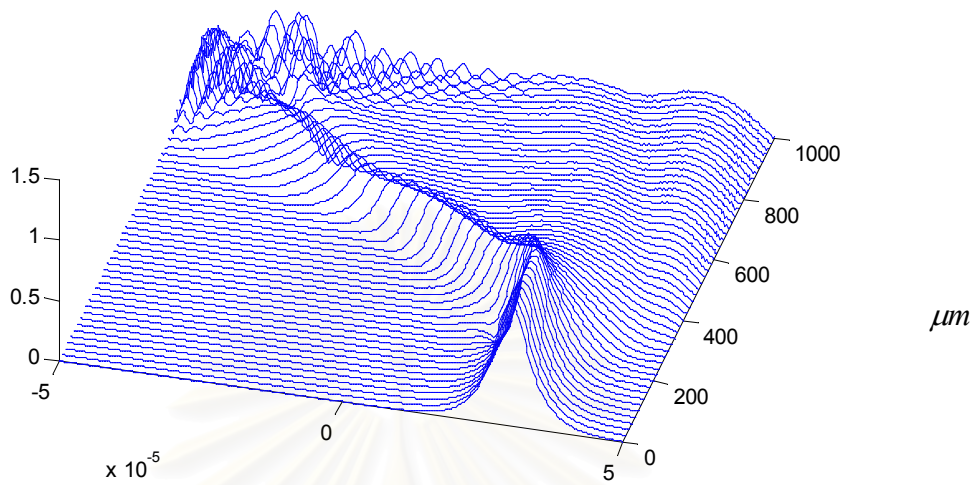
### 2.4.1 เงื่อนไขขอบเขตแบบโปร่งใส

ในหัวข้อนี้จะทำการวิเคราะห์เงื่อนไขขอบเขตแบบโปร่งใสว่าสามารถใช้งานร่วมกับอัลกอริทึมนิวมาร์กได้หรือไม่ เนื่องจากการใช้งานเงื่อนไขขอบเขตแบบโปร่งใสเดิมพิจารณาร่วมกับวิธีแครงกันิโคลสันกล่าวคือใช้ค่าสนามที่ระนาบ  $i$  มาคำนวณหาค่าสัมประสิทธิ์  $k$  ของเงื่อนไขขอบเขตแบบโปร่งใสเพื่อนำมาคำนวณหาสนามที่ระนาบ  $i+1$  แต่วิธีการนิวมาร์กจะใช้สนามทั้งระนาบ  $i$  และ  $i-1$  มาคำนวณหาสนามบนระนาบ  $i+1$  ดังนั้นจะมีความแตกต่างในการใช้งานเมื่อใช้กับอัลกอริทึมนิวมาร์ก เราเลือกท่อนำคลื่นโค้งรูปตัวเอสมาทำการวิเคราะห์ โดยเริ่มจากการใช้สนามบนระนาบ  $i$  มาคำนวณหาสัมประสิทธิ์  $k$  ให้ผลการคำนวณดังรูปที่ 2.13 (ก) ซึ่งจะเห็นได้ว่าสนามมีการสะท้อนกลับจากขอบหน้าต่างการคำนวณ ในขณะที่เมื่อนำค่าสนามบนระนาบ  $i-1$  มาคำนวณหาสัมประสิทธิ์  $k$  ให้ผลการคำนวณดังรูปที่ 2.13 (ข) พบว่าสนามยังเกิดการสะท้อนกลับมากขึ้นอีก ในวิทยานิพนธ์นี้ได้ทำการแก้ไขโดยเสนอให้ใช้ค่าสนามเฉลี่ยระหว่างระนาบ  $i$  และระนาบ  $i-1$  ในการคำนวณหาค่าสัมประสิทธิ์  $k$  พบว่าให้ผลการคำนวณที่ดีกว่าการใช้สนามบนระนาบ  $i$  หรือ  $i-1$  เพียงตัวใดตัวหนึ่งดังรูปที่ 2.13 (ค)

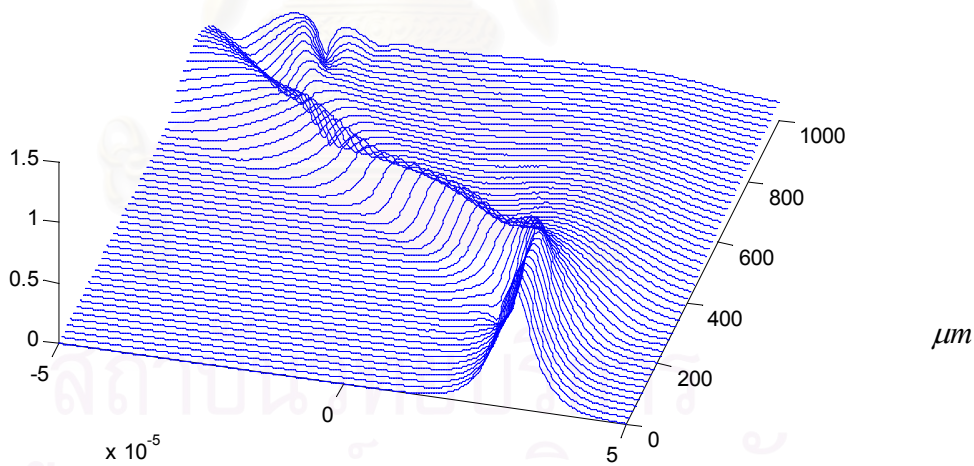


(ก)

รูปที่ 2.13 การแพร่กระจายสนามไฟฟ้าในท่อนำคลื่นโค้งรูปตัวเอส (ก) ใช้ค่าสนามระนาบที่  $i$  มาคำนวณสัมประสิทธิ์ TBC (ข) ใช้ค่าสนามระนาบที่  $i-1$  มาคำนวณสัมประสิทธิ์ TBC (ค) ใช้ค่าเฉลี่ยระหว่างสนามที่ระนาบ  $i$  และ  $i-1$  มาคำนวณสัมประสิทธิ์ TBC



(ข)



(ค)

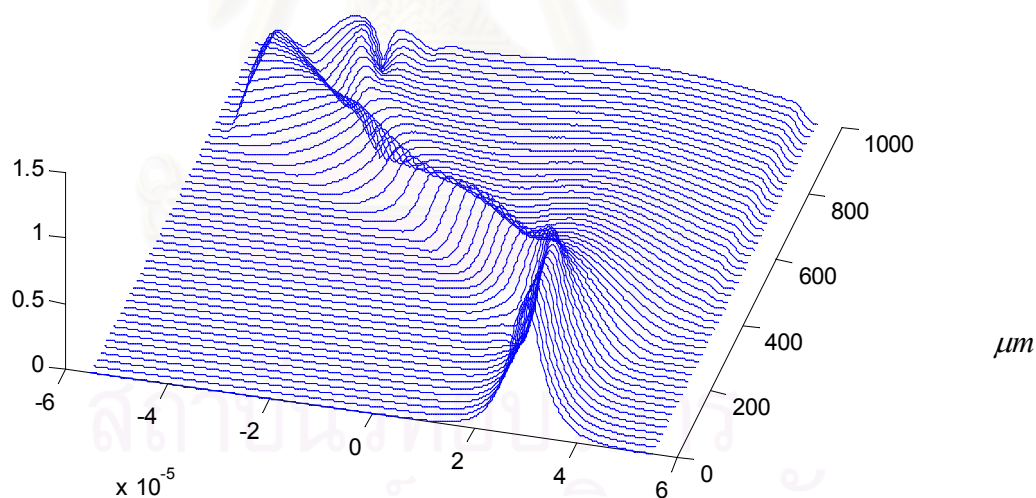
รูปที่ 2.13 (ต่อ) การแพร่กระจายสนามไฟฟ้าในท่อนำคลื่นโค้งรูปตัวเอส (ก) ใช้ค่าสนามระนาบที่  $i$  มาคำนวณสัมประสิทธิ์TBC (ข) ใช้ค่าสนามระนาบที่  $i - 1$  มาคำนวณสัมประสิทธิ์TBC (ค) ใช้ค่าเฉลี่ยระหว่างสนามที่ระนาบ  $i$  และ  $i - 1$  มาคำนวณสัมประสิทธิ์TBC

### 2.4.2 เงื่อนไขขอบเขตแบบPML

เงื่อนไขขอบเขตที่จะนำมาวิเคราะห์ต่อมาก็คือเงื่อนไขขอบเขตแบบPMLเมื่อนำมาใช้ร่วมกับอัลกอริทึมนิวมาร์ก พิจารณาสมการ (2.23) เลือกรายการกระจายตัวการลดทอนในรูปพาราโบลา  $\alpha = 2$  เขียนสมการ (2.23) ได้เป็น

$$s = \begin{cases} 1 & \text{non PML region} \\ 1 - j \frac{3\lambda}{4\pi nd} \left(\frac{\rho}{d}\right)^2 \ln\left(\frac{1}{R_0}\right) & \text{PML region} \end{cases} \quad (2.25)$$

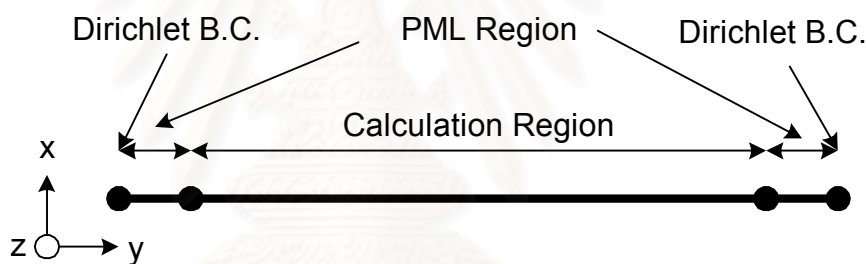
เมื่อนำค่า  $s$  ไปคำนวณในสมการ (2.14a) และ (2.14b) พบว่าไม่สามารถ อินทิเกรต ในรูปง่ายได้ต้องทำการอินทิเกรตแบบเชิงตัวเลขเนื่องจากเทอม  $\left(\frac{r}{d}\right)^2$  แปรตามทิศทางในหัวข้อนี้ เลือกร่องนำคลื่นแสงโค้งรูปตัวเอสมาคำนวณโดยให้ความหนาของชั้นดูดซับ  $d$  เท่ากับ  $5\mu\text{m}$  ใช้ความยาวคลื่นแสง  $\lambda = 1.55\mu\text{m}$  ค่าดัชนีหักเหของร่องนำคลื่นแสง  $n = 1.44638404$  เลือกลัมประสิทธิ์การสะท้อนตามทฤษฎี  $R_0 = 10^{-20}$ , จำนวนอีลีเมนต์ในชั้นดูดซับ = 20 อีลีเมนต์



รูปที่ 2.14 การแพร่กระจายของสนามไฟฟ้าในร่องนำคลื่นโค้งรูปตัวเอสวิเคราะห์ด้วยวิธี FE-BPM อัลกอริทึมนิวมาร์ก โดยใช้เงื่อนไขขอบเขตแบบPML

ผลการคำนวณให้คำตอบตามรูปที่ 2.14 การคำนวณพบว่าความหนาของชั้นดูดซับมีผลกับการป้องกันการสะท้อนกลับกล่าวคือ เมื่อความหนาน้อยจะไม่สามารถลดทอนคลื่นให้

หมดไปในชั้นดูดซับได้จะทำให้เกิดการสะท้อนกลับ ในขณะที่ความหนาของชั้นดูดซับยังมีความหนาจะยิ่งป้องกันการสะท้อนกลับได้ดีแต่ทำให้การคำนวณต้องใช้หน่วยความจำมากขึ้นและต้องเสียเวลาในการคำนวณเพิ่มขึ้น ในขณะที่จำนวนอีลีเมนต์ในชั้นดูดซับก็เช่นเดียวกันกล่าวคือเมื่อมีจำนวนอีลีเมนต์มากจะทำให้ดูดซับได้ดีแต่ก็ต้องสิ้นเปลืองหน่วยความจำและใช้เวลาในการคำนวณเพิ่มขึ้น ส่วนค่าสัมประสิทธิ์การสะท้อนตามทฤษฎีมีการเสนอใช้งานหลายค่าเช่น  $R_0 = 10^{-20}, 10^{-100}, 10^{-200}$  เป็นต้น ถ้าค่า  $R_0$  มีค่าน้อยจะทำให้เทอม  $\ln\left(\frac{1}{R_0}\right)$  มีค่ามาก ซึ่งจะก่อให้เกิดการลดทอนมาก อย่างไรก็ตามการทำให้เกิดการลดทอนมากๆ เมื่ออยู่ในชั้นดูดซับจะมีผลให้สนามมีการเปลี่ยนแปลงแบบทันทีทันใดเมื่อแพร่กระจายเข้าไปในชั้นดูดซับซึ่งอาจทำให้เกิดการสะท้อนกลับได้ ดังนั้นจึงควรเลือกค่า  $R_0$  ให้เหมาะสมเพื่อป้องกันการสะท้อนกลับ เงื่อนไขขอบเขตแบบPMLจะให้ปลายของผนังชั้นดูดซับมีเงื่อนไขขอบเขตแบบ dirichlet หรือบังคับให้สนามเป็นศูนย์ที่ปลายชั้นดูดซับ ดังรูปที่ 12.15



รูปที่ 2.15 เงื่อนไขขอบเขตแบบPMLที่บังคับให้สนามที่ปลายผนังชั้นดูดซับเป็นศูนย์

การลดทอนแบบพาราโบลาที่กล่าวในเบื้องต้นมีข้อดีคือสนามค่อยลดทอนจากน้อยไปมากแต่มีข้อเสียคือต้องทำการอินทิเกรตเชิงตัวเลขซึ่งมีความยุ่งยากมากกว่าในที่นี่จึงพิจารณาการลดทอนแบบคงที่  $\alpha = 0$  ดังนั้นจึงสามารถเขียนสมการ (2.23) ได้ดังนี้

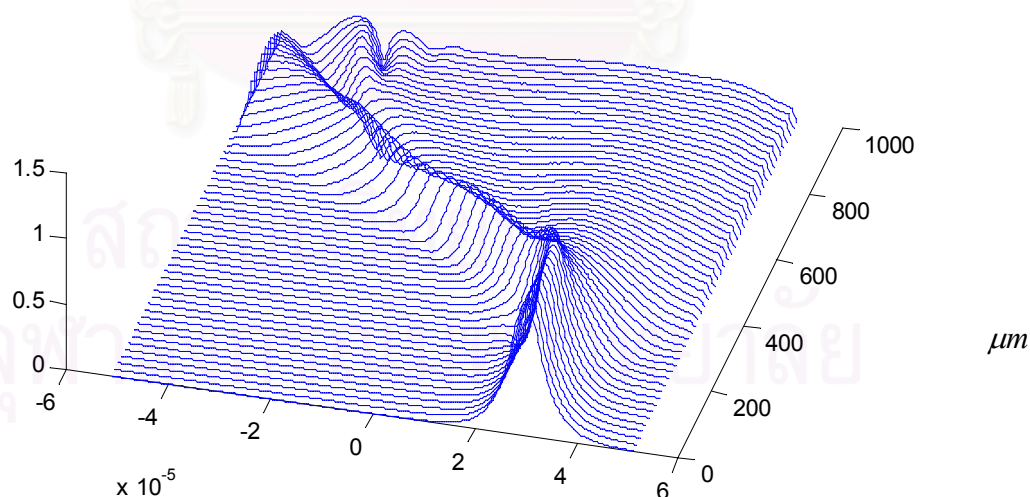
$$s = \begin{cases} 1 & \text{non PML Region} \\ 1 - j \frac{\lambda}{4\pi nd} \ln\left(\frac{1}{R_0}\right) & \text{PML Region} \end{cases} \quad (2.26)$$



ค่า  $s$  กลายเป็นค่าคงที่ซึ่งสามารถทำการอินทิเกรตสมการ (2.14a) และ (2.14b) ได้ตามปกติแต่การพิจารณาให้การลดทอนคงที่แบบนี้จะทำให้สนามมีการเปลี่ยนแปลงแบบทันทีทันใดดังนั้นเทอม  $\ln\left(\frac{1}{R_0}\right)$  ควรมีค่าไม่มากนักเพื่อไม่ทำให้สนามมีการสะท้อนกลับ

เมื่อคำนวณด้วยวิธี FE-BPM และ อัลกอริทึมแบบนิวมาร์ก โดยใช้เงื่อนไขขอบเขตแบบPMLที่มีการลดทอนคงที่ตามสมการ (2.26) โดยเลือกท่อนำคลื่นแสงโค้งรูปตัว เอสมาทำการทดสอบจะสามารถหาการแพร่กระจายของสนามได้ดังรูปที่ 2.16 โดยใช้ความหนาของชั้นดูดซับ =  $1\mu\text{m}$  มีอีลีเมนต์ในชั้นดูดซับ = 4 อีลีเมนต์ ใช้ค่าสัมประสิทธิ์การสะท้อนตามทฤษฎี  $R_0 = 10^{-20}$

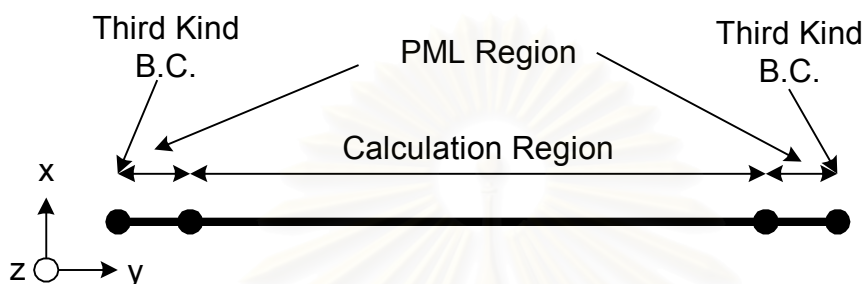
จากผลที่ได้ในรูปที่ 2.16 พบว่าเงื่อนไขขอบเขตแบบPMLที่มีพารามิเตอร์  $s$  คงที่สามารถป้องกันการสะท้อนกลับของคลื่นแสงได้เช่นเดียวกับค่าพารามิเตอร์  $s$  แปรตามระยะทางหลักการเลือก  $s$  ให้เป็นค่าคงที่นี้มีความสำคัญอย่างมากในวิทยานิพนธ์นี้เนื่องจากช่วยหลีกเลี่ยงการทำอินทิเกรตเชิงตัวเลข ในท่อนำคลื่นแสงแบบ 3 มิติ และในสมการเวกเตอร์ใน 2 บัพถัดไป ซึ่งทำให้การเขียนโปรแกรมทำได้ง่ายขึ้นอย่างมาก



รูปที่ 2.16 การแพร่กระจายของสนามในท่อนำคลื่นแสงโค้งรูปตัวเอสที่วิเคราะห์ด้วยวิธี FE-BPM โดยใช้เงื่อนไขขอบเขตแบบPMLที่มีการลดทอนคงที่

## 2.5 เงื่อนไขขอบเขตแบบผสม

วิทยานิพนธ์นี้ได้คิดค้นเงื่อนไขขอบเขตแบบผสมขึ้นโดยเป็นการใช้งานร่วมระหว่างเงื่อนไขขอบเขตแบบPMLกับเงื่อนไขขอบเขตแบบที่สาม เงื่อนไขขอบเขตแบบผสมนี้นำเงื่อนไขขอบเขตแบบที่สามมาใช้แทนการบังคับให้สนามเป็นศูนย์ที่ปลายผนังดูดซับดังรูปที่ 2.17



รูปที่ 2.17 เงื่อนไขขอบเขตแบบผสมระหว่างเงื่อนไขขอบเขตแบบที่สามกับเงื่อนไขขอบเขตแบบPML

การคำนวณพิจารณาให้สนามในชั้นดูดซับอยู่ในรูปดังนี้(รายละเอียดในภาคผนวก ง)

$$\psi = \psi_0 \exp(-jk_0 n_0 s \cos(\theta)y) \quad (2.27)$$

โดย  $k_0$  คือเลขคลื่นในอวกาศว่าง,  $n$  คือดัชนีหักเหของท่อนำคลื่นแสงที่ติดกับชั้นดูดซับ,  $s$  คือสัมประสิทธิ์ PML ตามสมการ (2.23),  $\theta$  คือมุมของสนามตกกระทบในที่นี้เป็น 0 องศา

นิยามเงื่อนไขขอบเขตชนิดที่สามดังนี้

$$\frac{\partial \psi}{\partial y} + j\tilde{k}\psi = 0 \quad (2.28)$$

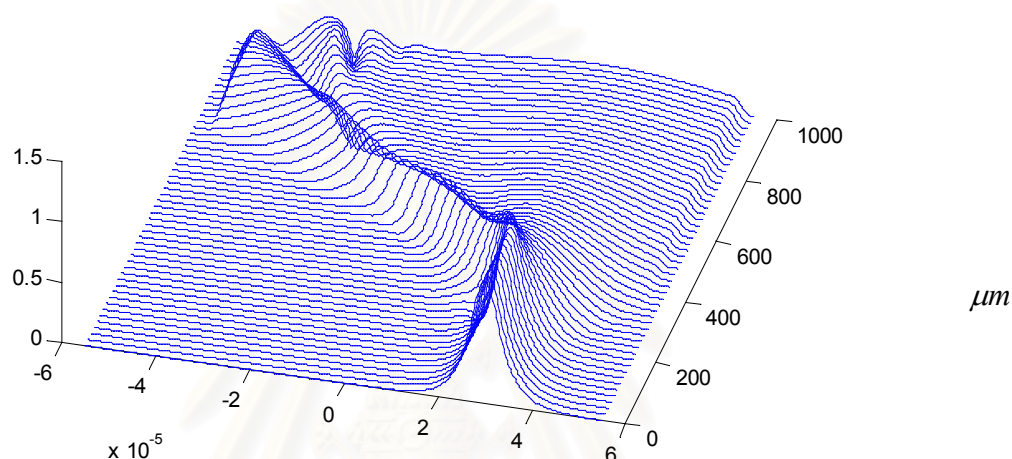
โดยค่า  $\tilde{k}$  เป็นสัมประสิทธิ์ไม่ทราบค่าเมื่อแทนสนามในชั้นดูดซับตามสมการ (2.28) ลงในสมการ (2.27) สามารถหาค่า  $\tilde{k}$  ได้ดังนี้

$$\tilde{k} = snk_0 \quad (2.29)$$

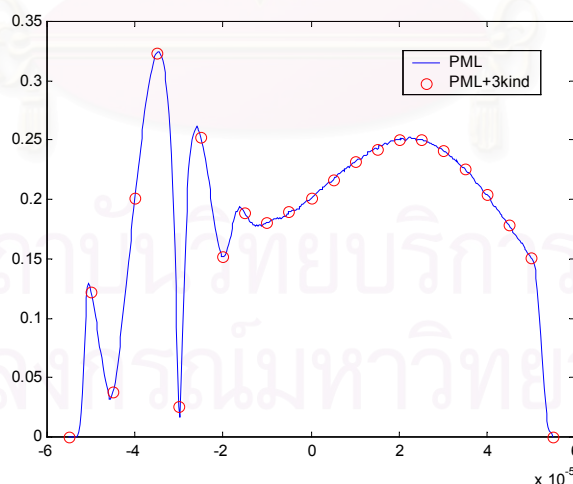
ทำให้สมการ (2.14a) แก้ไขเป็น

$$[K] = \sum_{i=1}^e \int k_0^2 q \{N_i\} \{N_i\}^T - \frac{1}{s} p \frac{d\{N_i\}}{dy} \frac{d\{N_i\}^T}{dy} dy - \frac{1}{s} p j \tilde{k} \Big|_{x_0} \quad (2.30)$$

โดยค่า  $x_0$  เป็นค่าตำแหน่งที่ขอบหน้าตาต่างของชั้นดูดซับ สังเกตได้ว่าค่า  $\tilde{k}$  มีค่าส่วนจริงเป็นบวกเสมอซึ่งสอดคล้องกับเงื่อนไขขอบเขตแบบโปร่งใสอีกด้วย



รูปที่ 2.18 การแพร่กระจายของสนามไฟฟ้าในท่อนำคลื่นโค้งรูปตัวเอสโดยวิเคราะห์ด้วยวิธี FE-BPM ที่ใช้เงื่อนไขขอบเขตแบบผสม



รูปที่ 2.19 การเปรียบเทียบระหว่างสนามที่ระยะนาบ  $1000 \mu\text{m}$  โดยการคำนวณใช้เงื่อนไขขอบเขตแบบ PML กับเงื่อนไขขอบเขตแบบผสม

เลือกท่อนำคลื่นแสงโค้งรูปตัวเอสในการทดสอบให้ผลการคำนวณดังรูปที่ 2.18 และ 2.19 ซึ่งแสดงสนามไฟฟ้าที่คำนวณได้จากเงื่อนไขขอบเขตแบบผสมโดยคิดการลดทอนในชั้น

ดูดซับเป็นแบบพาราโบลาและมีความหนาของชั้นดูดซับ  $= 5 \mu\text{m}$  ใช้ซิลิเมนต์ในชั้นดูดซับทั้งหมด 20 ซิลิเมนต์ ค่าสัมประสิทธิ์การสะท้อนตามทฤษฎี  $= 10^{-200}$  ผลการคำนวณพบว่ามีความใกล้เคียงกับเงื่อนไขขอบเขตแบบPMLปกติแต่มีข้อได้เปรียบคือสนามไม่ต้องถูกบังคับให้เป็นศูนย์ที่ปลายชั้นดูดซับทำให้สนามมีความต่อเนื่องกันตลอดทำให้ลดการสะท้อนลงได้เพิ่มมากขึ้น

## 2.6 สรุป

ในบทนี้เรานำเสนออัลกอริทึมแบบนิวมาร์กนำมาวิเคราะห์ในท่อนำคลื่นแสงแบบ 2 มิติโดยทดสอบความแม่นยำของวิธีนิวมาร์กโดยการหาค่าพารามิเตอร์  $\beta$  และ  $\gamma$  ที่เหมาะสมในท่อนำคลื่นแสงโดยพบว่าค่า  $\beta = 0.6, 0.7$  และ  $\gamma = 0.5$  ให้ผลการคำนวณที่ดี อย่างไรก็ตาม เรายังคงเลือกใช้ค่า  $\beta = 0.5$  และ  $\gamma = 0.5$  ในการคำนวณเพราะผลการคำนวณได้ ค่าตอบที่มีค่าใกล้เคียงกันแต่สามารถลดเทอมที่ใช้ในการคำนวณลง การทดสอบต่อมาในท่อนำคลื่นแสงโค้งรูปตัวเอสพบว่าอัลกอริทึมนิวมาร์กสามารถใช้งานได้ดี ในส่วนเงื่อนไขขอบเขตทำการพิจารณาการใช้งานร่วมกับวิธีนิวมาร์กพบว่าเงื่อนไขขอบเขตแบบโปร่งใสเมื่อใช้ค่าเฉลี่ยระหว่างสนามที่ระนาบ  $i$  และระนาบ  $i-1$  ในการหาค่าพารามิเตอร์  $k$  ของเงื่อนไขขอบเขตแบบโปร่งใสจะให้ผลการคำนวณที่ดีไม่มีการสะท้อนกลับจากขอบหน้าต่าง นอกจากนี้ยังทำการทดสอบการใช้งานระหว่างเงื่อนไขขอบเขตแบบPMLกับวิธีนิวมาร์ก โดยพบหลักการต่างๆในการใช้งานของเงื่อนไขขอบเขตแบบPMLโดยพิจารณาข้อจำกัดของเงื่อนไขขอบเขตแบบPML และ ทดสอบการใช้พารามิเตอร์  $s$  ให้มีค่าคงที่ปรากฏว่าสามารถดูดซับคลื่นสะท้อนได้ดีเช่นเดียวกัน สุดท้ายนำเสนอเงื่อนไขขอบเขตแบบผสมระหว่างเงื่อนไขขอบเขตแบบPMLกับเงื่อนไข- ขอบเขตแบบที่สามโดยทำการคำนวณในท่อนำคลื่นแสงรูปตัวเอสปรากฏว่าให้ผลการคำนวณที่ดีไม่มีคลื่นสะท้อนกลับ จุดเด่นของเงื่อนไขขอบเขตแบบนี้คือสนามมีความต่อเนื่องกันตลอดใน ชั้นดูดซับ(ไม่ถูกบังคับให้เป็นศูนย์ที่ปลายชั้นดูดซับ)ทำให้การดูดซับทำได้ดีขึ้น

จุฬาลงกรณ์มหาวิทยาลัย

## บทที่ 3

### การวิเคราะห์ท่อนำคลื่นแสงด้วยวิธีไฟไนต์อีลีเมนต์บีมพรอพagation และ อัลกอริทึมแบบนิวมาร์ก

#### 3.1 ความนำ

ในบทนี้จะกล่าวถึงวิธีวิเคราะห์เพิ่มเติมจากบทที่ 2 ในแง่มุมมองของการนำ อัลกอริทึมนิวมาร์กมาพิจารณาบนท่อนำคลื่นแสงแบบใดๆโดยใช้สมการคลื่นแม่เหล็กไฟฟ้าในรูปแบบ สเกลาร์ เนื้อหาในบทนี้ประกอบด้วย หัวข้อ 3.2 ซึ่งจะกล่าวถึงสมการและวิธีวิเคราะห์, หัวข้อ 3.3 จะกล่าวถึงตัวอย่างการคำนวณในกรณีของท่อนำคลื่นแสง 3 แบบคือ ท่อนำคลื่นแสงแบบคู่ควบ, ท่อนำคลื่นแสงแบบริบ (rib waveguides) และท่อนำคลื่นแสงแบบริบรูปตัววาย จากนั้นจะพิจารณาความแม่นยำของอัลกอริทึมนิวมาร์ก ด้วยการหาระยะคู่ควบในท่อนำคลื่นแสงแบบคู่ควบ, ทดสอบพารามิเตอร์นิวมาร์กที่เหมาะสมและวิเคราะห์การใช้งานเงื่อนไขขอบเขตกับ อัลกอริทึมนิวมาร์กในกรณีของในท่อนำคลื่นแสงแบบริบ ตัวอย่างสุดท้ายคือท่อนำคลื่นแสงแบบริบรูปตัววายซึ่งนำมาขึ้นพิจารณาเพื่อวิเคราะห์ปัญหาหมุมกว้าง ในหัวข้อ 3.4 จะกล่าวถึงสมการที่ใช้วิเคราะห์ท่อนำคลื่นแสงแบบแอนไอโซทรอปิกและ หัวข้อ 3.5 จะแสดงผลการคำนวณในท่อนำคลื่นแสงตัวแยกโดดเดี่ยวแบบแมกนีโตออปติก (magneto optic isolator)

#### 3.2 วิธีไฟไนต์อีลีเมนต์บีมพรอพagation อัลกอริทึมนิวมาร์กสำหรับตัวกลางไอโซทรอปิก

การพิจารณาสนามในท่อนำคลื่นแสงแบบ 3 มิติ จะไม่มีสนามในทิศทางใดเป็นศูนย์ แต่เพื่อการวิเคราะห์ให้ง่ายขึ้นจะทำการประมาณสนามให้เป็นศูนย์ในบางทิศทางเพื่อจะได้แยกการพิจารณาเป็นแบบไฮบริดโหมดได้ เราสามารถแยกโหมดในการวิเคราะห์ได้เป็นสองโหมดหลักคือ  $TE^y$  และ  $TM^y$  โหมด โดย  $TE^y$  โหมดมีสนาม  $E_y$  เป็นศูนย์ในขณะที่  $TM^y$  จะมี  $H_y$  เป็นศูนย์ สนามเป็นใหญ่ ของโหมด  $TE^y$  คือ  $E_x$  และ  $H_z$  ในขณะที่สนามเป็นใหญ่ของโหมด  $TM^y$  คือ  $E_y$  และ  $H_x$

เริ่มวิเคราะห์คลื่นแสงจากสมการคลื่นแบบสเกลาร์ดังนี้

$$p\nabla^2\phi + k_0^2q\phi = 0 \quad (3.1)$$

โดย  $k_0$  คือเลขคลื่นในอวกาศว่าง ในโหมด  $TE^y$  ค่า  $\phi$  คือ องค์ประกอบ  $E_x$ ,  $p = 1$ , และ  $q = n^2$  ในขณะที่โหมด  $TM^y$  ค่า  $\phi$  คือ องค์ประกอบ  $H_x$ ,  $p = 1/n^2$ , และ  $q = 1$  ในที่นี้  $n$  คือ ดัชนีหักเหของท่อนำคลื่นแสง

สมการ (3.1) สามารถเขียนได้เป็น

$$p \frac{\partial^2 \phi}{\partial x^2} + p \frac{\partial^2 \phi}{\partial y^2} + p \frac{\partial^2 \phi}{\partial z^2} + k_0^2 q \phi = 0 \quad (3.2)$$

เราให้ผลเฉลยของ  $\phi$  แสดงอยู่ในรูปของผลคูณของฟังก์ชัน 2 ตัวดังนี้

$$\phi = \psi(x, y, z) \exp(-jk_0 n_0 z) \quad (3.3)$$

โดยที่

$\psi(x, y, z)$  คือ ฟังก์ชันที่แปรตามแกน  $x, y$ , และ แกน  $z$

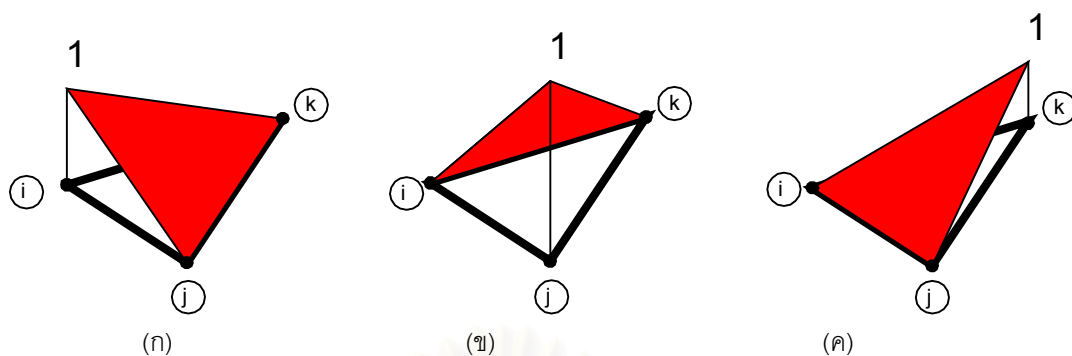
$k_0$  คือ เลขคลื่นในอวกาศว่าง

$n_0$  คือ ดัชนีหักเหอ้างอิง

การสร้างสมการจะคล้ายกับการวิเคราะห์หีนท่อนำคลื่นแสงสองมิติ เราสามารถกำหนดค่า  $n_0$  ได้หลายค่าดังที่กล่าวในบทที่แล้วเมื่อแทนสมการ (3.3) ลงในสมการ (3.2) ผลที่ได้คือ

$$p \frac{\partial^2 \psi}{\partial x^2} + p \frac{\partial^2 \psi}{\partial y^2} + p \frac{\partial^2 \psi}{\partial z^2} - 2jk_0 n_0 p \frac{\partial \psi}{\partial z} + (k_0^2 q - k_0^2 n_0^2 p) \psi = 0 \quad (3.4)$$

การหาผลเฉลยของสมการ (3.4) จะใช้วิธีไฟไนต์ดิฟเฟอเรนเชียลมาแก้ไขปัญหาในระนาบ  $(x, y)$  โดยใช้ฟังก์ชันฐาน 2 มิติดังรูปที่ 3.1



รูปที่ 3.1 ฟังก์ชันฐานของไฟไนต์อีลีเมนต์ 2 มิติที่มีรูปร่างแบบสามเหลี่ยม  
(ก)  $N_i^e$  (ข)  $N_j^e$  (ค)  $N_k^e$

ตามหลักการของวิธีไฟไนต์อีลีเมนต์ใน 2 มิติเราสามารถประมาณฟังก์ชัน  $\psi$  ให้อยู่ในรูปดังสมการเมทริกซ์ต่อไปนี้

$$\psi^e = \{N^e\}^T \{\varphi^e\} \quad (3.5)$$

$$\text{โดยที่ } \{N^e\} = \begin{bmatrix} N_i^e \\ N_j^e \\ N_k^e \end{bmatrix} \quad \{\varphi^e\} = \begin{bmatrix} \varphi_i^e \\ \varphi_j^e \\ \varphi_k^e \end{bmatrix} \quad (3.6)$$

$$N_i^e = \frac{1}{2\Delta} (a_i + b_i x + c_i y) \quad (3.7a)$$

$$N_j^e = \frac{1}{2\Delta} (a_j + b_j x + c_j y) \quad (3.7b)$$

$$N_k^e = \frac{1}{2\Delta} (a_k + b_k x + c_k y) \quad (3.7c)$$

$$\begin{array}{lll} a_i = x_j y_k - x_k y_j & b_i = y_j - y_k & c_i = x_k - x_j \\ a_j = x_k y_i - x_i y_k & b_j = y_k - y_i & c_j = x_i - x_k \\ a_k = x_i y_j - x_j y_i & b_k = y_i - y_j & c_k = x_j - x_i \end{array} \quad (3.8)$$

$$\Delta = \frac{1}{2} \begin{vmatrix} 1 & x_i & y_i \\ 1 & x_j & y_j \\ 1 & x_k & y_k \end{vmatrix} \quad (3.9)$$

$x_{i,j,k}$  คือ พิกัดในแกน  $x$  ของโนด  $i, j, k$  ตามลำดับ

$y_{i,j,k}$  คือ พิกัดในแกน  $y$  ของโนด  $i, j, k$  ตามลำดับ

$\varphi_{i,j,k}^e$  คือ สนามที่โนด  $i, j, k$  ของอีลีเมนต์  $e$  ตามลำดับ

เมื่อแทนฟังก์ชัน  $\psi$  ตามสมการ (3.5) ลงในสมการ (3.4) แล้วจัดรูปสมการผลที่ได้คือ

$$\begin{aligned} p \frac{\partial^2 \{N^e\}^T}{\partial x^2} \{\varphi^e\} + p \frac{\partial^2 \{N^e\}^T}{\partial y^2} \{\varphi^e\} + p \{N^e\}^T \frac{\partial^2 \{\varphi^e\}^T}{\partial z^2} - 2jk_0 n_0 p \{N^e\}^T \frac{\partial \{\varphi^e\}}{\partial z} \\ + (k_0^2 q - k_0^2 n_0^2 p) \{N^e\}^T \{\varphi^e\} = \{0\} \end{aligned} \quad (3.10)$$

ตามหลักการของวิธีถ่วงน้ำหนักเศษตค่างแบบกาเลขคิน เมื่อหาผลคูณภายในของสมการ (3.10) กับ  $\{N^e\}$  และรวมผลของอีลีเมนต์ทุกตัวเข้าด้วยกันแล้วเราจะได้ชุดสมการดังนี้

$$\begin{aligned} \sum_{i=1}^e \iint p \{N_i\} \frac{\partial^2 \{N_i\}^T}{\partial x^2} dx dy \{\varphi\} + \sum_{i=1}^e \iint p \{N_i\} \frac{\partial^2 \{N_i\}^T}{\partial y^2} dx dy \{\varphi\} \\ + \sum_{i=1}^e \iint p \{N_i\} \{N_i\}^T dx dy \frac{d^2 \{\varphi\}}{dz^2} - 2jk_0 n_0 p \sum_{i=1}^e \iint p \{N_i\} \{N_i\}^T dx dy \frac{d\{\varphi\}}{dz} \\ + \sum_{i=1}^e \iint k_0^2 q \{N_i\} \{N_i\}^T dx dy \{\varphi\} - k_0^2 n_0^2 \sum_{i=1}^e \iint p \{N_i\} \{N_i\}^T dx dy \{\varphi\} = \{0\} \end{aligned} \quad (3.11)$$

เมื่อใช้ความสัมพันธ์ต่อไปนี้

$$\frac{\partial}{\partial x} \left( \{N\} \frac{\partial \{N\}^T}{\partial x} \right) = \frac{\partial \{N\}}{\partial x} \frac{\partial \{N\}^T}{\partial x} + \{N\} \frac{\partial^2 \{N\}^T}{\partial x^2} \quad (3.12a)$$

$$\frac{\partial}{\partial y} \left( \{N\} \frac{\partial \{N\}^T}{\partial y} \right) = \frac{\partial \{N\}}{\partial y} \frac{\partial \{N\}^T}{\partial y} + \{N\} \frac{\partial^2 \{N\}^T}{\partial y^2} \quad (3.12b)$$



ก็จะเขียนสมการ (3.11) ได้เป็น

$$\begin{aligned}
& - \sum_{i=1}^e \iint p \frac{\partial \{N_i\}}{\partial x} \frac{\partial \{N_i\}^T}{\partial x} dx dy \{\phi\} - \sum_{i=1}^e \iint p \frac{\partial \{N_i\}}{\partial y} \frac{\partial \{N_i\}^T}{\partial y} dx dy \{\phi\} \\
& + \sum_{i=1}^e \oint p \{N_i\} \frac{\partial \{N_i\}^T}{\partial n} dl \{\phi\} + \sum_{i=1}^e \iint p \{N_i\} \{N_i\}^T dx dy \frac{d^2 \{\phi\}}{dz^2} \\
& - 2jk_0 n_0 \sum_{i=1}^e \iint p \{N_i\} \{N_i\}^T dx dy \frac{d\{\phi\}}{dz} + \sum_{i=1}^e \iint k_0^2 q \{N_i\} \{N_i\}^T dx dy \{\phi\} \\
& - k_0^2 n_0^2 \sum_{i=1}^e \iint p \{N_i\} \{N_i\}^T dx dy \{\phi\} = \{0\} \tag{3.13}
\end{aligned}$$

สมการ (3.13) สามารถแสดงในรูปของเมทริกซ์ได้เป็น

$$[M] \frac{d^2 \{\phi\}}{dz^2} - 2jk_0 n_0 [M] \frac{d\{\phi\}}{dz} + ([K] - k_0^2 n_0^2 [M]) \{\phi\} = \{0\} \tag{3.14}$$

โดยที่  $[M]$  และ  $[K]$  จะแปรตามเงื่อนไขขอบเขต ณ ระยะเวลาหนึ่ง

- ถ้าใช้งานเงื่อนไขขอบเขตแบบโปร่งใสจะเขียนได้ดังนี้

$$[K] = [K]' + [K]_{\Gamma} \tag{3.15}$$

$$[K]' = \sum_{i=1}^e \iint k_0^2 q \{N_i\} \{N_i\}^T - p \frac{d\{N_i\}}{dx} \frac{d\{N_i\}^T}{dx} - p \frac{d\{N_i\}}{dy} \frac{d\{N_i\}^T}{dy} dx dy \tag{3.16}$$

$$[K]_{\Gamma} = \sum_{i=1}^e \int_{\Gamma} -jk \tilde{p} \{N_i\}_{\Gamma} \{N_i\}_{\Gamma}^T ds \tag{3.17}$$

$$[M] = \sum_{i=1}^e \iint p \{N_i\} \{N_i\}^T dx dy \tag{3.18}$$

$\tilde{k}$  เป็นสัมประสิทธิ์ TBC เป็นตัวไม่ทราบค่า (รายละเอียดในภาคผนวก ค)

$\{N\}_{\Gamma}$  เป็นฟังก์ชันฐาน 1 มิติที่ขอบเขตของหน้าต่างการคำนวณ

- ถ้าใช้เงื่อนไขขอบเขตแบบPMLค่า  $[K]$  สามารถเขียนได้ดังนี้

$$[K] = \sum_{i=1}^e \iint k_0^2 q s \{N_i\} \{N_i\}^T - \frac{s}{s_x^2} p \frac{d\{N_i\}}{dx} \frac{d\{N_i\}^T}{dx} - \frac{s}{s_y^2} p \frac{d\{N_i\}}{dy} \frac{d\{N_i\}^T}{dy} dx dy \quad (3.19)$$

$$[M] = \sum_{i=1}^e \iint s p \{N_i\} \{N_i\}^T dx dy \quad (3.20)$$

โดยที่ค่า  $s$  นิยามตามสมการ (2.28) ค่า  $s_x$  และ  $s_y$  นิยามตามตารางที่ ๓.2 ในภาคผนวก ง

เช่นเดียวกับบทที่ 2 ในวิทยานิพนธ์นี้เราใช้วิธีนิวมาร์กมาแก้ไขปัญหามันในแนวแกนแทนวิธีแบบปลาเด ดังนั้นเราสามารถเขียนสมการ (3.14) ให้อยู่ในรูปสมการ BPM ได้ดังนี้

$$[A]\{\phi\}_{i+1} = [B]\{\phi\}_i + [C]\{\phi\}_{i-1} \quad (3.21)$$

โดยที่

$$[A] = [M] - 2jk_0 n_0 [M] \gamma \Delta z + ([K] - k_0^2 n_0^2 [M]) \beta \Delta z^2 \quad (3.22a)$$

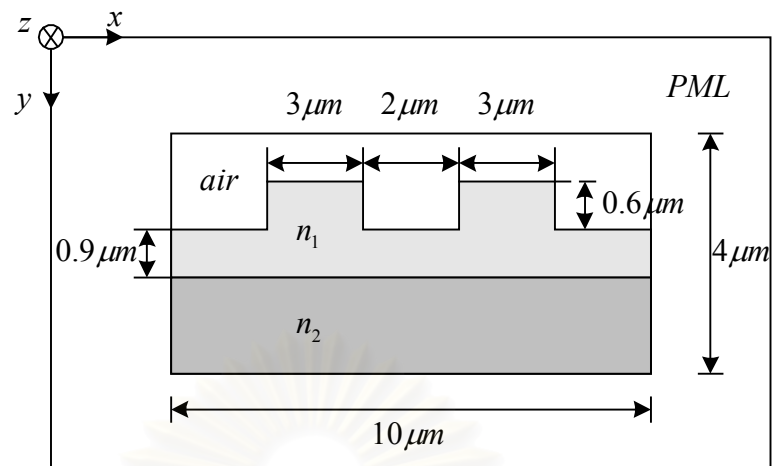
$$[B] = 2[M] + 2jk_0 n_0 [M] (1 - 2\gamma) \Delta z - ([K] - k_0^2 n_0^2 [M]) (0.5 + \gamma - 2\beta) \Delta z^2 \quad (3.22b)$$

$$[C] = -[M] + 2jk_0 n_0 [M] (-1 + \gamma) \Delta z - ([K] - k_0^2 n_0^2 [M]) (0.5 - \gamma + \beta) \Delta z^2 \quad (3.22c)$$

### 3.3 การคำนวณในกรณีตัวอย่างในวัสดุไอโซทรอปิก

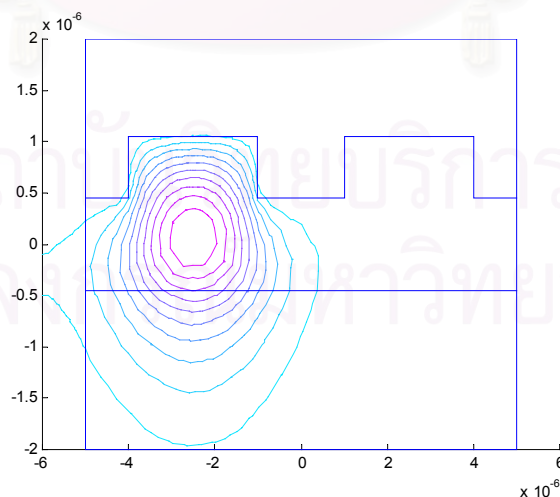
#### 3.3.1 ท่อนำคลื่นแสงแบบคู่ควม 3 มิติ

เริ่มจากการพิจารณาท่อนำคลื่นแสงแบบคู่ควม 3 มิติซึ่งมีการนำเสนองานวิจัย (Obaya, Rahman, and El-Mikati, 2000) ดังรูปที่ 3.2



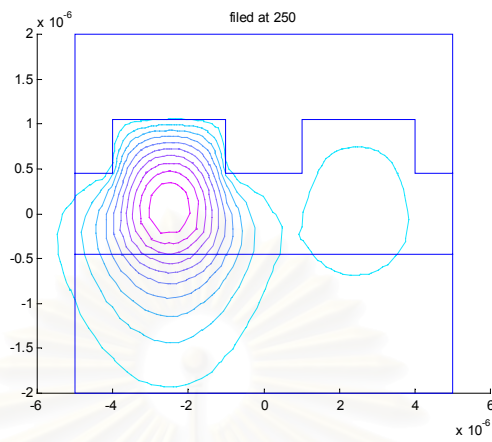
รูปที่ 3.2 ท่อนำคลื่นแสงแบบคู่ควบ 3 มิติ

ท่อนำคลื่นแสงแบบคู่ควบ มีดัชนีหักเหของแกน  $n_1 = 3.44$  ดัชนีหักเหของเปลือก  $n_2 = 3.4$  กำหนดให้หน้าต่างการคำนวณเป็น  $10\ \mu\text{m} \times 4\ \mu\text{m}$  ความยาวคลื่นที่ใช้งาน  $\lambda = 1.55\ \mu\text{m}$ , ใช้เงื่อนไขขอบเขตแบบ PML โดยมีความหนาของชั้นดูดซับเป็น  $1\ \mu\text{m}$  ค่าพารามิเตอร์ PML เป็นไปตามสมการ (2.23) ใช้การกระจายตัวการลดทอนเป็นศูนย์ ( $\alpha = 0$ ) สัมประสิทธิ์การสะท้อนตามทฤษฎี  $R_0$  เป็น  $10^{-20}$  อีลีเมนต์ในชั้นดูดซับเป็นสามเหลี่ยมรูปร่างสม่ำเสมอและมีจำนวน=8อีลีเมนต์ ป้อนอินพุตสนามไฟฟ้า  $TE_{11}^y$  เข้ามาทางแกนซ้ายมือโดยหาได้จากวิธีไฟไนต์-อีลีเมนต์แบบสเกลาร์ (Koshiba, Saitoh, Eguchi, and Hirayama, 1992) ดังรูปที่ 3.3

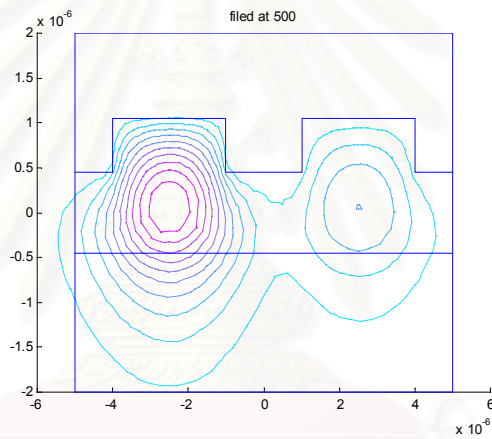


รูปที่ 3.3 สนามไฟฟ้าอินพุตโหมด  $TE_{11}^y$  ที่แกนซ้ายของท่อนำคลื่นแสงแบบคู่ควบ

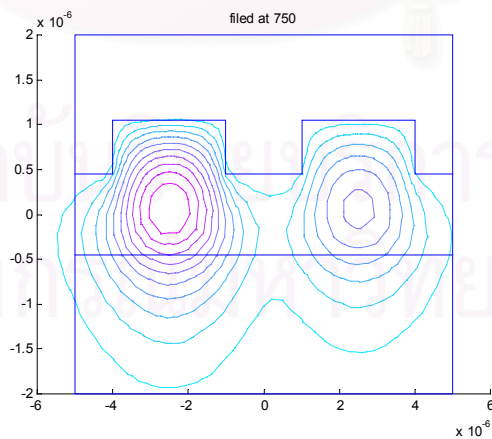
ผลการคำนวณของขนาดสนามไฟฟ้าในโหมด TE<sub>๑๐</sub> ณ ระยะต่างๆตามแกน z แสดง  
 ได้ดังในภาพที่ 3.3 (ก)-(ค)



(ก)  $z = 250 \mu\text{m}$

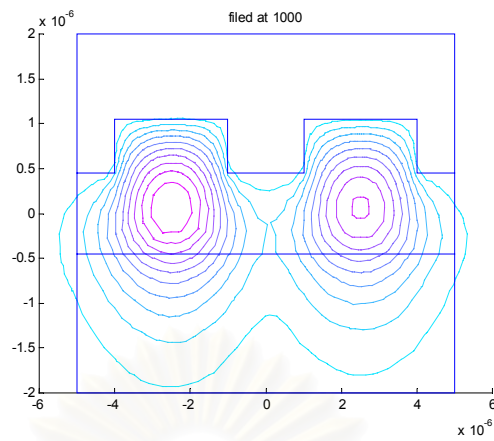
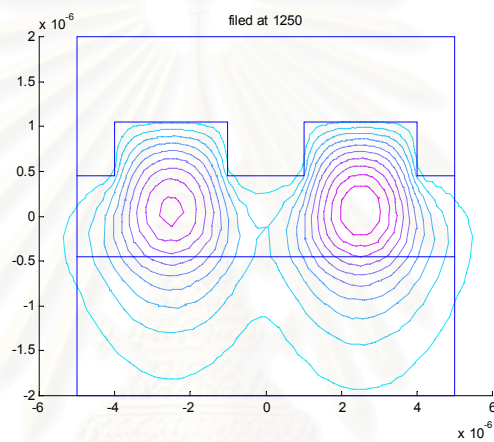
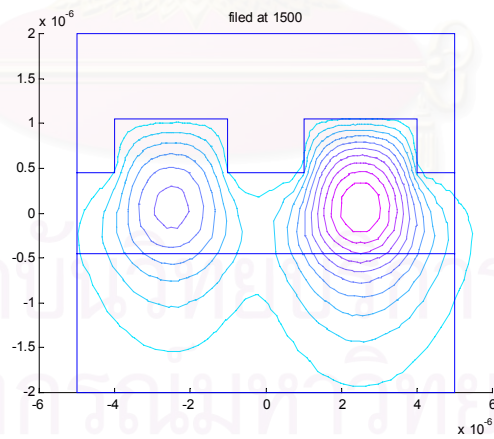


(ข)  $z = 500 \mu\text{m}$

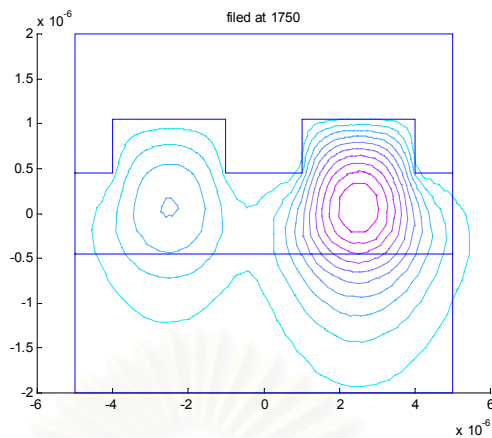
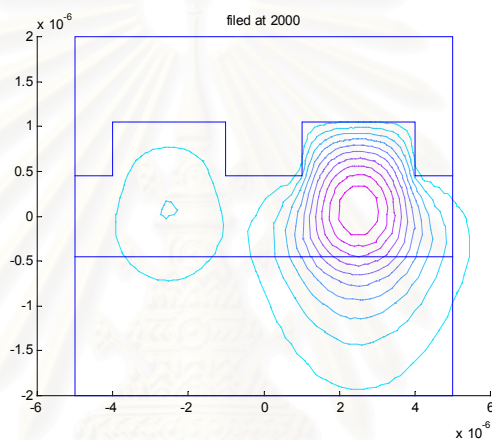
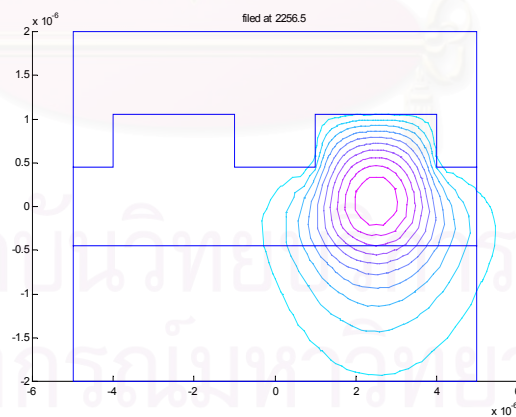


(ค)  $z = 750 \mu\text{m}$

รูปที่ 3.4 (ก)-(ค) สนามไฟฟ้าในท่อนำคลื่นแสงแบบคู่ควบคำนวณด้วยอัลกอริทึมมินิมาร์ก

(ง)  $z = 1000 \mu\text{m}$ (ฉ)  $z = 1250 \mu\text{m}$ (ค)  $z = 1500 \mu\text{m}$ 

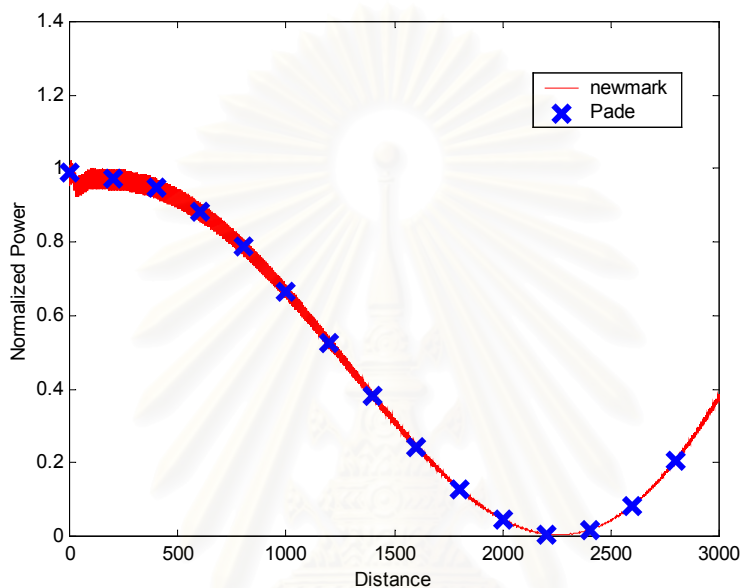
รูปที่ 3.4 (ต่อ) (ก)-(ค) สนามไฟฟ้าในท่อนำคลื่นแสงแบบคู่ควมคำนวณด้วยอัลกอริทึมนิวมาร์ก

(ข)  $z = 1750 \mu\text{m}$ (ค)  $z = 2000 \mu\text{m}$ (ง)  $z = 2256.5 \mu\text{m}$ 

รูปที่ 3.4 (ต่อ)(ก)-(ง) สนามไฟฟ้าในท่อนำคลื่นแสงแบบคู่ควบคำนวณด้วยอัลกอริทึมนิวมาร์ก

จากการวิเคราะห์ระยะคู่ควบ (coupling length) เมื่อทำการคำนวณด้วยวิธี FE-BPM และ อัลกอริทึม นิวมาร์กได้ค่าระยะคู่ควบเป็น  $2256.5 \mu\text{m}$  ในขณะที่เมื่อทำการวิเคราะห์ด้วยอัลกอริทึมปาเตได้ค่าระยะคู่ควบเป็น  $2258 \mu\text{m}$  และเมื่อพิจารณาด้วยวิธีไฟไนต์อี-ดีเมนต์

สามารถหาค่าคงที่ของการแพร่กระจายโหมดคู่เป็น  $\beta_c = 1.384088739473894 \times 10^7$  และค่าคงที่ของการแพร่กระจายของโหมดคี่เป็น  $\beta_o = 1.38394980606596 \times 10^7$  ดังนั้นเมื่อใช้สูตรตามสมการ (2.24) จะหาค่าระยะคู่ควบด้วยวิธีไฟไนต์อีลีเมนต์เป็น  $2261.22 \mu\text{m}$  จะเห็นได้ว่าค่าระยะคู่ควบทั้งอัลกอริทึมนิวมาร์กและปาเดต่างก็ใกล้เคียงกับค่าที่หาได้ด้วยวิธี FEM รูปที่ 3.5 แสดงพลังงานในแกนด้านซ้ายของท่อนำคลื่นแสง โดยเปรียบเทียบกับอัลกอริทึมแบบปาเด



รูปที่ 3.5 การเปรียบเทียบพลังงานในแกนด้านซ้ายของท่อนำคลื่นแสงระหว่างวิธี FE-BPM อัลกอริทึมนิวมาร์ก กับอัลกอริทึมแบบปาเด

การทดสอบต่อมาเราจะคำนวณหาพารามิเตอร์นิวมาร์กที่เหมาะสมโดยการเปลี่ยนแปลงค่าพารามิเตอร์ไปต่างๆโดยเลือก  $\gamma = 0.5$  และเปลี่ยนแปลงค่า  $\beta = 0.5$  ถึง  $1.0$  โดยคำนวณหาค่าระยะคู่ควบมาทำการเปรียบเทียบกัน ในที่นี้เปลี่ยนแปลงค่าระยะขึ้นจาก  $0.5 \mu\text{m}$  เป็น  $1 \mu\text{m}$  เพื่อลดเวลาในการคำนวณโดยใช้ค่าพารามิเตอร์อื่นๆและเงื่อนไขขอบเขตเช่นเดียวกับในหัวข้อที่แล้ว ผลการคำนวณออกมาดังตารางที่ 3.1

จากผลการคำนวณพบว่าค่าพารามิเตอร์  $\beta$  เท่ากับ  $0.5$  และ  $1$  ให้ค่าระยะเชื่อมต่อกันใกล้เคียงกับค่าที่คำนวณด้วยวิธีไฟไนต์อีลีเมนต์ในขณะที่ค่าอื่นให้ผลการคำนวณออกมาได้ไม่ดี ดังนั้นการเลือกค่า  $\beta$  จึงควรใช้ค่าใดค่าหนึ่งในค่าทั้งสองนี้ แต่เช่นเดียวกับการคำนวณในท่อนำคลื่นแสง 2 มิติในบทที่แล้วเราพบว่าเมื่อเลือกค่า  $\beta$  เท่ากับ  $0.5$  จะทำให้ลดเทอมที่ใช้ในการคำนวณลงทำให้ลดจำนวนเมทริกซ์ที่ต้องใช้ในการคำนวณส่งผลให้ลดหน่วยความจำและลดเวลา

ในการคำนวณลง ดังนั้นในการคำนวณในสมการสเกลาร์ไฟไนต์อีลีเมนต์ที่มีพหุคูณและอัล - กอริทึมนิวมาร์กเราจึงเลือกค่า  $\gamma = 0.5$  และ  $\beta = 0.5$  มาใช้ในการคำนวณในบทนี้

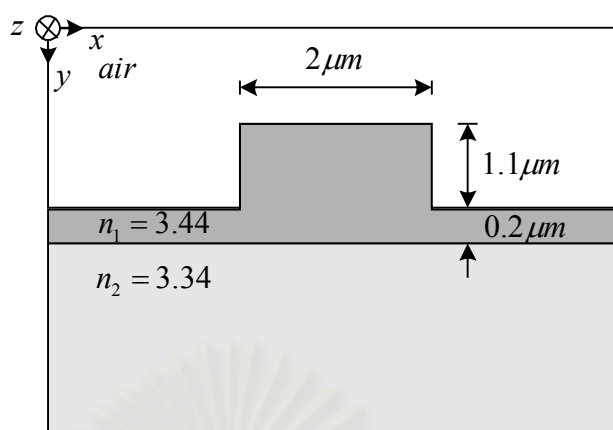
ตารางที่ 3.1 การเปรียบเทียบระยะคู่ควบเมื่อใช้ค่าพารามิเตอร์นิวมาร์กที่แตกต่างกัน

| $\gamma$ | $\beta$ | ระยะคู่ควบ ( $\mu m$ ) |
|----------|---------|------------------------|
| 0.5      | 0.5     | 2256                   |
| 0.5      | 0.6     | 2277                   |
| 0.5      | 0.7     | 2273                   |
| 0.5      | 0.8     | 2241                   |
| 0.5      | 0.9     | 2254                   |
| 0.5      | 1.0     | 2267                   |

### 3.3.2 ท่อนำคลื่นแสงแบบริบ

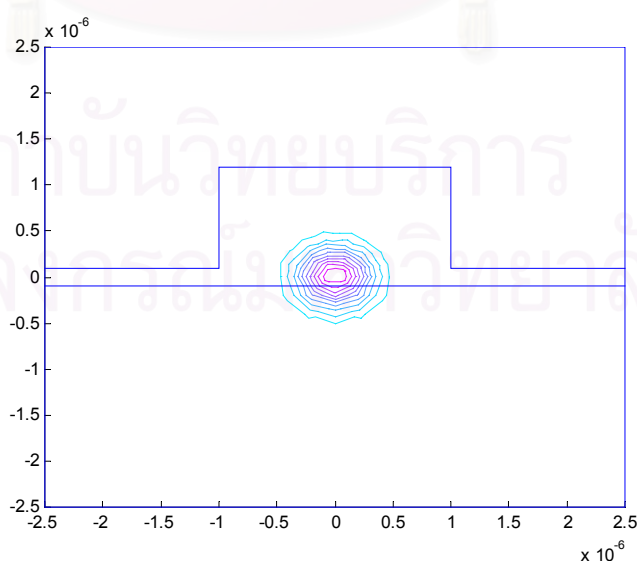
ตัวอย่างต่อมาที่จะวิเคราะห์การแพร่กระจายสนามไฟฟ้าคือท่อนำคลื่นแสงแบบริบ 3 มิติ ดังที่เคยเสนอในงานวิจัยของ (Tsuji, Koshiba, and Shirashi, 1997) ดังรูปที่ 3.6 ค่าดัชนีหักเหของแกน  $n_1 = 3.44$ , ดัชนีหักเหของเปลือก  $n_2 = 3.34$  ใช้ความยาวคลื่น  $\lambda = 1.55 \mu m$  ใช้หน้าต่างการคำนวณขนาด ( $5 \mu m \times 5 \mu m$ ) เริ่มทดลองเงื่อนไขขอบเขตระหว่างเงื่อนไขขอบเขตแบบโปร่งใสกับเงื่อนไขขอบเขตแบบPMLว่าชนิดใดเหมาะที่จะใช้งานร่วมกับ อัลกอริทึมนิวมาร์กมากกว่ากัน



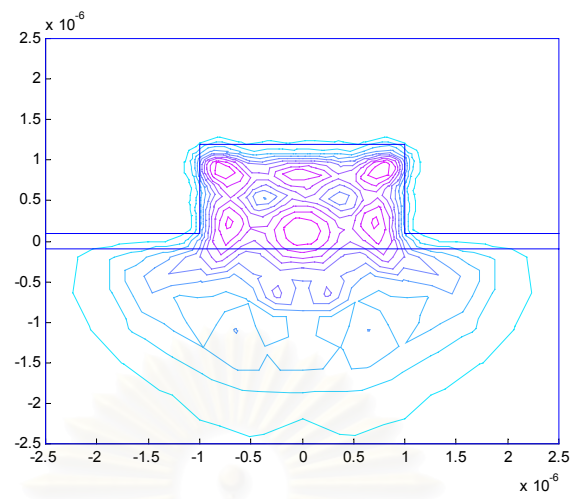
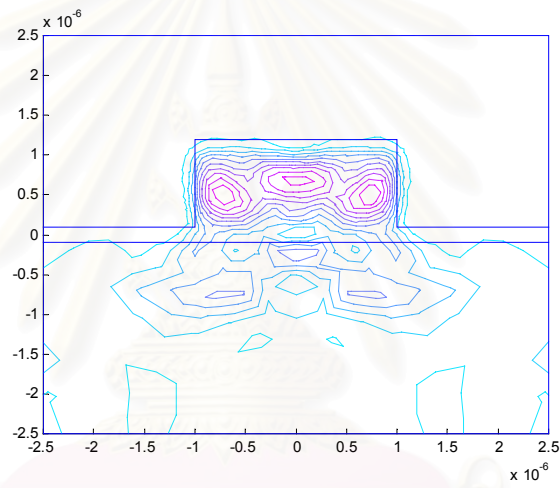
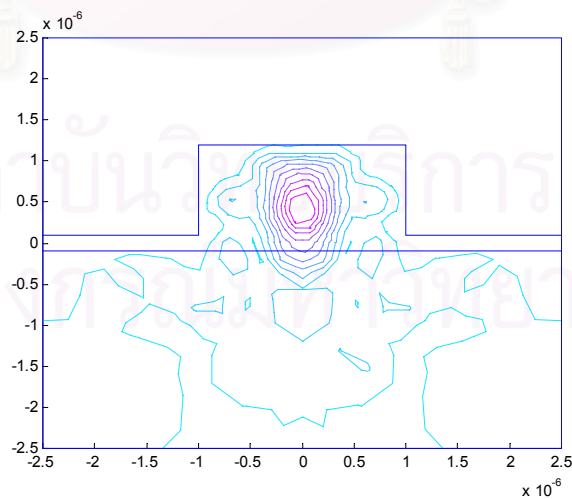


รูปที่ 3.6 ท่อนำคลื่นแสงแบบเรียบ 3 มิติ

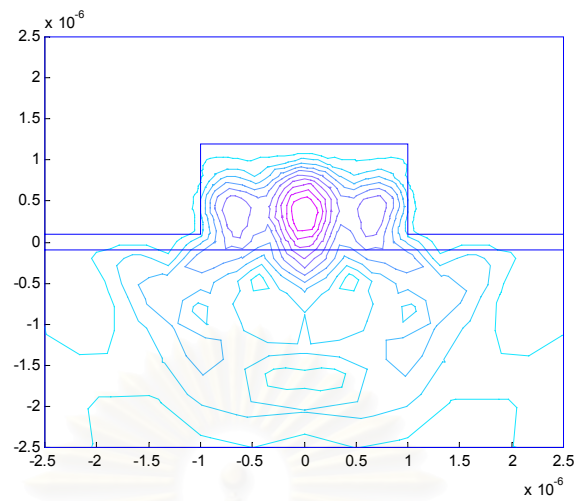
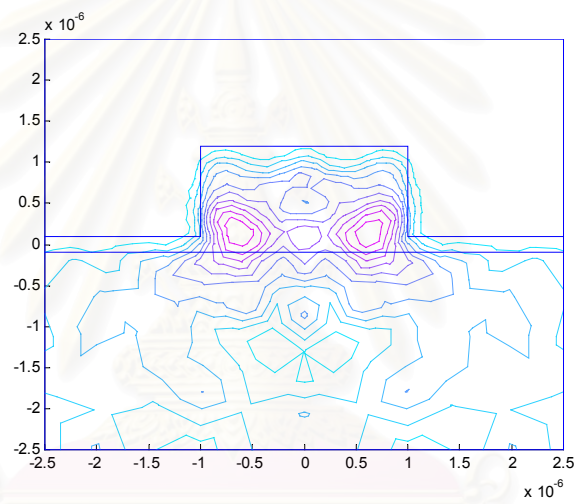
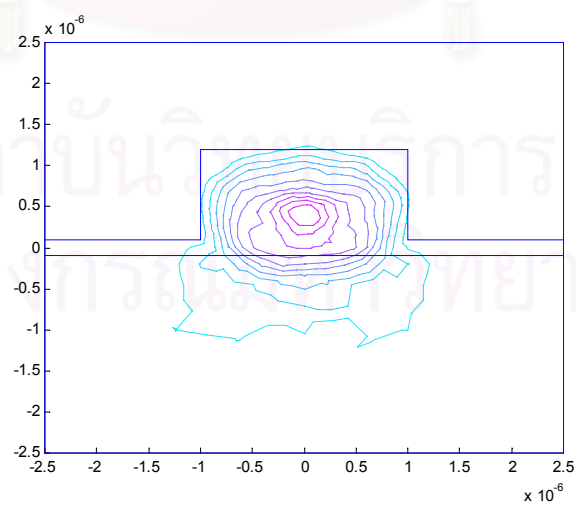
พิจารณาการแพร่กระจายเป็นระยะทาง  $100\ \mu\text{m}$  เล็กพารามิเตอร์นิวมาร์กเป็น  $\beta = 0.5$ ,  $\gamma = 0.5$  ใช้ระยะห่างระหว่างชั้น  $\Delta z = 0.25\ \mu\text{m}$  ป้อนอินพุตที่ชั้นที่ 0 และ -1 เป็นสนามไฟฟ้าที่มีการกระจายตัวแบบเกาส์เซียนที่มีขนาดจุด (spot size) เป็น  $0.3\ \mu\text{m}$  ดังรูปที่ 3.7 การคำนวณด้วยเงื่อนไขขอบเขตแบบโปร่งใสใช้ความรู้ที่ได้จากการหาค่าสัมประสิทธิ์ในบทที่ 2 มาคำนวณคือใช้สนามเฉลี่ยระหว่างระนาบ  $i$  กับระนาบ  $i-1$  มาหาค่าสัมประสิทธิ์ TBC ได้ผลดังรูปที่ 3.8 ในกรณีที่ใช้เงื่อนไขขอบเขตแบบ PML ค่าพารามิเตอร์  $s$  เป็นไปตามสมการ (2.23) ให้การกระจายตัวการลดทอนมีค่าคงที่ ( $\alpha = 0$ ) เลือกความหนาของชั้นดูดซับเป็น  $1\ \mu\text{m}$  อีลีเมนต์ในชั้นดูดซับเป็นแบบสามเหลี่ยมรูปร่างสมมาตรจำนวน 8 อีลีเมนต์ ค่าสัมประสิทธิ์การสะท้อนทฤษฎี  $R_0$  เป็น  $10^{-20}$  ได้ผลดังรูปที่ 3.9



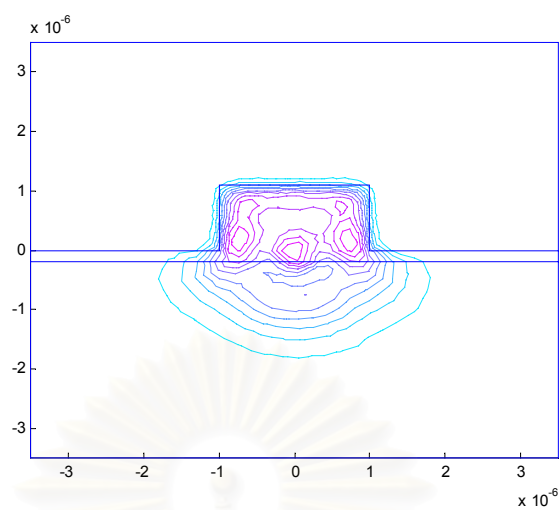
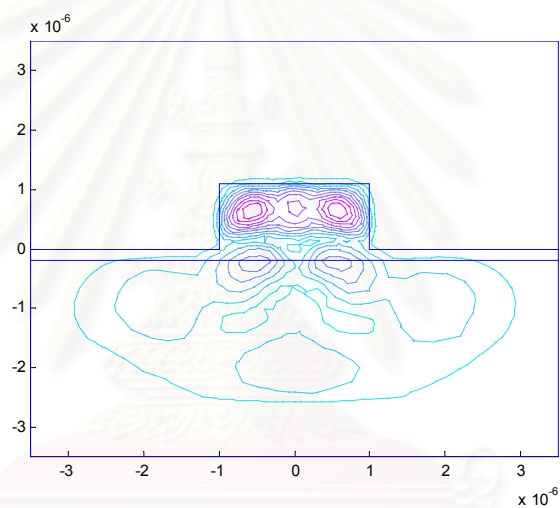
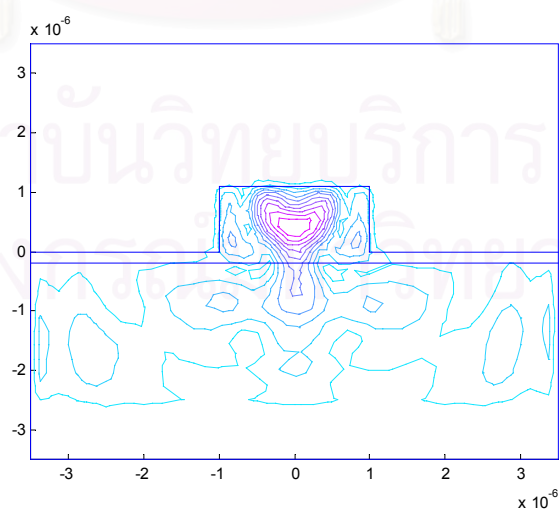
รูปที่ 3.7 สนามไฟฟ้าอินพุตที่มีการกระจายตัวแบบเกาส์เซียนที่มีขนาดจุดเป็น  $0.3\ \mu\text{m}$

(ก)  $z = 3 \mu\text{m}$ (ข)  $z = 6 \mu\text{m}$ (ค)  $z = 9 \mu\text{m}$ 

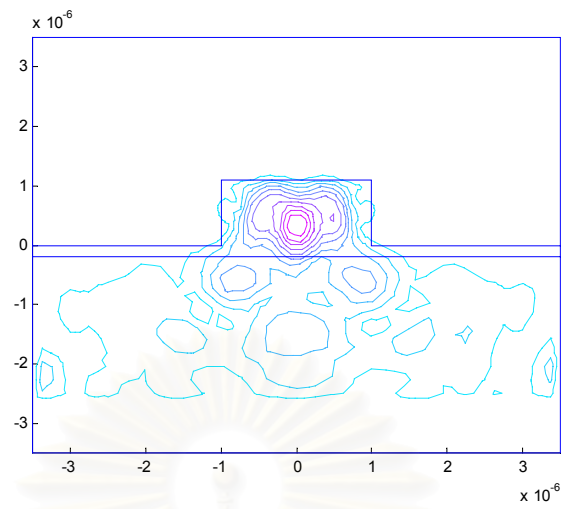
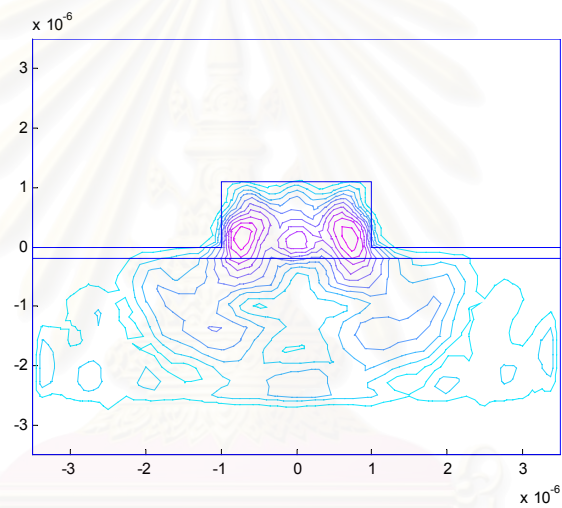
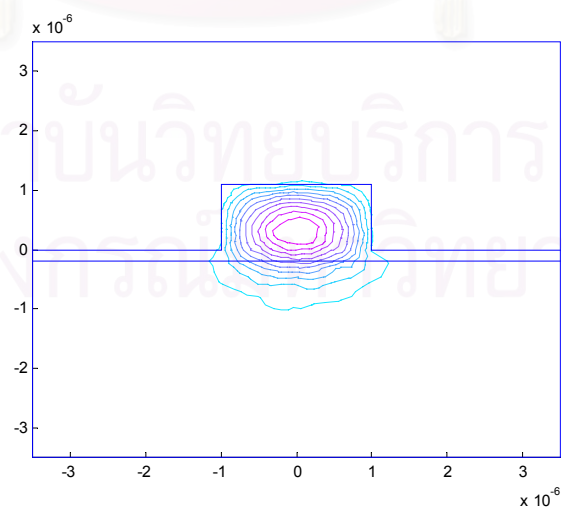
รูปที่ 3.8 (ก)-(ค) สนามไฟฟ้าคำนวณด้วยอัลกอริทึมนิวมาร์กโดยใช้เงื่อนไขขอบเขตแบบโปร่งใส

(ง)  $z = 12 \mu\text{m}$ (จ)  $z = 15 \mu\text{m}$ (ด)  $z = 100 \mu\text{m}$ 

รูปที่ 3.8 (ก)-(ด) (ต่อ)สนามไฟฟ้าคำนวณด้วยอัลกอริทึมมินิมาร์กโดยใช้เงื่อนไขขอบเขตแบบโปร่งใส

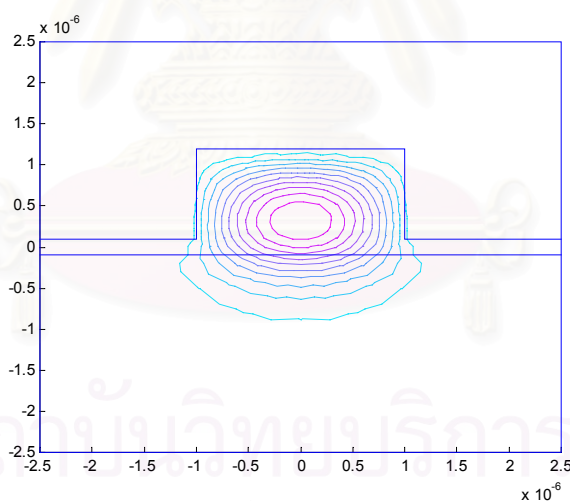
(ก)  $z = 3 \mu\text{m}$ (ข)  $z = 6 \mu\text{m}$ (ค)  $z = 9 \mu\text{m}$ 

รูปที่ 3.9 (ก)-(ค) สนามไฟฟ้าที่คำนวณด้วยอัลกอริทึมมินิมาร์กโดยใช้เงื่อนไขขอบเขตแบบชั้นคู่ดูดซับ

(ง)  $z = 12\mu m$ (จ)  $z = 15\mu m$ (ฉ)  $z = 100\mu m$ 

รูปที่ 3.9 (ก)-(ฉ) (ต่อ) สนามไฟฟ้าที่คำนวณด้วยอัลกอริทึมมินิมาร์กโดยใช้เงื่อนไขขอบเขตแบบชั้นคู่ดูดซับ

จากรูปที่ 3.8 และ 3.9 พิจารณาสนามไฟฟ้าที่ตำแหน่ง  $z = 100\mu\text{m}$  โดยนำผลที่ได้ไปเปรียบเทียบกับสนามไฟฟ้าโหมด  $TE_{11}'$  ที่คำนวณจากวิธีไฟไนต์อีลีเมนต์ (Koshiba, saito, Eguchi, and Hirayama, 1992) ดังรูปที่ 3.10พบว่า สนามไฟฟ้าที่ใช้เงื่อนไขขอบเขตแบบโปร่งใสเกิดการสั่นเนื่องจากการสะท้อนกลับจากขอบหน้าต่างการคำนวณ (รูปที่ 3.8 ข) ในขณะที่เมื่อคำนวณด้วยเงื่อนไขขอบเขตแบบPML (รูปที่ 3.9 ข) ให้คำตอบที่รูปร่างใกล้เคียงกับโหมด  $TE_{11}'$  (รูปที่ 3.10)มากกว่าเราจึงสามารถสรุปได้ว่าเงื่อนไขขอบเขตแบบPMLเหมาะสมมากกว่าเงื่อนไขขอบเขตแบบโปร่งใสเมื่อใช้งานกับFE-BPMอัลกอริทึมนิวมาร์ก สาเหตุที่เงื่อนไขขอบเขตแบบโปร่งใสใช้งานไม่ได้เมื่อใช้กับอัลกอริทึมแบบนิวมาร์กเนื่องมาจากระยะชั้นการคำนวณของอัลกอริทึมนิวมาร์กต้องมากกว่าค่าๆหนึ่ง(รายละเอียดในบทที่4)ซึ่งจะทำให้ไม่สามารถแบ่งระยะชั้นการคำนวณที่ละเอียดได้ทำให้สนามไฟฟ้าที่ตำแหน่งที่ระนาบ  $i$  และระนาบ  $i - 1$  มีความแตกต่างจากระนาบ  $i + 1$  ค่อนข้างมากทำให้การหาค่าสัมประสิทธิ์ TBC มีความคลาดเคลื่อนจากความเป็นจริงสูง

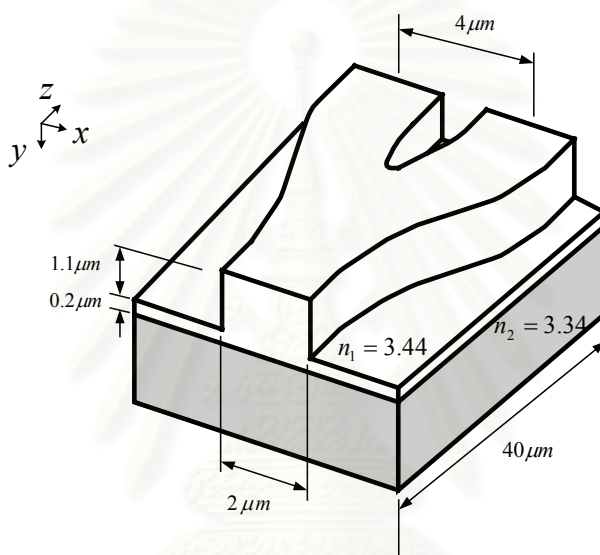


รูปที่3.10 สนามไฟฟ้าโหมด  $TE_{11}'$  ที่คำนวณด้วยวิธีไฟไนต์อีลีเมนต์

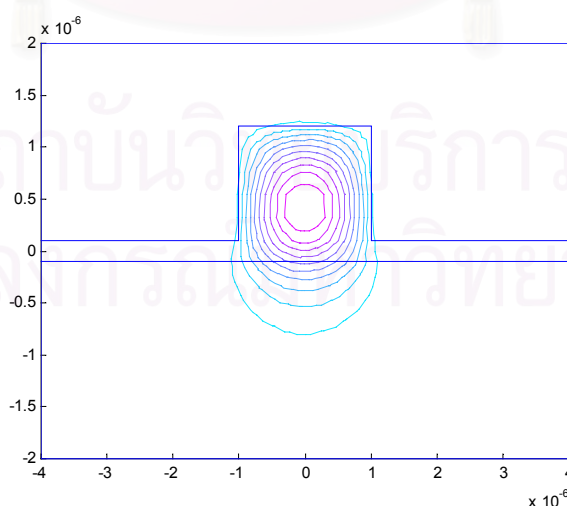
### 3.3.3 ท่อนำคลื่นแสงแบบริบรูปตัววาย

ในหัวข้อนี้จะทดสอบอัลกอริทึมนิวมาร์กในท่อนำคลื่นแสงที่มีลักษณะมุมกว้าง โดยท่อนำคลื่นแสงที่นำมาพิจารณาคือท่อนำคลื่นแสงริบรูปตัววาย (Tsuji, Koshiba, and Shiraiishi, 1997) ดังรูปที่3.11 โดยมีดัชนีหักเหของแกน = 3.44 และมีดัชนีหักเหของเปลือก = 3.34

แกนของท่อนำคลื่นแสงสามารถอธิบายด้วยสมการเส้นโค้งดังนี้  $\pm(1 - \cos(z\pi/40\mu\text{m}))$  โดยค่า  $z$  เป็นระยะทางในแนวการแพร่กระจายมีหน่วยเป็นไมโครเมตร ตัวแกนมีความกว้างเป็น  $2\mu\text{m}$  ใช้หน้าตัดการคำนวณเป็น  $(4\mu\text{m} \times 8\mu\text{m})$  ให้ดัชนีหักเหข้างอิง  $n_0 = 3.34$  ใช้เงื่อนไขขอบเขตแบบPML โดยมีความหนาของชั้นดูดซับ  $= 1\mu\text{m}$  มีการลดทอนแบบคงที่ ( $\alpha = 0$ ) มีสัมประสิทธิ์การสะท้อนตามทฤษฎี  $R_0 = 10^{-20}$  ความยาวคลื่นที่ใช้เป็น  $1.55\mu\text{m}$  ระยะชั้นการคำนวณ  $\Delta z = 0.25\mu\text{m}$  สนามไฟฟ้าอินพุตเป็น  $TE_{11}^y$  โมด คำนวณด้วยวิธีไฟไนต์อีลีเมนต์ (Koshiya, Saitoh, Eguchi, and Hirayama, 1992) ดังรูปที่3.12

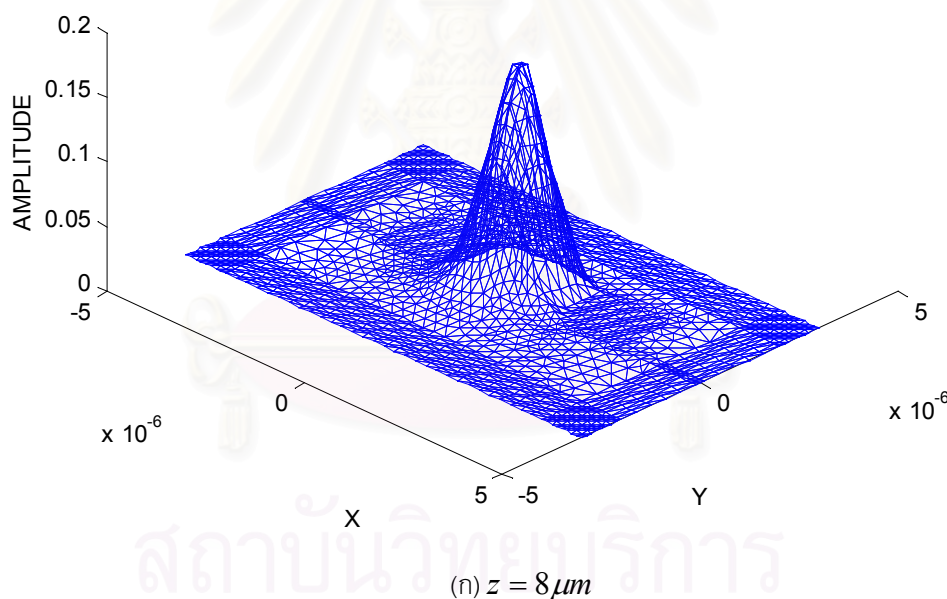


รูปที่3.11 ท่อนำคลื่นแสงริบรูปตัววาย แบบ3มิติ



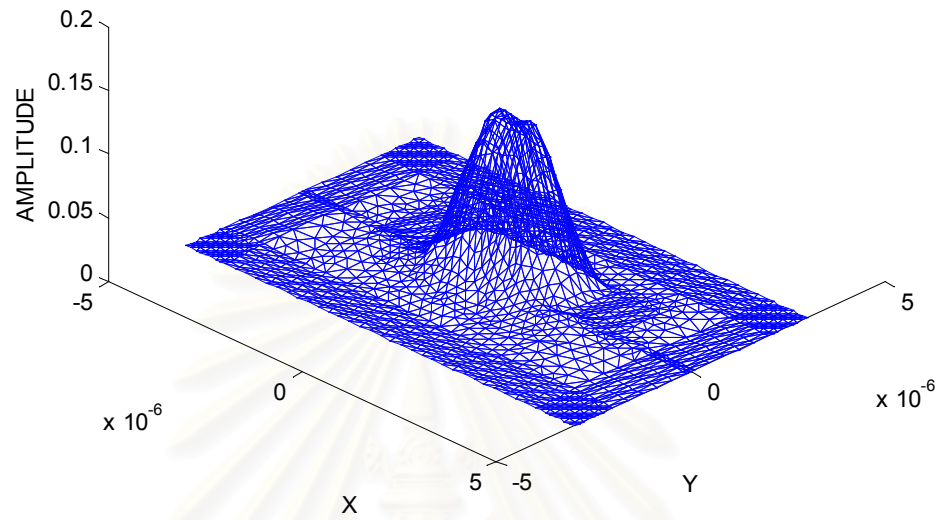
รูปที่3.12 สนามไฟฟ้าอินพุต  $TE_{11}^y$  โมด

ผลการคำนวณได้ดังรูปที่ 3.13 สนามแพร่กระจายไปตามทิศทาง  $z$  โดยสนามถูกแบ่งออกเป็น 2 ทางตามแกนของท่อนำคลื่นแสง แสดงให้เห็นว่าอัลกอริทึมนิวมาร์กสามารถคำนวณบนท่อนำคลื่นที่มีลักษณะมุมกว้างได้ หลังจากนั้นทำการเปรียบเทียบการแพร่กระจายของสนามไฟฟ้าตามท่อนำคลื่นแสงระยะทาง  $40\mu\text{m}$  ระหว่างอัลกอริทึมแบบนิวมาร์กกับอัลกอริทึมแบบปาเดดังรูปที่ 3.13 (จ) และ 3.14 จากผลการคำนวณพบว่าอัลกอริทึมแบบปาเดมีความแม่นยำกว่าเล็กน้อยโดยสังเกตสนามที่ระยะทาง  $40\mu\text{m}$  มีความต่อเนื่องมากกว่าสนามที่คำนวณด้วยอัลกอริทึมแบบนิวมาร์ก

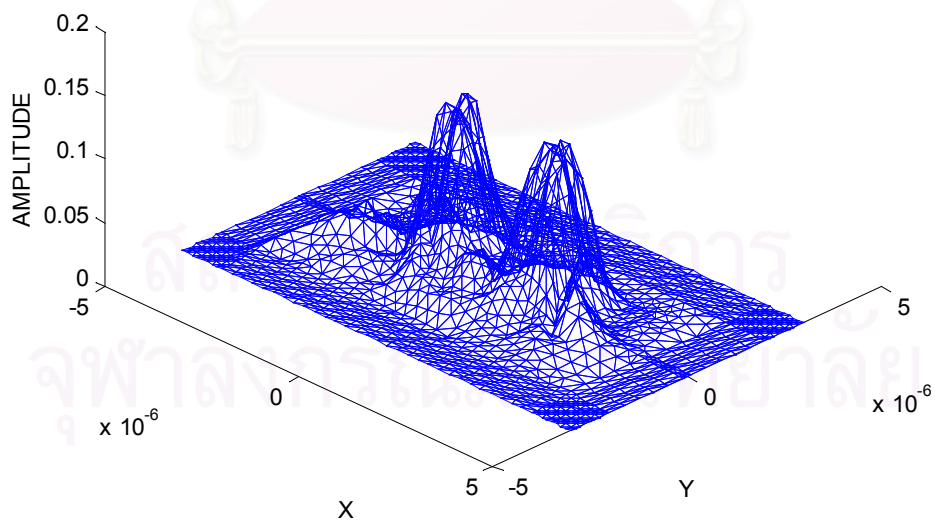


รูปที่ 3.13 (ก)-(จ) สนามไฟฟ้าที่คำนวณด้วยอัลกอริทึมนิวมาร์กที่ระยะทาง  $z$  ต่างๆ



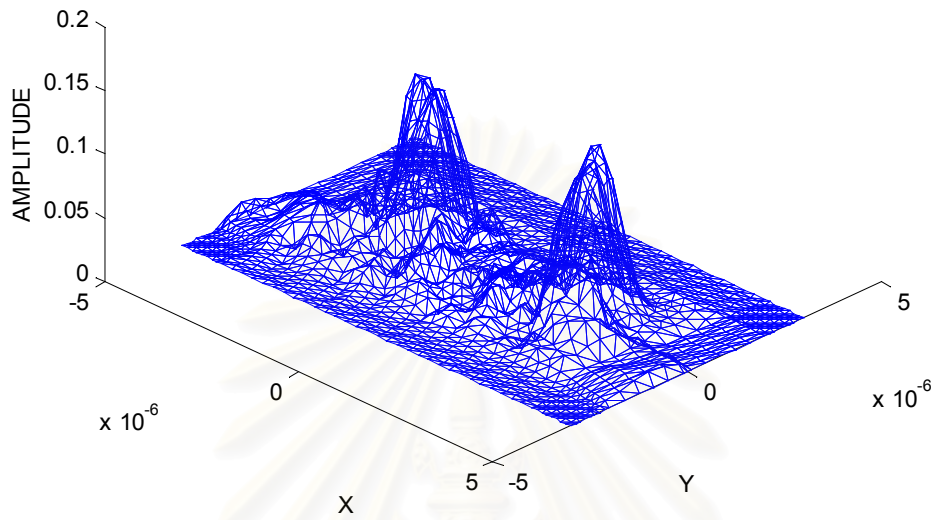


(ข)  $z = 16\mu m$

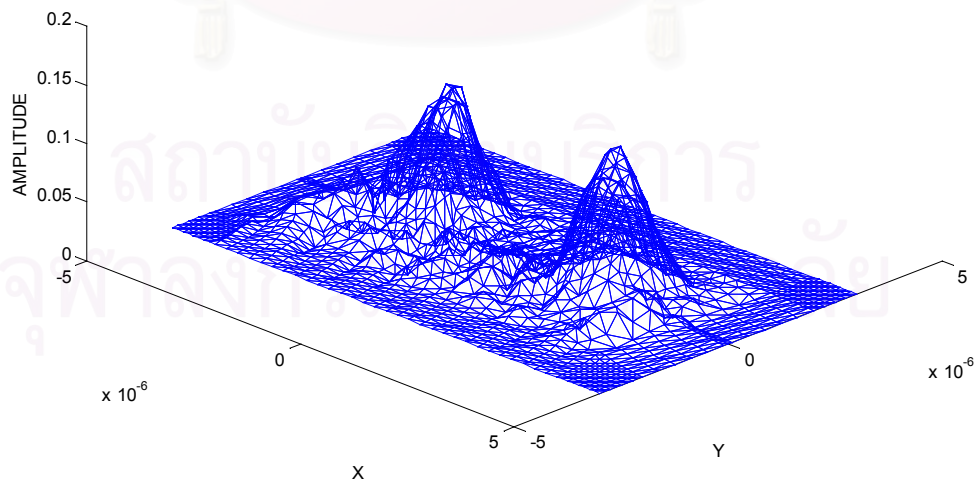


$z = 24\mu m$

รูปที่ 3.13 (ก)-(จ) สนามไฟฟ้าที่คำนวณด้วยอัลกอริทึมนิวมาร์กที่ระยะทาง  $z$  ต่างๆ

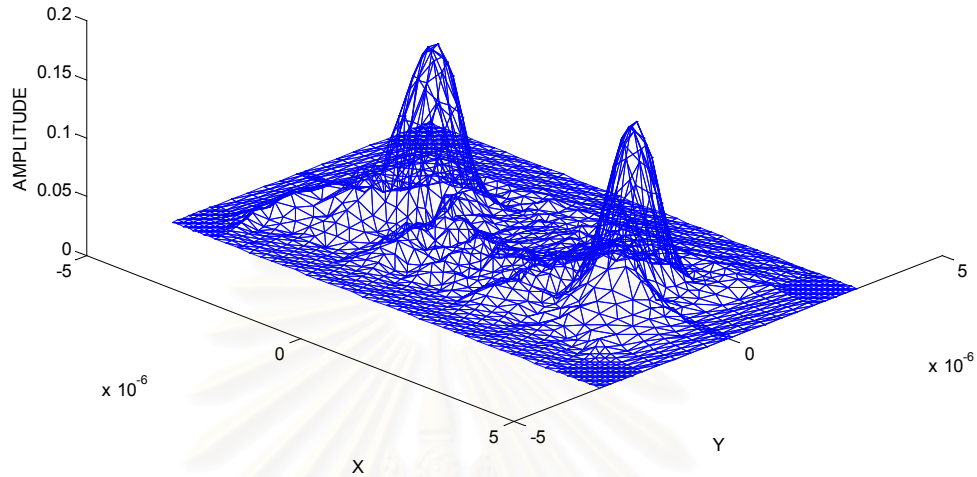


(ง)  $z = 32 \mu\text{m}$



(จ)  $z = 40 \mu\text{m}$

รูปที่ 3.13 (ก)-(จ) (ต่อ) สนามไฟฟ้าที่คำนวณด้วยอัลกอริทึมมินิมาร์กที่ระยะทาง  $z$  ต่างๆ



รูปที่ 3.14 สนามไฟฟ้าที่ระยะ  $z = 40 \mu m$  คำนวณด้วยอัลกอริทึมปาด

### 3.4 วิธีไฟไนต์อีลีเมนต์ปิมพรอพากะชันอัลกอริทึมนิวมาร์กสำหรับตัวกลางแอนไอโซทรอปิก

การพิจารณาที่นำคลื่นทั้งสามแบบในเบื้องต้นเป็นการคำนวณในวัสดุไอโซทรอปิกในหัวข้อนี้เราจะวิเคราะห์การแพร่กระจายของสนามในท่อนำคลื่นแสงที่เป็นวัสดุแอนไอโซทรอปิก โดยใช้การประมาณสมการสเกลาร์ (Koshiba, Hayata, and Suzuki, 1984) ดังนี้ (รายละเอียดในภาคผนวก จ)

$$\frac{\partial^2 E_x}{\partial z^2} + \frac{\epsilon_{xx}}{\epsilon_{zz}} \frac{\partial}{\partial x} \left( \frac{\partial E_x}{\partial x} \right) + \frac{\partial}{\partial y} \left( \frac{\partial E_x}{\partial y} \right) + k_0^2 \left( \epsilon_{xx} - \epsilon_{xy} \frac{\sigma_2}{\sigma_1} - \epsilon_{xz} \frac{\sigma_3}{\sigma_1} \right) E_x - j\omega\mu_0 \frac{\sigma_4}{\sigma_1} \frac{\partial H_x}{\partial z} + j\omega\mu_0 \frac{\sigma_5}{\sigma_1} \frac{\partial H_x}{\partial y} = 0 \quad (3.23)$$

$$\frac{\epsilon_{zz}}{\sigma_1} \frac{\partial^2 H_x}{\partial z^2} + \frac{\epsilon_{zz}}{\sigma_1} \frac{\partial}{\partial x} \left( \frac{\partial H_x}{\partial x} \right) + \frac{\partial}{\partial y} \left( \frac{\epsilon_{yy}}{\sigma_1} \frac{\partial H_x}{\partial y} + \frac{\epsilon_{zy}}{\sigma_1} \frac{\partial H_x}{\partial z} + j\omega\epsilon_0 \frac{\sigma_3}{\sigma_1} E_x \right) + k_0^2 H_x + \frac{\epsilon_{yz}}{\sigma_1} \frac{\partial}{\partial z} \left( \frac{\partial H_x}{\partial y} \right) - j\omega\epsilon_0 \frac{\sigma_2}{\sigma_1} \frac{\partial E_x}{\partial z} = 0 \quad (3.24)$$

โดยที่

$$\sigma_1 = \epsilon_{yy}\epsilon_{zz} - \epsilon_{yz}\epsilon_{zy} \quad (3.25a)$$

$$\sigma_2 = \epsilon_{yx}\epsilon_{zz} - \epsilon_{zx}\epsilon_{yz} \quad (3.25b)$$

$$\sigma_3 = \epsilon_{zx}\epsilon_{yy} - \epsilon_{yx}\epsilon_{zy} \quad (3.25c)$$

$$\sigma_4 = \epsilon_{xy}\epsilon_{zz} - \epsilon_{xz}\epsilon_{zy} \quad (3.25d)$$

$$\sigma_5 = \epsilon_{xz}\epsilon_{yy} - \epsilon_{xy}\epsilon_{yz} \quad (3.25e)$$

ให้คำตอบของสมการอยู่ในรูปดังนี้

$$E_x = \phi(x, y, z)\exp(-jk_0n_0z) \quad (3.26a)$$

$$\sqrt{\mu_0/\epsilon_0}H_x = \psi(x, y, z)\exp(-jk_0n_0z) \quad (3.26b)$$

ในที่นี้  $E_x$  และ  $H_x$  เป็นสนามไฟฟ้าและสนามแม่เหล็กในทิศทาง  $x$  ตามลำดับ  $\phi$  เป็นฟังก์ชันขนาดของสนามไฟฟ้า และ  $\psi$  เป็นฟังก์ชันขนาดของสนามแม่เหล็ก,  $n_0$  คือดัชนีหักเหอ้างอิง,  $k_0$  คือเลขคลื่นในอวกาศว่าง พิจารณาสมการ (3.23) และ (3.24) เพื่อให้สภาพยอมไฟฟ้าสัมพัทธ์  $\epsilon_{ij}$  มีการเปลี่ยนแปลงในทิศทางแพร่กระจายน้อยมากกล่าวคือ  $\frac{\partial \epsilon_{ij}}{\partial z} \approx 0$  นอกจากนั้นพิจารณาสภาพยอมไฟฟ้าที่ไม่ใช่ในแนวแท่งมุมให้มีค่าน้อยมากเมื่อคูณกับเทอมที่มีการเปลี่ยนแปลงสนามเมื่อเทียบกับแกนการแพร่กระจายหรือ  $\epsilon_{ij} \frac{\partial \phi}{\partial z} \approx 0$  และ  $\epsilon_{ij} \frac{\partial \psi}{\partial z} \approx 0$  เมื่อใช้การประมาณทั้งสองรวมทั้งแทนคำตอบของสนามสมการ (3.25) ลงในสมการ (3.23) และ (3.24) สามารถจัดรูปสมการได้ดังนี้

$$\begin{aligned} \frac{\partial^2 \phi}{\partial z^2} - 2jk_0n_0 \frac{\partial \phi}{\partial z} + k_0^2 \left( \epsilon_{xx} - \epsilon_{xy} \frac{\sigma_2}{\sigma_1} - \epsilon_{xz} \frac{\sigma_3}{\sigma_2} - n_0^2 \right) \phi + \frac{\epsilon_{xx}}{\epsilon_{zz}} \frac{\partial}{\partial x} \left( \frac{\partial \phi}{\partial x} \right) \\ + \frac{\partial}{\partial y} \left( \frac{\partial \phi}{\partial y} \right) + jk_0 \frac{\sigma_5}{\sigma_1} \frac{\partial \psi}{\partial y} - k_0^2 n_0 \frac{\sigma_4}{\sigma_1} \psi = 0 \end{aligned} \quad (3.27)$$

$$\begin{aligned} \frac{\epsilon_{zz}}{\sigma_1} \frac{\partial^2 \psi}{\partial z^2} - 2jk_0n_0 \frac{\epsilon_{zz}}{\sigma_1} \frac{\partial \psi}{\partial z} + k_0^2 \left( 1 - \frac{\epsilon_{zz}n_0^2}{\sigma_1} \right) \psi + \frac{\epsilon_{zz}}{\sigma_1} \frac{\partial}{\partial x} \left( \frac{\partial \psi}{\partial x} \right) - jk_0n_0 \frac{\epsilon_{yz}}{\sigma_1} \frac{\partial \psi}{\partial y} \\ + \frac{\partial}{\partial y} \left( \frac{\epsilon_{yy}}{\sigma_1} \frac{\partial \psi}{\partial y} - jk_0n_0 \frac{\epsilon_{zy}}{\sigma_1} \psi + jk_0 \frac{\sigma_3}{\sigma_1} \phi \right) - k_0^2 n_0 \frac{\sigma_2}{\sigma_1} \phi = 0 \end{aligned} \quad (3.28)$$

ใช้วิธีไฟไนต์อีลีเมนต์มาประมาณฟังก์ชันบนระนาบตัดขวาง  $xy$  โดยใช้ฟังก์ชันฐานตามสมการ (3.5) และ ถ้าใช้เงื่อนไขขอบเขตแบบโปร่งใสแล้วก็จะสามารถจัดรูปสมการได้ดังนี้

$$[M_{\phi\phi}] \frac{d^2\{\phi\}}{dz^2} - 2jk_0 n_0 [M_{\phi\phi}] \frac{d\{\phi\}}{dz} + ([\tilde{K}_{\phi\phi}] - k_0^2 n_0^2 [M_{\phi\phi}]) \{\phi\} + [K_{\phi\psi}] \{\psi\} = \{0\} \quad (3.29)$$

$$[M_{\psi\psi}] \frac{d^2\{\psi\}}{dz^2} - 2jk_0 n_0 [M_{\psi\psi}] \frac{d\{\psi\}}{dz} + ([\tilde{K}_{\psi\psi}] - k_0^2 n_0^2 [M_{\psi\psi}]) \{\psi\} + [\tilde{K}_{\psi\phi}] \{\phi\} = \{0\} \quad (3.30)$$

โดยที่  $[\tilde{K}_{\phi\phi}] = [K_{\phi\phi}] + [K_{\phi\phi}]_{\Gamma} \quad (3.31a)$

$$[\tilde{K}_{\psi\psi}] = [K_{\psi\psi}] + [K_{\psi\psi}]_{\Gamma} \quad (3.31b)$$

$$[\tilde{K}_{\psi\phi}] = [K_{\psi\phi}] + [K_{\psi\phi}]_{\Gamma} \quad (3.31c)$$

$[K_{\phi\phi}]_{\Gamma}, [K_{\psi\psi}]_{\Gamma}, [K_{\psi\phi}]_{\Gamma}$  เป็นเทอมที่ได้จากการคำนวณด้วยเงื่อนไขขอบเขตแบบโปร่งใส

$$[K_{\phi\phi}] = \sum_e \iint_e \left[ k_0^2 \left( \varepsilon_{xx} - \varepsilon_{xy} \frac{\sigma_2}{\sigma_1} - \varepsilon_{xz} \frac{\sigma_3}{\sigma_1} \right) \{N\} \{N\}^T - \frac{\varepsilon_{xx}}{\varepsilon_{zz}} \{N_x\} \{N_x\}^T - \{N_y\} \{N_y\}^T \right] dx dy \quad (3.32)$$

$$[K_{\psi\psi}] = \sum_e \iint_e \left[ k_0^2 \{N\} \{N\}^T - \frac{\varepsilon_{zz}}{\sigma_1} \{N_x\} \{N_x\}^T - \frac{\varepsilon_{yy}}{\sigma_1} \{N_y\} \{N_y\}^T - jk_0 n_0 \left( \frac{\varepsilon_{yz}}{\sigma_1} \{N\} \{N_y\}^T - \frac{\varepsilon_{zy}}{\sigma_1} \{N_y\} \{N\}^T \right) \right] dx dy \quad (3.33)$$

$$[K_{\phi\psi}] = \sum_e \iint_e \left[ -k_0^2 n_0 \frac{\sigma_4}{\sigma_1} \{N\} \{N\}^T + jk_0 \frac{\sigma_5}{\sigma_1} \{N\} \{N\}^T \right] dx dy \quad (3.34)$$

$$[K_{\psi\phi}] = \sum_e \iint_e \left[ -k_0^2 n_0 \frac{\sigma_2}{\sigma_1} \{N\} \{N\}^T - jk_0 \frac{\sigma_3}{\sigma_1} \{N_y\} \{N\}^T \right] dx dy \quad (3.35)$$

$$[M_{\phi\phi}] = \sum_e \iint_e \{N\} \{N\}^T dx dy \quad (3.36)$$

$$[M_{\psi\psi}] = \sum_e \iint_e \frac{\varepsilon_{zz}}{\sigma_1} \{N\} \{N\}^T dx dy \quad (3.37)$$

$$[K_{\phi\phi}]_{\Gamma} = \sum_e \int_{\Gamma} -j \left( \frac{\varepsilon_{xx}}{\varepsilon_{zz}} k_{\phi} n_x + k_{\phi} n_y \right) \{N\}_{\Gamma} \{N\}_{\Gamma}^T ds \quad (3.38)$$

$$[K_{\psi\psi}]_{\Gamma} = \sum_e \int_{\Gamma} -j \frac{\varepsilon_{zz} k_{\psi} n_x + (\varepsilon_{yy} k_{\psi} + \varepsilon_{zy} k_0 n_0) n_y}{\sigma_1} \{N\}_{\Gamma} \{N\}_{\Gamma}^T ds \quad (3.39)$$

$$[K_{\psi\phi}]_{\Gamma} = \sum_e \int_{\Gamma} j \frac{\sigma_3}{\sigma_1} k_0 n_y \{N\}_{\Gamma} \{N\}_{\Gamma}^T ds \quad (3.40)$$

โดยที่  $\{N_x\} = \frac{\partial \{N\}}{\partial x}$ ,  $\{N_y\} = \frac{\partial \{N\}}{\partial y}$  ในขณะที่  $\{N\}_{\Gamma}$  คือฟังก์ชันฐานหนึ่งมิติ

$n_x, n_y$  คือเวกเตอร์ทิศทางตั้งฉากกับทิศ  $x, y$  ตามลำดับ,  $k_{\phi}, k_{\psi}$  คือสัมประสิทธิ์ TBC ของสนามไฟฟ้าและสนามแม่เหล็กตามลำดับ เขียนรวมสมการ (3.29) และ (3.30) รวมเข้าด้วยกันได้เป็น

$$[M] \frac{d^2 \{X\}}{dz^2} - 2jk_0 n_0 [M] \frac{d\{X\}}{dz} + ([K] - k_0^2 n_0^2 [M]) \{X\} = \{0\} \quad (3.41)$$

$$\text{โดยที่ } \{X\} = \begin{bmatrix} \{\phi\} \\ \{\psi\} \end{bmatrix}, [K] = \begin{bmatrix} [\tilde{K}_{\phi\phi}] & [K_{\phi\psi}] \\ [\tilde{K}_{\psi\phi}] & [\tilde{K}_{\psi\psi}] \end{bmatrix}, [M] = \begin{bmatrix} [M_{\phi\phi}] & 0 \\ 0 & [M_{\psi\psi}] \end{bmatrix}$$

จากสมการ (3.41) ใช้อัลกอริทึมนิวมาร์กมาแก้ไขปัญหาในแนวแกนแก้สมการอนุพันธ์อันดับสองได้ผลเป็น

$$[A] \{X\}_{i+1} = [B] \{X\}_i + [C] \{X\}_{i-1} \quad (3.42)$$

โดยที่

$$[A] = [M] - 2jk_0 n_0 [M] \gamma \Delta z + ([K] - k_0^2 n_0^2 [M]) \beta \Delta z^2 \quad (3.43a)$$

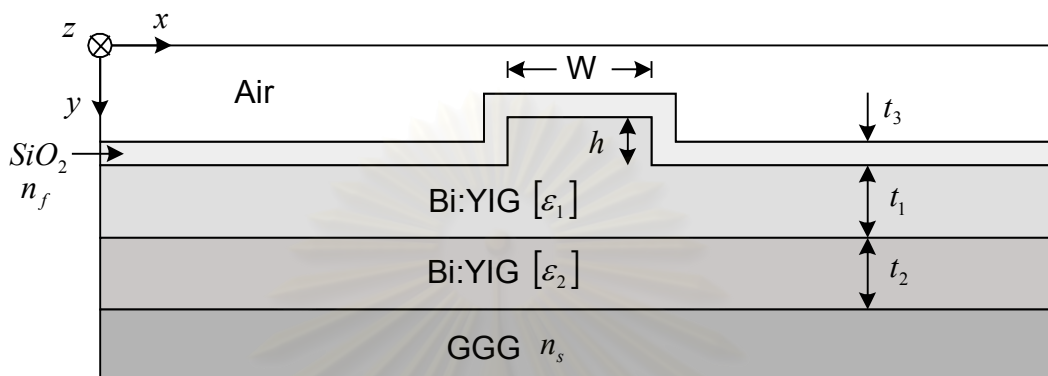
$$[B] = 2[M] + 2jk_0 n_0 [M] (1 - 2\gamma) \Delta z - ([K] - k_0^2 n_0^2 [M]) (0.5 + \gamma - 2\beta) \Delta z^2 \quad (3.43b)$$

$$[C] = -[M] + 2jk_0 n_0 [M] (-1 + \gamma) \Delta z - ([K] - k_0^2 n_0^2 [M]) (0.5 - \gamma + \beta) \Delta z^2 \quad (3.43c)$$

### 3.5 การคำนวณในกรณีตัวอย่างในวัสดุแอนไอโซทรอปิก

### 3.5.1 ท่อนำคลื่นแสงตัวแยกโดดเดี่ยวแบบแมกนีโตออปติก

พิจารณาท่อนำคลื่นแสงตัวแยกโดดเดี่ยวแบบแมกนีโตออปติกดังที่เสนอในงานวิจัย (Tsuji, Koshiba, and Takimoto, 1999) ที่มีหน้าตัดขวางดังรูปที่ 3.15



รูปที่ 3.15 ท่อนำคลื่นแสงตัวแยกโดดเดี่ยวแบบแมกนีโตออปติก

ค่าพารามิเตอร์ของท่อนำคลื่นแสงในรูปที่ 3.15 มีดังนี้  $n_f = 1.444$ ,  $n_s = 1.94$ ,  $t_1 = 3.1 \mu\text{m}$ ,  $t_2 = 3.4 \mu\text{m}$ ,  $t_3 = 0.12 \mu\text{m}$ ,  $W = 8.0 \mu\text{m}$ ,  $h = 0.5 \mu\text{m}$  ความยาวคลื่นที่ใช้เป็น  $\lambda = 1.485 \mu\text{m}$ , หน้าตัดการคำนวณเป็น  $(50 \mu\text{m} \times 11 \mu\text{m})$ , เลือกระยะการแพร่กระจาย  $\Delta z = 0.5 \mu\text{m}$  เลือกดัชนีหักเหอ้างอิง  $n_0 = 2.18$  และค่าสภาพยอมไฟฟ้าสัมพัทธ์  $[\epsilon_1]$  และ  $[\epsilon_2]$  แสดงเป็นเทนเซอร์ดังนี้

$$[\epsilon_1] = \begin{bmatrix} 2.19^2 & j\delta_1 & 0 \\ -j\delta_1 & 2.19^2 & 0 \\ 0 & 0 & 2.19^2 \end{bmatrix} \quad [\epsilon_2] = \begin{bmatrix} 2.18^2 & j\delta_2 & 0 \\ -j\delta_2 & 2.18^2 & 0 \\ 0 & 0 & 2.18^2 \end{bmatrix}$$

โดยค่า  $\delta$  (Erdmann and Hertel, 1995) หาได้จากสมการ

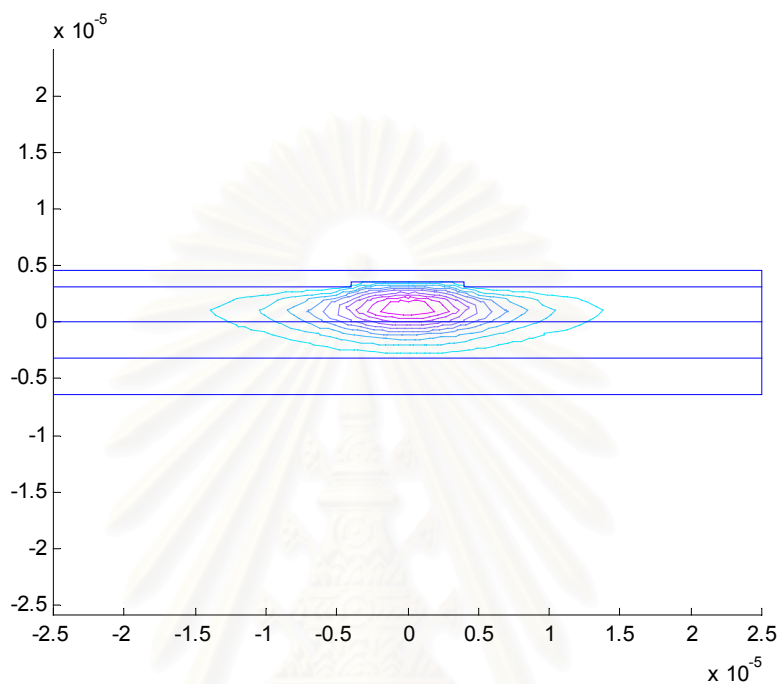
$$\delta = \frac{n\lambda\theta_F}{\pi} \quad (3.44)$$

$n$  คือดัชนีหักเหของท่อนำคลื่นแสง

$\lambda$  คือความยาวคลื่นแสง

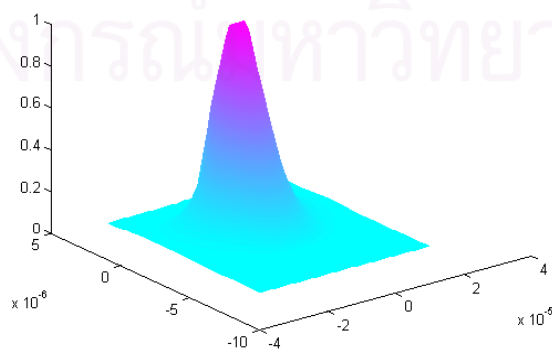
$\theta_F$  คือการหมุนของฟาราเดย์

ในที่นี้ให้  $\theta_F$  เท่ากับ  $133^\circ/cm$  ดังนั้นค่า  $\delta_1$  เท่ากับ  $2.4 \times 10^{-4}$  และ  $\delta_2$  เท่ากับ  $2.39 \times 10^{-4}$  ป้อนสนามไฟฟ้าอินพุตโหมด  $TE_{11}^y$  โหมดโดยคำนวณจากวิธีไฟไนต์อีลีเมนต์ที่ให้  $\delta = 0$  ดังรูปที่ 3.16



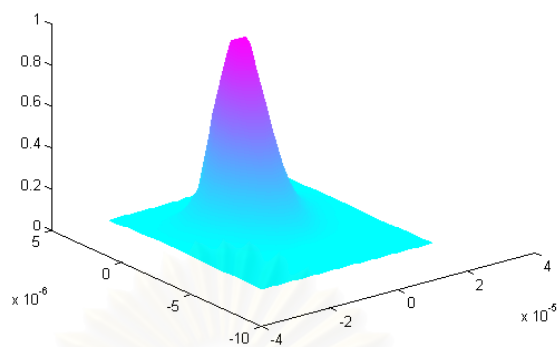
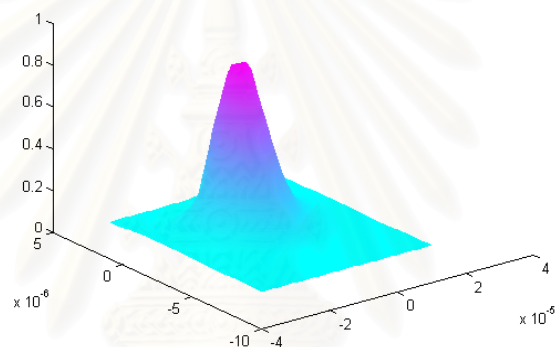
รูปที่ 3.16 สนามไฟฟ้าอินพุตโหมด  $TE_{11}^y$  ที่  $\delta = 0$

คำนวณสนามโดยใช้สมการ BPM และ อัลกอริทึมนิวมาร์กโดยพิจารณาหาระยะที่สนามไฟฟ้าเปลี่ยนเป็นสนามแม่เหล็กมากที่สุด(mode conversion) โดยพิจารณาสนามไฟฟ้าและสนามแม่เหล็กเป็นระยะๆตั้งแต่  $1000 \mu m$  จนถึง  $7000 \mu m$  วิเคราะห์โดยใช้เงื่อนไขขอบเขตแบบโปร่งใส ได้ผลดังรูปที่ 3.17 และ 3.18



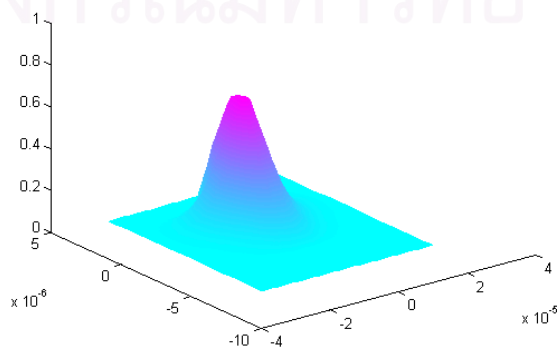
(ก)  $E_x$   $z = 1000 \mu m$



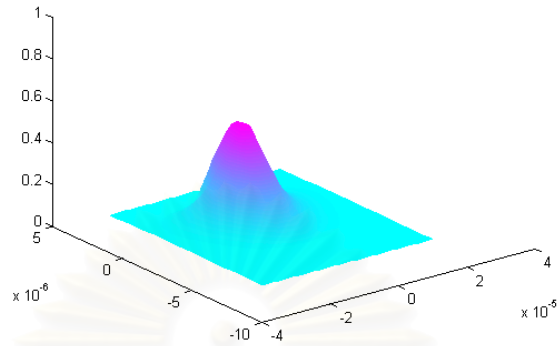
(ข)  $E_x$   $z = 2000 \mu m$ (ค)  $E_x$   $z = 3000 \mu m$ 

รูปที่ 3.17(ก)-(ข) สนามไฟฟ้าในท่อนำคลื่นแสงตัวแยกโดดเดี่ยวแมกนีโตออปติกคำนวณด้วยอัลกอริทึมนิวมาร์กโดยใช้เงื่อนไขขอบเขตแบบโปร่งใสที่ระยะทางต่างๆ

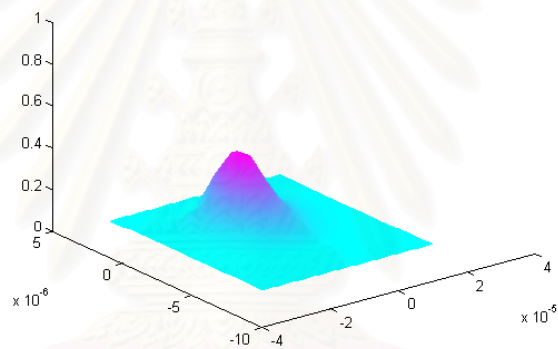
สถาบันวิทยบริการ  
จุฬาลงกรณ์มหาวิทยาลัย



$$(ง) E_x \text{ } z = 4000 \mu\text{m}$$



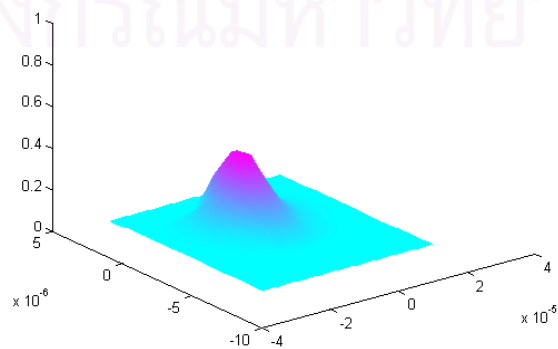
$$(จ) E_x \text{ } z = 5000 \mu\text{m}$$



$$(ฉ) E_x \text{ } z = 6000 \mu\text{m}$$

รูปที่ 3.17(ก)-(ข) (ต่อ) สนามไฟฟ้าในท่อนำคลื่นแสงตัวแยกโดดเดี่ยวแมกนีโตออปติกคำนวณด้วยอัลกอริทึมนิวมาร์กโดยใช้เงื่อนไขขอบเขตแบบไปรงส์ไสที่ระยะทางต่างๆ

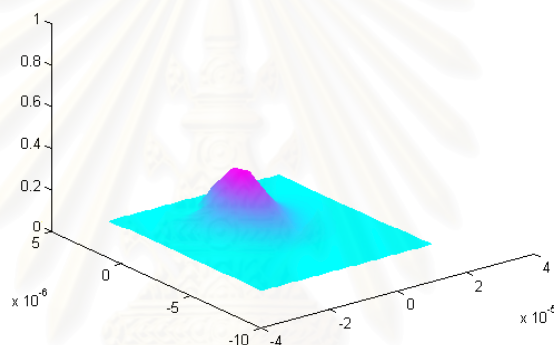
สถาบันวิทยบริการ  
จุฬาลงกรณ์มหาวิทยาลัย



$$(ช) E_x \text{ } z = 7000 \mu\text{m}$$

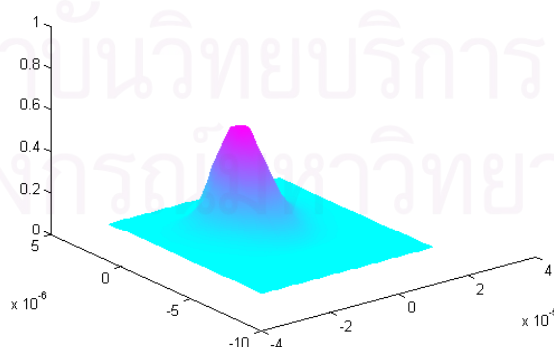
รูปที่ 3.17(ก)-(ข) (ต่อ) สนามไฟฟ้าในท่อนำคลื่นแสงตัวแยกโดดเดี่ยวแมกนีโตออปติกคำนวณด้วยอัลกอริทึมนิวมาร์กโดยใช้เงื่อนไขขอบเขตแบบโปร่งใสที่ระยะทางต่างๆ

จากรูปที่ 3.17 พบว่าสนามไฟฟ้าค่อยๆ ลดลงและเปลี่ยนแปลงพลังงานกลายเป็นสนามแม่เหล็กในขณะทีรูปที่ 3.18 สนามแม่เหล็กได้รับการถ่ายโอนพลังงานจากสนามไฟฟ้าเพิ่มขึ้นตามระยะทาง จากผลการคำนวณพบว่าอัลกอริทึมนิวมาร์กสามารถคำนวณสนามออกมาได้ดีแม้จะใช้งานร่วมกับเงื่อนไขขอบเขตแบบโปร่งใสทั้งนี้เนื่องมาจากขอบหน้าต่างการคำนวณมีขนาดใหญ่ทำให้คลื่นที่แพร่กระจายไปที่ขอบหน้าต่างมีค่าน้อยทำให้การหาค่าสัมประสิทธิ์ TBC มีค่าถูกต้องแม้ระยะทาง  $\Delta z$  มีค่ามากเพราะสนามที่ระนาบ  $i, i-1, i+1$  ที่ขอบหน้าต่างมีค่าต่างกันไม่มาก

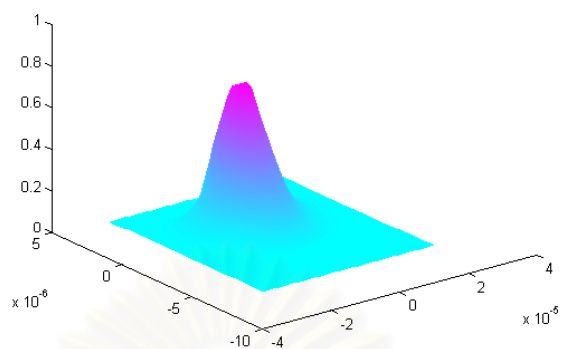
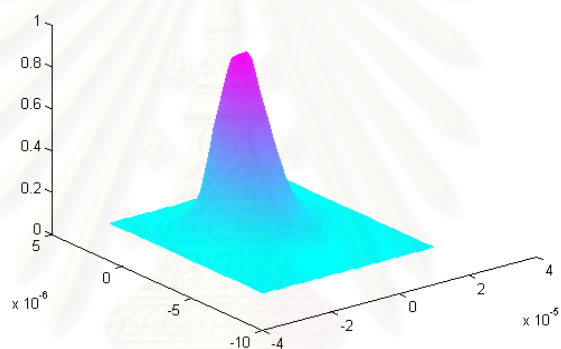


(ก)  $H_x, z = 1000 \mu\text{m}$

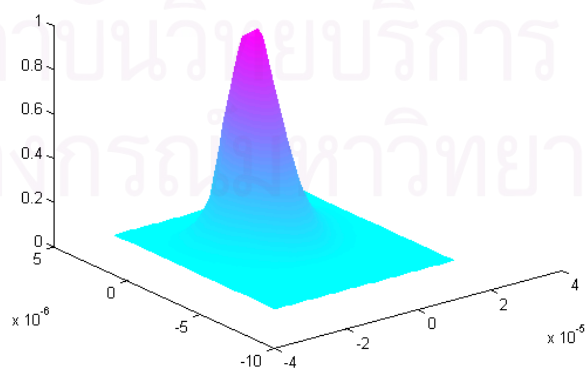
รูปที่ 3.18(ก)-(ข) สนามแม่เหล็กในท่อนำคลื่นแสงตัวแยกโดดเดี่ยวแมกนีโตออปติกคำนวณด้วยอัลกอริทึมนิวมาร์กโดยใช้เงื่อนไขขอบเขตแบบโปร่งใสที่ระยะทางต่างๆ

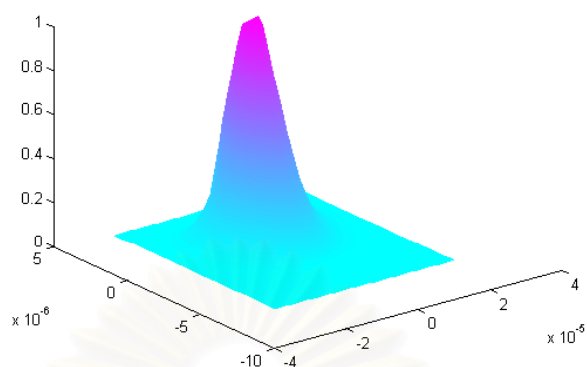
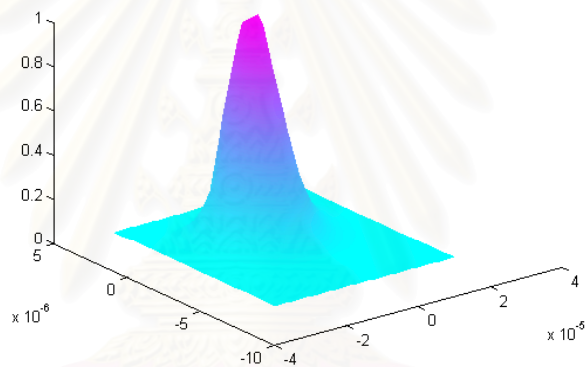


(ข)  $H_x, z = 2000 \mu\text{m}$

(ค)  $H_x z = 3000 \mu m$ (ง)  $H_x z = 4000 \mu m$ 

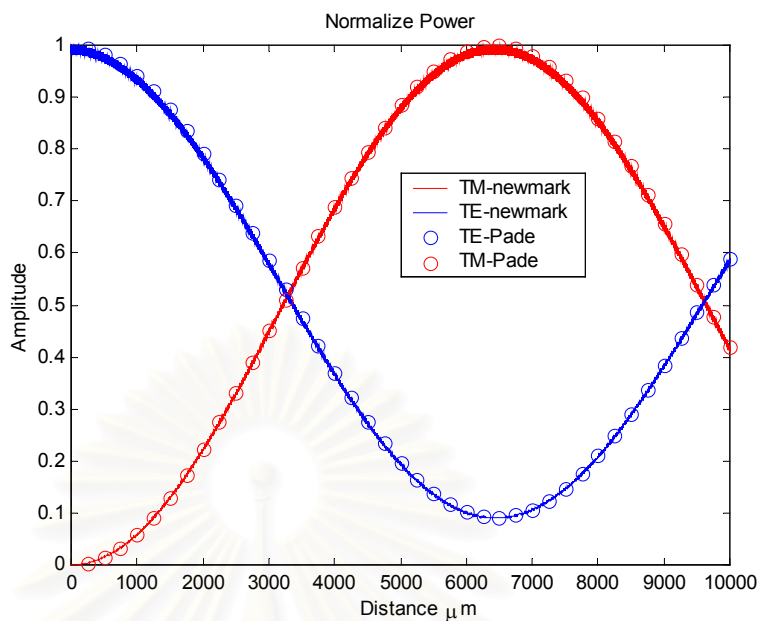
รูปที่ 3.18(ก)-(ข) (ต่อ) สนามแม่เหล็กในท่อนำคลื่นแสงตัวแยกโดดเดี่ยวแมกนีโตออปติกคำนวณด้วยอัลกอริทึม  
นิวมาร์กโดยใช้เงื่อนไขขอบเขตแบบโปร่งใสที่ระยะทางต่างๆ

(จ)  $H_x z = 5000 \mu m$

(ฉ)  $H_x$   $z = 6000 \mu m$ (ช)  $H_x$   $z = 7000 \mu m$ 

รูปที่ 3.18(ก)-(ช) (ต่อ) สนามแม่เหล็กในท่อนำคลื่นแสงตัวแยกโดดเดี่ยวแมกนีโตออปติกคำนวณด้วยอัลกอริทึม  
นิวมาร์กโดยใช้เงื่อนไขขอบเขตแบบโปร่งใสที่ระยะทางต่างๆ

สถาบันวิทยบริการ  
จุฬาลงกรณ์มหาวิทยาลัย



รูปที่ 3.19 การเปรียบเทียบพลังงานในท่อนำคลื่นแสงระหว่างการคำนวณด้วยอัลกอริทึมปาเดกับอัลกอริทึมนิวมาร์คโดยใช้เงื่อนไขขอบเขตแบบโปร่งใส

รูปที่ 3.19 เป็นการเปรียบเทียบพลังงานของสนามไฟฟ้าและสนามแม่เหล็กในแกนของท่อนำคลื่นแสงระหว่างการใช้อัลกอริทึมแบบนิวมาร์คและอัลกอริทึมแบบปาเดพบว่าพลังงานที่คำนวณได้ในทั้งสองวิธีการมีค่าสอดคล้องกัน นอกจากนี้พลังงานที่คำนวณได้ด้วยอัลกอริทึมแบบนิวมาร์คยังมีการกระเพื่อมสั้นเช่นเดียวกับตอนคำนวณในท่อนำคลื่นไอโซทรอปิกทั้ง 2 มิติและ 3 มิติ

### 3.6 สรุป

ในบทนี้เรานำอัลกอริทึมแบบนิวมาร์คมาคำนวณในท่อนำคลื่นแสงแบบ 3 มิติ โดยทดสอบความแม่นยำโดยการหาค่าความถี่ของโหมดในท่อนำคลื่นแสงแบบคู่ควบ ผลการคำนวณปรากฏว่ามีความแม่นยำสูง เมื่อทดสอบค่าพารามิเตอร์นิวมาร์คที่เหมาะสมกับท่อนำคลื่นแสง 3 มิติแล้ว พบว่าค่า  $\gamma = 0.5$  และค่า  $\beta = 0.5$  เป็นค่าที่เหมาะสม การพิจารณาเงื่อนไขขอบเขตกับอัลกอริทึมนิวมาร์ค ผลที่ได้ปรากฏว่า เงื่อนไขขอบเขตแบบ PML มีความเหมาะสมกับอัลกอริทึมนิวมาร์คมากกว่าเงื่อนไขขอบเขตแบบโปร่งใส หลังจากนั้นทดลองทำการคำนวณบนท่อนำคลื่นแสงแบบมุมกว้าง ผลการคำนวณพบว่าอัลกอริทึมนิวมาร์คสามารถใช้คำนวณในปัญหามุมกว้างได้ ในตอนท้ายทำการคำนวณบนท่อนำคลื่นแสงวัสดุแอนไอโซทรอปิกพบว่าอัลกอริทึมนิวมาร์คสามารถใช้ในการคำนวณบนท่อนำคลื่นแสงวัสดุแอนไอโซทรอปิกได้

## บทที่ 4

### วิธีไฟไนต์อีลีเมนต์ปริมาตรของพลาสมาในอวกาศ ในรูปแบบการเวกเตอร์

#### 4.1 ความนำ

ใน 2 บทที่แล้วได้เสนอวิธีวิเคราะห์สนามด้วยสมการสเกลาร์ ในขณะที่ในบทนี้จะเสนอวิธีวิเคราะห์ด้วยสมการเวกเตอร์โดยใช้ฟังก์ชันปริมาตรเช่นเดียวกัน สมการเวกเตอร์สามารถแบ่งออกได้เป็น 2 แบบ คือ สมการเวกเตอร์ที่มีฟังก์ชันฐานเป็นแบบโนด และ สมการเวกเตอร์ที่มีฟังก์ชันฐานแบบขอบ (edge element) ฟังก์ชันฐานแบบโนดมีข้อจำกัดคือคำตอบที่ได้มีส่วนที่เป็นผลเฉลยปลอมเทียม อันเกิดจากความหนาแน่นของฟังก์ชันไม่เป็นไปตามกฎของเกาส์ ในขณะที่ฟังก์ชันฐานแบบขอบสอดคล้องกับกฎของเกาส์ นอกจากนั้นยังทำให้สนามมีความต่อเนื่องในแนวสัมผัส และยังสามารถวิเคราะห์ในท่อนำคลื่นแสงที่มีมุมหรือเหลี่ยมได้ดีโดยไม่เกิดสถานะเอกฐาน จากข้อดีนี้เองในวิทยานิพนธ์นี้เลือกฟังก์ชันฐานแบบขอบในการวิเคราะห์สนาม สูตรการคำนวณในวิธีไฟไนต์อีลีเมนต์สามารถแบ่งออกได้เป็นสองสูตร คือ แบบนิพจน์แปรผัน กับ แบบกาลิเลอคิด โดยสูตรแบบนิพจน์แปรผันสามารถใช้ได้กับวัสดุที่ค่าเทนเซอร์สภาพยอมเป็นเมทริกซ์เฮอร์มิตเตียน เท่านั้น ในขณะที่สูตรแบบกาลิเลอคิดสามารถใช้กับวัสดุทั่วไปได้ ในวิทยานิพนธ์นี้เลือกสูตรแบบกาลิเลอคิดมาใช้ในการคำนวณ เนื้อหาในบทนี้ประกอบด้วย หัวข้อ 4.2 จะกล่าวถึงสมการเวกเตอร์ปริมาตรของพลาสมา หัวข้อ 4.3 กล่าวถึง การพิจารณาเสถียรภาพของการคำนวณ หัวข้อ 4.4 เสนอผลการคำนวณในกรณีตัวอย่างในท่อนำคลื่นแสง 3 แบบ คือ ท่อนำคลื่นแสงแบบริบ, ท่อนำคลื่นแสงแบบริบรูปตัววาย และ ท่อนำคลื่นแสงแบบฝังในแผ่นฐาน นอกจากนั้นยังเสนอผลการคำนวณของใยแก้วนำแสงแบบ stress-birefringence และแบบ stress-birefringence ที่ได้รับแรงกดจากภายนอก การวิเคราะห์จะพิจารณาความถูกต้องของคำตอบในท่อนำคลื่นแสงแบบริบ, วิเคราะห์ในปัญหามุมกว้างในท่อนำคลื่นแสงรูปตัววาย, วิเคราะห์สนามในวัสดุแอนไอโซทรอปิกโดยพิจารณาในท่อนำคลื่นฝังในแผ่นฐาน วิเคราะห์สนามแม่เหล็กไฟฟ้าในใยแก้วนำแสงแบบ stress-birefringence วัสดุแอนไอโซทรอปิก และ วิเคราะห์สนามแม่เหล็กไฟฟ้าในใยแก้วนำแสงแบบ stress-birefringence ที่ได้รับแรงกดจากภายนอกทำให้กลายเป็นวัสดุแอนไอโซทรอปิกที่มีสภาพยอมไฟฟ้าที่มีสมาชิกนอกแนวทแยงมุม (off-diagonal)

## 4.2 สมการเวกเตอร์บีมพรอพาเกชัน

เริ่มการคำนวณโดยพิจารณาสมการคลื่นแบบเวกเตอร์ดังนี้

$$\nabla \times ([p] \nabla \times \vec{\Phi}) - k_0^2 [q] \vec{\Phi} = 0 \quad (4.1)$$

โดยใช้เงื่อนไขขอบเขตแบบPML (PML) ในการป้องกันการสะท้อนกลับของคลื่น แสดง ถ้า  $\vec{\Phi}$  เป็นเวกเตอร์ความเข้มสนามไฟฟ้าแล้ว

$$[p] = \begin{bmatrix} p_{xx} & p_{xy} & p_{xz} \\ p_{yx} & p_{yy} & p_{yz} \\ p_{zx} & p_{zy} & p_{zz} \end{bmatrix} \quad (4.2a)$$

$$[q] = \begin{bmatrix} q_{xx} & q_{xy} & q_{xz} \\ q_{yx} & q_{yy} & q_{yz} \\ q_{zx} & q_{zy} & q_{zz} \end{bmatrix} \quad (4.2b)$$

$$= \begin{bmatrix} \frac{s_y s_z}{s_x} & 0 & 0 \\ 0 & \frac{s_z s_x}{s_y} & 0 \\ 0 & 0 & \frac{s_x s_y}{s_z} \end{bmatrix}^{-1}$$

$$= \begin{bmatrix} \frac{s_y s_z}{s_x} \epsilon_{xx} & s_z \epsilon_{xy} & s_y \epsilon_{xz} \\ s_z \epsilon_{yx} & \frac{s_z s_x}{s_y} \epsilon_{yy} & s_x \epsilon_{yz} \\ s_y \epsilon_{zx} & s_x \epsilon_{zy} & \frac{s_x s_y}{s_z} \epsilon_{zz} \end{bmatrix}$$

ถ้า  $\vec{\Phi}$  เป็นเวกเตอร์ความเข้มสนามแม่เหล็กแล้ว

$$[p] = \begin{bmatrix} p_{xx} & p_{xy} & p_{xz} \\ p_{yx} & p_{yy} & p_{yz} \\ p_{zx} & p_{zy} & p_{zz} \end{bmatrix} \quad (4.2c)$$

$$[q] = \begin{bmatrix} q_{xx} & q_{xy} & q_{xz} \\ q_{yx} & q_{yy} & q_{yz} \\ q_{zx} & q_{zy} & q_{zz} \end{bmatrix} \quad (4.2d)$$

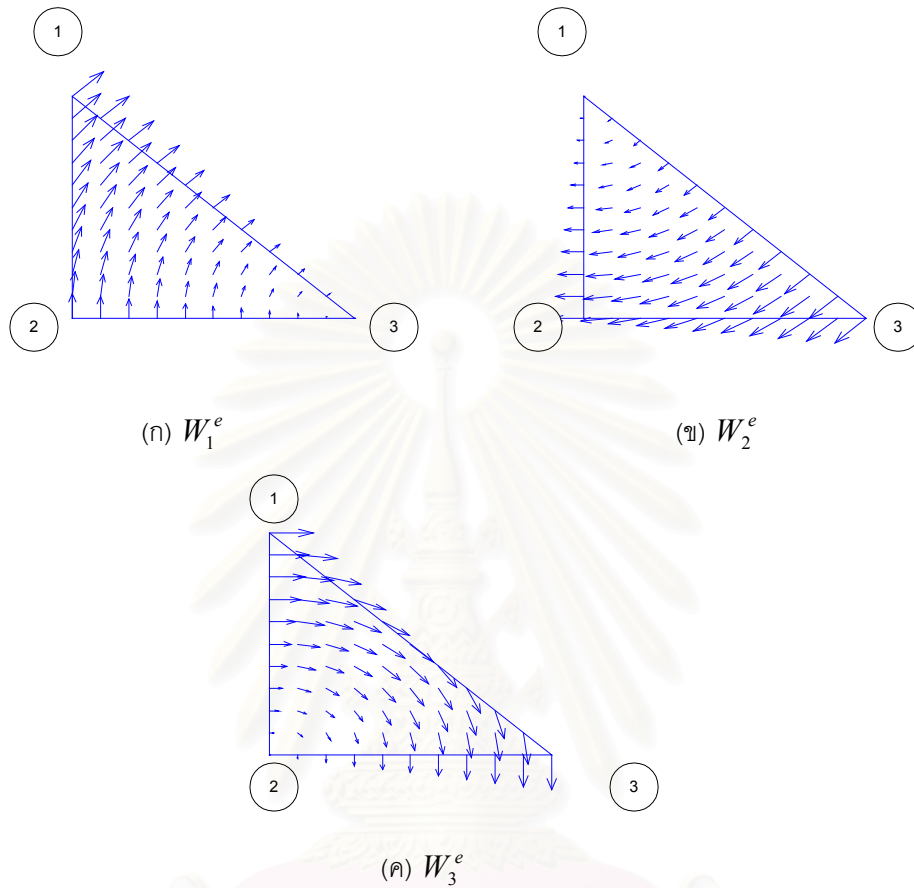
$$= \begin{bmatrix} \frac{s_y s_z}{s_x} \epsilon_{xx} & s_z \epsilon_{xy} & s_y \epsilon_{xz} \\ s_z \epsilon_{yx} & \frac{s_z s_x}{s_y} \epsilon_{yy} & s_x \epsilon_{yz} \\ s_y \epsilon_{zx} & s_x \epsilon_{zy} & \frac{s_x s_y}{s_z} \epsilon_{zz} \end{bmatrix}^{-1}$$

$$= \begin{bmatrix} \frac{s_y s_z}{s_x} & 0 & 0 \\ 0 & \frac{s_z s_x}{s_y} & 0 \\ 0 & 0 & \frac{s_x s_y}{s_z} \end{bmatrix}$$

ค่า  $s_x, s_y, s_z$  เป็นสัมประสิทธิ์ PML มีค่าขึ้นกับทิศทาง  $x, y$  และ ตำแหน่งมุม (ตามตารางที่ ง.2 ในภาคผนวก ง)



จากสมการ (๑.9) ในภาคผนวก ๑ นำวิธีไฟไนต์อีลีเมนต์มาแก้ปัญหาในระนาบตัดขวางใช้สูตรการคำนวณแบบกาลอยด์นโดยใช้ฟังก์ชันฐานแบบขอบ (Koshiba, Maruyama, and Hirayama, 1994) ดังรูปที่ (4.1) และฟังก์ชันในแนวแกนเป็นแบบโนดดังรูปที่ (3.1)



รูปที่ 4.1 ฟังก์ชันฐานแบบอีลีเมนต์ขอบคกที่ (ก)  $W_1^e$  (ข)  $W_2^e$  (ค)  $W_3^e$

เราจะเขียนให้คำตอบของเวกเตอร์  $\vec{\Phi}$  ดังนี้

$$\begin{aligned} \vec{\Phi}(x, y, z) &= \phi_x(x, y, z) \exp(-jk_0 n_0 z) \vec{a}_x \\ &+ \phi_y(x, y, z) \exp(-jk_0 n_0 z) \vec{a}_y \\ &+ \phi_z(x, y, z) \exp(-jk_0 n_0 z) \vec{a}_z \end{aligned} \quad (4.3)$$

ประมาณให้องค์ประกอบ  $\phi_i$  ( $i = x, y, z$ ) อยู่ในรูปของผลคูณของฟังก์ชันฐานแบบขอบและพาราเมเตอร์ไม่ทราบค่าดังนี้

$$\begin{Bmatrix} \phi_x \\ \phi_y \\ \phi_z \end{Bmatrix} = \begin{bmatrix} \{U\}^T \{\phi_i\} \\ \{V\}^T \{\phi_i\} \\ j\{N\}^T \{\phi_z\} \end{bmatrix} \quad (4.4)$$

$\{U\}, \{V\}$  เป็นฟังก์ชันรูปร่างดังนี้

$$\{U\} = \frac{1}{2A} \begin{bmatrix} l_1(y_3 - y) \\ l_2(y_1 - y) \\ l_3(y_2 - y) \end{bmatrix} \quad \{V\} = \frac{1}{2A} \begin{bmatrix} l_1(x - x_3) \\ l_2(x - x_1) \\ l_3(x - x_2) \end{bmatrix} \quad (4.5)$$

โดยที่  $x_i, y_i$  คือพิกัด  $x, y$  ของโนดที่  $i = 1, 2, 3$   $A$  คือขนาดพื้นที่ของอีลีเมนต์สามเหลี่ยม  $l_i$  คือความยาวของด้านที่  $i = 1, 2, 3$  และเป็นค่าที่กำหนดทิศทางของเวกเตอร์ให้วงในทิศทางที่เสริมกันโดยมีสูตรการหา ดังนี้

$$l_i = \begin{cases} \sqrt{b_k^2 + c_k^2} & \text{for } b_k < 0 \text{ or } b_k = 0, c_k > 0 \\ -\sqrt{b_k^2 + c_k^2} & \text{for } b_k > 0 \text{ or } b_k = 0, c_k < 0 \end{cases} \quad (4.6)$$

ในที่นี้  $i, j, k$  หมุนวนแบบ modulo 3 เมื่อแทนฟังก์ชันฐาน สมการ (4.4) ลงในสมการคลื่นแบบเวกเตอร์ สมการ (4.1) และหาผลคูณภายในตามระเบียบวิธีถ่วงน้ำหนักเศษตักค้างแบบกาลีเลอคินแล้วเราก็สามารถจัดรูปสมการได้ดังนี้

$$[M] \frac{d^2 \{\varphi\}}{dz^2} + ([L] - 2jk_0 n_0 [M]) \frac{d \{\varphi\}}{dz} + ([K] - jk_0 n_0 [L] - k_0^2 n_0^2 [M]) \{\varphi\} = \{0\} \quad (4.7)$$

โดยที่

$$\{\varphi\} = \begin{bmatrix} \{\varphi_i\} \\ \{\varphi_z\} \end{bmatrix} \quad (4.8a)$$

$$[M] = \begin{bmatrix} [M_{tt}] & 0 \\ 0 & 0 \end{bmatrix} \quad (4.8b)$$

$$[L] = \begin{bmatrix} [L_{tt}] & j[L_{tz}] \\ j[L_{zt}] & 0 \end{bmatrix} \quad (4.8c)$$

$$[K] = \begin{bmatrix} [K_{uu}] & j[K_{uz}] \\ -j[K_{zu}] & [K_{zz}] \end{bmatrix} \quad (4.8d)$$

$$[K_{uu}] = \sum_e \iint_e \left[ p_{zz} \frac{\partial \{U\}}{\partial y} \frac{\partial \{V\}^T}{\partial x} - p_{zz} \frac{\partial \{U\}}{\partial y} \frac{\partial \{U\}^T}{\partial y} + k_0^2 q_{xx} \{U\} \{U\}^T + k_0^2 q_{xy} \{U\} \{V\}^T \right. \\ \left. - p_{zz} \frac{\partial \{V\}}{\partial x} \frac{\partial \{V\}^T}{\partial x} + p_{zz} \frac{\partial \{V\}}{\partial x} \frac{\partial \{U\}^T}{\partial y} + k_0^2 q_{yx} \{V\} \{U\}^T + k_0^2 q_{yy} \{V\} \{V\}^T \right] dx dy \quad (4.8e)$$

$$[K_{uz}] = \sum_e \iint_e \left[ p_{zx} \frac{\partial \{U\}}{\partial y} \frac{\partial \{N\}^T}{\partial y} - p_{zy} \frac{\partial \{U\}}{\partial y} \frac{\partial \{N\}^T}{\partial x} - p_{zx} \frac{\partial \{V\}}{\partial x} \frac{\partial \{N\}^T}{\partial y} + p_{zy} \frac{\partial \{V\}}{\partial x} \frac{\partial \{N\}^T}{\partial x} \right. \\ \left. + k_0^2 q_{xz} \{U\} \{N\}^T + k_0^2 q_{yz} \{V\} \{N\}^T \right] dx dy \quad (4.8f)$$

$$[K_{zu}] = \sum_e \iint_e \left[ p_{zx} \frac{\partial \{N\}}{\partial y} \frac{\partial \{U\}^T}{\partial y} - p_{zy} \frac{\partial \{N\}}{\partial x} \frac{\partial \{U\}^T}{\partial y} - p_{zx} \frac{\partial \{N\}}{\partial y} \frac{\partial \{V\}^T}{\partial x} + p_{zy} \frac{\partial \{N\}}{\partial x} \frac{\partial \{V\}^T}{\partial x} \right. \\ \left. + k_0^2 q_{xz} \{N\} \{U\}^T + k_0^2 q_{yz} \{N\} \{V\}^T \right] dx dy \quad (4.8g)$$

$$[K_{zz}] = \sum_e \iint_e \left[ p_{yx} \frac{\partial \{N\}}{\partial x} \frac{\partial \{N\}^T}{\partial y} - p_{yy} \frac{\partial \{N\}}{\partial x} \frac{\partial \{N\}^T}{\partial x} - p_{yx} \frac{\partial \{N\}}{\partial y} \frac{\partial \{N\}^T}{\partial y} \right. \\ \left. + p_{xy} \frac{\partial \{N\}}{\partial y} \frac{\partial \{N\}^T}{\partial x} + k_0^2 q_{zz} \{N\} \{N\}^T \right] dx dy \quad (4.8h)$$

$$[L_{uu}] = \sum_e \iint_e \left[ p_{yz} \{U\} \frac{\partial \{V\}^T}{\partial x} - p_{yz} \{U\} \frac{\partial \{U\}^T}{\partial y} - p_{zx} \frac{\partial \{U\}}{\partial y} \{V\}^T + p_{zy} \frac{\partial \{U\}}{\partial y} \{U\}^T \right. \\ \left. - p_{zx} \{V\} \frac{\partial \{V\}^T}{\partial x} + p_{zx} \{V\} \frac{\partial \{U\}^T}{\partial y} + p_{zx} \frac{\partial \{V\}}{\partial x} \{V\}^T - p_{zy} \frac{\partial \{V\}}{\partial x} \{U\}^T \right] dx dy \quad (4.8i)$$

$$[L_{uz}] = \sum_e \iint_e \left[ p_{yx} \{U\} \frac{\partial \{N\}^T}{\partial y} - p_{yy} \{U\} \frac{\partial \{N\}^T}{\partial x} - p_{zx} \{V\} \frac{\partial \{N\}^T}{\partial y} + p_{zy} \{V\} \frac{\partial \{N\}^T}{\partial x} \right] dx dy \quad (4.8j)$$

$$[L_{zu}] = \sum_e \iint_e \left[ p_{xy} \frac{\partial \{N\}}{\partial y} \{U\}^T - p_{yy} \frac{\partial \{N\}}{\partial x} \{U\}^T - p_{zx} \frac{\partial \{N\}}{\partial y} \{V\}^T + p_{yx} \frac{\partial \{N\}}{\partial x} \{V\}^T \right] dx dy \quad (4.8k)$$

$$[M_{uu}] = \sum_e \iint_e \left[ -p_{yx} \{U\} \{V\}^T + p_{yy} \{U\} \{U\}^T + p_{zx} \{V\} \{V\}^T - p_{xy} \{V\} \{U\}^T \right] dx dy \quad (4.8l)$$

เมื่อนำสมการ (4.7) มาคำนวณด้วยวิธีปริมาตรพหุคูณพบว่าได้คำตอบที่ลู่ออก Schulz et al., 1998 ได้เสนอการแก้ไขปัญหานี้โดยการแปลงตัวแปรในสมการ (4.3) ดังนี้

$$\phi_z = j \frac{\partial \phi'}{\partial z} \quad (4.9)$$

การแปลงตัวแปรนี้เป็นการเขียนแบบการแก้ปัญหาดังวิธีไฟไนต์อีลีเมนต์ นอกจากนั้นการแปลงตัวแปรนี้ทำให้สามารถเขียนสมการ (4.3) ด้วยวิธีปกติได้ง่ายขึ้นและทำให้มีเสถียรภาพในการคำนวณ เมื่อแปลงตัวแปรแล้วสามารถเขียนได้ดังนี้

$$\begin{bmatrix} [M_{zz}] - [L_{zz}] \\ -[L_{zt}] - [K_{zz}] \end{bmatrix} \frac{\partial^2 \{\phi'\}}{\partial z^2} + \begin{bmatrix} [L_{zz}] - [K_{zz}] \\ [K_{zt}] \quad 0 \end{bmatrix} \frac{\partial \{\phi'\}}{\partial z} + \begin{bmatrix} [K_{zz}] \quad 0 \\ 0 \quad 0 \end{bmatrix} \{\phi'\} = \{0\} \quad (4.10)$$

Saitoh and Koshiba (2001) เสนอให้ละเลยเทอมที่สองในสมการ (4.10) เนื่องจาก  $\epsilon_{ij}$  ที่  $i \neq j$  มีค่าน้อยมากๆ ดังนั้นเขียน (4.10) ได้เป็น

$$\begin{bmatrix} [M_{zz}] - [L_{zz}] \\ -[L_{zt}] - [K_{zz}] \end{bmatrix} \frac{\partial^2 \{\phi'\}}{\partial z^2} + \begin{bmatrix} [K_{zz}] \quad 0 \\ 0 \quad 0 \end{bmatrix} \{\phi'\} = \{0\} \quad (4.11)$$

เมื่อแทนสนามด้วยเทอม  $\phi'(x, y, z) \exp(-jk_0 n_0 z)$  ลงไปเขียนสมการ (4.11) ได้เป็น

$$[M] \frac{d^2 \{\phi'\}}{dz^2} - 2jk_0 n_0 [M] \frac{d \{\phi'\}}{dz} + ([K] - k_0^2 n_0^2 [M]) \{\phi'\} = \{0\} \quad (4.12)$$

โดยที่

$$\{\phi'\} = \begin{bmatrix} \{\phi_t\} \\ \{\phi_z\} \end{bmatrix} \quad (4.13a)$$

$$[M] = \begin{bmatrix} [M_{zz}] - [L_{zz}] \\ -[L_{zt}] - [K_{zz}] \end{bmatrix} \quad (4.13b)$$

$$[K] = \begin{bmatrix} [K_{zz}] \quad 0 \\ 0 \quad 0 \end{bmatrix} \quad (4.13c)$$

สังเกตได้ว่าสมการ (4.12) เป็นสมการที่พิจารณาเฉพาะค่าสภาพยอมไฟฟ้าสัมพัทธ์  $[\epsilon]$  ที่เป็นแอนไอโซทรอปิกในแนวทแยงมุมเท่านั้นโดยสามารถพิจารณาได้ทั้งแบบ uniaxial และ แบบ bi-axial

จากสมการ (4.12) เรานำวิธีนิวมาร์กมาแก้ไขปัญหาในแนวแกนโดยแก้สมการอนุพันธ์อันดับสองซึ่งสามารถจัดรูปได้เป็น

$$[A]\{\varphi'_{i+1}\} = [B]\{\varphi'_i\} + [C]\{\varphi'_{i-1}\} \quad (4.14)$$

โดยที่

$$[A] = [M] - 2jk_0n_0[M]\gamma\Delta z + ([K] - k_0^2n_0^2[M])\beta\Delta z^2 \quad (4.15a)$$

$$[B] = 2[M] + 2jk_0n_0[M](1 - 2\gamma)\Delta z - ([K] - k_0^2n_0^2[M])(0.5 + \gamma - 2\beta)\Delta z^2 \quad (4.15b)$$

$$[C] = -[M] + 2jk_0n_0[M](-1 + \gamma)\Delta z - ([K] - k_0^2n_0^2[M])(0.5 - \gamma + \beta)\Delta z^2 \quad (4.15c)$$

สมการ (4.15) เป็นสมการปริมพหุพหุกำลังซึ่งเมื่อเราทราบค่าสนามที่ระนาบ  $i$  และระนาบ  $i-1$  เราจะสามารถคำนวณหาสนามที่ระนาบ  $i+1$  ได้ อัลกอริทึมนิวมาร์กประสบปัญหาการลู่ออกของคำตอบเช่นเดียวกับอัลกอริทึมปาดะ การแก้ไขปัญหาคือเราจะต้องปรับแต่งค่า  $\beta$  และ  $\gamma$  ให้เหมาะสม นอกจากนี้ยังพบว่าค่าดัชนีหักเหอ้างอิง  $n_0$ , ความยาวคลื่นแสง  $\lambda$ , ระยะชั้นการคำนวณ  $\Delta z$  ล้วนมีผลต่อเสถียรภาพในการคำนวณทั้งสิ้น

### 4.3 การพิจารณาเสถียรภาพของระบบ

ปัญหาที่พบจากการคำนวณเป็นขั้นๆ คือการลู่ออกของคำตอบซึ่งทำให้ระบบไม่เสถียร ในที่นี้จะนำหลักการวิเคราะห์ที่ได้รับการเสนอมากมายมาเป็นเกณฑ์ในการเลือกค่าพารามิเตอร์ต่างๆ

#### 4.3.1 วิเคราะห์โดยใช้ Growth Factor

วิธีวิเคราะห์โดยใช้ค่า Growth Factor (Navsariwala and Gedney, 1995)

พิจารณาสมการ (4.14)

$$[A]\{\varphi'_{i+1}\} = [B]\{\varphi'_i\} + [C]\{\varphi'_{i-1}\}$$

กำหนดให้

$$\lim_{i \rightarrow \infty} \frac{\|\varphi'_{i+1}\|}{\|\varphi'_i\|} \leq 1 \quad (4.16)$$

หรือ spectral radius (ขนาด eigen value ที่มีค่ามากที่สุด) ของสมการ (4.17) เป็น

$$\rho([A]^{-1}[B]) \leq 1 \quad (4.17)$$

หรือพิจารณาสมการหา eigen value ทั่วไปได้ดังนี้

$$[A]\{x\} - \lambda_1[B]\{x\} = 0 \quad (4.18)$$

โดยที่  $[A]$  และ  $[B]$  พิจารณาตามสมการ (4.15a) และ (4.15b)

$$\lambda_1 = \frac{(1 - 2jk_0n_0\gamma\Delta z + (\alpha\beta\Delta z^2))}{(2 + 2jk_0n_0(1 - 2\gamma)\Delta z - \alpha(1/2 + \gamma - 2\beta)\Delta z^2)} \quad (4.19)$$

โดยที่  $\alpha$  เป็น eigen value ของ  $[M]\{x\} = \alpha([K] - k_0^2n_0^2[M])\{x\}$  ดังนั้นในสมการ (4.19) ต้องทำการปรับค่า  $k_0, n_0, \beta, \gamma$  และ  $\Delta z$  ให้ค่า  $\|\lambda_1\| \leq 1$  ในทุกๆค่า  $\alpha$

#### 4.3.2 วิธีวิเคราะห์โดยอาศัย Z Transform

วิธีการที่สองที่จะนำมาพิจารณาคือการนำ z transform เข้ามาช่วยพิจารณาความเสถียรของระบบ (Lee, Lee, and Cangellaris, 1997) โดยวิธีนี้มีความคล้ายคลึงกับวิธีแรกเพียงแต่เพิ่มการพิจารณาเทอม  $i-1$  เข้ามาด้วยเขียนสมการ (4.14) เป็นดังนี้

$$\begin{aligned} & (M_m - 2jk_0n_0M_m\gamma\Delta z + (K_m - k_0^2n_0^2M_m)\beta\Delta z^2)\phi_m^{i+1} \\ & + (-2M_m - 2jk_0n_0M_m(1 - 2\gamma)\Delta z + (K_m - k_0^2n_0^2M_m)(1/2 + \gamma - 2\beta)\Delta z^2)\phi_m^i \\ & + (M_m - 2jk_0n_0M_m(\gamma - 1)\Delta z + (K_m - k_0^2n_0^2M_m)(1/2 - \gamma + \beta)\Delta z^2)\phi_m^{i-1} = 0 \end{aligned} \quad (4.20)$$

โดยที่  $M_m$  และ  $K_m$  เป็น modal dispersion ของเมทริกซ์  $[M]$  และ  $[K]$  ตามลำดับ ให้นิยามค่า  $g$  ดังนี้

$$\phi_m^{i+1} = g^2\phi_m^{i-1} \quad \text{และ} \quad \phi_m^i = g\phi_m^{i-1} \quad (4.21)$$

โดยที่  $g$  ต้องมีค่าน้อยกว่าหรือเท่ากับ 1 เมื่อแทนสมการ (4.21) ลงในสมการ (4.20) แล้วจะได้ว่า

$$\begin{aligned} & (M_m - 2jk_0n_0M_m\gamma\Delta z + (K_m - k_0^2n_0^2M_m)\beta\Delta z^2)g^2 \\ & + (-2M_m - 2jk_0n_0M_m(1-2\gamma)\Delta z + (K_m - k_0^2n_0^2M_m)(1/2 + \gamma - 2\beta)\Delta z^2)g \\ & + (M_m - 2jk_0n_0M_0(\gamma-1)\Delta z + (K_m - k_0^2n_0^2M_m)(1/2 - \gamma + \beta)\Delta z^2) = 0 \end{aligned} \quad (4.22)$$

ใช้ z transform เข้ามาช่วยวิเคราะห์

$$g = \frac{1+z}{1-z} \quad (4.23)$$

แทนสมการ (4.23) ลงในสมการ (4.22) ได้ผลดังนี้

$$\begin{aligned} & (M_m - 2jk_0n_0M_m\gamma\Delta z + (K_m - k_0^2n_0^2M_m)\beta\Delta z^2)(1+z)^2 \\ & + (-2M_m - 2jk_0n_0M_m(1-2\gamma)\Delta z + (K_m - k_0^2n_0^2M_m)(1/2 + \gamma - 2\beta)\Delta z^2)(1-z^2) \\ & + (M_m - 2jk_0n_0M_0(\gamma-1)\Delta z + (K_m - k_0^2n_0^2M_m)(1/2 - \gamma + \beta)\Delta z^2)(1-z)^2 = 0 \end{aligned} \quad (4.24)$$

จัดรูปสมการ (4.24) ให้เป็นดังนี้

$$\begin{aligned} & z^2(4M_m - 2jk_0n_0M_m(4\gamma-2)\Delta z + (K_m - k_0^2n_0^2M_m)\Delta z^2(4\beta-2\gamma)) \\ & + 2z(-2jk_0n_0M_m\Delta z + (K_m - k_0^2n_0^2M_m)\Delta z^2(\gamma-1/2)) \\ & + (K_m - k_0^2n_0^2M_m)\Delta z^2 = 0 \end{aligned} \quad (4.25)$$

ผลเฉลยค่า  $z$  ในสมการ (4.25) ที่ทำให้ระบบเสถียรคืออยู่ครึ่งซ้ายมือของ  $z$  plane ดังรูปที่ 4.2

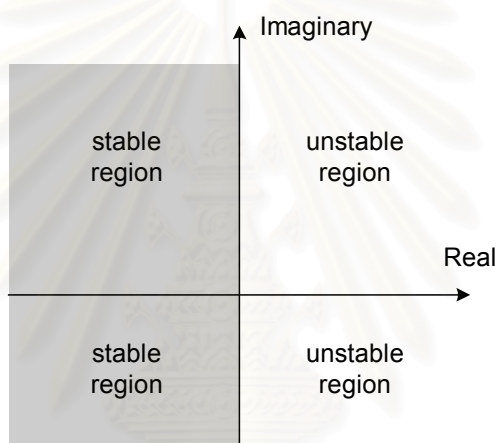
จากสมการ (4.25) ใช้หลักการ Routh-Hurwitz ทำให้พิจารณาเงื่อนไขที่ทำให้ระบบเสถียรและคำตอบของสมการ (4.25) อยู่ฝั่งซ้ายของ z-plane

$$(4M_m - 2jk_0n_0M_m(4\gamma - 2)\Delta z + (K_m - k_0^2n_0^2M_m)\Delta z^2(4\beta - 2\gamma)) > 0 \quad (4.26a)$$

$$2z(-2jk_0n_0M_m\Delta z + (K_m - k_0^2n_0^2M_m)\Delta z^2(\gamma - 1/2)) > 0 \quad (4.26b)$$

$$(K_m - k_0^2n_0^2M_m)\Delta z^2 > 0 \quad (4.26c)$$

จากเงื่อนไขในสมการ (4.26) เราทำการปรับแต่งค่า  $\gamma$ ,  $\beta$ ,  $\Delta z$ ,  $n_0$ ,  $k_0$  ให้สอดคล้องกับทุกค่าของ  $M_m$  และ  $K_m$



รูปที่ 4.2 พื้นที่ที่ทำให้ระบบเสถียรกับพื้นที่ที่ทำให้ระบบไม่เสถียรใน z plane

นอกจากหลักการทั้งสองวิธีในเบื้องต้นเรายังพบว่ามียาละเอียดปลีกย่อยอีกดังนี้

#### 4.3.3 การเลือกดัชนีหักเหอ้างอิง $n_0$

ค่าดัชนีหักเหของโมเดน่าจะมีค่าอยู่ระหว่างดัชนีหักเหของแกนและดัชนีหักเหของเปลือก ทำให้วิธีบีบพรวดพราดให้ค่าดัชนีหักเหอ้างอิงมีค่าระหว่างดัชนีหักเหของแกนกับดัชนีหักเหของเปลือก การคำนวณบนสมการสเกลาร์ใน บทที่ 2 และ 3 เราเลือกค่าดัชนีหักเหอ้างอิงมีค่าเท่ากับดัชนีหักเหของเปลือกของท่อนำคลื่นแสง แต่ในกรณีของสมการแบบเวกเตอร์การเลือกค่าดัชนีหักเหอ้างอิงให้มีค่าเท่ากับดัชนีหักเหของเปลือกทำให้คำตอบลู่ออกและระบบไม่เสถียร ดังนั้นในการคำนวณด้วยสมการเวกเตอร์เราจึงเปลี่ยนมาเลือกค่าดัชนีหักเหอ้างอิงให้มีค่าเท่ากับดัชนีหักเหของแกนท่อนำคลื่นแสงแทน ในกรณีวัสดุแบบแอนไอโซทรอปิกยกตัวอย่างเช่น แกนของท่อนำคลื่นแสงมีดัชนีหักเหดังนี้  $n_{xx} = 2.25$ ,  $n_{yy} = 2.1918$ ,  $n_{zz} = 2.2308$  เรามักจะเลือกค่ากลางมาใช้



เป็นดัชนีหักเหอ้างอิงคือ 2.2308 เป็นต้น การเลือกดัชนีหักเหอ้างอิงแบบปรับค่าได้เป็นวิธีการที่ให้ผลการคำนวณมีความแม่นยำมากขึ้น อย่างไรก็ตามก็จะทำให้การคำนวณยุ่งยากขึ้น ดังนั้นในการคำนวณนี้จะเลือกดัชนีหักเหอ้างอิงแบบคงที่ ดัชนีหักเหอ้างอิงยังมีความสัมพันธ์กับชั้นของการคำนวณ  $\Delta z$  อีกด้วยโดยจะกล่าวในรายละเอียดในหัวข้อถัดไป

#### 4.3.4 การเลือกระยะชั้นการคำนวณ $\Delta z$

Hernandez (1994) ได้เสนอข้อกำหนดการเลือกค่าระยะชั้นการคำนวณ  $\Delta z$  ในสมการแบบสเกลาร์ปริมพรอพาเกชันดังนี้

$$\Delta z \geq \frac{\lambda}{2\pi n_0} \quad (4.27)$$

ซึ่งหลักการนี้ยังสามารถนำมาใช้เป็นเกณฑ์ในการพิจารณาของสมการแบบเวกเตอร์ได้อีกด้วย ค่า  $\lambda$  คือความยาวคลื่นแสงที่ใช้โดยส่วนมากมักถูกกำหนดมาให้ ในขณะที่ค่าดัชนีหักเหอ้างอิง  $n_0$  ใช้เกณฑ์ในการเลือกตามที่กล่าวไว้แล้วในเบื้องต้น จากสมการ (4.27) พบว่าถ้าเลือกค่า  $\Delta z$  ให้มีค่ามากๆยิ่งดีจะทำให้ระบบมีเสถียรภาพดีขึ้น แต่การเลือกค่า  $\Delta z$  มากๆทำให้เกิดข้อผิดพลาดในการคำนวณมากขึ้นเพราะระยะชั้นการคำนวณหยาบขึ้น ดังนั้นควรเลือกค่า  $\Delta z$  ที่น้อยที่สุดที่ยังทำให้ระบบเสถียร สังเกตได้ว่าค่า  $n_0$  ที่เลือกมีผลต่อการเลือกค่า  $\Delta z$  ยิ่งค่า  $n_0$  มีค่ามากจะทำให้ระยะชั้น  $\Delta z$  มีค่าได้น้อยๆระบบจะมีการคำนวณที่ละเอียดขึ้น อย่างไรก็ตามค่าดัชนีหักเหอ้างอิงไม่สามารถเลือกเป็นค่าใดๆได้ดังนั้นจึงต้องระมัดระวังการเลือกค่าให้ดี

#### 4.3.5 การเลือกค่า $\beta$ และ $\gamma$

หลักพื้นฐานที่ทำให้ระบบเสถียรในงานไฟไนต์อีลีเมนต์โดเมนเวลาที่พิจารณาด้วยอัลกอริทึมนิวมาร์ก (Zienkiewicz and Taylor, 1991) คือ

$$2\beta \geq \gamma \geq 0.5 \quad (4.28)$$

แต่จากการทดลองคำนวณพบว่าหลักการเลือกค่าตอบสมการ (4.28) เมื่อนำมาใช้กับสมการเวกเตอร์ปริมพรอพาเกชันเป็นเพียงหลักการกว้างๆในการเลือกค่าเท่านั้น ในขณะที่ Wood (1990) ได้เสนอหลักการที่จะทำให้ระบบเสถียรเมื่อคำตอบอยู่ในรูปเชิงซ้อนคือ

$$4\beta = (\gamma + 0.5)^2 \quad (4.29)$$

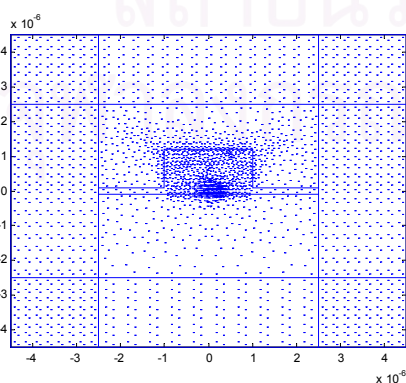
สมการ (4.29) สอดคล้องกับที่มีผู้เสนอ (Zienkiewicz, 1977) ค่า  $\beta = 1$  และ  $\gamma = 1.5$  เมื่อทำการทดสอบพบว่าคำตอบที่ได้ลู่ออก ดังนั้นจึงพิจารณาปรับแต่งค่า  $\beta$  และ  $\gamma$  ใหม่นำมาทำการเพิ่มค่า  $\gamma$  ให้มากขึ้นโดยเลือก  $\gamma = 2.5$  และ  $\beta = 2.25$  ปรากฏว่าระบบมีเสถียรภาพในการคำนวณมากคำตอบที่ได้ลู่เข้า อย่างไรก็ตามเมื่อทำการเพิ่มค่า  $\gamma$  มากขึ้นพบว่าไม่ได้ช่วยให้การลู่เข้าดีขึ้นจึงเลือกค่า  $\gamma = 2.5$  และ  $\beta = 2.25$  ในการคำนวณ

เท่าที่กล่าวมาในเบื้องต้นทั้งหมดเป็นหลักการเลือกพารามิเตอร์อย่างกว้างๆ สังเกตว่าในสมการ (4.19) และ (4.26) ยังมีพารามิเตอร์อีกตัวหนึ่งนั่นคือค่า  $\alpha$  และ  $M_m, K_m$  ที่เป็นผลมาจากการแบ่งอีลีเมนต์ในการคำนวณนั่นคือค่าพารามิเตอร์ตัวเดียวกันอาจทำให้ระบบเสถียรในท่อนำคลื่นแบบหนึ่งแต่อาจทำให้เกิดความไม่เสถียรในท่อนำคลื่นอีกแบบหนึ่งดังนั้นจึงต้องนำเข้ามาพิจารณาด้วย อย่างไรก็ตามจากการคำนวณท่อนำคลื่นต่างๆกันและมีการแบ่งอีลีเมนต์ต่างๆกันค่าพารามิเตอร์ที่ใช้ยังคงมีค่าใกล้เคียงกัน

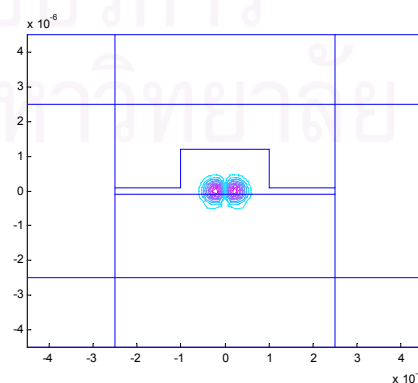
#### 4.4 การคำนวณในกรณีตัวอย่าง

##### 4.4.1 ท่อนำคลื่นแสงแบบรีบ

เริ่มทดสอบวิธีวิเคราะห์ในท่อนำคลื่นแสงไอโซทรอปิกแบบรีบดังรูปที่ 3.6 โดยป้อนสนามอินพุตดังรูปที่ 4.3 กำหนดให้สนามไฟฟ้า  $E_x$  อยู่ในรูปเกาส์เซียนมีขนาดจุดเป็น  $0.3 \mu\text{m}$  ให้สนามไฟฟ้า  $E_y$  มีค่าเป็นศูนย์ ให้สนามอินพุต  $E_z$  หาจากสนาม  $E_x$  โดยใช้สมการแมกซ์เวลล์ ความยาวคลื่นแสง  $\lambda = 1.55 \mu\text{m}$ , ค่าระยะชั้นการคำนวณ  $\Delta z = 1 \mu\text{m}$ , ดัชนีหักเหของแกน = 3.44, ค่าดัชนีหักเหของเปลือก = 3.34, เลือกดัชนีหักเหอ้างอิง  $n_0$  ให้มีค่าเท่ากับดัชนีหักเหของแกนท่อนำคลื่นแสง = 3.44, เลือกสัมประสิทธิ์นิวมาร์ก  $\beta = 2.25$  และ  $\gamma = 2.5$  ผลการคำนวณสนามที่ระยะทางต่างๆแสดงได้ดังรูปที่ 4.4



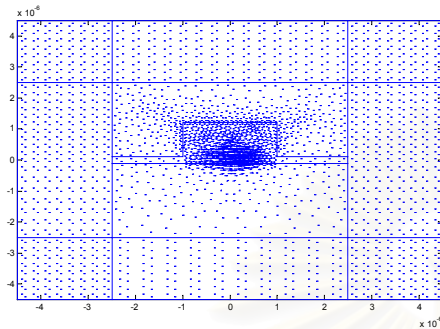
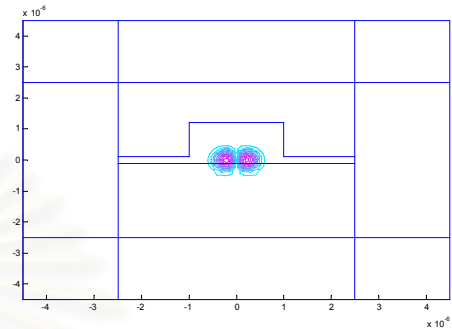
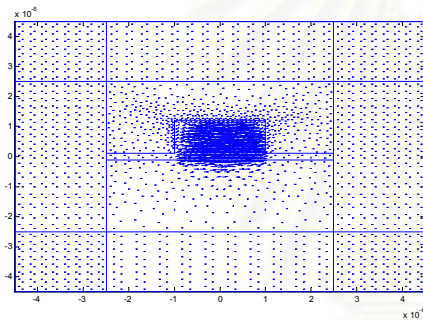
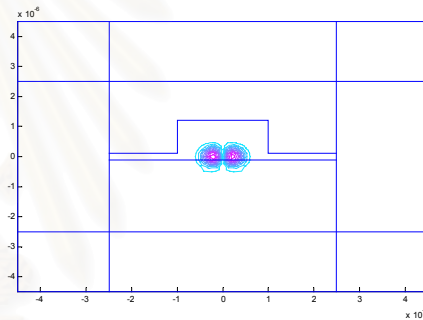
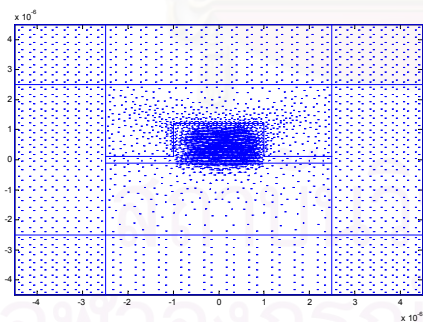
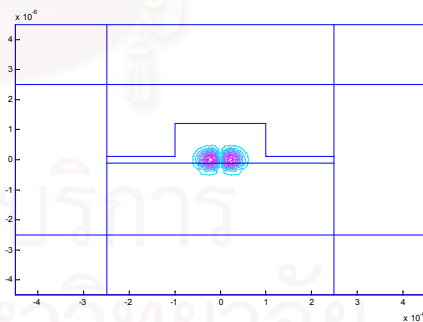
(ก)



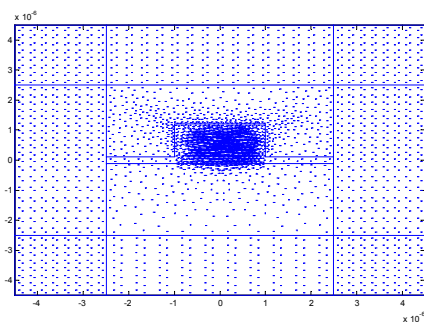
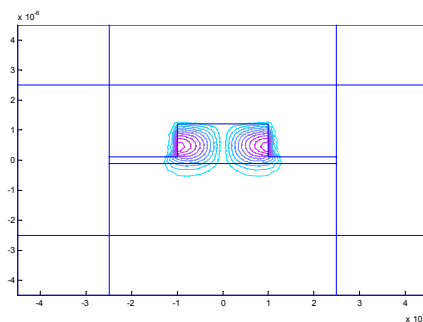
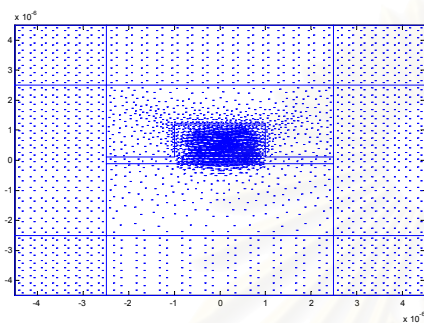
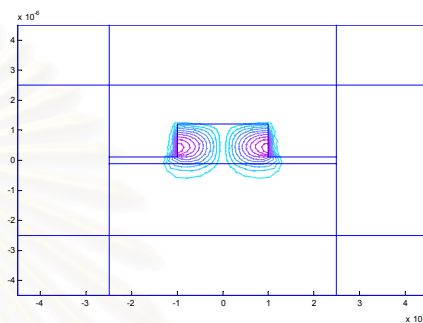
(ข)

รูปที่ 4.3 สนามไฟฟ้าอินพุต  $E_{11}^x$  โมด (ก) สนามตามขวาง (ข) สนามตามแนวแกน

ใช้เงื่อนไขขอบเขตแบบPMLโดยมีความหนาของชั้นดูดซับเป็น  $2\mu\text{m}$  มีอีลีเมนต์รูปร่างสี่เหลี่ยม 8 อีลีเมนต์ในชั้นดูดซับ เลือค่าสัมประสิทธิ์PMLเท่ากับ  $s = 1 - j$  การเลือกค่าสัมประสิทธิ์PML ให้เป็นแบบคงที่เพื่อหลีกเลี่ยงการอินทิเกรตเชิงตัวเลขที่มีความซับซ้อนเพิ่มมากขึ้น

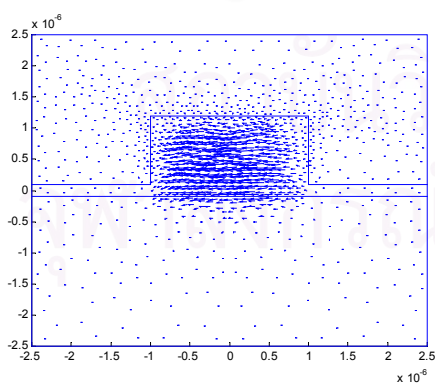
(ก)  $E_t$   $z = 3\mu\text{m}$ (ข)  $E_z$   $z = 3\mu\text{m}$ (ค)  $E_t$   $z = 6\mu\text{m}$ (ง)  $E_z$   $z = 6\mu\text{m}$ (จ)  $E_t$   $z = 20\mu\text{m}$ (ฉ)  $E_z$   $z = 20\mu\text{m}$ 

รูปที่ 4.4 (ก)-(ญ) สนามไฟฟ้าที่แพร่กระจายในท่อนำคลื่นแสงแบบริบโดยคำนวณด้วยวิธีไฟไนต์อีลีเมนต์ปริมาตรและอัลกอริทึมแบบนิวมาร์ก

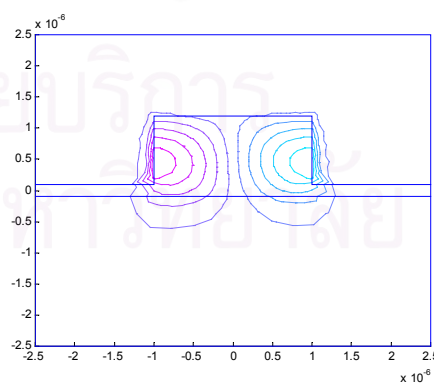
(ข)  $E_x$   $z = 40 \mu m$ (ค)  $E_z$   $z = 40 \mu m$ (ง)  $E_x$   $z = 100 \mu m$ (ฉ)  $E_z$   $z = 100 \mu m$ 

รูปที่ 4.4 (ก)-(ญ) (ต่อ) สนามไฟฟ้าที่แพร่กระจายในท่อนำคลื่นแสงแบบรีบโดยคำนวณด้วยวิธีไฟไนต์อีลีเมนต์ ปีมพรอพาเกชันและอัลกอริทึมแบบนิวมาร์ก

การแพร่กระจายของคลื่นแสงเข้าสู่โมดนำ โดย  $E_x$  วิ่งเข้าสู่โมดนำที่ระยะทาง  $6 \mu m$  และ  $E_z$  วิ่งเข้าสู่โมดนำที่ระยะทางประมาณ  $40 \mu m$  หลังจากนั้นคลื่นแสงแพร่กระจายในลักษณะโมดนำตลอด ค่าคำตอบที่ระยะ  $100 \mu m$  ไม่มีลักษณะการลู่ออก เมื่อนำผลการคำนวณที่ได้ไปเปรียบเทียบกับสนามไฟฟ้าโมด  $E_{11}^x$  ที่คำนวณได้ด้วยวิธีไฟไนต์อีลีเมนต์ดังรูปที่ 4.5 พบว่าสนามมีลักษณะใกล้เคียงกัน



(ก)

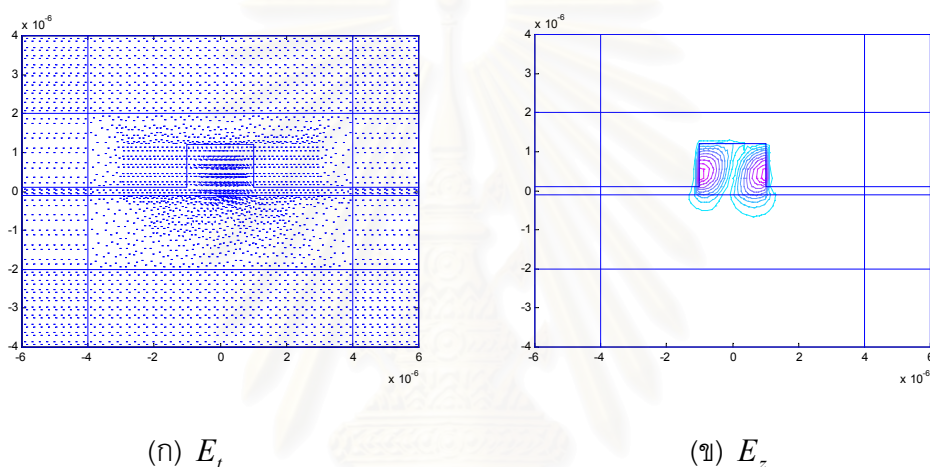


(ข)

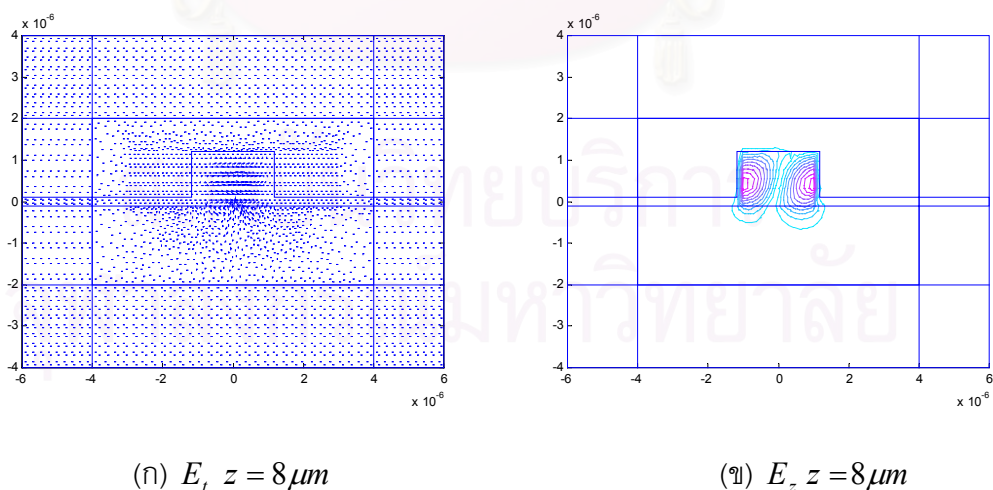
รูปที่ 4.5 สนามไฟฟ้า  $E_{11}^x$  โมดคำนวณด้วยวิธีไฟไนต์อีลีเมนต์ (ก) สนามตามขวาง (ข) สนามตามแนวแกน

#### 4.4.2 ท่อนำคลื่นแสงแบบริบรูปตัววาย

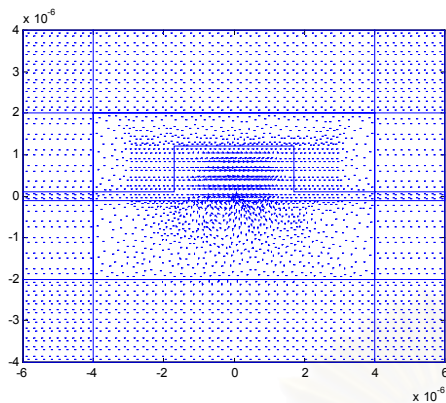
ตัวอย่างท่อนำคลื่นแสงที่จะพิจารณาต่อมาก็คือท่อนำคลื่นแสงแบบริบรูปตัววาย ดังรูปที่ 3.12 ใช้ความยาวคลื่นแสง  $\lambda = 1.55 \mu\text{m}$ , ดัชนีของแกน = 3.44, ดัชนีหักเหของเปลือก = 3.34, ใช้ระยะชั้นการคำนวณ  $\Delta z = 1 \mu\text{m}$ , ใช้ค่าดัชนีหักเหอ้างอิง  $n_0 = 3.44$ , เลือกค่าสัมประสิทธิ์นิวมาร์ก  $\beta = 2.25$ ,  $\gamma = 2.5$  ป้อนสนามอินพุตด้วยโหมด  $E_{11}^x$  ดังรูปที่ 4.6 ใช้เงื่อนไขขอบเขตแบบ PML มีความหนาของชั้นดูดซับเป็น  $2 \mu\text{m}$  เลือกสัมประสิทธิ์ PML ให้มีค่าคงที่  $s = 1 - 8j$  จำนวนอีลีเมนต์ในชั้น PML มีรูปร่างสม่ำเสมอมีทั้งสิ้น 8 อีลีเมนต์ผลการคำนวณที่ระยะ  $z$  ต่างๆ แสดงอยู่ในรูปที่ 4.7



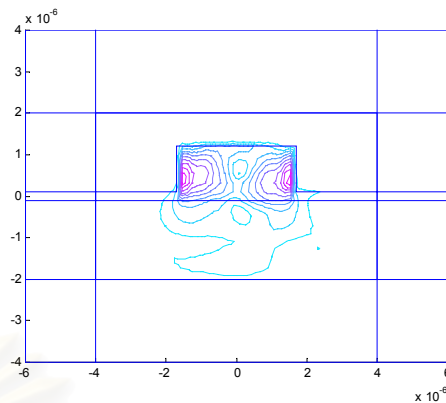
รูปที่ 4.6 สนามไฟฟ้าอินพุตโหมด  $E_{11}^x$  (ก) สนามตามขวาง (ข) สนามตามแนวแกน



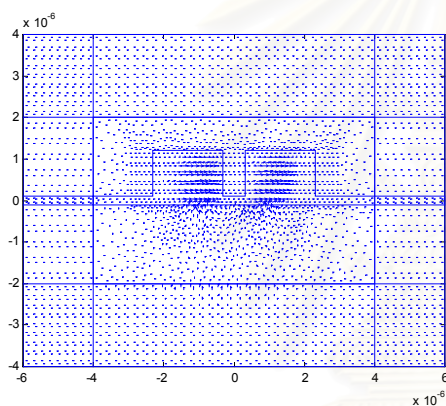
รูปที่ 4.7 (ก)-(ง) สนามไฟฟ้าในท่อนำคลื่นแสงแบบริบรูปตัววายคำนวณด้วยวิธีไฟไนต์อีลีเมนต์ปริมาตรสามมิติและอัลกอริทึมแบบนิวมาร์กโดยใช้สมการแบบเวกเตอร์ที่ระยะต่างๆ



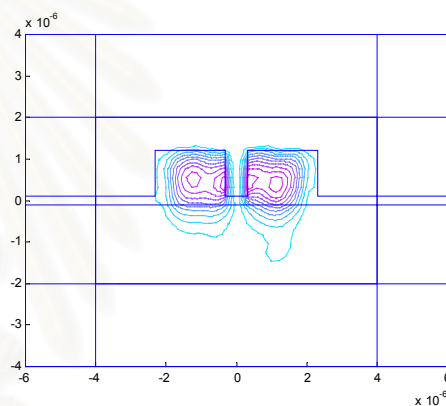
(ค)  $E_x$   $z = 16\mu\text{m}$



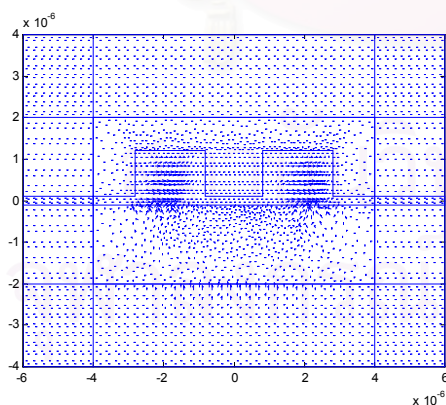
(ง)  $E_z$   $z = 16\mu\text{m}$



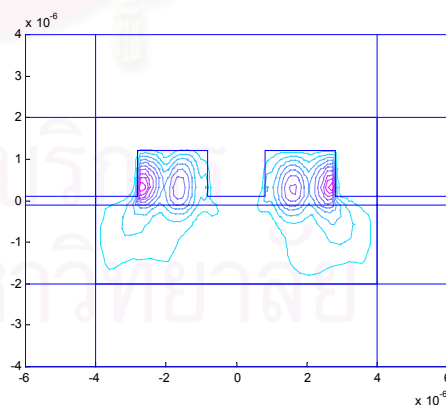
(จ)  $E_x$   $z = 24\mu\text{m}$



(ฉ)  $E_z$   $z = 24\mu\text{m}$

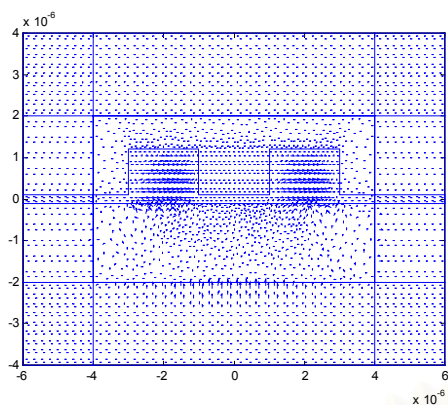
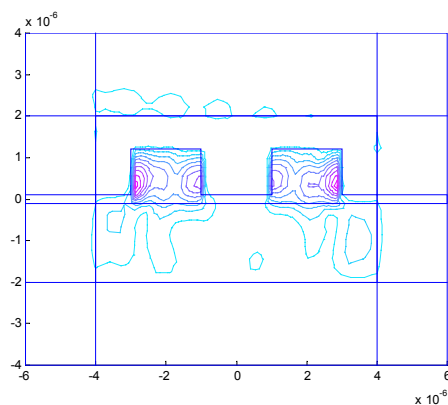


(ช)  $E_x$   $z = 32\mu\text{m}$



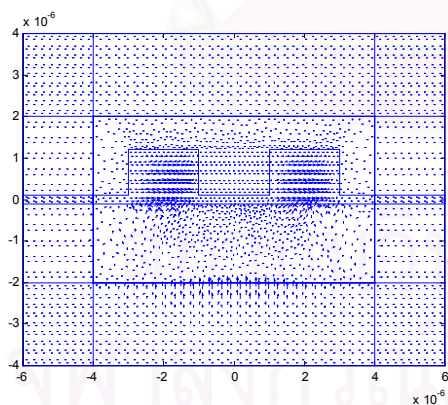
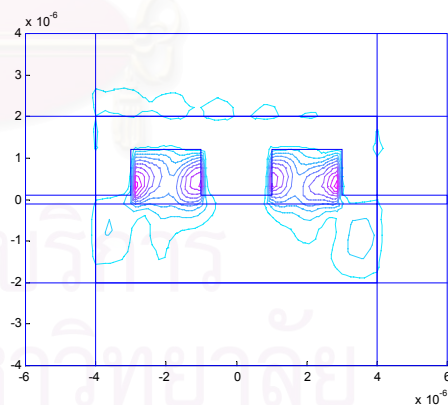
(ซ)  $E_z$   $z = 32\mu\text{m}$

รูปที่ 4.7 (ก)-(ญ) (ต่อ) สนามไฟฟ้าในท่อนำคลื่นแสงแบบปรับรูปตัววอยคำนวณด้วยวิธีไฟไนต์อีลีเมนต์ปริมพรวดพาเกินและอัลกอริทึมแบบนิวมาร์กโดยใช้สมการแบบเวกเตอร์ที่ระยะต่างๆ

(ฉ)  $E_x, z = 40 \mu m$ (ญ)  $E_z, z = 40 \mu m$ 

รูปที่ 4.7 (ก)-(ญ) (ต่อ) สนามไฟฟ้าในท่อนำคลื่นแสงแบบบริรูปตัววายคำนวณด้วยวิธีไฟไนต์อีลีเมนต์ปริมาตรและอัลกอริทึมแบบนิวมาร์กโดยใช้สมการแบบเวกเตอร์ที่ระยะต่างๆ

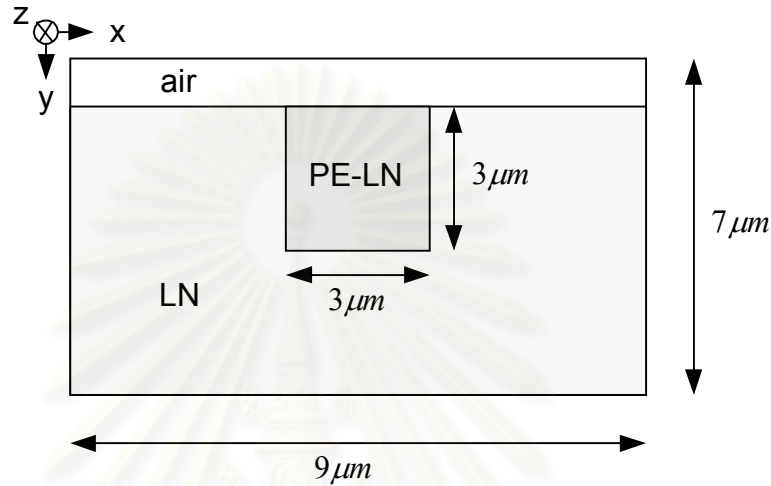
จากการคำนวณด้วยอัลกอริทึมนิวมาร์กในท่อนำคลื่นแสงแบบมุกกว้างให้ผลการคำนวณที่น่าพอใจคำตอบไม่มีการลู่ออก สนามไฟฟ้าถูกแบ่งออกเป็นสองส่วนตามแกนของท่อนำคลื่นแสง เมื่อนำมาเปรียบเทียบกับผลการคำนวณสนามด้วยอัลกอริทึมปาเดดังรูปที่ 4.8 พบว่าให้คำตอบที่ใกล้เคียงกันมาก เงื่อนไขขอบเขตแบบPMLที่เลือกมาสามารถดูดกลืนคลื่นสะท้อนไม่ให้แพร่กระจายกลับเข้ามาที่หน้าต่างการคำนวณได้

(ก)  $E_x, z = 40 \mu m$ (ข)  $E_z, z = 40 \mu m$ 

รูปที่ 4.8 สนามไฟฟ้าที่คำนวณด้วยวิธีไฟไนต์อีลีเมนต์ปริมาตรและอัลกอริทึมปาเดที่ระยะ  $z = 40 \mu m$

#### 4.4.3 ท่อนำคลื่นแสงแบบฝังในแผ่นฐาน

ในสองตัวอย่างก่อนเราได้พิจารณาตัวอย่างท่อนำคลื่นแสงที่เป็นวัสดุแบบไอโซทรอปิกในตัวอย่างนี้เราจะเริ่มพิจารณาท่อนำคลื่นที่เป็นวัสดุแอนไอโซทรอปิกโดยพิจารณาตัวอย่างของท่อนำคลื่นแบบฝังในแผ่นฐาน (Saitoh and Koshiba, 2001) ดังรูปที่ 4.9



รูปที่ 4.9 ท่อนำคลื่นแสงแบบฝังในแผ่นฐาน (Embedded Waveguide)

แผ่นฐานสร้างจาก  $LiNbO_3$  (LN) และแกนสร้างจากวัสดุ proton-exchanged  $LiNbO_3$  (PE-LN) โดยแผ่นฐานมีค่าดัชนีหักเหแบบสามัญ  $n_o = 2.25$  ค่าดัชนีหักเหแบบพิเศษ  $n_e$  เป็น 2.172 ในขณะที่แกนของท่อนำคลื่นแสงมีดัชนีหักเหแบบสามัญ  $n_o = 2.25$  ค่าดัชนีหักเหแบบพิเศษเป็น 2.182 สภาพยอมไฟฟ้าสัมพัทธ์สามารถเขียนได้ดังสมการ (4.30)

$$\varepsilon_{xx} = n_o^2 \quad (4.30a)$$

$$\varepsilon_{yy} = n_e^2 \cos^2(\theta_c) + n_o^2 \sin^2(\theta_c) \quad (4.30b)$$

$$\varepsilon_{zz} = n_o^2 \cos^2(\theta_c) + n_e^2 \sin^2(\theta_c) \quad (4.30c)$$

$$\varepsilon_{yz} = \varepsilon_{zy} = (n_o^2 - n_e^2) \cos(\theta_c) \sin(\theta_c) \quad (4.30d)$$

$$\varepsilon_{xy} = \varepsilon_{yx} = \varepsilon_{zx} = \varepsilon_{xz} = 0 \quad (4.30e)$$



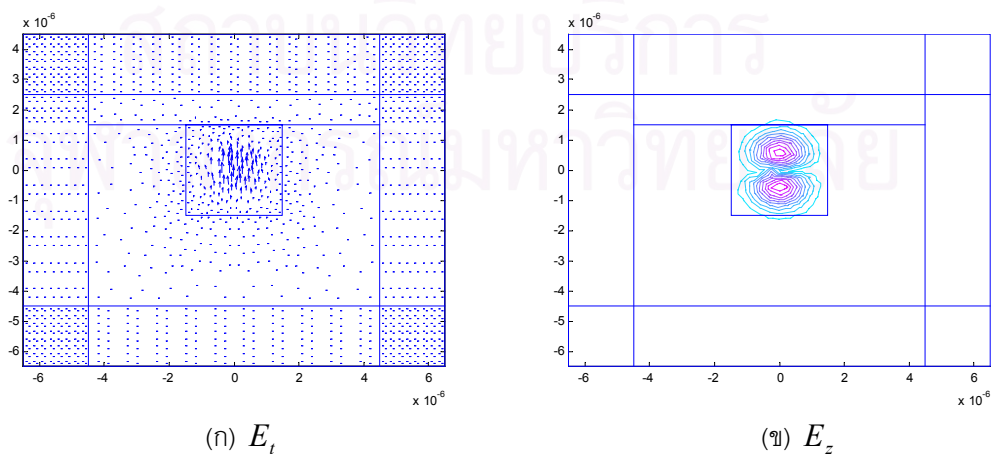
$\theta_c$  คือมุมระหว่างแกน crystalline c กับ แกน y ในที่นี้ใช้ค่า  $\theta_c = 30^\circ$  ดังนั้นสามารถเขียนได้ดังนี้

$$[\epsilon_{sub}] = \begin{bmatrix} 5.0625 & 0 & 0 \\ 0 & 4.8038313 & 0.1493530091 \\ 0 & 0.1493530091 & 4.976271 \end{bmatrix} \quad (4.31a)$$

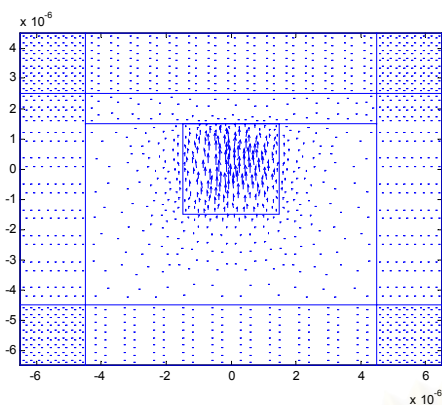
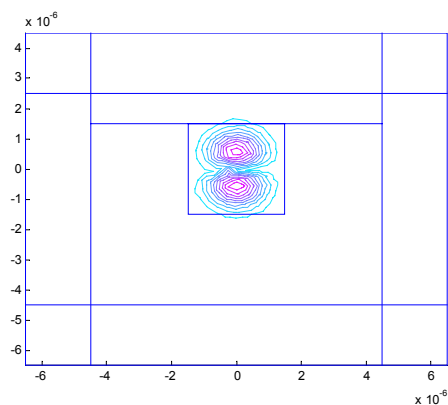
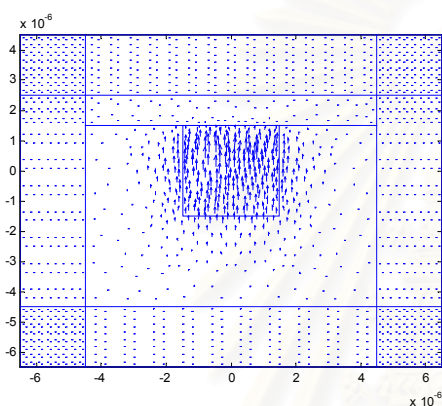
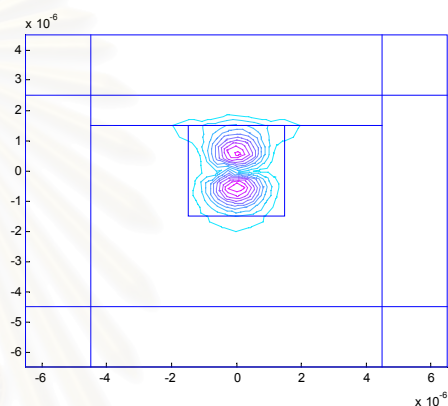
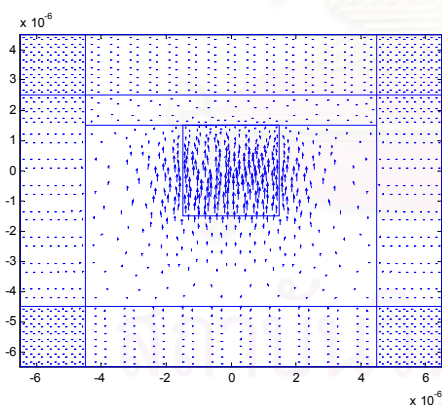
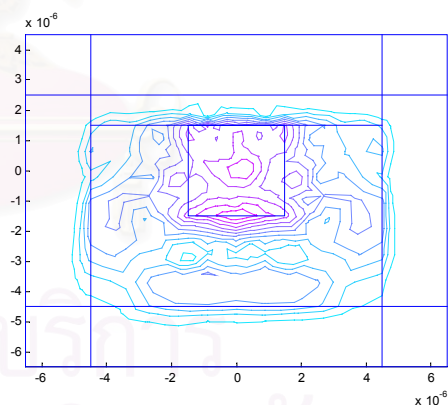
$$[\epsilon_{core}] = \begin{bmatrix} 5.0625 & 0 & 0 \\ 0 & 4.836468 & 0.130499636 \\ 0 & 0.130409636 & 4.987156 \end{bmatrix} \quad (4.31b)$$

ใช้เงื่อนไขขอบเขตแบบPML โดยมีความหนาของชั้นดูดซับเป็น  $2\mu m$  ใช้ซิลิ-เมนต์สามเหลี่ยมขนาดสม่ำเสมอในชั้นดูดซับจำนวน 8 ซิลิ-เมนต์ เลือกการลดทอนแบบคงที่ (ไม่แปรตามระยะทาง) เพื่อหลีกเลี่ยงการทำอินทิเกรตเชิงตัวเลข จากการคำนวณพบว่า ค่า PML พารามิเตอร์  $s$  ที่ใช้ในการคำนวณในวัสดุไอโซทรอปิกคือ  $s = 1 - j$  กับ  $s = 1 - 8j$  ทำให้ระบบเกิดการลู่ออก ในที่นี้จึงนำพารามิเตอร์ที่เสนอโดย Mitchell et al., 1999 ในการคำนวณในโดเมนเวลามาแก้ไข คือ  $s = 2 - j$  เมื่อนำมาคำนวณพบว่าทำให้ระบบมีเสถียรภาพ สังเกตได้ว่าการเลือกค่าของเงื่อนไขขอบเขตมีผลต่อเสถียรภาพของระบบเช่นกัน ดังนั้นการพิจารณาเสถียรภาพของระบบต้องนำพารามิเตอร์ในเงื่อนไขขอบเขตมาพิจารณาด้วย

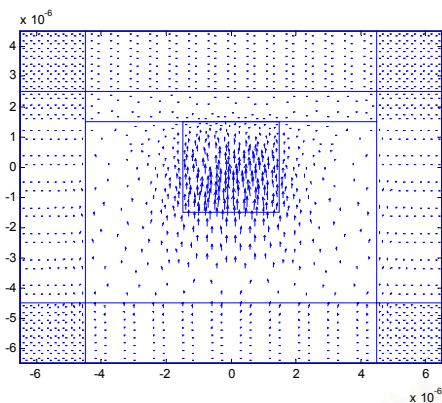
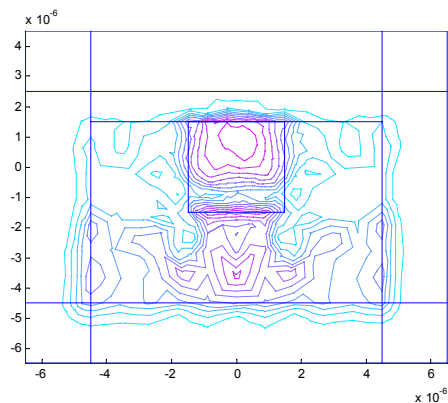
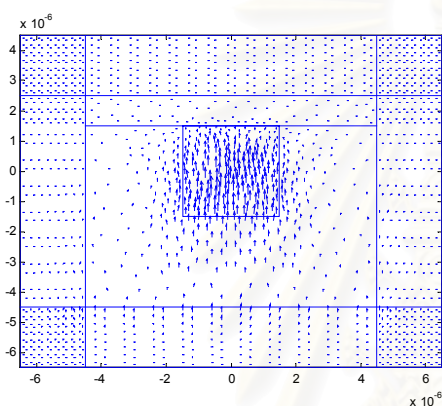
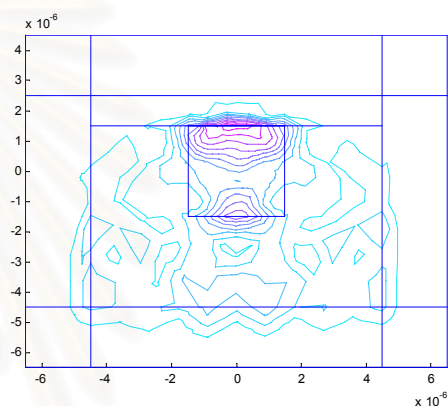
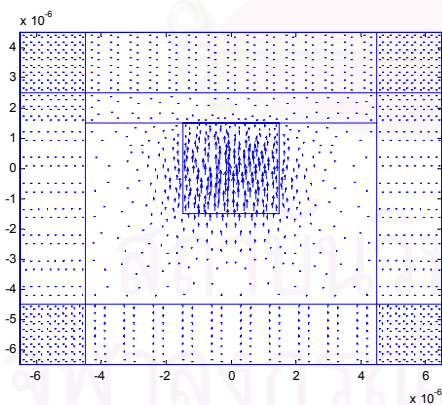
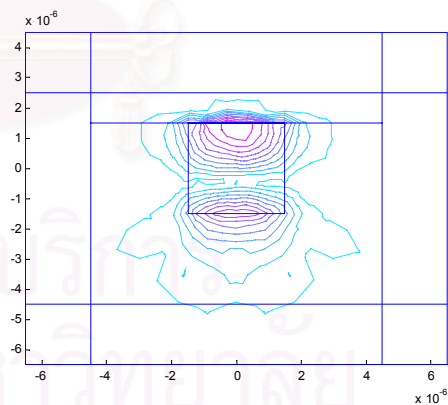
ป้อนสนามไฟฟ้าอินพุตที่  $E_x$  เป็นศูนย์  $E_y$  มีการกระจายตัวแบบเกาส์เซียนมีขนาดจุดเป็น  $0.8\mu m$  ค่าสนาม  $E_z$  อินพุตหาจาก  $E_y$  โดยใช้สมการแมกซ์เวลล์ ดังรูปที่ 4.10 เลือกดัชนีหักเหอ้างอิง  $n_0 = 2.2113$ , เลือกระยะชั้นการคำนวณ  $\Delta z = 1\mu m$ , เลือกสัมประสิทธิ์นิวมาร์ก  $\beta = 2.25$ ,  $\gamma = 2.5$  เมื่อคำนวณเป็นระยะทาง  $1000\mu m$  ให้ผลการคำนวณดังรูปที่ 4.11



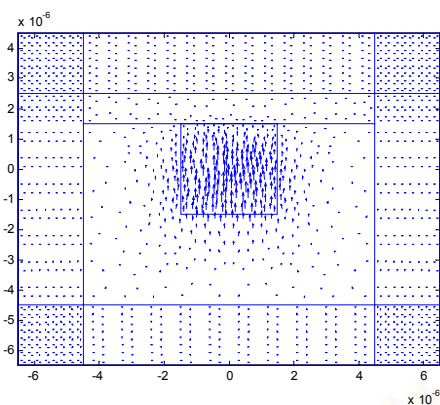
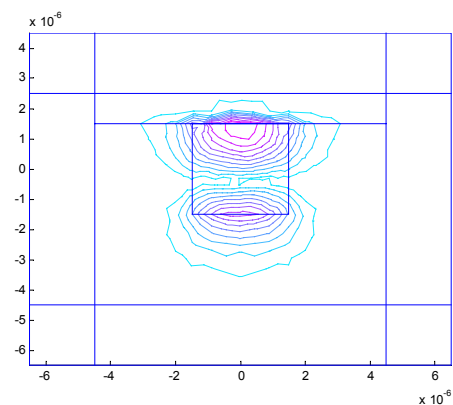
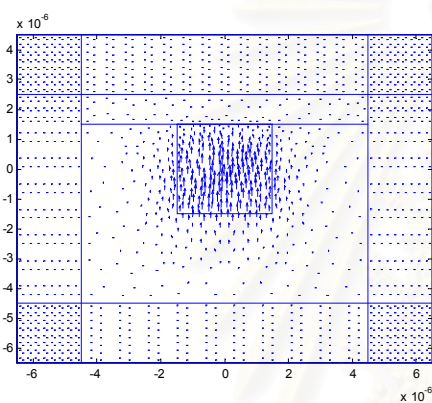
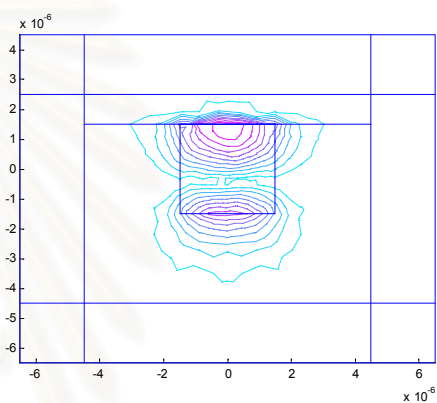
รูปที่ 4.10 สนามไฟฟ้าอินพุต (ก) สนามตามขวาง (ข) สนามตามแนวแกน

(ก)  $E_t$ ,  $z = 10 \mu\text{m}$ (ข)  $E_z$ ,  $z = 10 \mu\text{m}$ (ค)  $E_t$ ,  $z = 20 \mu\text{m}$ (ง)  $E_z$ ,  $z = 20 \mu\text{m}$ (จ)  $E_t$ ,  $z = 40 \mu\text{m}$ (ฉ)  $E_z$ ,  $z = 40 \mu\text{m}$ 

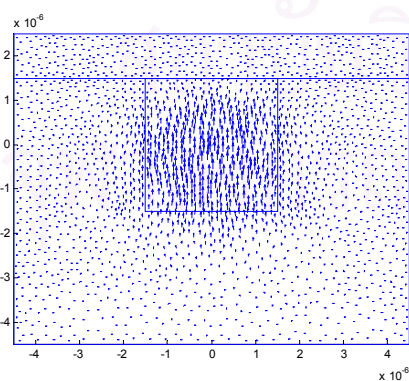
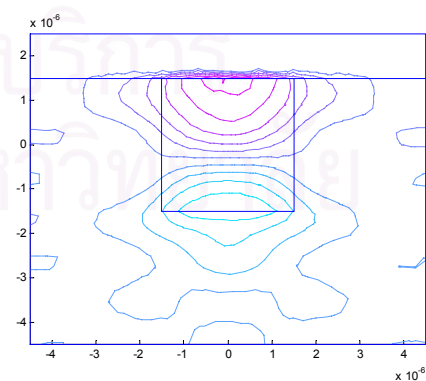
รูปที่ 4.11 (ก)-(ด) สนามไฟฟ้าในท่อนำคลื่นแสงแบบฝังในแผ่นฐานโดยคำนวณด้วยวิธีไฟไนต์อีลีเมนต์ปริมาตรและอัลกอริทึมนิวมาร์กในสมการแบบเวกเตอร์ที่ระยะทางต่างๆ

(ก)  $E_t, z = 80 \mu m$ (ข)  $E_z, z = 80 \mu m$ (ค)  $E_t, z = 100 \mu m$ (ข)  $E_z, z = 100 \mu m$ (ง)  $E_t, z = 200 \mu m$ (ง)  $E_z, z = 200 \mu m$ 

รูปที่ 4.11 (ก)-(ด) (ต่อ) สนามไฟฟ้าในท่อนำคลื่นแสงแบบฝังในแผ่นฐานโดยคำนวณด้วยวิธีไฟไนต์อีลีเมนต์ปริมาตรและอัลกอริทึมนิวมาร์กในสมการแบบเวกเตอร์ที่ระยะทางต่างๆ

(จ)  $E_t$   $z = 300 \mu\text{m}$ (ฉ)  $E_z$   $z = 300 \mu\text{m}$ (ง)  $E_t$   $z = 1000 \mu\text{m}$ (ด)  $E_z$   $z = 1000 \mu\text{m}$ 

รูปที่ 4.11 (ก)-(ด) (ต่อ) สนามไฟฟ้าในท่อนำคลื่นแสงแบบฝังในแผ่นฐานโดยคำนวณด้วยวิธีไฟไนต์อีลีเมนต์ปริมพรอพาเกชันและอัลกอริทึมนิวมาร์กในสมการแบบเวกเตอร์ที่ระยะทางต่างๆ

(ก)  $E_t$ (ข)  $E_z$ 

รูปที่ 4.12 สนามไฟฟ้าในท่อนำคลื่นแสงแบบฝังในแผ่นฐานโดยคำนวณด้วยวิธีไฟไนต์อีลีเมนต์ (ก) สนามตามขวาง (ข) สนามตามแนวแกน

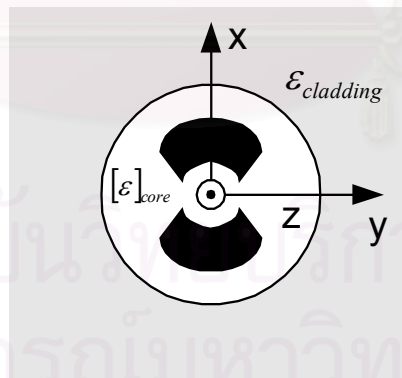
สนามไฟฟ้าที่ไม่ใช่โมดนำแผ่พลังงานออกไปดังรูป  $E_z$  ที่ระยะ 40, 80 และ 100  $\mu\text{m}$  โดยชั้นดูดซับทำการดูดซับคลื่นแสงไม่ให้เกิดการแพร่กระจายสะท้อนกลับ สนามค่อยๆ แพร่กระจายจนอยู่ในรูปโมดนำ เช่นเดียวกับสนามโมดนำที่คำนวณด้วยวิธีไฟไนต์อีลีเมนต์ (สนามที่คำนวณได้ด้วยวิธีไฟไนต์อีลีเมนต์มีการกระเพื่อมเนื่องจากใช้เงื่อนไขขอบเขตแบบนิวแมนที่ไม่ได้คิดผลการสะท้อนกลับที่ขอบหน้าต่าง) ค่าสนามที่ระยะทาง  $1000 \mu\text{m}$  ไม่เกิดการลู่ออกแสดงให้เห็นว่า อัลกอริทึมนิวมาร์กสามารถคำนวณบนวัสดุแอนไอโซทรอปิกได้

#### 4.4.4 โยแก้วนำแสงแบบ stress-birefringence

ตัวอย่างต่อมาที่จะพิจารณาคือ โยแก้วนำแสงแบบ stress-birefringence (Pinheiro and Hernandez, 2000) ดังรูปที่ 4.13

วัสดุที่ใส่เข้าไปในโยแก้วนำแสงทำให้คุณสมบัติทางไฟฟ้าของโยแก้วนำแสงเปลี่ยนไปโดยทำให้กลายเป็นวัสดุแอนไอโซทรอปิก โดยค่าสภาพยอมไฟฟ้าสัมพัทธ์ของแกนเป็นดังนี้

$$[\epsilon] = \begin{bmatrix} 2.16 & 0 & 0 \\ 0 & 2.162099384 & 0 \\ 0 & 0 & 2.162099384 \end{bmatrix} \quad (4.32)$$

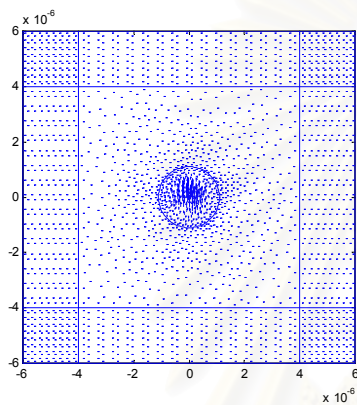


รูปที่ 4.13 โยแก้วนำแสงแบบ stress-birefringence

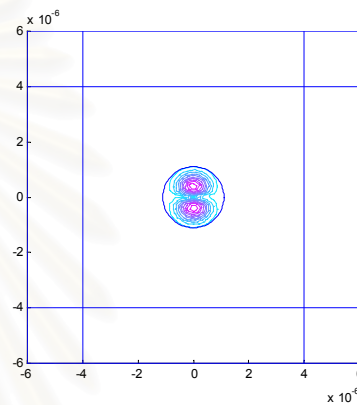
ในขณะที่สภาพยอมไฟฟ้าของเปลือก  $\epsilon_1$  เป็น 2.1257 รัศมีของแกนเป็น  $1.1 \mu\text{m}$  ใช้หน้าต่างการคำนวณเป็น  $(8 \mu\text{m} \times 8 \mu\text{m})$  ป้อนสนามแม่เหล็กอินพุต โดย  $H_x$  เป็นศูนย์  $H_y$  มีการกระจายตัวแบบเกาส์เซียนโดยมีขนาดจุดเป็น  $0.55 \mu\text{m}$  ค่า  $H_z$  หาค่าได้จาก  $H_y$  ด้วยสมการแมกซ์เวลล์ สนามอินพุตเป็นดังรูปที่ 4.14 ใช้ความยาวคลื่นแสง  $\lambda = 0.829 \mu\text{m}$ , เลือกดัชนีหักเหอ้างอิง

$n_0 = 1.458$ , เลือกระยะชั้นในการคำนวณ  $\Delta z = 1 \mu m$ , สัมประสิทธิ์นิวมาร์ก  $\beta = 2.25$ ,  $\gamma = 2.5$  คำนวณเป็นระยะทาง  $1000 \mu m$

เงื่อนไขขอบเขตที่ใช้เป็นแบบPML จากการคำนวณพบว่าแม่วัสดุจะเป็นแบบแอนไอโซทรอปิกแต่เราพบว่าวัสดุที่ติดกับผนังดูดซับเป็นวัสดุไอโซทรอปิกดังนั้นถ้าเลือกค่าพารามิเตอร์  $s = 2 - j$  จะทำให้ระบบไม่เสถียรเกิดการลู่ออก ดังนั้นควรเลือกใช้ค่าพารามิเตอร์สำหรับวัสดุไอโซทรอปิกคือ  $s = 1 - j$  หรือ  $s = 1 - 8j$  ในที่นี้เลือกพารามิเตอร์  $s$  เป็น  $1 - j$  โดยความหนาของชั้นดูดซับเป็น  $2 \mu m$  ในชั้นดูดซับใช้อีลีเมนต์ที่มีรูปร่างสม่ำเสมอจำนวน 8 อีลีเมนต์

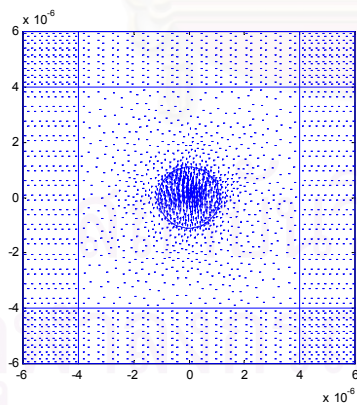


(ก)  $H_x$

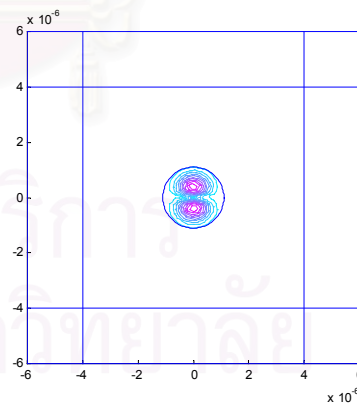


(ข)  $H_z$

รูปที่ 4.14 สนามแม่เหล็กอินพุต (ก) สนามแม่เหล็กตามขวาง (ข) สนามแม่เหล็กตามแนวแกน

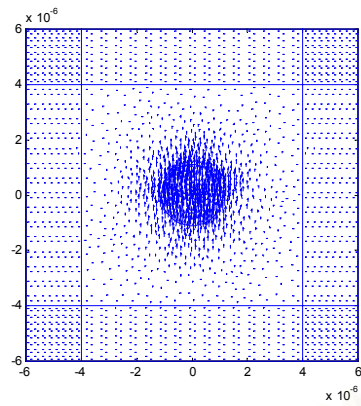
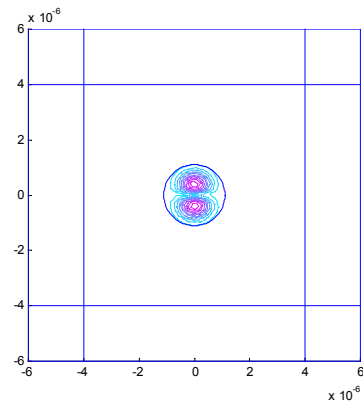
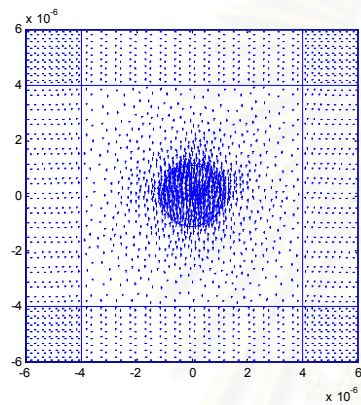
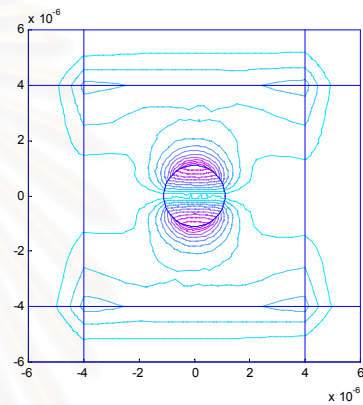
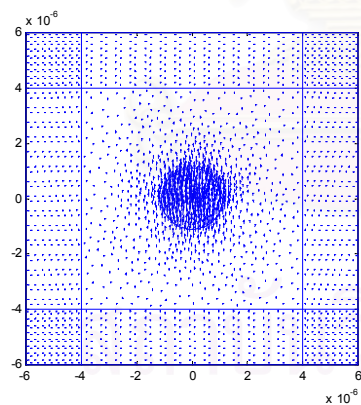
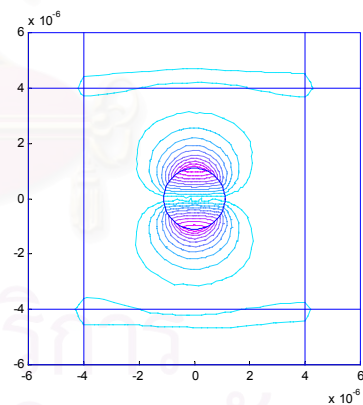


(ก)  $H_x, z = 4 \mu m$

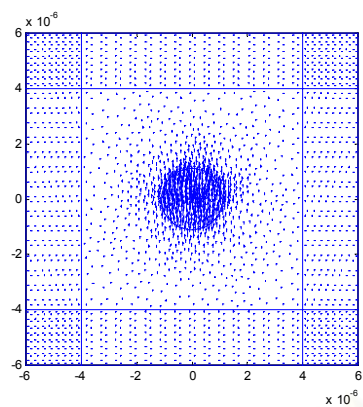


(ข)  $H_z, z = 4 \mu m$

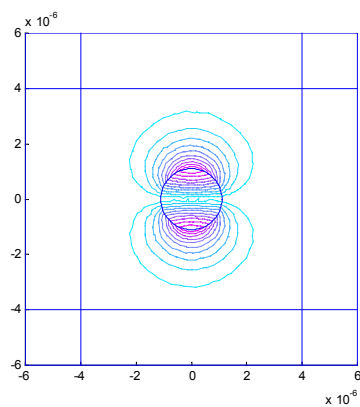
รูปที่ 4.15 (ก)-(ง) สนามแม่เหล็กในใยแก้วนำแสงแบบ stress-birefringence โดยคำนวณด้วยวิธีไฟไนต์อีลีเมนต์ปริมาตรสามเหลี่ยมและอัลกอริทึมนิวมาร์กในสมการเวกเตอร์ที่ระยะทางต่างๆ

(ค)  $H_t$   $z = 10 \mu\text{m}$ (ง)  $H_z$   $z = 10 \mu\text{m}$ (จ)  $H_t$   $z = 40 \mu\text{m}$ (ฉ)  $H_z$   $z = 40 \mu\text{m}$ (ช)  $H_t$   $z = 60 \mu\text{m}$ (ฐ)  $H_z$   $z = 60 \mu\text{m}$ 

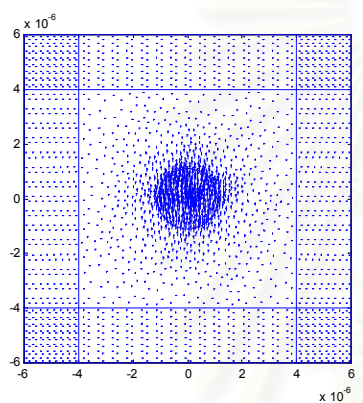
รูปที่ 4.15 (ก)-(ฎ) (ต่อ) สนามแม่เหล็กในใยแก้วนำแสงแบบ stress birefringence โดยคำนวณด้วยวิธีไฟไนต์อีลีเมนต์ปริมพรวดพาเกินและอัลกอริทึมนิวมาร์กในสมการเวกเตอร์ที่ระยะทางต่างๆ



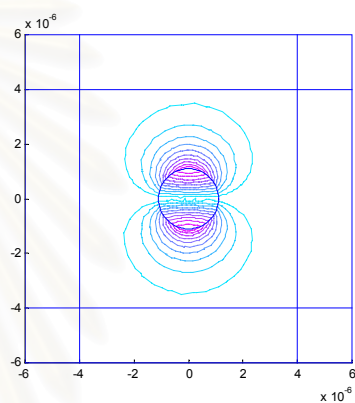
(ฉ)  $H_x, z = 80 \mu\text{m}$



(ญ)  $H_z, z = 80 \mu\text{m}$

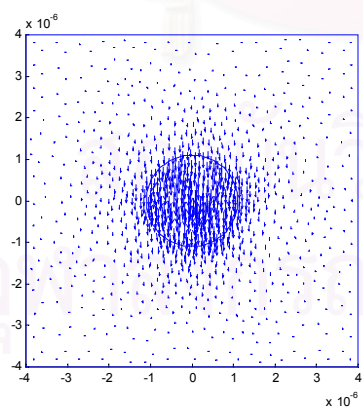


(ง)  $H_x, z = 1000 \mu\text{m}$

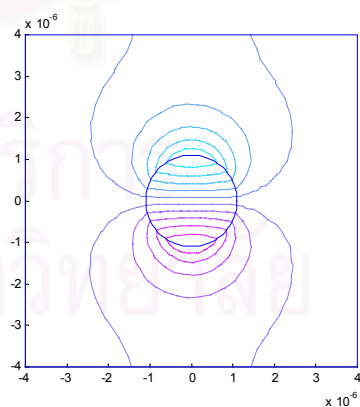


(ฉ)  $H_z, z = 1000 \mu\text{m}$

รูปที่ 4.15 (ก)-(ง) (ต่อ) สนามแม่เหล็กในใยแก้วนำแสงแบบ stress-birefringence โดยคำนวณด้วยวิธีไฟไนต์อีลีเมนต์ที่มีพหุคูณพหุคูณและอัลกอริทึมนิวมาร์กในสมการเวกเตอร์ที่ระยะทางต่างๆ



(ก)  $H_x$



(ข)  $H_z$

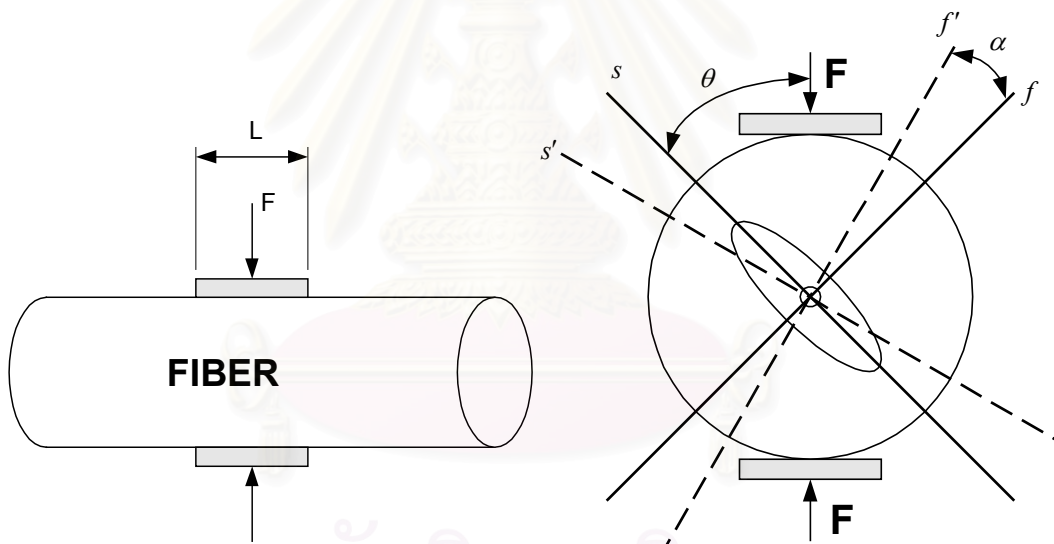
รูปที่ 4.16 สนามแม่เหล็กในใยแก้วนำแสงแบบ stress-birefringence ที่คำนวณด้วยวิธีไฟไนต์อีลีเมนต์ (ก) สนามตามขวาง (ข) สนามตามแนวแกน



สนามแม่เหล็กที่คำนวณด้วยวิธีไฟไนต์อีลีเมนต์บีบพรอพาเกชันอัลกอริทึมนิวมาร์กแสดงดังรูปที่ 4.15 การคำนวณพบว่าสนามแม่เหล็กตามขวางลู่เข้าสู่โมดนำได้เร็วกว่าสนามแม่เหล็กตามยาว นอกจากนี้เงื่อนไขขอบเขตแบบPMLสามารถดูดกลืนสนามได้ดีป้องกันการสะท้อนกลับของคลื่นได้ดี ค่าตอบของสนามที่ระยะ  $1000 \mu\text{m}$  มีรูปร่างใกล้เคียงกับโมดนำในรูปที่ 4.16 ที่คำนวณจากวิธีไฟไนต์อีลีเมนต์ (สาเหตุที่รูปทั้งสองต่างกันเล็กน้อยมาจากเงื่อนไขขอบเขตที่ใช้ต่างกัน) ค่าตอบที่ได้มีเสถียรภาพไม่เกิดคำตอบที่ลู่ออก แสดงให้เห็นว่าอัลกอริทึมนิวมาร์กสามารถคำนวณสนามแม่เหล็กได้เช่นเดียวกัน

#### 4.4.5 ไยแก้วนำแสงแบบ stress birefringence ที่ได้รับแรงกดจากภายนอก

ตัวอย่างต่อมาจะทำการวิเคราะห์ไยแก้วนำแสงแบบ stress birefringence ดังรูปที่ 4.17 (Pinheiro, Barbero, and Hernandez, 2000) ซึ่งทำให้ค่ายอมไฟฟ้าสัมพัทธ์มีสมาชิกนอกแนวทแยงมุม



รูปที่ 4.17 ไยแก้วนำแสงแบบ stress birefringence โดยได้รับแรงกดจากภายนอก  $F$  ทำมุมกับแกน slow เป็นมุม  $\theta$  ทำให้เกิดการรบกวนของแกน slow และแกน fast ทำให้เคลื่อนไปเป็นมุม  $\alpha$

เมื่อมีแรง  $F$  เป็นแรงกดจากภายนอกทำให้เกิด birefringence ภายนอกส่งผลให้แกนแสงเคลื่อนออกไปเป็นมุม  $\alpha$  โดยมีความสัมพันธ์ตามสมการ (4.33)

$$\tan(2\alpha) = \frac{k \sin(2\theta)}{1 - k \cos(2\theta)} \quad (4.33)$$

โดยที่  $k = B_{ext} / B_{int}$   $B_{ext}$  คือ birefringence จากภายนอก และ  $B_{int}$  คือ birefringence จากภายใน โดยมีสูตรคือ  $B_{int} = \beta_s - \beta_f$

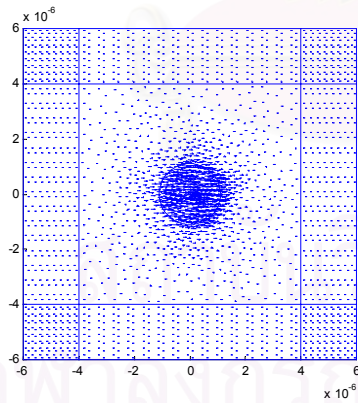
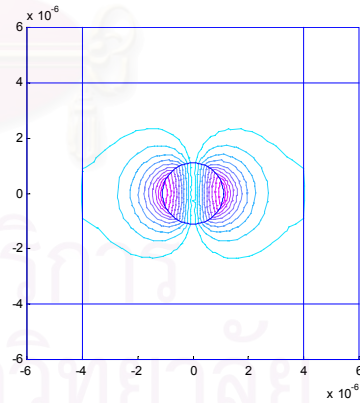
$\beta_s$  คือค่าคงที่การแพร่กระจายของ slow polarization mode และ  $\beta_f$  คือ ค่าคงที่การแพร่กระจายของ fast polarization mode ในตัวอย่างนี้เราใช้ค่า  $k = 0.17$  ใช้ความยาวคลื่น  $\lambda = 0.829 \mu\text{m}$  โดยดัชนีหักเหของแกนเป็น  $\epsilon_{xx}^0 = 2.16$ ,  $\epsilon_{yy}^0 = \epsilon_{zz}^0 = 2.162099384$ , ค่าดัชนีหักเหของเปลือกเท่ากับ  $\epsilon_c = 2.1257$ , ใช้ระยะชั้นในการคำนวณเท่ากับ  $\Delta z = 1 \mu\text{m}$ , ใช้มุมการให้แรงกดกับแกน slow  $\theta = 40^\circ$  โดยใช้สูตรการคำนวณหาค่าสภาพยอมสัมพัทธ์ดังสมการ (4.34)

$$\epsilon_{xx} = \epsilon_{xx}^0 \cos^2 \alpha + \epsilon_{yy}^0 \sin^2 \alpha \quad (4.34a)$$

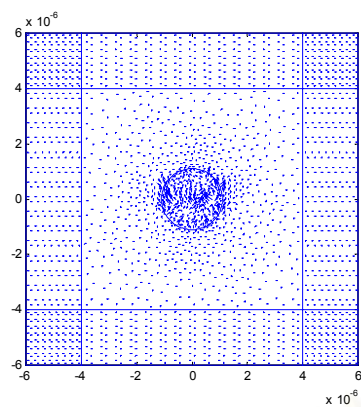
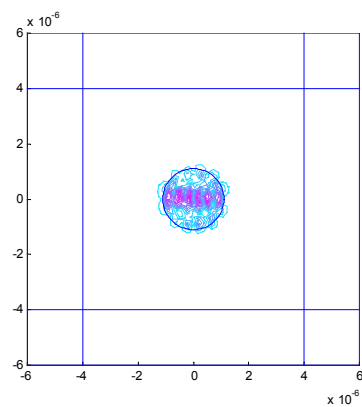
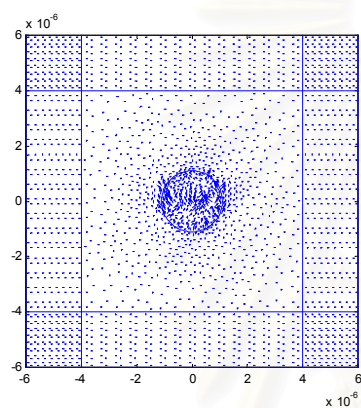
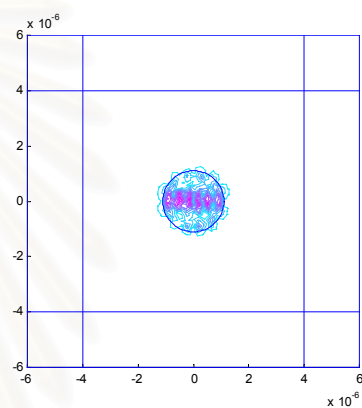
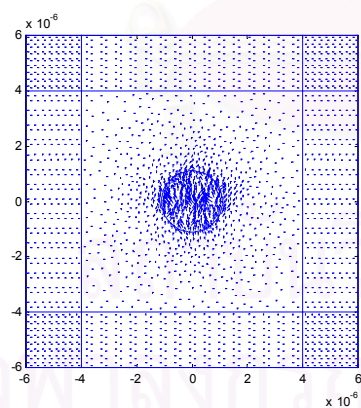
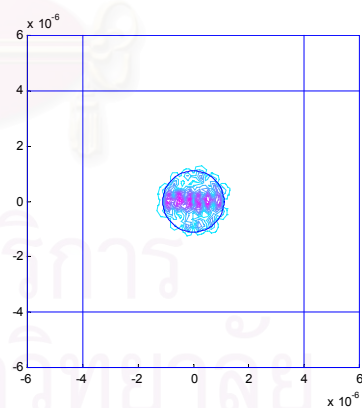
$$\epsilon_{yy} = \epsilon_{xx}^0 \cos^2 \alpha + \epsilon_{yy}^0 \cos^2 \alpha \quad (4.34b)$$

$$\epsilon_{zz} = \epsilon_{zz}^0, \epsilon_{xy} = \epsilon_{yx} = (\epsilon_{xx}^0 - \epsilon_{yy}^0) \sin \alpha \cos \alpha \quad (4.34c)$$

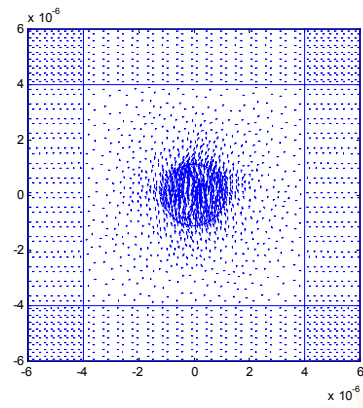
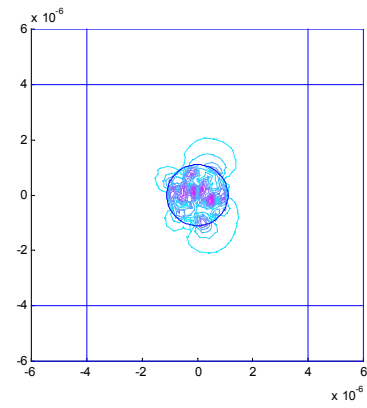
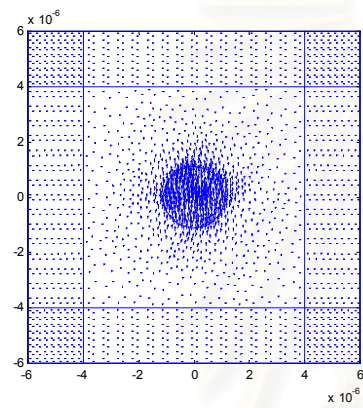
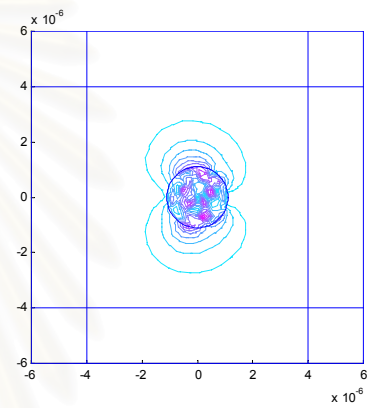
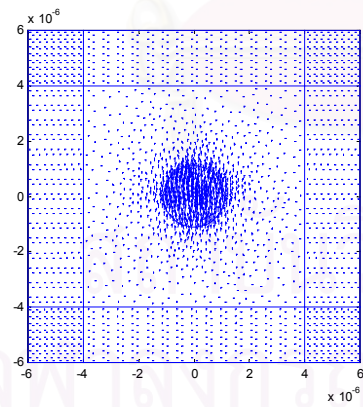
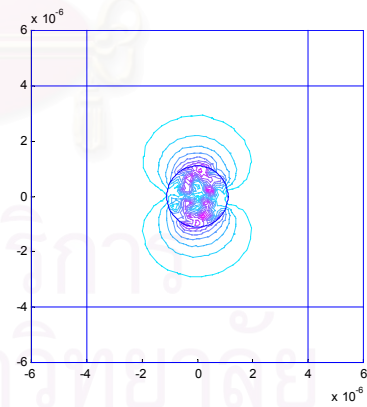
ใช้ค่าดัชนีหักเหอ้างอิง  $n_0$  เป็น 1.458, ใช้ค่าพารามิเตอร์นิวมาร์กเป็น  $\beta = 2.25$   $\gamma = 2.5$  ใช้ชั้นดูดซับแบบคงที่  $s = 1 - j$ , ความหนาของชั้นดูดซับเป็น  $2 \mu\text{m}$ , ในชั้นดูดซับใช้อีลีเมนต์สมมาตรจำนวน 8 อีลีเมนต์ป้อนสนามอินพุตด้วย  $HE_{11}^x$  โมดดังรูปที่ 4.18

(ก)  $H_t$ (ข)  $H_z$ 

รูปที่ 4.18 สนามอินพุต  $HE_{11}^x$  (ก) สนามแม่เหล็กตามขวาง (ข) สนามแม่เหล็กตามยาว

(ก)  $H_x$  250  $\mu m$ (ข)  $H_z$  250  $\mu m$ (ค)  $H_x$  500  $\mu m$ (ง)  $H_z$  500  $\mu m$ (จ)  $H_x$  1000  $\mu m$ (ฉ)  $H_z$  1000  $\mu m$ 

รูปที่ 4.19 สนามแม่เหล็กไนเอยแก้วนำแสงแบบ stress birefringence ที่โดนแรง  
บีบจากภายนอกในระยะทางต่างๆ

(ข)  $H_x$  1500  $\mu\text{m}$ (ค)  $H_z$  1500  $\mu\text{m}$ (ฅ)  $H_x$  1750  $\mu\text{m}$ (ฉ)  $H_z$  1750  $\mu\text{m}$ (จ)  $H_x$  2000  $\mu\text{m}$ (ฉ)  $H_z$  2000  $\mu\text{m}$ 

รูปที่ 4.19 (ต่อ) สนามแม่เหล็กในใยแก้วนำแสงแบบ stress birefringence ที่  
โดนแรงบีบจากภายนอกในระยะทางต่างๆ

สนามแม่เหล็กที่คำนวณด้วยวิธีไฟไนต์อีลีเมนต์ปริมพรวดพาเกชันและอัลกอริทึมนิวมาร์กแสดงดังรูปที่ 4.19 การคำนวณพบว่าสนามแม่เหล็กตามขวางเปลี่ยนแปลงจากโหมด  $HE_{11}^x$  ไปเป็นโหมด  $HE_{11}^y$  ได้ที่ระยะทางประมาณ  $2000 \mu\text{m}$  แสดงให้เห็นว่าวิธีนิวมาร์กสามารถนำมาใช้กับวัสดุแอนไอโซทรอปิกที่มีสมาชิกนอกแนวทแยงมุมได้ (off-diagonal) นอกจากนี้เงื่อนไขขอบเขตแบบPMLสามารถดูดกลืนสนามได้ดีและป้องกันการสะท้อนกลับของคลื่นได้ดี คำตอบที่ได้มีเสถียรภาพไม่เกิดคำตอบที่ลู่ออก แสดงให้เห็นว่าอัลกอริทึมนิวมาร์กและเงื่อนไขขอบเขตที่เลือกมามีค่าเหมาะสม

#### 4.5 สรุป

ในบทนี้นำวิธีไฟไนต์อีลีเมนต์ปริมพรวดพาเกชันอัลกอริทึมนิวมาร์กมาคำนวณในสมการแบบเวกเตอร์โดยใช้ฟังก์ชันแบบอีลีเมนต์ขอบเป็นฟังก์ชันฐานของสนามตามขวางและใช้ฟังก์ชันแบบอีลีเมนต์โนดเป็นฟังก์ชันฐานของสนามตามแนวแกน สูตรที่ใช้ในการคำนวณคือแบบกาลเลอคิน การคำนวณได้ทำการทดลองและหาเงื่อนไขของเสถียรภาพของอัลกอริทึมนิวมาร์กโดยการปรับแต่งค่า  $\beta, \gamma, \Delta z, n_0, k_0$  เพื่อให้ระบบมีเสถียรภาพ ค่าพารามิเตอร์นิวมาร์กที่เลือกใช้ในสมการแบบเวกเตอร์คือ  $\gamma = 2.5$  และ  $\beta = 2.25$  ซึ่งทำให้การคำนวณเสถียรไม่มีการลู่ออก เงื่อนไขขอบเขตที่ใช้ในการป้องกันคลื่นสะท้อนกลับคือ เงื่อนไขขอบเขตแบบPMLโดยเลือกค่า พารามิเตอร์  $s$  ให้มีค่าคงที่ไม่แปรตามทิศทางเพื่อหลีกเลี่ยงการทำอินทิเกรตเชิงตัวเลข นอกจากนี้ทำการพิจารณาค่าพารามิเตอร์  $s$  ที่เหมาะสมกับชนิดของวัสดุโดยไม่ทำให้คำตอบเกิดการลู่ออก ในบทนี้เราเลือกค่า  $s = 1 - j$  หรือ  $s = 1 - 8j$  มาใช้งานในกรณีท่อนำคลื่นแสงที่มีดัชนีหักเหที่ติดกับผนังชั้นดูดซับเป็นแบบไอโซทรอปิก ในขณะที่เลือก  $s = 2 - j$  ในกรณีที่ดัชนีหักเหที่ติดกับผนังดูดซับเป็นวัสดุแบบแอนไอโซทรอปิก ตัวอย่างที่นำมาวิเคราะห์ คือ ท่อนำคลื่นแสงแบบบริบ, ท่อนำคลื่นแสงแบบบริบรูปตัววาย, ท่อนำคลื่นแสงแบบฝังในซับสเตรต, โยแก้วนำแสงแบบstress-birefringence และโยแก้วนำแสงแบบ stress-birefringence ที่ได้รับแรงกดจากภายนอก ผลการคำนวณพบว่าเมื่อเลือกค่าพารามิเตอร์ที่เหมาะสมและใช้เงื่อนไขขอบเขตที่เหมาะสมกับชนิดของวัสดุ อัลกอริทึมนิวมาร์กสามารถให้ผลการคำนวณที่ดีและมีเสถียรภาพ ทั้งคำนวณแบบสนามไฟฟ้าหรือคำนวณแบบสนามแม่เหล็กนอกจากนี้ยังสามารถใช้งานในสมการเวกเตอร์ในวัสดุแบบไอโซ-ทรอปิกและแอนไอโซทรอปิกอีกด้วย

## สรุปผลการวิจัย และข้อเสนอแนะ

### สรุปผลการวิจัย

ในวิทยานิพนธ์นี้ นำอัลกอริทึมนิวมาร์กที่ใช้ในงานไฟไนต์อีลีเมนต์โดเมนเวลามา แก้ไขปัญหาในวิธีปริมาตรพหุภาคเช่นแทนวิธีปาเดในแบบเดิม จากผลการคำนวณสามารถสรุปได้ว่า อัลกอริทึมนิวมาร์กสามารถใช้งานได้ในท่อนำคลื่นแสง 2 และ 3 มิติ ทั้งในรูปแบบการสเกลาร์และสมการเวกเตอร์ และในวัสดุแอนไอโซทรอปิก รวมทั้งในเงื่อนไขขอบเขตแบบโปร่งใส และ เงื่อนไขขอบเขตแบบPML

เมื่อเปรียบเทียบผลการคำนวณระหว่างวิธีปาเดและนิวมาร์กพบว่าวิธีการปาเดให้ผลการคำนวณที่ละเอียดแม่นยำกว่าเล็กน้อยอันมีสาเหตุมาจากวิธีปาเดเป็นการประมาณแบบเศษส่วน ในขณะที่วิธีนิวมาร์กเป็นการประมาณแบบโพลีโนเมียล เราพบว่าการประมาณแบบเศษส่วนจะให้ผลการประมาณที่ดีกว่าการประมาณแบบโพลีโนเมียล อย่างไรก็ตามวิธีนิวมาร์กอยู่ในรูปสมการที่ง่ายกว่าวิธีปาเด อีกทั้งมีพารามิเตอร์ในการปรับค่าถึง 2 ตัว คือ  $\beta$  และ  $\gamma$  ทำให้อยู่ในรูปทั่วไปได้ดีกว่า สามารถปรับแต่งได้ง่ายทำให้ในบางกรณีสามารถป้องกันการลู่ออกของคำตอบได้ในขณะที่วิธีปาเดไม่สามารถป้องกันได้ และในบางกรณีสมการในวิธีปาเดไม่สามารถจัดให้อยู่ในรูปง่ายได้

เงื่อนไขขอบเขตที่นำมาใช้ในงานวิทยานิพนธ์นี้มี 2 แบบ คือ เงื่อนไขขอบเขตแบบโปร่งใส และ เงื่อนไขขอบเขตแบบPML จากผลการคำนวณพบว่าเงื่อนไขขอบเขตแบบPML สามารถดูดกลืนคลื่นได้ดีกว่าเงื่อนไขขอบเขตแบบโปร่งใส โดยเฉพาะในกรณีที่มุมตกกระทบของคลื่นมีค่ากว้างมากๆ อย่างไรก็ตามเงื่อนไขขอบเขตแบบPMLมีความยุ่งยากในการเลือกค่าพารามิเตอร์มากกว่า โดยต้องคำนึงถึงพารามิเตอร์มากมายเช่น ทิศทางในการดูดซับ, ชนิดของวัสดุ, ความหนาของชั้นดูดซับ, ฟังก์ชันการลดทอน, จำนวนอีลีเมนต์ในชั้นดูดซับ, สัมประสิทธิ์การสะท้อนตามทฤษฎี เป็นต้น นอกจากนี้ยังต้องสร้างชั้นดูดซับที่มีความหนาพอสมควรและมีอีลีเมนต์ในชั้นดูดซับพอสมควรถึงจะดูดซับคลื่นตกกระทบได้ จึงทำให้ต้องเพิ่มจำนวนโนดมากขึ้น ทำให้สิ้นเปลืองหน่วยความจำมากขึ้นโดยเฉพาะอย่างยิ่งในสมการเวกเตอร์ปริมาตรพหุภาคเช่น

สำหรับการวิเคราะห์สมการเวกเตอร์ปริมาตรพหุภาคเช่นในวัสดุแอนไอโซทรอปิกโดยใช้การประมาณในสมการ (4.11) ทำให้ค่าของ  $p_{zx}, p_{zy}, p_{xz}, p_{yz}, q_{xz}, q_{yz}, q_{zx}, q_{zy}$  ไม่ถูกนำมาใช้

ในการคำนวณ เนื่องจากการพิจารณาสมการที่ใช้ค่า  $p$  และ  $q$  เต็มทุกเทอมพบว่าให้คำตอบที่ลู่ออกอย่างไรก็ตามค่า  $p$  และ  $q$  ในเทอมที่ละเลยนี้มีค่าน้อยมากเมื่อเทียบกับสมาชิกในแนวทแยงมุม ดังนั้นจึงสามารถละเลยได้

เสถียรภาพของระบบเป็นปัญหาที่สำคัญในการคำนวณด้วยวิธีปริมาตรพหุคูณ โดยการใช้การพิจารณาตามบทที่ 4 โดยต้องเลือกค่า  $\beta$ ,  $\gamma$ ,  $\Delta z$ ,  $k_0$  และ  $n_0$  ให้เหมาะสมโดยต้องอาศัยการสังเกตและประสบการณ์ในการวิเคราะห์ในการปรับแต่งค่า

จากเงื่อนไขขอบเขตแบบ PML ที่กล่าวไว้ในเบื้องต้นพบว่าต้องใส่ชั้นดูดซับเพื่อดูดกลืนคลื่นแสงและในชั้นดูดซับต้องมีจำนวนอีลีเมนต์มากพอสมควร ทำให้เพิ่มจำนวนโนดในการคำนวณเพิ่มขึ้น จากตัวอย่างการคำนวณสมการเวกเตอร์ในท่อนำคลื่นแสงหลิบริบูรณ์รูปตัววายมีโนดที่ใช้ในการคำนวณทั้งหมด 7629 โหนดนั้นหมายความว่าต้องการหน่วยความจำในการเก็บข้อมูลที่เป็นจำนวนเชิงซ้อนในเมทริกซ์  $7629 \times 7629$  ทั้งหมด 931 Mb โดยการคำนวณต้องการทั้งหมด 10 เมทริกซ์ดังนั้นต้องใช้หน่วยความจำทั้งหมด 10 Gb ซึ่งไม่สามารถหาหน่วยความจำในการคำนวณขนาดนี้ได้ แต่เราพบว่าเมทริกซ์ในวิธีไฟไนต์อีลีเมนต์ร้อยละ 99.84 เป็นศูนย์ ถ้าเราใช้หลักการสเปิร์สเมทริกซ์ คือเก็บเฉพาะค่าที่ไม่ใช่ศูนย์จะลดความต้องการหน่วยความจำเหลือเพียง 1.5 Gb เท่านั้น ซึ่งประหยัดหน่วยความจำและช่วยลดเวลาในการคำนวณลง ดังนั้นในวิทยานิพนธ์นี้จึงนำหลักการสเปิร์สเมทริกซ์ (sparse matrix) มาใช้

### ข้อเสนอแนะ

ในวิทยานิพนธ์นี้การคำนวณท่อนำคลื่นแสงแบบแอนไอโซทรอปิก(ที่มีการประมาณเทอมเข้ามาช่วย) ในงานวิจัยต่อไปสามารถทำการวิจัยท่อนำคลื่นแสงแบบแอนไอโซทรอปิกแบบทั่วไป นอกจากนั้นอาจขยายงานวิจัยไปที่วัสดุที่มีความสูญเสีย, วัสดุไม่เป็นเชิงเส้น, วัสดุที่แปรตามความถี่, วัสดุไบแอนไอโซทรอปิก เป็นต้น

นอกจากที่กล่าวมา งานวิจัยที่น่าสนใจคือการพิจารณาเงื่อนไขขอบเขตโปร่งใสในสมการแบบเวกเตอร์ โดยถึงแม้ว่าเงื่อนไขขอบเขตโปร่งใสจะไม่สามารถดูดกลืนคลื่นที่มีมุมตกกระทบกว้าง แต่เงื่อนไขขอบเขตไม่ต้องการปรับแต่งพารามิเตอร์การคำนวณ, ไม่ขึ้นกับชนิดของวัสดุการคำนวณ และไม่ต้องเพิ่มจำนวนตัวแปรในการคำนวณ ทำให้ประหยัดหน่วยความจำและเวลาการคำนวณ

นอกจากนี้งานในวิทยานิพนธ์นี้ยังไม่ให้ความสำคัญกับการปรับค่า (adaptive) โดยอาจนำการปรับค่าในทุกๆขั้นการแพร่กระจายมาพิจารณา ยกตัวอย่างการปรับแต่งรูปร่างอีลีเมนต์, การปรับแต่งระยะขั้นการคำนวณ การปรับแต่งค่าดัชนีหักเหอ้างอิง เป็นต้น



สถาบันวิทยบริการ  
จุฬาลงกรณ์มหาวิทยาลัย



## รายการอ้างอิง

- Arai, Y., Maruta, A., and Matsuhara, M. Transparent boundary for the finite-element beam-propagation method. Optics Letters 18, 10 (May 1993): 765-766.
- Berenger, J.P. A perfectly matched layer for the absorption of electromagnetic waves. Journal of Computational Physics 114, 2 (October 1994): 185-200.
- Berenger, J.P. Three-dimensional perfectly matched layer for the absorption of electromagnetic waves. Journal of Computational Physics 127 (1996): 363-379.
- Chew, W.C., and Weedon, W.H. A 3d perfectly matched medium from modified maxwell's equations with stretched coordinates. Microwave and Optical Technology Letters 7, 13 (September 1994): 599-604.
- Chung, Y., and Dagli, N. An assessment of finite difference beam propagation method. IEEE Journal of Quantum Electronics 26, 8 (August 1990): 1335-1339.
- Cucinotta, A., Pelosi, G., Selleri, S., Vincetti, L. and Zoboli, M. Perfectly matched anisotropic layers for optical waveguide analysis through the finite-element beam-propagation method. Microwave and Optical Technology Letters 23, 2 (October 1999): 67-69.
- Erdmann, A., and Hertel, P. Beam-propagation in magneto-optic waveguides. IEEE Journal of Quantum Electronics 31, 8 (August 1995): 1510-1516.
- Fang, J., and Wu, Z. Generalized perfectly matched layer an extension of berenger's perfectly matched layer boundary condition. IEEE Microwave and Guided Wave Letters 5, 12 (December 1995): 451-453.
- Fang, J., and Wu, Z. Generalized perfectly matched layer for the absorption of propagating and evanescent waves in lossless and lossy media. IEEE Transactions on Microwave Theory and Technique 44, 12 (December 1996): 2216-2222.
- Feit, M.D., and Fleck, J.A.Jr. Light propagation in graded-index optical fibers. Applied Optics 17, 24 (December 1978): 3990-3998.

- Garcia, S.G., Perez, I.V., Martin, R.G., and Olmendo, B.G. Applicability of the pml absorbing boundary condition to dielectric anisotropic Media. Electronic Letters 32, 14 (July 1996): 1270-1271.
- Gedney, S.D., An anisotropic perfectly matched layer-absorbing medium for the truncation of fdtd lattices. IEEE Transactions on Antennas and Propagation 44, 12 (December 1996): 1630-1639.
- Hadley, G.R. Transparent boundary condition for beam propagation. Optics Letters 16, 9 (May 1991): 824-826.
- Hadley, G.R. Wide-angle beam propagation using pade' approximant operators. Optics Letters 17, 20 (October 1992): 1426-1428.
- Hernandez-Figueroa, H.E. Nonlinear nonparaxial beam-propagation method. Electronic Letters 30, 4 (February 1994): 352-353.
- Hernandez-Figueroa, H.E. Simple nonparaxial beam-propagation method for integrated optics. Journal of Lightwave Technology 12, 4 (April 1994): 644-649.
- Huang, W.P., Xu, C.L., and Yokoyama, K. The perfectly matched layer (pml) boundary condition for the beam propagation method. IEEE Photonics Technology Letters 8, 5 (May 1996): 649-651.
- Katz, D.Z., Thiele, E.T., and Taflove, A. Validation and extension to three dimensions of the berenger pml absorbing boundary condition for fd-td meshes. IEEE Microwave and Guided Wave Letters 4, 8 (August 1994): 268-270.
- Koch, T.B., Davies, J.B., and Wickramasinghe, D. Finite element / finite difference propagation algorithm for integrated optical device. Electronics Letters 25, 8 (April 1989): 514-516.
- Koshiha, M., Hayata, K., and Suzuki, M. Approximate scalar finite-element analysis of anisotropic optical waveguides with off-diagonal elements in a permittivity tensor. Transactions on Microwave Theory and Techniques 32, 6 (June 1984): 587-593.
- Koshiha, M., Saitoh, H., Eguchi, M., and Hirayama, K. Simple scalar finite element approach to optical rib waveguides. Journal of IEEE Proceeding 139, 2 (April 1992): 166-171.

- Koshiba, M., Maruyama, S., and Hirayama, K. A vector finite element method with the high order mixed-interpolation-type triangular elements for optical waveguiding problems. Journal of Lightwave Technology 12, 3 (March 1994): 495-502.
- Koshiba, M., and Tsuji, Y. A wide-angle finite element beam propagation method. IEEE Photonics Technology Letters 8, 9 (September 1996): 1208-1210.
- Koshiba, M., Tsuji, Y., and Hikari, M. Finite element beam propagation method with perfectly matched layer boundary conditions. IEEE Transactions on Magnetics 35, 3 (May 1999): 1482-1485.
- Lee, J.F., Lee, R., and Cangellaris, A. Time-domain finite-element methods. IEEE Transactions on Antennas and Propagation 45, 3 (March 1997): 430-442.
- Maruta, A., Arai, Y., and Matsuhara, M. Transparent boundary for finite element beam-propagation method. Transactions of IEICE J77-C-I (February 1994): 35-40. cited in Tsuji, Y., Koshiba, M., and Shiraishi, T. Finite element beam propagation method for three-dimensional optical waveguide structures. Journal of Lightwave Technology 15, 9 (September 1997): 1728-1734.
- Mitchell, A., Aberle, J.T., Kokotoff, D.M., and Austin, M.W. An anisotropic pml for use with biaxial media. IEEE Transactions on Microwave Theory and Techniques 47, 3 (March 1999): 374-377.
- Mitomi, O., and Kasaya, K. Wide-angle finite-element beam propagation method using 'pade' approximation. Electronics Letters 33, 17 (August 1997): 1461-1462.
- Mitomi, O., and Kasaya, K. An improved semivectorial beam propagation method using a finite-element scheme. IEEE Photonics Technology Letters 10, 12 (December 1998): 1754-1756.
- Mitomi, O., et al. analyzing the polarization dependence in optical spot-size converter by using a semivectorial finite-element beam propagation method. Journal of Lightwave Technology 17, 7 (July 1999): 1255-1262.
- Montanari, E., Selleri, S., Vincetti, L., and Zoboli, M. Finite-element full-vectorial propagation analysis for three-dimensional z-varying optical waveguides. Journal of Lightwave Technology 16, 4. (April 1998): 703-714.
- Nishihara, H., Haruna, M., and Suhara, T. Optical integrated circuits. New York:

McGraw-Hill, 1985.

- Navsariwala, U., and Gedney S.D. An implicit finite element time domain method with unconditional stability [CD-ROM]. Abstract from: IEEE File:0-7803-2719-5/95/\$4.00©1995IEEE.
- Nolting, H.P., and Marz, R. Results of benchmark tests for different numerical bpm algorithms. Journal of Lightwave Technology 13, 2 (February 1995): 216-224.
- Niiyama, A., and Koshiha, M. Three-dimensional beam propagation analysis of nonlinear optical fibers and optical logic gates. Journal of Lightwave Technology 16, 1 (January 1998): 162-168.
- Obayya, S.S.A., Rahman, B.M.A., and El, Mikati, H.A. New full-vectorial numerically efficient propagation algorithm based on the finite element method. Journal Lightwave Technology 18, 3 (March 2000): 409-415.
- Pekel, U., and Mittra, R. An application of the perfectly matched layer (pml) concept to the finite element method frequency domain analysis of scattering problems. IEEE Microwave And Guided Wave Letters 5, 8 (August 1995): 258-260.
- Perez, I.V., Garcia, S.G., Martin, R.G., and Olmedo, B.G. Extension of berenger's absorbing boundary conditions to match dielectric anisotropic media. IEEE Microwave and Guided Wave Letters 7, 9 (September 1997): 302-304.
- Pinheiro, H.F., and Hernandez-Figueroa, H.E. Novel finite-element formulation for vectorial beam propagation analysis in anisotropic medium. IEEE Photonics Technology Letters 12, 2 (February 2000): 155-157.
- Pinheiro, H.F., Barbero, A.P.L., and Hernandez-Figueros, H.E. Full-vectorial fe-bpm approach for the analysis of anisotropic mwedium with off-diagonal permittivity terms. Microwave and Optical Technology Letters 25, 1(April 2000): 12-14.
- Polycarpou, A.C., Lyons, M.R. and Balanis, C.A. A two-dimensional finite element formulation of the perfectly matched layer. IEEE Microwave and Guided Wave Letters 6, 9 (September 1996): 338-340.
- Ralson, A. A First course in numerical analysis. Tokyo: McGrawhill, 1965.
- Rappaport, C.M. Perfectly matched absorbing boundary conditions based on anisotropic lossy mapping of space. IEEE Microwave and Guided Wave Letters 5, 3 (March 1995): 90-92.

- Sacks, Z.C., Kingsland, D.M., Lee, R., and Lee, J.F. A perfectly matched anisotropic absorber for use as an absorbing boundary condition. IEEE Transactions on Antennas and Propagation 43, 12 (December 1995): 1460-1463.
- Saitoh, K., Koshiba, M., and Tsyji, Y. Numerical analysis of integrated acoustooptic tunable filters with weighted coupling. Journal of Lightwave Technology 17, 2 (February 1999): 249-254.
- Saitoh, K., Koshiba, M., and Tsuiji, Y. Stress analysis method considering piezoelectric effects and its application to static strain optic devices. Journal of Lightwave Technololgy 17, 9 (September 1999): 1626-1633.
- Saitoh, K., and Koshiba, M. Full-vectorial finite element beam propagation method with perfectly matched layers for anisotropic optical waveguides. Journal of Lightwave Technology 19, 3 (March 2001): 405-413.
- Saitoh, K., and Koshiba, M. Approximation scalar finite-element beam-propagation method with perfectly matched layers for anisotropic optical waveguides. Journal of Lightwave Technology 19, 5 (May 2001): 786-792.
- Schmidt, F. An adaptive approach to the numerical solution of fresnel's wave equation. Journal of Lightwave Technology 11, 9. (September 1993): 1425-1434.
- Schulz, D., Glingener, C., Bludszuweit, M., and Voges, E. Mixed finite element beam propagation method. Journal of Lightwave Technology 16, 7 (July 1998): 1336-1342.
- Selleri, S., Vincetti, L., and Zoboli, M. Full-vector finite-element beam propagation method for anisotropic optical device analysis. IEEE Journal on Quantum Electronics 36, 12 (December 2000): 1392-1401.
- Tamir, T., ed. Guided-Wave Optoelectronics. 2 nd ed. Berlin: Springer-Verlag, 1990.
- Teixeira, F.L., and Chew, W.C. A general approach to extend berenger's absorbing boundary condition to anisotropic and dispersive media. IEEE Transactions on Antennas and Propagation 46, 9 (September 1998): 1386-1387.
- Teixeira, F.L., and Chew, W.C. General closed-form pml constitutive tensors to match arbitrary bianisotropic and dispersive linear media. IEEE Microwave and Guided wave Letters 8, 6 (June 1998): 223-225.

- Tsuji, Y., and Koshiba, M. A finite element beam propagation method for strongly guiding and longitudinally varying optical waveguides. Journal of Lightwave Technology 14, 2 (February 1996): 217-222.
- Tsuji, Y., Koshiba, M., and Tanabe, T. A wide-angle beam propagation method based on a finite element scheme. IEEE Transactions on Magnetics 33, 2 (March 1997): 1544-1547.
- Tsuji, Y., Koshiba, M., and Shiraishi, T. Finite element beam propagation method for three-dimensional optical waveguide structure. Journal of Lightwave Technology 15, 9 (September 1997): 1728-1734.
- Tsuji, Y., Koshiba, M., and Takimoto, N. Finite element beam propagation method for anisotropic optical waveguides. Journal of Lightwave Technology 17, 4 (April 1999): 723-728.
- Tsuji, Y., and Koshiba, M. Adaptive mesh generation for full-vectorial guided-mode and beam-propagation solutions. IEEE Journal of Selected Topics in Quantum Electronics 6, 1 (January 2000): 163-169.
- Tsuji, Y., and Koshiba, M. Guided-mode and leaky-mode analysis by imaginary distance beam propagation method based on finite element scheme. Journal of Lightwave Technology 18, 4 (April 2000): 618-623.
- Volakis, J.L., Chatterjee, A., and Kempel, L.C. Finite Element Method For Electromagnetics. IEEE/OUP Series on Electromagnetic Wave Theory. New York: IEEE PRESS, 1998.
- Wood, W.L. Practical time-stepping schemes. New York: Clarendon Press Oxford, 1990.
- Wu, J.Y., Kingsland, D.M., LEE, J.F., and Lee, R. A comparison of anisotropic pml to berenger's pml and its application to the finite-element method for em scattering. IEEE Transction on Antennas and Propagation 45, 1 (January 1997): 40-50.
- Xiang, F., and Yip, G.L. An explicit and stable finite difference 2-d vector beam propagation method. IEEE Photonics Technology Letters 6, 10 (October 1994): 1248-1250.
- Yasui, T., Koshiba, M., and Tsuji, Y. A wide-angle finite element beam propagation method with perfectly matched layers for nonlinear optical waveguides. Journal

of Lightwave Technology 17, 10 (October 1999): 1909-1915.

Yoneta, S., Koshuba, M., and Tsuji, Y. Combination of beam propagation method and finite element method for optical beam propagation. Journal of Lightwave Technology 17, 11 (November 1999): 2398-2404.

Youssry, Y.B., and Volakis, J.L. Perfectly matched layer termination for finite-element meshes: implementation and application. Microwave and Optical Technology Letters 23, 3, (November 1999): 166-172.

Zhao, A.P., Juntunen, J., and Raisanen, A.V. Material independent pml absorbers for arbitrary anisotropic dielectric media. Electronic Letters 33, 18 (August 1997): 1535-1536.

Zhao, A.P., and Raisanen, A.V. Extension of berenger's pml absorbing boundary conditions to arbitrary anisotropic magnetic media. IEEE Microwave and Guided Wave Letters 8, 1 (January 1998): 15-17.

Zienkiewicz, O.C. A new look at the newmark, houbolt and other time stepping formulas. a weighted residual approach. Earthquake Engineering and Structural Dynamics 5 (1977): 413-418.

Zienkiewicz, O.C., and Taylor, R.L. The finite element method. Volume 2. 4 ed. Solid and fluid mechanics dynamics and non-linearity. London: McGraw-Hill, 1991.

สถาบันวิทยบริการ  
จุฬาลงกรณ์มหาวิทยาลัย



ภาคผนวก

สถาบันวิทยบริการ  
จุฬาลงกรณ์มหาวิทยาลัย



## ภาคผนวก ก

### การประมาณแบบปาเด (Pade Approximation)

#### ก.1 การประมาณแบบปาเด

การประมาณฟังก์ชันเป็นสิ่งที่จำเป็นในการคำนวณเนื่องจากเราไม่สามารถคำนวณทอมเป็นอนันต์ได้ หลักการสำคัญของการประมาณฟังก์ชันคือ 1. ความผิดพลาดต้องพยายามให้มีค่าต่ำที่สุด 2. เวลาในการคำนวณต้องมีความรวดเร็ว การประมาณแบบปาเดเป็นหนึ่งในวิธีการที่มีประสิทธิภาพ โดยการประมาณแบบปาเด (Ralson, 1965) คือการประมาณฟังก์ชันให้อยู่ในรูปเศษส่วน โดยมีนิยามการกระจายทอมดังสมการ (ก.1)

$$f(x) = \frac{P_m(x)}{Q_k(x)} \quad (\text{ก.1})$$

โดยที่

$$P_m(x) = \sum_{j=0}^m a_j x^j = a_0 + a_1 x + \dots + a_m x^m \quad (\text{ก.2.1})$$

$$Q_k(x) = \sum_{j=0}^k b_j x^j, b_0 = 1 \quad (\text{ก.2.2})$$
$$= 1 + b_1 x + b_2 x^2 + \dots + b_k x^k$$

การหาค่าสัมประสิทธิ์  $a_j$  และ  $b_j$  สามารถหาได้ดังนี้ โดยสมการ (ก.3) เป็นฟังก์ชันที่ต้องการทำการประมาณ

$$f(x) = \sum_{j=0}^{\infty} c_j x^j = c_0 + c_1 x + c_2 x^2 + \dots \quad (\text{ก.3})$$

เราสามารถใช้ในการประมาณแบบปาเดมาประมาณฟังก์ชัน  $f(x)$  จากสมการ (ก.1) สามารถเขียนได้ดังนี้

$$f(x) - \frac{P_m(x)}{Q_k(x)} = 0 \quad (\text{ก.4})$$

$$\frac{f(x)Q_k(x) - P_m(x)}{Q_k(x)} = 0 \quad (\text{ก.5})$$

$$\frac{\sum_{j=0}^{\infty} c_j x^j \cdot \sum_{j=0}^k b_j x^j - \sum_{j=0}^m a_j x^j}{\sum_{j=0}^k b_j x^j} = 0 \quad (\text{ก.6})$$

หรือ

$$(c_0 + c_1 x + c_2 x^2 + \dots)(1 + b_1 x + b_2 x^2 + \dots + b_k x^k) - (a_0 + a_1 x + a_2 x^2 + \dots + a_m x^m) = 0 \quad (\text{ก.7})$$

สังเกตว่าการประมาณแบบปาดจะทำให้  $b_0 = 1$  นั่นคือแม้ว่า  $x = 0$  หมด ค่าเศษส่วนก็ยังมีค่าไม่ได้หารด้วยศูนย์ เมื่อคูณกระจายเทอมแรกในสมการ (ก.7) แล้วนำมาเทียบส.ป.ส กับเทอมที่สอง เราก็จะสามารถหาค่า  $a_i$  และ  $b_i$  ได้ทั้งหมด

## ก.2 การประยุกต์ใช้งานกับวิธี BPM

Hadley, 1992 ใช้การประมาณแบบปาดในการแก้ปัญหา wide angle หรือปัญหาที่ท่อนำคลื่นแสงมีรูปร่างเปลี่ยนแปลงมากๆ ตามแกนการแพร่กระจาย โดย Hadley ใช้การประมาณแบบปาดในการลดอนุพันธ์อันดับสองให้เหลือเพียงอนุพันธ์อันดับหนึ่ง เริ่มคำนวณจากสมการคลื่นที่อยู่ในรูปอนุพันธ์อันดับสองดังนี้

$$-\frac{i}{2k} \frac{\partial^2 H}{\partial z^2} + \frac{\partial H}{\partial z} - \frac{iP}{2k} H = 0 \quad (\text{ก.8})$$

โดยที่

$$P = k_0^2 \left[ \frac{\epsilon(\bar{x})}{\epsilon_0} - \bar{n}^2 \right] + \nabla_{\perp}^2 \quad (\text{ก.9})$$

จากสมการ (ก.8) สามารถแก้สมการหาค่าตอบของสมการอนุพันธ์ได้ดังนี้

$$\frac{\partial H}{\partial z} = i(\sqrt{P + k^2} - k)H \quad (\text{ก.10})$$

นำการประมาณแบบปาดามาแก้ปัญหามองสมการ (ก.10) ในรูปเศษส่วนดังนี้

$$\frac{\partial H}{\partial z} = \frac{iN}{D} H \quad (\text{ก.11})$$

$N$  และ  $D$  เป็นโพลีโนเมียลในรูปของ  $P$

โดยสามารถใช้อนุกรมเทเลอร์กระจายเทอมออกมาได้ดังนี้

$$f(P) = f(0) + f'(0)P + \frac{f''(0)}{2!} P^2 + \frac{f'''(0)}{3!} P^3 + \frac{f^{(4)}(0)}{4!} P^4 + \frac{f^{(5)}(0)}{5!} P^5 + \frac{f^{(6)}(0)}{6!} P^6 \quad (\text{ก.12})$$

ในที่นี้ทำการกระจายเทอมทางขวามือของสมการ (ก.10) โดยกระจายแค่ 7 เทอม

โดยที่

$$f(P) = \sqrt{P^2 + k^2} - k \quad f^{(7)}(P) = -\frac{15}{6} (P + k^2)^{-\frac{7}{2}} \quad (\text{ก.13})$$

$$f'(P) = \frac{1}{2} (P + k^2)^{-\frac{1}{2}} \quad f^{(8)}(P) = \frac{105}{32} (P + k^2)^{-\frac{9}{2}}$$

$$f''(P) = -\frac{1}{4} (P + k^2)^{-\frac{3}{2}} \quad f^{(9)}(P) = -\frac{945}{64} (P + k^2)^{-\frac{11}{2}}$$

$$f^{(3)}(P) = \frac{3}{8} (P + k^2)^{-\frac{5}{2}}$$

ที่จุด  $P = 0$

$$f(0) = 0 \quad f^{(7)}(0) = -\frac{15}{16} k^{-7} \quad (\text{ก.14})$$

$$f'(0) = \frac{k^{-1}}{2} \quad f^{(8)}(0) = \frac{105}{32} k^{-9}$$

$$f''(0) = -\frac{1}{4} k^{-3} \quad f^{(9)}(0) = -\frac{945}{64} k^{-11}$$

$$f^{(3)}(0) = \frac{3}{8} k^{-5}$$

ดังนั้นสามารถกระจายอนุกรมเทเลอร์ของฟังก์ชันทางขวามือของสมการ (ก.10)

ออกมา 7 เทอมได้ดังนี้

$$f(P) = \frac{P}{2k} - \frac{P^2}{8k^3} + \frac{P^3}{16k^5} - \frac{15P^4}{384k^7} + \frac{7P^5}{256k^9} - \frac{21P^6}{1024k^{11}}$$

(ก.15)

ในที่นี้จะประมาณฟังก์ชันในสมการ (ก.15) ด้วยการประมาณแบบปาเด (3,3) ดังนั้นสามารถเขียนฟังก์ชันได้เป็น

$$f(P) = \frac{a_0 + a_1x + a_2x^2 + a_3x^3}{1 + b_1x + b_2x^2 + b_3x^3} \quad (\text{ก.16})$$

จากสมการ (ก.16) และ (ก.6) สามารถเขียนได้ดังนี้

$$\frac{f(P)(1 + b_1P + b_2P^2 + b_3P^3) - (a_0 + a_1P + a_2P^2 + a_3P^3)}{(1 + b_1P + b_2P^2 + b_3P^3)} = 0 \quad (\text{ก.17})$$

กระจายเทอมแรกและเทียบค่าสัมประสิทธิ์กับเทอมที่สองได้ดังนี้

$$0 = a_0 \quad (\text{ก.18.1})$$

$$\frac{1}{2k} = a_1 \quad (\text{ก.18.2})$$

$$\left[ -\frac{1}{8k^3} + \frac{b_1}{2k} \right] = a_2 \quad (\text{ก.18.3})$$

$$\left[ \frac{1}{16k^5} - \frac{b_1}{8k^3} + \frac{b_2}{2k} \right] = a_3 \quad (\text{ก.18.4})$$

$$\left[ -\frac{15}{128k^7} + \frac{b_1}{16k^5} - \frac{b_2}{8k^3} + \frac{b_3}{2k} \right] = 0 \quad (\text{ก.18.5})$$

$$\left[ \frac{7}{256k^9} - \frac{5b_1}{128k^7} + \frac{b_2}{16k^5} - \frac{b_3}{8k^3} \right] = 0 \quad (\text{ก.18.6})$$

$$\left[ -\frac{21}{1024k^{11}} + \frac{7b_1}{256k^9} - \frac{5b_2}{128k^7} + \frac{b_3}{16k^5} \right] = 0 \quad (\text{ก.18.7})$$

พิจารณาสมการ (ก.18.5)-(ก.18.7) หาค่า  $b_1, b_2, b_3$  ได้ดังนี้  $\frac{5}{4k^2} \quad \frac{3}{8k^4} \quad \frac{1}{64k^6}$

ตามลำดับ เมื่อได้ค่าทั้งสามนำกลับไปแทนหาค่า  $a_0, a_1, a_2, a_3$  ได้ดังนี้  $0 \quad \frac{1}{2k} \quad \frac{1}{2k^3} \quad \frac{3}{32k^5}$

ตามลำดับดังนั้นสามารถประมาณแบบปาดะ(3,3)  $f(P) = \frac{\frac{1}{2k}P + \frac{1}{2k^3}P^2 + \frac{3}{32k^5}P^3}{1 + \frac{5}{4k^2}P + \frac{3}{8k^4}P^2 + \frac{1}{64k^6}P^3}$

อย่างไรก็ตาม Hadley ได้เสนอการหาการประมาณแบบปาดะโดยหาในอีกวิธีการหนึ่งโดยเขียนสมการ (ก.8) ให้อยู่ในรูปเศษส่วนได้ดังนี้

$$\frac{\partial H}{\partial z} = \frac{\frac{iP}{2k}}{1 - \frac{i}{2k} \frac{\partial}{\partial z}} H \quad (\text{ก.19})$$

Hadley แนะนำรูปเวียนบังเกิดดังนี้

$$\frac{\partial}{\partial z} \Big|_n = \frac{\frac{iP}{2k}}{1 - \frac{i}{2k} \frac{\partial}{\partial z} \Big|_{n-1}} \quad \text{โดย } \frac{\partial}{\partial z} \Big|_0 = 0 \quad (\text{ก.20})$$

ดังนั้น

$$\frac{\partial}{\partial z} \Big|_1 = \frac{iP}{2k} \quad (\text{ก.21.1})$$

$$\frac{\partial}{\partial z} \Big|_2 = \frac{\frac{iP}{2k}}{1 - \frac{i}{2k} \left( \frac{iP}{2k} \right)} = \frac{\frac{iP}{2k}}{1 + \frac{P}{4k^2}} \quad (\text{ก.21.2})$$

$$\frac{\partial}{\partial z} \Big|_3 = \frac{i \left( \frac{P}{2k} + \frac{P}{8k^3} \right)}{1 + \frac{P}{2k^2}} \quad (\text{ก.21.3})$$

$$\frac{\partial}{\partial z} \Big|_4 = \frac{i \left( \frac{P}{2k} + \frac{P}{4k^3} \right)}{1 + \frac{3P}{4k^2} + \frac{P^2}{16k^4}} \quad (\text{ก.21.4})$$

$$\frac{\partial}{\partial z} \Big|_5 = \frac{i \left( \frac{P}{2k} + \frac{3P}{8k^3} + \frac{P^3}{32k^5} \right)}{1 + \frac{P}{k^2} + \frac{3P^2}{16k^4}} \quad (\text{ก.21.5})$$

$$\frac{\partial}{\partial z} \Big|_6 = \frac{i \left( \frac{P}{2k} + \frac{P^2}{2k^3} + \frac{3P^3}{32k^5} \right)}{1 + \frac{5P}{4k^2} + \frac{3P^2}{8k^4} + \frac{P^3}{34k^6}} \quad (\text{ก.21.6})$$

จากสมการ (ก.21.6) พบว่ามีค่าสอดคล้องกับการประมาณแบบปาเด (3,3) ที่คำนวณได้

วิธีการประมาณแบบปาเด(3,3) มีข้อผิดพลาดเท่ากับการกระจายโพลีโนเมียลถึง 15เทอม นอกจากนั้นจากการศึกษาพบว่าถ้าเลือกอันดับของตัวเศษและตัวส่วนให้มีค่าเท่ากันจะ ให้ข้อผิดพลาดน้อยกว่าการเลือกค่าใดๆและในกรณีที่เลือกอันดับเทอมมากๆจะทำให้การประมาณมีความผิดพลาดลดลง

สถาบันวิทยบริการ  
จุฬาลงกรณ์มหาวิทยาลัย

## ภาคผนวก ข

### การพิสูจน์วิธีนิวมาร์ก (Newmark Method)

การพิสูจน์วิธีนิวมาร์กมีสองวิธี คือ วิธีที่ 1 กระจายสมการ (2.15) ,(2.17a), (2.17b) ให้มีทั้งหมด 7 สมการแล้วทำการตัดเทอม  $x'_{n+1}, x'_n, x'_{n-1}, x''_{n+1}, x''_n, x''_{n-1}$  ให้เหลือเพียง  $x_{n+1}, x_n, x_{n-1}$  เท่านั้น วิธีที่ 2 คือใช้วิธีถ่วงน้ำหนักเสนอโดย Zienkiewicz, 1977 โดยในที่นี้จะพิสูจน์ตาม Zienkiewicz ดังนี้

สมการ (ข.1) คือสมการอนุพันธ์อันดับที่ 2 เทียบกับเวลาโดย  $x'' = \frac{d^2x}{dt^2}$ ,  $x' = \frac{dx}{dt}$  ในขณะที่  $M, C, K, f$  เป็นค่าคงที่ใดๆ

$$Mx'' + Cx' + Kx + f = 0 \tag{ข.1}$$

พิสูจน์ด้วยวิธีถ่วงน้ำหนักเศษตกค้าง (Weighted Residual)

$$\int_0^{2\Delta t} W(Mx'' + Cx' + Kx + f)dt = 0 \tag{ข.2}$$

โดย  $W$  เป็นฟังก์ชันทดสอบหรือฟังก์ชันถ่วงน้ำหนัก

ทำการแปลงตัวแปรเป็น  $\varepsilon = \frac{t}{\Delta t}$  และเปลี่ยนช่วงการอินทิเกรตเป็น  $-1 < \varepsilon = \frac{t}{\Delta t} < 1$  แทนฟังก์ชันฐานลงไปในสมการ (ข.2)

$$\int_{-1}^1 W \left[ M \sum_i N'_i x_i + C \sum_i N'_i x_i + K \sum_i N_i x_i + \sum_i N_i f \right] d\varepsilon = 0 \tag{ข.3}$$

ฟังก์ชันฐานเป็นฟังก์ชัน 1 มิติอันดับสอง

$$N_{i+1} = \frac{\varepsilon(\varepsilon+1)}{2}, \quad N'_{i+1} = \left(\frac{1}{2} + \varepsilon\right) \frac{1}{\Delta t}, \quad N''_{i+1} = \frac{1}{\Delta t^2} \tag{ข.4}$$

$$N_i = (1-\varepsilon)(1+\varepsilon), \quad N'_i = -2\varepsilon \frac{1}{\Delta t}, \quad N''_i = -\frac{2}{\Delta t^2}$$

$$N_{i-1} = -\frac{\varepsilon(1-\varepsilon)}{2}, \quad N'_{i-1} = \left(-\frac{1}{2} + \varepsilon\right) \frac{1}{\Delta t}, \quad N''_{i-1} = \frac{1}{\Delta t^2}$$

ให้

$$\gamma = \left[ \int_{-1}^1 W \varepsilon d\varepsilon / \int_{-1}^1 W d\varepsilon \right] + 1/2 \quad (ข.5.1)$$

$$\beta = \frac{1}{2} \int_{-1}^1 W \varepsilon (1 + \varepsilon) d\varepsilon / \int_{-1}^1 W d\varepsilon \quad (ข.5.2)$$

ดังนั้นจากสมการ (ข.3) เมื่อเราหารด้วย  $\int_{-1}^1 W d\varepsilon$  ตลอดจะสามารถเขียนได้ดังนี้

$$\int_{-1}^1 W \left[ M \sum_i N_i'' x_i + C \sum_i N_i' x_i + K \sum_i N_i x_i + \sum_i N_i f_i \right] d\varepsilon / \int_{-1}^1 W d\varepsilon = 0 \quad (ข.6)$$

พิจารณาเทอมที่ 1 ของสมการ (ข.6)

$$\frac{1}{\Delta t^2} \int_{-1}^1 W \left[ M \begin{bmatrix} 1 & -2 & 1 \\ x_{i+1} \\ x_i \\ x_{i-1} \end{bmatrix} \right] d\varepsilon / \int_{-1}^1 W d\varepsilon = \frac{1}{\Delta t^2} [x_{i+1} \quad -2x_i \quad x_{i-1}] M \quad (ข.7)$$

พิจารณาเทอมที่ 2 ของสมการ (ข.6)

$$\begin{aligned} & \frac{1}{\Delta t} \int_{-1}^1 W C \left[ \left( \frac{1}{2} + \varepsilon \right) - 2\varepsilon - \frac{1}{2} + \varepsilon \right] \begin{bmatrix} x_{i+1} \\ x_i \\ x_{i-1} \end{bmatrix} d\varepsilon / \int_{-1}^1 W d\varepsilon \\ &= \left[ \frac{1}{\Delta t} \left[ \int_{-1}^1 W \left( \frac{1}{2} + \varepsilon \right) x_{i+1} d\varepsilon + \int_{-1}^1 W (-2\varepsilon) x_i d\varepsilon + \int_{-1}^1 W \left( -\frac{1}{2} + \varepsilon \right) x_{i-1} d\varepsilon \right] / \int_{-1}^1 W d\varepsilon \right] C \quad (ข.8) \end{aligned}$$

จากความสัมพันธ์ของสมการ (ข.5.1) เราสามารถเขียน (ข.9) ได้ดังนี้

$$\frac{1}{\Delta t} \int_{-1}^1 W C \left[ \left( \frac{1}{2} + \varepsilon \right) - 2\varepsilon - \frac{1}{2} + \varepsilon \right] \begin{bmatrix} x_{i+1} \\ x_i \\ x_{i-1} \end{bmatrix} d\varepsilon / \int_{-1}^1 W d\varepsilon = \frac{1}{\Delta t} [\gamma x_{i+1} \quad (1-2\gamma)x_i \quad (-1+\gamma)x_{i-1}] C \quad (ข.9)$$



พิจารณาเทอมที่ 3 ของสมการ (ข.6)

$$\int_{-1}^1 W \left[ \frac{\varepsilon(1+\varepsilon)}{2} (1-\varepsilon)(1+\varepsilon) \frac{\varepsilon(1-\varepsilon)}{2} \right] \begin{bmatrix} x_{i+1} \\ x_i \\ x_{i-1} \end{bmatrix} d\varepsilon K / \int_{-1}^1 W d\varepsilon$$

$$= K \left[ \int_{-1}^1 W \frac{\varepsilon(1+\varepsilon)}{2} dx_{i+1} + \int_{-1}^1 W (1-\varepsilon)(1+\varepsilon) dx_i + \int_{-1}^1 W \frac{\varepsilon(1-\varepsilon)}{2} dx_{i-1} \right] / \int_{-1}^1 W d\varepsilon \quad (\text{ข.10})$$

จากความสัมพันธ์ในสมการ (ข.5.1) และ (ข.5.2) สามารถเขียน (ข.10) เป็น

$$[K] [\beta x_{i+1} \quad (\frac{1}{2} + \gamma - 2\beta)x_i \quad (\frac{1}{2} - \gamma + \beta)x_{i-1}] \quad (\text{ข.11})$$

พิจารณาเทอมที่ 4 ของสมการ (ข.6)

$$\int_{-1}^1 W \left[ \frac{\varepsilon(1+\varepsilon)}{2} (1-\varepsilon)(1+\varepsilon) \frac{\varepsilon(1-\varepsilon)}{2} \right] \begin{bmatrix} f_{i+1} \\ f_i \\ f_{i-1} \end{bmatrix} d\varepsilon / \int_{-1}^1 W d\varepsilon$$

$$= \left[ \int_{-1}^1 W \left[ \frac{\varepsilon(1+\varepsilon)}{2} f_{i+1} + (1+\varepsilon)(1-\varepsilon)f_i + \int_{-1}^1 \frac{\varepsilon(1-\varepsilon)}{2} f_{i-1} \right] d\varepsilon \right] / \int_{-1}^1 W d\varepsilon \quad (\text{ข.12})$$

เช่นเดียวกับสมการ (ข.11) เราสามารถเขียนสมการ (ข.12) ได้ดังนี้

$$f_{i+1}\beta + (\frac{1}{2} + \gamma - 2\beta)f_i + (\frac{1}{2} - \gamma + 2\beta)f_{i-1} \quad (\text{ข.13})$$

จากสมการ (ข.7), (ข.9), (ข.11), (ข.13) สามารถเขียนสมการ (ข.6) ออกมาได้เป็นดังนี้

$$\frac{1}{\Delta t^2} [M] [x_{i+1} - 2x_i + x_{i-1}] + \frac{1}{\Delta t} [C] [\gamma x_{i+1} + (1-2\gamma)x_i + (-1+\gamma)x_{i-1}]$$

$$+ [K] [\beta x_{i+1} + (\frac{1}{2} + \gamma - 2\beta)x_i + (\frac{1}{2} - \gamma + \beta)x_{i-1}] \quad (\text{ข.14})$$

$$+ \beta f_{i+1} + (\frac{1}{2} + \gamma - 2\beta)f_i + (\frac{1}{2} - \gamma + \beta)f_{i-1} = 0$$

จากสมการ (ข.14) ถ้าให้  $\gamma = \frac{1}{2}$  สามารถเขียนได้ดังนี้

$$\begin{aligned}
& \frac{1}{\Delta t^2}[M][x_{i+1} - 2x_i + x_{i-1}] + \frac{1}{\Delta t}[C][\frac{1}{2}x_{i+1} - \frac{1}{2}x_{i-1}] \\
& + [K][\beta x_{i+1} + (1-2\beta)x_i + \beta x_{i-1}] \\
& + \beta f_{i+1} + (1-2\beta)f_i + \beta f_{i-1} = 0
\end{aligned} \tag{ข.15}$$

สังเกตว่าสมการ (ข.15) ขึ้นกับค่าตัวแปร  $\beta$  เท่านั้นทำให้สามารถเรียกสมการ (ข.15) ว่าวิธี Newmark-Beta ได้



สถาบันวิทยบริการ  
จุฬาลงกรณ์มหาวิทยาลัย

## ภาคผนวก ค

### เงื่อนไขขอบเขตแบบโปร่งใส (Transparent Boundary Condition)

#### ค.1 หลักการของเงื่อนไขขอบเขตแบบโปร่งใส

เงื่อนไขขอบเขตแบบโปร่งใสได้รับการนำเสนอโดย Hadley, 1991 มีหลักการในการวิเคราะห์คือยอมให้พลังงานของคลื่นแสงแพร่กระจายออกไปนอกหน้าต่างการคำนวณได้ และบังคับคลื่นแสงไม่ให้มีการแพร่กระจายสะท้อนกลับจากขอบหน้าต่างเข้ามาในหน้าต่างการคำนวณ

เงื่อนไขขอบเขตแบบโปร่งใสสร้างขึ้นมาเพื่อใช้งานร่วมกับวิธี BPM โดยเฉพาะซึ่งสามารถพิสูจน์ได้ดังนี้ โดยพิจารณาการคำนวณด้วยวิธี BPM ในท่อนำคลื่นแสง 2 มิติ เริ่มจากการแปรสเกลตามสมการ (ค.1) โดยแกนยาว คือ แกน z และ แกนตัดขวาง คือ แกน x

$$\frac{\partial E}{\partial z} = \frac{j}{2k} \frac{\partial^2 E}{\partial x^2} \quad (\text{ค.1})$$

พิจารณาพลังงานของสนามในหน้าต่างการคำนวณโดยทำการคูณด้วยคู่สังยุคและ อินทิเกรต

$$\frac{\partial}{\partial z} \int_a^b |E|^2 dx = \frac{j}{2k} (E^* \frac{\partial E}{\partial x} - E \frac{\partial E^*}{\partial x}) \Big|_a^b \equiv -F_b + F_a \quad (\text{ค.2})$$

โดยที่

$F_b$  คือ พลังงานที่พุ่งออกจากหน้าต่างการคำนวณ

$F_a$  คือ พลังงานที่พุ่งเข้าสู่หน้าต่างการคำนวณ

การพิจารณาค่า  $F_b$  และ  $F_a$  สามารถพิจารณาหาค่าได้ด้วยวิธีการเดียวกันดังนั้นในที่นี้จึงพิจารณาเฉพาะค่า  $F_b$  โดยสมมติสนามที่แพร่กระจายไปที่ขอบของหน้าต่างมีลักษณะเป็นคลื่นระนาบและให้สนามเขียนอยู่ในรูปดังนี้

$$E = E_0 \exp(jk_x x) \quad (\text{ค.3})$$

โดยค่า  $E_0$  และ ค่า  $k_x$  เป็นค่าเชิงซ้อน เมื่อแทนค่าสนามในสมการ (ค.3) ลงในสมการ (ค.2) สามารถหา  $F_b$  ได้ดังนี้

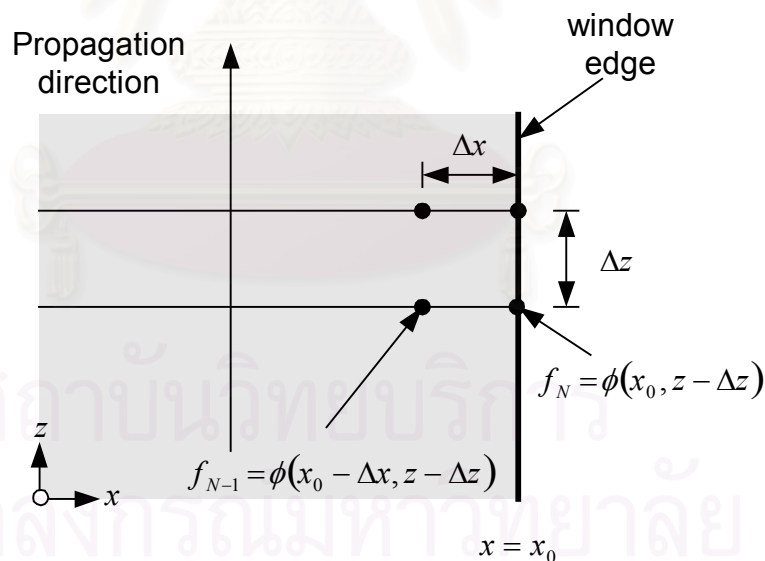
$$F_b = \frac{\text{Re}(k_x) |E(b)|^2}{k} \quad (\text{ค.4})$$

โดยที่  $\text{Re}(k_x)$  คือ ส่วนจริงของ  $k_x$

จากสมการ (ค.4) พิจารณาว่า ถ้าค่าส่วนจริงของ  $k_x$  มีค่าเป็นบวกจะทำให้ค่า  $F_b$  มีค่าเป็นบวกและพลังงานจะแพร่กระจายออกจากขอบหน้าตาอย่างเดียวนั้น ดังนั้นถ้าบังคับค่าส่วนจริงของ  $k_x$  เป็นบวกก็สามารถแก้ไขการแพร่กระจายสะท้อนกลับจากขอบหน้าตาต่างได้ นี่คือหลักการสำคัญของเงื่อนไขขอบเขตแบบโปร่งใสที่ Hadley ได้เสนอไว้ในงาน FDBPM

## ค.2 เงื่อนไขขอบเขตแบบโปร่งใสใน FE-BPM บนท่อนำคลื่นแสง 2 มิติ

Arai, Maruta and Matsuhara., 1993 นำเงื่อนไขขอบเขตที่ Hadley เสนอมาประยุกต์ใช้ในงาน FEBPM โดยพิจารณาบนท่อนำคลื่นแบบ 2 มิติ



รูปที่ ค.1 ตำแหน่งโนดที่นำมาใช้คำนวณเงื่อนไขขอบเขตแบบโปร่งใสในท่อนำคลื่น 2 มิติในแกนตัดขวาง  $x$  และมีการแพร่กระจายในทิศทาง  $z$

นิยามให้สนามสอดคล้องกับเงื่อนไขขอบเขตดังนี้

$$\left(\frac{\partial \phi}{\partial x} + jk_x \phi\right)_{x_0} = 0 \quad (\text{ค.5})$$

โดยที่  $x_0$  คือ ตำแหน่งที่ขอบของหน้าต่างการคำนวณ,  $k_x$  เป็นค่าสัมประสิทธิ์ของสมการโดยมีการปรับค่าทุกครั้งในการแพร่กระจาย  $j$  เท่ากับ  $\sqrt{-1}$

สมมติให้คลื่นที่แพร่กระจายไปที่ขอบต่างมีลักษณะเป็นคลื่นระนาบดังนี้

$$\phi(x, z) = a \exp(-jk_x x - \beta z) \quad (\text{ค.6})$$

เมื่อแทนสมการ (ค.6) ลงในสมการ (ค.5) พบว่าสมการ (ค.6) เป็นคำตอบของสมการ (ค.5) เมื่อเราคำนวณสนามที่ระยะ  $z$  เราจะหาค่าสัมประสิทธิ์  $k_x$  จากค่าสนามที่ตำแหน่งก่อนหน้านั้นหนึ่งชั้น คือสนามที่ตำแหน่ง  $z - \Delta z$  (ที่เราทราบค่า)

จากสมการ (ค.6) ให้

$$\phi(x_0, z - \Delta z) = f_N = a \exp(-jk_x x_0 - \beta(z - z_0)) \quad (\text{ค.7.1})$$

$f_N$  คือ สนามที่ ตำแหน่ง  $x_0$  และ  $z - \Delta z$

$$\phi(x_0 - \Delta x, z - \Delta z) = f_{N-1} = a \exp(-jk_x(x_0 - \Delta x) - \beta(z - z_0)) \quad (\text{ค.7.2})$$

$f_{N-1}$  คือ สนามที่ ตำแหน่ง  $x_0 - \Delta x$  และ  $z - \Delta z$

จากสมการ (ค.7.1) และ (ค.7.2) สามารถหาค่า  $k_x$  ได้ดังนี้

$$k_x = \frac{j}{\Delta x} \ln\left(\frac{f_N}{f_{N-1}}\right) \quad (\text{ค.8})$$

จากสมการ (ค.8) เราสามารถหาค่า  $k_x$  เมื่อทราบค่าสนามที่ตำแหน่ง  $(x_0, z - \Delta z)$  และ  $(x_0 - \Delta x, z - \Delta z)$  พิจารณาค่า  $k_x$  จากสมการ (ค.8) ตามหลักการของเงื่อนไขขอบเขตแบบโปร่งใสที่พิสูจน์ดังสมการ (ค.4) บังคับให้ค่าส่วนจริงของ  $k_x > 0$  เพื่อให้พลังงานของสนามวิ่งออกจากหน้าต่างการคำนวณเท่านั้นโดยไม่มีการสะท้อนกลับจากขอบหน้าต่าง

### ค.3 เงื่อนไขขอบเขตแบบโปร่งใสใน FE-BPM บนท่อนำคลื่นแสง 3 มิติ

Maruta, Arai and Matsuhara (1994) cited in Tsuji, Koshihara, and Shiraishi, (1997) นำเสนอเงื่อนไขขอบเขตแบบโปร่งใสในท่อนำคลื่นแสงแบบ 3 มิติโดยนิยามสนามที่แพร่กระจายมาที่ขอบหน้าต่างมีลักษณะเป็นคลื่นระนาบและสามารถเขียนให้อยู่ในรูปได้ดังนี้

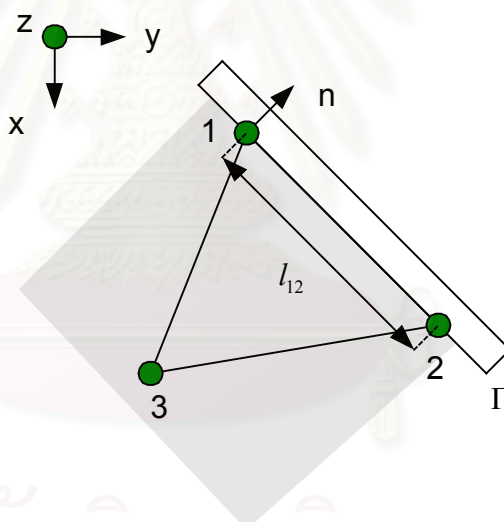
$$\Phi(x, y) = \phi_T(x, y) \exp(-jk(x, y)n) \quad (\text{ค.9})$$

โดยที่

$n$  คือ เวกเตอร์ที่ตั้งฉากกับขอบหน้าต่างดังรูปที่ ค.2

นิยามเงื่อนไขขอบเขตแบบโปร่งใสสอดคล้องกับสมการ (ค.10) ดังนี้

$$\frac{\partial \phi}{\partial n} + jk(x, y)\phi = 0 \quad (\text{ค.10})$$



รูปที่ค.2 ตำแหน่งโนดบนอีลีเมนต์สามเหลี่ยมที่ขอบหน้าต่างการคำนวณในระนาบตัดขวาง  $xy$  และมีการแพร่กระจายในทิศทาง  $z$

โดยมีสูตรการคำนวณค่า  $k(x, y)$  ดังนี้

$$k(x, y) = -j \frac{l_{12}^2 \log(\phi_3) - m_1 \log(\phi_2) - m_2 \log(\phi_1)}{2S_e l_{12}} \quad (\text{ค.11})$$

บังคับให้  $\text{Re}[k(x, y)] > 0$

โดยที่

$$m_1 = (x_1 - x_2)(x_1 - x_3) + (y_1 - y_2)(y_1 - y_3)$$

$$m_2 = (x_2 - x_1)(x_2 - x_3) + (y_2 - y_1)(y_2 - y_3)$$

$\phi_j$  ( $j = 1, 2, 3$ ) คือ ค่าสนามที่ตำแหน่งโนด 1, 2, 3 ตามลำดับ

$(x_i, y_i)$  คือ ตำแหน่งพิกัดของโนด 1, 2, 3 ตามลำดับ

$S_c$  คือ พื้นที่ของอีลีเมนต์สามเหลี่ยม

$l_{12}$  คือ ความยาวระหว่างโนดที่ขอบหน้าต่าง

การบังคับส่วนจริงของ  $k(x, y)$  หรือ  $k_x$  ตามที่เสนอมานั้นสามารถทำได้ดังนี้ยกตัวอย่างเช่น ถ้าค่า  $k$  ที่คำนวณได้มีค่าเท่ากับ  $-4 - 3j$  เราก็จะทำการแก้ไขให้ค่า  $k$  กลายเป็น  $4 - 3j$  แล้วจึงแทนกลับไปในการคำนวณ เป็นต้น

เงื่อนไขขอบเขตแบบโปร่งใสมีข้อดีคือ 1. ไม่ขึ้นกับรูปร่างและชนิดวัสดุของท่อนำคลื่น 2. ไม่ต้องมีช่องว่างระยะห่างจากตัวกระเจิงเหมือนในเงื่อนไขขอบเขตดูดซับ หรือ ต้องมีชั้นดูดซับเหมือนเงื่อนไขขอบเขตแบบ PML จึงทำให้ไม่ต้องมีจำนวนโนดที่ใช้ในการคำนวณเพิ่มขึ้น ดังนั้นจึงใช้หน่วยความจำในการคำนวณน้อยกว่า เงื่อนไขขอบเขตทั้งสอง 3. ไม่ต้องทำการปรับแต่งค่าพารามิเตอร์จึงใช้งานได้ง่ายกว่า 4. ใช้งานได้ในทุกความถี่ อย่างไรก็ตามเงื่อนไขขอบเขตแบบโปร่งใสมีข้อเสียคือการคำนวณต้องใช้สนามในชั้นก่อนมาใช้งาน ดังนั้นในกรณีที่สนามมีการเปลี่ยนแปลงมาก ๆ ในแต่ละชั้นจะทำให้ไม่สามารถกันการสะท้อนได้มากนัก เช่นในกรณีมุมตกกระทบของคลื่นกระเจิงมีค่ามาก ๆ เป็นต้น

สถาบันวิทยบริการ  
จุฬาลงกรณ์มหาวิทยาลัย

## ภาคผนวก ง

### เงื่อนไขขอบเขตแบบPML

#### ง.1 เงื่อนไขขอบเขตแบบPML

เงื่อนไขขอบเขตแบบPML (Perfectly Matched Layer) คือการสร้างชั้นดูดซับที่มีคุณสมบัติเข้าคู่ (matched condition) กับขอบเขตการคำนวณเพื่อทำการดูดกลืนคลื่น โดยชั้นดูดซับมีคุณสมบัติลดทอนขนาดของสนามที่แพร่กระจายผ่านเข้ามาแต่ไม่ทำให้เกิดการเปลี่ยนแปลงเฟสของคลื่น คลื่นที่แพร่กระจายผ่านเข้ามาจะถูกลดทอนจนหมดไปในชั้นดูดซับ เงื่อนไขขอบเขตแบบ PML สามารถใช้ได้ทุกความถี่และทุกมุมตกกระทบ นอกจากนั้นยังมีการสะท้อนกลับน้อยกว่าเงื่อนไขขอบเขตแบบ ABC ขอบชั้นดูดซับยังสามารถวางใกล้กับตัวกระเจิงได้มากกว่าแบบ ABC อีกทั้งยังไม่จำเป็นต้องทราบค่า  $k_0$  ก่อนการคำนวณอีกด้วย

Berenger, 1994 ได้เสนอเงื่อนไขขอบเขตแบบPML ในการวิเคราะห์แบบ FDTD ในตัวกลางแบบไอโซทรอปิก ที่มีรูปร่างแบบ 2 มิติ งานของ Berenger ได้สร้างความแตกตื่นในเงื่อนไขขอบเขตแบบ PML มาก โดย Chew and Weedon, 1994 และ Katz, Thiele and Taflove, 1994 ได้นำงานของ Berenger มาดัดแปลงและพิจารณานิวส์ตูดที่มีรูปร่างแบบ 3 มิติ โดยตีพิมพ์ออกมาก่อนที่งานของ Berenger จะถูกตีพิมพ์เสียอีก ในช่วงนั้นได้มีการดัดแปลงแก้ไขเงื่อนไขขอบเขตแบบ PML อีกมากมาย จนสามารถแบ่งออกได้เป็น 3 พวกใหญ่ๆ คือ 1. PML แบบ split field 2. PML แบบแปลงตัวแปร (Stretched coordinate) 3. PML แบบวัสดุดูดซับแอนไอโซทรอปิก (anisotropic absorber)

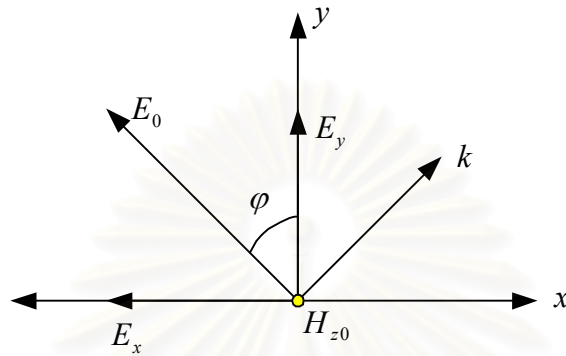
#### ง.1.1 เงื่อนไขขอบเขต PML แบบแยกสนาม (Splited field)

เงื่อนไขขอบเขตแบบแยกสนามเป็นแบบที่ Berenger เสนอในการพิจารณางาน FDTD โดยหลักการคือการแยกสนามออกเป็น 2 แกน คือ  $H_z$  แยกเป็น  $H_{zx} + H_{zy}$  การทำเช่นนี้เพื่อที่จะสะดวกในการแก้สมการ โดยมีเงื่อนไขเข้าคู่ (matched condition) ดังนี้

$$\frac{\sigma}{\epsilon_0} = \frac{\sigma^*}{\mu_0} \quad (\text{ง.1})$$



Berenger ทำการวิเคราะห์การแผ่รังสีของคลื่นในอวกาศว่าง (free space) ของคลื่นโดยมีชั้นดูดซับที่มีคุณสมบัติสอดคล้องกับสมการ (ง.1) โดย  $\sigma$  คือสภาพนำไฟฟ้า และ  $\sigma^*$  คือสภาพนำแม่เหล็ก



รูปที่ ง.1. สนามตกกระทบโหมด TE

Berenger พิจารณา โหมด TE ในงาน FDTD สามารถเขียนสมการสนามได้ดังนี้

$$\epsilon_0 \frac{\partial E_x}{\partial t} + \sigma E_x = \frac{\partial H_z}{\partial y} \quad (\text{ง.2.1})$$

$$\epsilon_0 \frac{\partial E_y}{\partial t} + \sigma E_y = -\frac{\partial H_z}{\partial x} \quad (\text{ง.2.2})$$

$$\mu_0 \frac{\partial H_z}{\partial t} + \sigma^* H_z = \frac{\partial E_x}{\partial y} - \frac{\partial E_y}{\partial x} \quad (\text{ง.2.3})$$

แยกสนาม  $H_z$  ออกเป็น  $H_{zx} + H_{zy}$  สามารถเขียนสมการ (ง.2.1)-(ง.2.3) ได้ดังนี้

$$\epsilon_0 \frac{\partial E_x}{\partial t} + \sigma_y E_x = \frac{\partial (H_{zx} + H_{zy})}{\partial y} \quad (\text{ง.3.1})$$

$$\epsilon_0 \frac{\partial E_y}{\partial t} + \sigma_x E_x = -\frac{\partial (H_{zx} + H_{zy})}{\partial x} \quad (\text{ง.3.2})$$

$$\mu_0 \frac{\partial H_{zx}}{\partial t} + \sigma_x^* H_{zx} = -\frac{\partial E_y}{\partial x} \quad (\text{ง.3.3})$$

$$\mu_0 \frac{\partial H_{zy}}{\partial t} + \sigma_y^* H_{zy} = \frac{\partial E_x}{\partial y} \quad (\text{ง.3.4})$$

จากรูปที่ ง.1 เขียนสมการสนามออกมาได้ดังนี้

$$E_x = -E_0 \sin(\varphi) e^{j\omega(t-\alpha x-\beta y)} \quad (\text{ง.4.1})$$

$$E_y = E_0 \sin(\varphi) e^{j\omega(t-\alpha x-\beta y)} \quad (\text{ง.4.2})$$

$$H_{zx} = H_{zx0} e^{j\omega(t-\alpha x-\beta y)} \quad (\text{ง.4.3})$$

$$H_{zy} = H_{zy0} e^{j\omega(t-\alpha x-\beta y)} \quad (\text{ง.4.4})$$

โดยที่  $\alpha, \beta, H_{zx0}, H_{zy0}$  เป็นตัวไม่ทราบค่าแทนสมการ (ง.4) ลง (ง.3) แก้สมการหา  $\alpha, \beta$  ได้ดังนี้

$$\alpha = \frac{\sqrt{\epsilon_0 \mu_0}}{G} \left( 1 - j \frac{\sigma_x}{\epsilon_0 \omega} \right) \cos(\varphi) \quad (\text{ง.5.1})$$

$$\beta = \frac{\sqrt{\epsilon_0 \mu_0}}{G} \left( 1 - j \frac{\sigma_y}{\epsilon_0 \omega} \right) \sin(\varphi) \quad (\text{ง.5.2})$$

โดยที่

$$G = \sqrt{w_x \cos^2(\varphi) + w_y \sin^2(\varphi)} \quad (\text{ง.6.1})$$

$$w_x = \frac{1 - j(\sigma_x / \epsilon_0 \omega)}{1 - j(\sigma_x^* / \mu_0 \omega)} \quad (\text{ง.6.2})$$

$$w_y = \frac{1 - j(\sigma_y / \epsilon_0 \omega)}{1 - j(\sigma_y^* / \mu_0 \omega)} \quad (\text{ง.6.3})$$

ดังนั้นสามารถเขียนสนามในรูปทั่วไปได้ดังนี้

$$\psi = \psi_0 e^{j\omega(t-(x \cos(\gamma)+y \sin(\gamma)))} e^{-(\sigma_x \cos(\gamma) / \epsilon_0 c G)x} e^{-(\sigma_y \sin(\gamma) / \epsilon_0 c G)y} \quad (\text{ง.7})$$

และ

$$H_{zx0} = E_0 \sqrt{(\epsilon_0 / \mu_0)} \frac{1}{G} w_x \cos^2(\varphi) \quad (\text{ง.8.1})$$

$$H_{zy0} = E_0 \sqrt{(\epsilon_0 / \mu_0)} \frac{1}{G} w_y \sin^2(\varphi) \quad (\text{ง.8.2})$$

หรือ

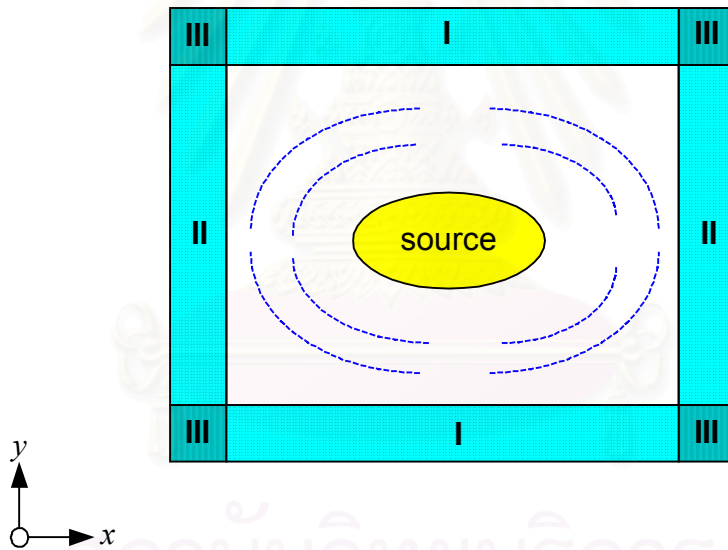
$$H_0 = E_0 \sqrt{\epsilon_0 / \mu_0} G \tag{ง.9.1}$$

$$Z = \sqrt{\mu_0 / \epsilon_0} \frac{1}{G} \tag{ง.9.2}$$

จากเงื่อนไขการเข้าคู่สมการ (ง.1) ทำให้  $w_x = w_y = 1$  และ  $G = 1$  เขียนสมการ (ง.7) และ (ง.9) ได้ดังนี้

$$\psi = \psi_0 e^{j\omega(t - (x \cos(\varphi) + y \sin(\varphi)) / c)} e^{-(\sigma_x \cos(\varphi) / \epsilon_0 c)x} e^{-(\sigma_y \sin(\varphi) / \epsilon_0 c)y} \tag{ง.10.1}$$

$$Z = \sqrt{\mu_0 / \epsilon_0} \tag{ง.10.2}$$



รูปที่ ง.2. พื้นที่ของชั้นดูดซับในทิศทาง  $x, y$  และตำแหน่งมุมโดยพิจารณาแบบ 2 มิติ

ชั้นดูดซับที่สอดคล้องกับเงื่อนไขเข้าคู่จะสามารถป้องกันการสะท้อนในทุกความถี่ และ ทุกมุมตกกระทบ นอกจากนี้ Berenger ก็ยังบอกถึงการเลือกค่า  $\sigma_x$  และ  $\sigma_y$  ที่เหมาะสมตามตารางที่ 1 ดังนี้

ตารางที่ ง.1 แสดงค่า  $\sigma_x$  และ  $\sigma_y$  ในทิศทางต่างๆตามรูปที่ ง.2 เสนอโดย Berenger

| ค่า $\sigma$ | I            | II           | III          |
|--------------|--------------|--------------|--------------|
| $\sigma_x$   | 0            | $\sigma_x$   | $\sigma_x$   |
| $\sigma_x^*$ | 0            | $\sigma_x^*$ | $\sigma_x^*$ |
| $\sigma_y$   | $\sigma_y$   | 0            | $\sigma_y$   |
| $\sigma_y^*$ | $\sigma_y^*$ | 0            | $\sigma_y^*$ |

นั่นคือ ในทิศทาง  $x$  ค่า  $\sigma_x, \sigma_x^*$  มีค่า ในทิศทาง  $y$  ค่า  $\sigma_y, \sigma_y^*$  มีค่า และที่ตำแหน่งมุม  $\sigma_x, \sigma_x^*, \sigma_y, \sigma_y^*$  มีค่า

#### ง.1.1.1 การเลือกค่า $\sigma$

ก่อนทำการคำนวณเราควรจะทราบค่า  $\sigma$  ว่าควรจะมีค่าเท่าไร Berenger ได้เสนอหลักการเลือกค่า  $\sigma$  ดังนี้จากสมการ (ง.10.1) พิจารณาสนามในชั้น PML สามารถเขียนขนาดสนามในทิศทาง  $x$  และ  $y$  เป็น  $\rho$  และจากสมการ (ง.10.1) สามารถเขียนขนาดของสนามได้ดังนี้

$$\psi(\rho) = \psi(0)e^{-(\sigma \cos(\theta)/\varepsilon_0 c)\rho} \quad (\text{ง.11})$$

โดย  $\rho$  คือระยะห่างจากผิว PML จากสมการ (ง.11) เราสามารถหาสปล การสะท้อนได้ดังนี้

$$R(\theta) = e^{-2(\cos(\theta)/\varepsilon_0 c)\sigma\delta} \quad (\text{ง.12})$$

ตัวแปรในสมการ (ง.12) คือ  $\sigma\delta$  ซึ่งสิ่งที่ต้องการคือให้ค่า  $\sigma$  มีค่าน้อยที่สุดที่จุดเริ่มของผนัง PML และค่อยเพิ่มขึ้นจนมากที่สุดที่ปลายผนัง PML ดังนั้นเขียนสมการ (ง.12) เสียใหม่ให้เทอม  $\sigma\delta$  แปรตามระยะทางในผนัง PML

$$R(\theta) = e^{-2(\cos(\theta)/\varepsilon_0 c)\int_0^\rho \sigma(\rho)d\rho} \quad (\text{ง.13})$$

โดยให้การกระจายตัวของ  $\sigma$  แทนได้ดังนี้

$$\sigma(\rho) = \sigma_m \left( \frac{\rho}{\delta} \right)^n \quad (\text{ง.14})$$

$\sigma_m$  คือ ค่าสภาพนำที่มากที่สุด  $n$  คือเลขการกระจายตัวของสภาพนำโดยมีค่าเป็น 0, 1, 2 ตามลำดับแทน สมการ (ง.14) ลงในสมการ (ง.13)

$$R(\theta) = e^{-(2/(n+1))(\sigma_m \delta / \epsilon_0 c) \cos(\theta)} \quad (\text{ง.15})$$

จาก (ง.15) พบว่าสามารถเลือกค่า  $\sigma_m$  จากค่า  $n, \epsilon_0, c, \cos(\theta), R$  ดังนี้

$$\sigma_m = \frac{(n+1) \epsilon_0 c}{2 \delta} \ln\left(\frac{1}{R}\right) \quad (\text{ง.16})$$

PML แบบแยกสนามเหมาะสำหรับการวิเคราะห์แบบ FDTD โดยมีงานวิจัยออกมามากมายดังนี้ Katz et al., 1994 และ Berenger, 1996 วิเคราะห์บนท่อนำคลื่นแบบ 3 มิติ, Garcia et al., 1996 นำมาใช้ในวัสดุแอนไอโซทรอปิก, Zhao, Juntunen and Raisanen., 1997 นำมาพิจารณาในวัสดุแอนไอโซทรอปิก เช่นกันแต่พิจารณา  $D$  กับ  $H$  แทน  $E$  กับ  $H$  เรียกวิธีนี้ว่า MIPML (Material Independent PML), Perez et al., 1997 นำงานของ Garcia มาปรับปรุงให้สามารถพิจารณาวัสดุแอนไอโซทรอปิกแบบเต็มเมทริกซ์, Zhao and Raisanen, 1998 ขยายงานของ Zhao ให้พิจารณาวัสดุแอนไอโซทรอปิกแม่เหล็กโดยพิจารณา  $B$  กับ  $E$  แทนการคำนวณ  $H$  กับ  $E$

การพิจารณาแบบ PML แยกสนามมีข้อด้อย คือ 1. การคำนวณไม่อยู่ในรูปแมกซ์-เวลล์จึงไม่เหมาะกับวิธี FEM หรือ FETD 2. ในการพิจารณาแบบ MIPML การพิจารณาไม่อยู่ในรูป  $E$  กับ  $H$  และต้องใช้หน่วยความจำเพิ่มในการเก็บค่า  $B$  กับ  $D$

### ง.1.2 เงื่อนไขขอบเขต PML แบบแปลงตัวแปร ( Stretched Coordinate)

วิธีการแปลงตัวแปรนำเสนอโดย Chew and Weedon, 1994 โดยอาศัยการแปลงตัวแปรในทิศทางที่ต้องการให้เกิดการลดทอน

$$u' = (1 - j \frac{\sigma}{\omega \epsilon_0}) u \quad (\text{ง.17})$$

โดยที่  $u$  คือทิศทาง  $x, y, z$  ที่ต้องการลดทอน นอกจากนั้นสามารถเขียนตัว  $\nabla$  ได้ดังนี้

$$\tilde{\nabla} = \vec{a}_x \frac{1}{s_x} \frac{\partial}{\partial x} + \vec{a}_y \frac{1}{s_y} \frac{\partial}{\partial y} + \vec{a}_z \frac{1}{s_z} \frac{\partial}{\partial z} \quad (\text{ง.18})$$

$s_x, s_y, s_z$  คือ PML parameter ที่ได้จากหลักการแปลงตัวแปรโดยมีหลักการในการเลือกทิศทางการลดทอนคล้ายคลึงกับแบบแยกสนามดังตารางที่ ง.2 (ในกรณีหน้าตัด  $x-y$  และมีทิศทางการแพร่กระจายในแกน  $z$ )

$$s = \left( 1 - j \frac{\sigma}{\omega \epsilon_0} \right) \quad (\text{ง.19})$$

เช่นเดียวกับวิธีการแยกสนาม  $s_x$  จะลดทอนเมื่อคลื่นแพร่กระจายในทิศทาง  $x$  และ  $s_y$  จะลดทอนเมื่อคลื่นแพร่กระจายในทิศทาง  $y$  ในขณะที่ตำแหน่งมุมค่า  $s_x$  และ  $s_y$  จะลดทอนทั้งในทิศ  $x$  และ  $y$  ดังตารางที่ ง.2

ตารางที่ ง.2 ค่า  $s$  ในตำแหน่งต่างๆตามรูปที่ ง.2 เสนอโดย Chew and Weedon, 1994

| ค่า $s$ | I   | II  | III |
|---------|-----|-----|-----|
| $s_x$   | 1   | $s$ | $s$ |
| $s_y$   | $s$ | 1   | $s$ |
| $s_z$   | 1   | 1   | 1   |

วิธีแปลงตัวแปรนี้สามารถใช้ในวิธี FEM หรือ FETD ได้เป็นอย่างดีเพราะไม่ต้องแก้ไขสมการมากนัก วิธีการแปลงตัวแปรนี้มีการค้นคว้าวิจัยดังนี้ Rappaport, 1995 นำวิธีแปลงตัวแปรมาใช้ในงาน FDTD, Pekel and Mittara, 1995 นำวิธีแปลงตัวแปรมาใช้ร่วมกับวิธี ABC ในปัญหา 3 มิติ โดยใช้กับ edge element ในการแก้ปัญหา, Fang and Wu, 1995, 1996 เสนอ GPML ที่สามารถใช้งานบนวัสดุที่มีการสูญเสีย (lossy media), Huang, Xu and Yokoyama. , 1996 นำวิธีแปลงตัวแปรมาใช้กับงาน FD-BPM, Teixeira and Chew, 1998 นำการแปลงตัวแปรทำบนวัสดุ bianisotropic, dispersive, anisotropic media โดยเขียนอยู่ในรูปทั่วไปในกรณี FDTD และ FEM ดังสมการ (ง.20.1-5)

$$\bar{\bar{\epsilon}}_{PML} = (\det \bar{\bar{s}})^{-1} [\bar{\bar{s}} \cdot \bar{\bar{\epsilon}}(\omega) \cdot \bar{\bar{s}}] \quad (\text{ง.20.1})$$

$$\bar{\bar{\mu}}_{PML} = (\det \bar{\bar{s}})^{-1} [\bar{\bar{s}} \cdot \bar{\bar{\mu}}(\omega) \cdot \bar{\bar{s}}] \quad (\text{ง.20.2})$$

$$\bar{\bar{\zeta}}_{PML} = (\det \bar{\bar{s}})^{-1} [\bar{\bar{s}} \cdot \bar{\bar{\zeta}}(\omega) \cdot \bar{\bar{s}}] \quad (\text{ง.20.3})$$

$$\bar{\bar{\xi}}_{PML} = (\det \bar{\bar{s}})^{-1} [\bar{\bar{s}} \cdot \bar{\bar{\xi}}(\omega) \cdot \bar{\bar{s}}] \quad (\text{ง.20.4})$$

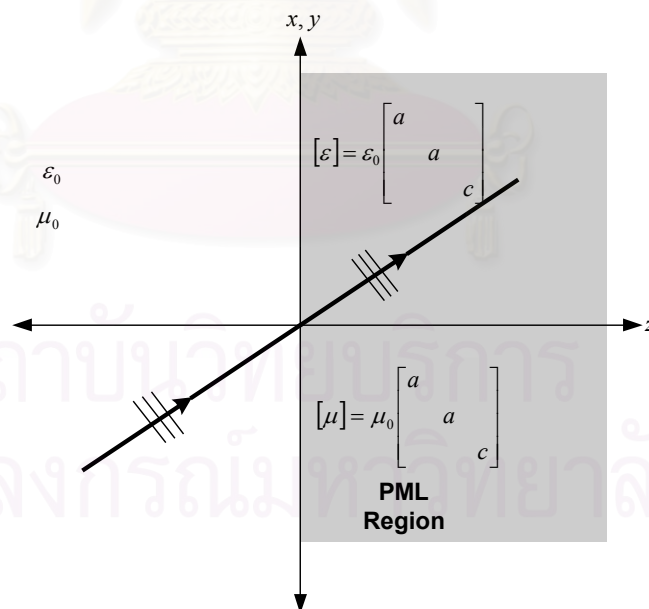
โดยที่

$$\bar{\mathbf{s}} = \begin{bmatrix} \frac{1}{s_x} & 0 & 0 \\ 0 & \frac{1}{s_y} & 0 \\ 0 & 0 & \frac{1}{s_z} \end{bmatrix} \quad (\text{ง.20.5})$$

การใช้งานเงื่อนไขขอบเขต PML แบบแปลงตัวแปรนี้ยังมีการใช้งานอีกมากมายดังนี้ Koshiha, Tsuji and Hikari., 1999 นำมาใช้ร่วมกับ FEBPM ในที่นำคลื่นแบบ 2 มิติ, Tsuji and Koshiha, 2000 นำมาใช้ในที่นำคลื่นแสงแบบ 3 มิติ, Saitoh and Koshiha, 2001 นำงานของ Teixeira and Chew มาประยุกต์ใช้ในงานเวกเตอร์ FEBPM

### ง.1.3 เงื่อนไขขอบเขต PML แบบวัสดุดูดซับแบบแอนไอโซทรอปิก

นอกจากสองวิธีที่กล่าวในเบื้องต้นแล้วยังมีการมอง PML เป็นชั้นดูดซับแบบแอนไอโซทรอปิกสำหรับดูดกลืนคลื่น Sack et al., 1995 ได้เสนอวัสดุดูดซับแบบแอนไอโซทรอปิกใน 2 มิติ (ระนาบ  $xz$ ) ดังรูปที่ ง.3



รูปที่ ง.3 ชั้นดูดซับแบบวัสดุแอนไอโซทรอปิกโดยพิจารณาบนระนาบ 2 มิติ มีการลดทอนในทิศทาง  $z$  (1มิติ) เสนอโดย Sack et al., 1995

Sack et al. พิจารณาการแพร่กระจายในระนาบ 2 มิติในอวกาศว่างจะเห็นว่า Sack ให้ชั้น PML เป็นแบบ uniaxial anisotropic  $[\epsilon], [\mu]$  ในการดูดซับโดย Sack ให้  $a$  เป็นจำนวนเชิงซ้อนอยู่ในรูป  $a = \alpha - j\beta$  และให้  $c = \frac{1}{a}$  โดยที่  $\alpha, \beta$  เป็นค่าใดๆ

Polycarpou, Lyons and Balanis., 1996 นำงานของ Sack มาพัฒนาโดยใช้ในงาน FEM ในวัสดุ 2 มิติ โดยแก้ไขการเลือกค่า  $a$  ให้เลือกตามแบบ Berenger ในวิธี PML แบบแยกสนาม  $a = 1 - j \frac{\sigma}{\omega \epsilon_0} = 1 - j \frac{\sigma^*}{\omega \mu_0}$  โดยใช้การเลือกค่า  $\sigma$  ตามงานของ Berenger ดัง สมการ

(ง.21)

$$\sigma = \frac{(n+1)\epsilon_0 \epsilon_r c}{2d} \ln\left(\frac{1}{R}\right) \left(\frac{\rho}{d}\right)^n \quad (\text{ง.21.1})$$

$$\sigma^* = \frac{(n+1)\mu_0 \mu_r c}{2d} \ln\left(\frac{1}{R}\right) \left(\frac{\rho}{d}\right)^n \quad (\text{ง.21.2})$$

งานของ Sack กับงานของ Polycarpou ไม่ได้อธิบายการลดทอนในตำแหน่งมุม ทำให้ Gedney, 1996 เสนอการใช้วิธี PML แบบวัสดุดูดซับแอนไอโซทรอปิกที่มีรูปร่างทั่วไปที่สามารถหาค่า ณ ตำแหน่งมุมได้ดังนี้

$$\begin{aligned} \bar{\epsilon} &= \bar{\mu} \\ &= \begin{bmatrix} \frac{s_y s_z}{s_x} & 0 & 0 \\ 0 & \frac{s_x s_z}{s_y} & 0 \\ 0 & 0 & \frac{s_x s_y}{s_z} \end{bmatrix} \end{aligned} \quad (\text{ง.22})$$

$$\text{โดยที่ } s_x = 1 + \frac{\sigma_x}{j\omega \epsilon_0} \quad (\text{ง.23.1})$$

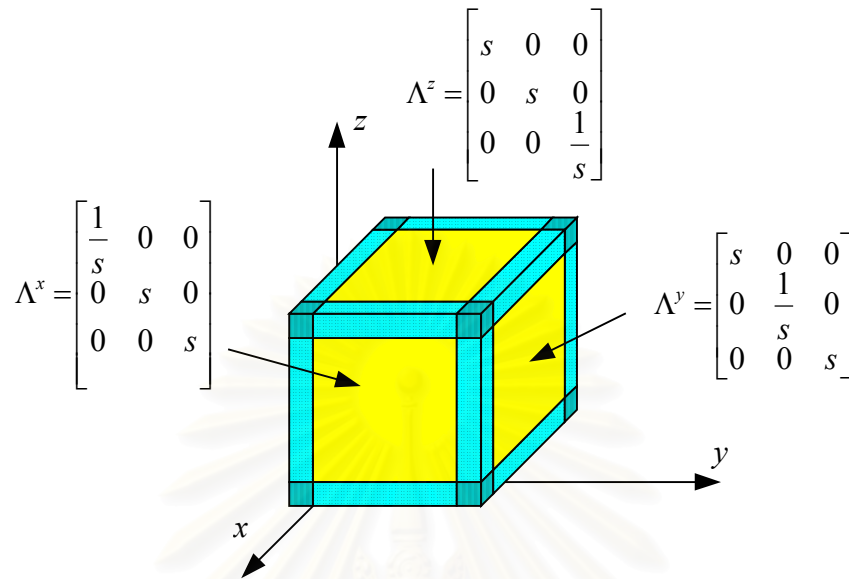
$$s_y = 1 + \frac{\sigma_y}{j\omega \epsilon_0} \quad (\text{ง.23.2})$$

$$s_z = 1 + \frac{\sigma_z}{j\omega \epsilon_0} \quad (\text{ง.32.3})$$

ค่า  $\sigma_x, \sigma_y, \sigma_z$  มีค่าเช่นเดียวกับที่ Berenegr เสนอ



Wu et al., 1997 ดัดแปลงงานของ Sack พิจารณาในวัสดุ 3 มิติ โดยมีความคล้ายคลึงกับ Gedney  $[\varepsilon]_{PML} = [\Lambda]\varepsilon$ ,  $[\mu]_{PML} = [\Lambda]\mu$

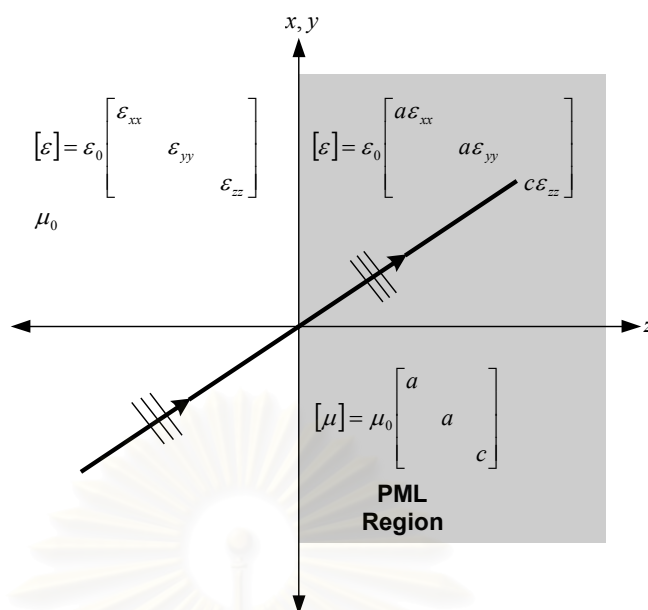


รูปที่ ง.4 ชั้นดูดซับPML แบบวัสดุแอนไอโซทรอปิกโดยมีค่าสัมประสิทธิ์ดังรูปเสนอโดย Wu et al., 1997 มีการดูดซับในทิศทาง  $x, y, z$  (3มิติ)

โดย  $s = \alpha - j\beta$  ค่าดูดซับที่ตำแหน่งมุมสามารถหาได้จากผลคูณของค่าดูดซับสองด้านที่ติดกันยกตัวอย่างเช่นตำแหน่ง  $\Lambda_{xz} = \Lambda_x \cdot \Lambda_z$  เป็นต้น งานของ Wu et al. คล้ายคลึงกับงานของ Gedney มากโดยสังเกตว่าค่าที่ออกมาตรงกันจะแตกต่างกันตรงที่ Gedney ให้  $s = 1 + \frac{\sigma}{j\omega\varepsilon}$  แต่ Wu et al. ให้  $s = \alpha - j\beta$

Mitchell et al., 1999 นำ PML แบบวัสดุดูดซับแอนไอโซทรอปิกมาใช้กับวัสดุแอนไอโซทรอปิกโดยเสนอวัสดุดูดซับเป็นแบบ biaxial anisotropic absorber ซึ่ง Mitchell ทำการคำนวณวัสดุแบบ 2 มิติและใช้วิธี FEM

จุฬาลงกรณ์มหาวิทยาลัย



รูปที่ ๓.5.วัสดุดูดซับแบบแอนไอโซทรอปิกนำมาใช้กับวัสดุแอนไอโซทรอปิกที่มีลักษณะ 2 มิติที่มีการลดทอนในทิศทาง  $z$  (1มิติ) นำเสนอโดย Mitchell et al., 1999

Mitchell ให้ค่า  $a, c$  มีค่าเช่นเดียวกับที่ Sack เสนอคือ  $a = \alpha - j\beta$  และ  $c = \frac{1}{a}$

Cucinotta et al., 1999 นำ PML แบบวัสดุดูดซับแบบแอนไอโซทรอปิกของ Wu มาใช้ในงาน Full vector FEBPM, Selleri, Vincetti and Zoboli., 2000 งานของ Mitchell มาขยายต่อในวัสดุแอนไอโซทรอปิกแบบ 3 มิติโดยใช้ในงาน Full Vector FEBPM วัสดุแอนไอโซทรอปิก และใช้หลักการเดียวกับที่ Wu เสนอในการขยายงานจากวัสดุ 2 มิติเป็น 3 มิติ

## ๓.2 สรุป

จากที่ได้นำเสนองาน PML ทั้ง 3 แบบ พบว่าวิธีที่สามารถนำมาใช้ได้ดีกับวิธี FEBPM คือ วิธีแปลงตัวแปร กับ วิธีวัสดุดูดซับแบบแอนไอโซทรอปิก นอกจากนั้นถ้าสังเกตให้ดีพบว่าวิธีทั้งสองนี้มีความคล้ายคลึงกันมาก โดยพิจารณาจากงานของ Teixeira and Chew, 1998 ในรูปทั่วไปจะสอดคล้องกับวิธีของ Mitchell et al., 1999 เมื่อพิจารณานวัสดุแอนไอโซทรอปิกที่มีเฉพาะแกนกลาง (diagonal) พบว่าจะได้สูตรของ PML เป็นสูตรเดียวกัน ในงานวิทยานิพนธ์นี้ใช้ทั้งแบบแปลงตัวแปรและแบบวัสดุดูดซับแบบแอนไอโซทรอปิก โดยเลือกค่าพารามิเตอร์ต่างๆที่เสนอในงานต่างๆนำมาใช้งาน

## ภาคผนวก จ

### การพิสูจน์สมการสเกลาร์ไฟไนต์อีลีเมนต์ปริมพอพาเกชัน ในวัสดุแอนไอโซทรอปิก

Koshiba, Hayata, and Suzuki., 1984 เสนอการใช้การประมาณสมการสเกลาร์ในการวิเคราะห์สนามในวัสดุแอนไอโซทรอปิก โดย Koshiba et al. อาศัยการพิจารณาสนามไฟฟ้า  $E$  และ สนามแม่เหล็ก  $H$  คำนวณไปพร้อมกัน ทำให้สามารถหาคำตอบที่ปราศจากผลเฉลยปลอมเพิ่มได้ Tsuji, Koshiba, and Takimoto, 1999 นำสมการที่ Koshiba et al. เสนอมาใช้ในการคำนวณในงาน ปริมพอพาเกชันในวัสดุแอนไอโซทรอปิก ภาคผนวกนี้จะทำการพิสูจน์ที่มาของสมการสเกลาร์ไฟไนต์อีลีเมนต์ปริมพอพาเกชันโดยพิจารณาในท่อนำคลื่นแสงที่มีสภาพยอมไฟฟ้าแปรตามทิศทาง  $\epsilon = [\epsilon]$  และสภาพซึมได้คงที่  $\mu = \mu_0$  เริ่มการคำนวณโดยกระจายสมการแมกซ์เวลล์ในรูป  $x, y, z$

$$\frac{\partial E_z}{\partial y} + j\beta E_y = -j\omega\mu_0 H_x \quad (จ.1.1)$$

$$-j\beta E_x - \frac{\partial E_z}{\partial x} = -j\omega\mu_0 H_y \quad (จ.1.2)$$

$$\frac{\partial E_y}{\partial x} - \frac{\partial E_x}{\partial y} = -j\omega\mu_0 H_z \quad (จ.1.3)$$

$$\frac{\partial H_z}{\partial y} + j\beta H_y = j\omega D_x \quad (จ.1.4)$$

$$-j\beta H_x - \frac{\partial H_z}{\partial x} = j\omega D_y \quad (จ.1.5)$$

$$\frac{\partial H_y}{\partial x} - \frac{\partial H_x}{\partial y} = j\omega D_z \quad (จ.1.6)$$

$$H_z = \frac{1}{j\beta} \left( \frac{\partial H_x}{\partial x} + \frac{\partial H_y}{\partial y} \right) \quad (จ.1.7)$$

$$D_z = \frac{1}{j\beta} \left( \frac{\partial D_x}{\partial x} + \frac{\partial D_y}{\partial y} \right) \quad (จ.1.8)$$

$$\text{โดย } \frac{\partial}{\partial z} = -j\beta$$

$$D_x = \varepsilon_0 (\varepsilon_{xx} E_x + \varepsilon_{xy} E_y + \varepsilon_{xz} E_z) \quad (\text{จ.2.1})$$

$$D_y = \varepsilon_0 (\varepsilon_{yx} E_x + \varepsilon_{yy} E_y + \varepsilon_{yz} E_z) \quad (\text{จ.2.2})$$

$$D_z = \varepsilon_0 (\varepsilon_{zx} E_x + \varepsilon_{zy} E_y + \varepsilon_{zz} E_z) \quad (\text{จ.2.3})$$

การประมาณจะพิจารณาสภาพยอมไฟฟ้าที่ไม่อยู่ในแนวแท่งมุมคู่กับเทอมที่อนุพันธ์เทียบกับ  $x$  ให้เป็นศูนย์

$$\varepsilon_{ij} \frac{\partial}{\partial x} \approx 0 \quad \text{ถ้า } i \neq j \quad (\text{จ.3})$$

หาค่า  $H_y$  โดยพิจารณาสมการ (จ.1.2) เขียนได้ดังนี้

$$H_y = \frac{1}{j\omega\mu_0} \left( j\beta E_x + \frac{\partial E_z}{\partial x} \right) \quad (\text{จ.4})$$

แทน  $E_z$  ด้วยสมการ (จ.2.3) ลงในสมการ (จ.4) โดยใช้การประมาณตามสมการ (จ.3) ทำให้เขียนได้เป็น

$$H_y = \frac{1}{j\omega\mu_0} \left( j\beta E_x + \frac{1}{\varepsilon_0 \varepsilon_{zz}} \frac{\partial D_z}{\partial x} \right) \quad (\text{จ.5})$$

แทน  $D_z$  จากสมการ (จ.1.8) ลงในสมการ (จ.5) เขียน  $H_y$  ได้เป็น

$$H_y = \frac{1}{j\omega\varepsilon_0} \left( j\beta E_x + \frac{1}{j\beta\varepsilon_{zz}} \frac{\partial}{\partial x} \left( \varepsilon_{xx} \frac{\partial E_x}{\partial x} + \varepsilon_{yy} \frac{\partial E_y}{\partial y} \right) \right) \quad (\text{จ.6})$$

หาค่า  $H_z$  โดยพิจารณาสมการ (จ.1.3) เขียนได้ดังนี้

$$H_z = \frac{1}{j\omega\mu_0} \left( \frac{\partial E_x}{\partial y} - \frac{\partial E_y}{\partial x} \right) \quad (\text{จ.7})$$

หาค่า  $E_y$  โดยพิจารณาสมการ (จ.1.5)-(จ.1.6) โดยกำจัดเทอมที่มี  $E_z$  ออกเขียนได้

ดังนี้

$$E_y = -\frac{1}{j\omega\epsilon_0} \frac{1}{\sigma_1} \left( j\beta\epsilon_{zz}H_x + \epsilon_{zz} \frac{\partial H_z}{\partial x} - \epsilon_{yz} \frac{\partial H_x}{\partial y} \right) - \frac{\sigma_2}{\sigma_1} E_x \quad (9.8)$$

ค่า  $\sigma_1 - \sigma_5$  นิยามตามสมการ (3.25)

แทน  $H_z$  จากสมการ (9.1.7) ลงไปในสมการ (9.8) ดังนั้น  $E_y$  เขียนได้ดังนี้

$$E_y = -\frac{1}{j\omega\mu_0\sigma_1} \left[ j\beta\epsilon_{zz}H_x + \frac{\epsilon_{zz}}{j\beta} \frac{\partial}{\partial x} \left( \frac{\partial H_x}{\partial x} + \frac{\partial H_y}{\partial y} \right) - \epsilon_{yz} \frac{\partial H_x}{\partial y} \right] - \frac{\sigma_2}{\sigma_1} E_x \quad (9.9)$$

หาค่า  $E_z$  โดยพิจารณาสมการ (9.1.5)-(9.1.6) โดยกำจัดเทอมที่มี  $E_y$  ออกเขียนได้ดังนี้

$$E_z = -\frac{1}{j\omega\epsilon_0\sigma_1} \left( \epsilon_{yy} \frac{\partial H_x}{\partial y} - \epsilon_{yy} \frac{\partial H_y}{\partial x} - j\beta\epsilon_{zy}H_x \right) - \frac{\sigma_3}{\sigma_1} E_x \quad (9.10)$$

นำค่า  $H_y, H_z, E_y, E_z$  ที่หาได้จากสมการ (9.6), (9.7), (9.9), (9.10) แทนลงในสมการ (9.1.4) เขียนได้ดังนี้

$$\frac{\partial H_z}{\partial y} + j\beta H_y = j\omega\epsilon_0 (\epsilon_{xx}E_x + \epsilon_{yy}E_y + \epsilon_{zz}E_z) \quad (9.11)$$

$$\begin{aligned} & \frac{\partial}{\partial y} \left( \frac{1}{j\omega\mu_0} \left( \frac{\partial E_x}{\partial y} - \frac{\partial E_y}{\partial x} \right) \right) + j\beta \left( \frac{1}{j\omega\mu_0} \left( j\beta E_x + \frac{1}{j\beta\epsilon_{zz}} \frac{\partial}{\partial x} \left( \epsilon_{xx} \frac{\partial E_x}{\partial x} + \epsilon_{yy} \frac{\partial E_y}{\partial y} \right) \right) \right) \\ & = j\omega\epsilon_0 \left\{ \epsilon_{xx}E_x + \epsilon_{yy} \left[ -\frac{1}{j\omega\epsilon_0\sigma_1} \left( j\beta\epsilon_{zz}H_x + \frac{\epsilon_{zz}}{j\beta} \frac{\partial}{\partial x} \left( \frac{\partial H_x}{\partial x} + \frac{\partial H_y}{\partial y} \right) - \epsilon_{yz} \frac{\partial H_x}{\partial y} \right) - \frac{\sigma_2}{\sigma_1} E_x \right] \right\} \end{aligned}$$

$$+ \epsilon_{xz} \left[ -\frac{1}{j\omega\epsilon_0\sigma_1} \left( \epsilon_{yy} \frac{\partial H_x}{\partial y} - \epsilon_{yy} \frac{\partial H_y}{\partial x} - j\beta\epsilon_{zy}H_x \right) - \frac{\sigma_3}{\sigma_1} E_x \right] \quad (9.12)$$

ประเภทที่เป็น  $\varepsilon_{ij} \frac{\partial}{\partial x} \approx 0$  เมื่อ  $i \neq j$  เขียนสมการ (จ.12) ได้ดังนี้

$$\begin{aligned} & \frac{\partial}{\partial y} \left( \frac{1}{j\omega\mu_0} \left( \frac{\partial E_x}{\partial y} - \frac{\partial E_y}{\partial x} \right) \right) + j\beta \left( \frac{1}{j\omega\mu_0} \left( j\beta E_x + \frac{1}{j\beta\varepsilon_{zz}} \frac{\partial}{\partial x} \left( \varepsilon_{xx} \frac{\partial E_x}{\partial x} + \varepsilon_{yy} \frac{\partial E_y}{\partial y} \right) \right) \right) \\ &= j\omega\varepsilon_0 \{ \varepsilon_{xx} E_x + \varepsilon_{xy} \left[ -\frac{1}{j\omega\varepsilon_0\sigma_1} \left( j\beta\varepsilon_{zz} H_x - \varepsilon_{yz} \frac{\partial H_x}{\partial y} \right) - \frac{\sigma_2}{\sigma_1} E_x \right] \right. \\ & \left. + \varepsilon_{xz} \left[ -\frac{1}{j\omega\varepsilon_0\sigma_1} \left( \varepsilon_{yy} \frac{\partial H_x}{\partial y} - j\beta\varepsilon_{zy} H_x \right) - \frac{\sigma_3}{\sigma_1} E_x \right] \right\} \end{aligned} \quad (จ.13)$$

เมื่อเป็น TE โมด สนามหลักคือ  $E_x$  และ  $H_y$  ดังนั้นประมาณ  $E_y$  เป็นศูนย์เขียนสมการ (จ.13) เป็น

$$\begin{aligned} & \frac{\partial}{\partial y} \left( \frac{1}{j\omega\mu_0} \left( \frac{\partial E_x}{\partial y} \right) \right) + j\beta \left( \frac{1}{j\omega\mu_0} \left( j\beta E_x + \frac{1}{j\beta\varepsilon_{zz}} \frac{\partial}{\partial x} \left( \varepsilon_{xx} \frac{\partial E_x}{\partial x} \right) \right) \right) \\ &= j\omega\varepsilon_0 \{ \varepsilon_{xx} E_x + \varepsilon_{xy} \left[ -\frac{1}{j\omega\varepsilon_0\sigma_1} \left( j\beta H_x - \varepsilon_{yz} \frac{\partial H_x}{\partial y} \right) - \frac{\sigma_2 E_x}{\sigma_1} \right] \right. \\ & \left. + \varepsilon_{xz} \left[ -\frac{1}{j\omega\varepsilon_0\sigma_1} \left( \varepsilon_{yy} \frac{\partial H_x}{\partial y} - j\beta\varepsilon_{zy} H_x \right) - \frac{\sigma_3}{\sigma_1} E_x \right] \right\} \end{aligned} \quad (จ.14)$$

คูณ  $j\omega\mu_0$  เข้าไปในสมการ (จ.14) ตลอด และ  $\omega^2 \mu_0 \varepsilon_0 = k_0^2$

$$\begin{aligned} & \frac{\partial}{\partial y} \left( \frac{\partial E_x}{\partial y} \right) + \frac{\varepsilon_{xx}}{\varepsilon_{zz}} \frac{\partial}{\partial x} \left( \frac{\partial E_x}{\partial x} \right) - \beta^2 E_x \\ &= -k_0^2 \varepsilon_{xx} E_x + \frac{\varepsilon_{xy}}{\sigma_1} \varepsilon_{zz} \beta \omega \mu_0 H_x + j \frac{\varepsilon_{xy} \varepsilon_{yz}}{\sigma_1} \omega \mu_0 \frac{\partial H_x}{\partial y} + \varepsilon_{xy} \frac{\sigma_2}{\sigma_1} k_0^2 E_x \\ & \quad - j \frac{\varepsilon_{xz} \varepsilon_{yy}}{\sigma_1} \omega \mu_0 \frac{\partial H_x}{\partial y} - \frac{\varepsilon_{xz} \varepsilon_{zy} \beta \omega \mu_0}{\sigma_1} H_x + \frac{\varepsilon_{xz} \sigma_3 k_0^2}{\sigma_1} E_x \end{aligned} \quad (จ.15)$$

จัดรูปสมการ (จ.15) ได้เป็น

$$\begin{aligned} & \frac{\varepsilon_{xx}}{\varepsilon_{zz}} \frac{\partial}{\partial x} \left( \frac{\partial E_x}{\partial x} \right) + \frac{\partial}{\partial y} \left( \frac{\partial E_y}{\partial y} \right) + \left( k_0^2 \left( \varepsilon_{xx} - \varepsilon_{xy} \frac{\sigma_2}{\sigma_1} - \varepsilon_{xz} \frac{\sigma_3}{\sigma_1} \right) - \beta^2 \right) E_x \\ & - \beta \frac{\sigma_4}{\sigma_1} \omega \mu_0 H_x + j \frac{\sigma_5}{\sigma_1} \omega \mu_0 \frac{\partial H_x}{\partial y} = 0 \quad (\text{จ.16}) \end{aligned}$$

สมการ (จ.16) เป็นสมการของ  $TE$  โมด โดยมีสนามหลักคือ  $E_x$

เราจะเริ่มทำการพิจารณา  $TM$  โมดบ้างโดยการแทนสมการ (จ.1.1) ด้วย  $E_z$  ที่หาได้จากสมการ (จ.10)  $E_y$  ที่หาได้จากสมการ (จ.9) ดังนี้

$$\begin{aligned} & \frac{\partial}{\partial y} \left( -\frac{1}{j\omega\varepsilon_0\sigma_1} \left( \varepsilon_{yy} \frac{\partial H_x}{\partial y} - \varepsilon_{yy} \frac{\partial H_y}{\partial x} - j\beta\varepsilon_{zy} H_x \right) - \frac{\sigma_3}{\sigma_1} E_x \right) \\ & + j\beta \left( -\frac{1}{j\omega\varepsilon_0\sigma_1} \left( j\beta\varepsilon_{zz} H_x + \frac{\varepsilon_{zz}}{j\beta} \frac{\partial}{\partial x} \left( \frac{\partial H_x}{\partial x} + \frac{\partial H_y}{\partial y} \right) - \varepsilon_{yz} \frac{\partial H_x}{\partial y} \right) - \frac{\sigma_2}{\sigma_1} E_x \right) \\ & = -j\omega\mu_0 H_x \quad (\text{จ.17}) \end{aligned}$$

เมื่อเป็น  $TM$  โมดดังนั้นสนามหลักคือ  $H_x$  และ  $E_y$  ดังนั้น  $H_y = 0$  เขียนสมการ (จ.17) ได้เป็น

$$\begin{aligned} & \frac{\partial}{\partial y} \left( -\frac{1}{j\omega\varepsilon_0\sigma_1} \left( \varepsilon_{yy} \frac{\partial H_x}{\partial y} - j\beta\varepsilon_{zy} H_x \right) - \frac{\sigma_3}{\sigma_1} E_x \right) \\ & + j\beta \left( -\frac{1}{j\omega\varepsilon_0\sigma_1} \left( j\beta\varepsilon_{zz} H_x + \frac{\varepsilon_{zz}}{j\beta} \frac{\partial}{\partial x} \left( \frac{\partial H_x}{\partial x} \right) - \varepsilon_{yz} \frac{\partial H_x}{\partial y} \right) - \frac{\sigma_2}{\sigma_1} E_x \right) \\ & = -j\omega\mu_0 H_x \quad (\text{จ.18}) \end{aligned}$$

คูณ  $j\omega\varepsilon_0$  ในสมการ (จ.18) ตลอด และจาก  $\omega^2 \mu_0 \varepsilon_0 = k_0^2$  ดังนั้นเขียนได้ดังนี้

$$\begin{aligned} & \frac{\varepsilon_{zz}}{\sigma_1} \frac{\partial}{\partial x} \left( \frac{\partial H_x}{\partial x} \right) + \frac{\varepsilon_{yy}}{\sigma_1} \frac{\partial}{\partial y} \left( \frac{\partial H_x}{\partial y} \right) - \frac{\varepsilon_{zz}}{\sigma_1} \beta^2 H_x + k_0^2 H_x - j\beta \frac{\varepsilon_{zy}}{\sigma_1} \frac{\partial H_x}{\partial y} - j\beta \frac{\varepsilon_{yz}}{\sigma_1} \frac{\partial H_x}{\partial y} \\ & - \omega\varepsilon_0\beta \frac{\sigma_2}{\sigma_1} E_x + j\omega\varepsilon_0 \frac{\sigma_3}{\sigma_1} \frac{\partial E_x}{\partial y} = 0 \quad (\text{จ.19}) \end{aligned}$$

สมการ (จ.19) เป็นโมด  $TM$  โมด

สมการ (จ.16) และ (จ.19) เป็น สมการในท่อนำคลื่น 2 มิติเท่านั้น ในขณะที่เมื่อต้องการพิจารณา ท่อนำคลื่น 3 มิติเราสามารถแปลงสมการดังนี้  $-j\beta = \frac{\nu}{\partial z}$  และ  $-\beta^2 = \frac{\nu}{\partial z^2}$  ดังนั้น(จ.16)เขียนได้ เป็นสมการ (จ.20) และ สมการ (จ.19) เขียนได้เป็นสมการ (จ.21)

$$\frac{\partial}{\partial z} \left( \frac{\partial E_x}{\partial z} \right) + \frac{\epsilon_{xx}}{\epsilon_{zz}} \frac{\partial}{\partial x} \left( \frac{\partial E_x}{\partial x} \right) + \frac{\partial}{\partial y} \left( \frac{\partial E_y}{\partial y} \right) + \left( k_0^2 \left( \epsilon_{xx} - \epsilon_{xy} \frac{\sigma_2}{\sigma_1} - \epsilon_{xz} \frac{\sigma_3}{\sigma_1} \right) \right) E_x - j \frac{\sigma_4}{\sigma_1} \omega \mu_0 \frac{\partial H_x}{\partial z} + j \frac{\sigma_5}{\sigma_1} \omega \mu_0 \frac{\partial H_x}{\partial y} = 0 \quad (\text{จ.20})$$

$$\frac{\epsilon_{zz}}{\sigma_1} \frac{\partial^2 H_x}{\partial z^2} + \frac{\epsilon_{zz}}{\sigma_1} \frac{\partial}{\partial x} \left( \frac{\partial H_x}{\partial x} \right) + \frac{\epsilon_{yy}}{\sigma_1} \frac{\partial}{\partial y} \left( \frac{\partial H_x}{\partial y} \right) + k_0^2 H_x + \frac{\epsilon_{zy}}{\sigma_1} \frac{\partial}{\partial y} \left( \frac{\partial H_z}{\partial z} \right) + \frac{\epsilon_{yz}}{\sigma_1} \frac{\partial}{\partial z} \left( \frac{\partial H_x}{\partial y} \right) - j \omega \epsilon_0 \frac{\sigma_2}{\sigma_1} \frac{\partial E_x}{\partial z} + j \omega \epsilon_0 \frac{\sigma_3}{\sigma_1} \frac{\partial E_x}{\partial y} = 0 \quad (\text{จ.21})$$

สมการ (จ.20) และ (จ.21) คือสมการสเกลาร์ของโหมด  $TE$  และ  $TM$  ในการพิจารณาท่อนำคลื่น 3 มิติตามลำดับ โดยเราจะใช้สมการทั้งสองนี้ในการคำนวณด้วยวิธีสเกลาร์ปริมาตรพหุคูณในบทที่3 ต่อไป



ภาคผนวก จ

การพิสูจน์สมการเวกเตอร์ไฟไนต์อีลีเมนต์บิมพรอพาเกชัน  
ในท่อนำคลื่นแสงแบบแอนไอโซทรอปิก

ภาคผนวกนี้จะทำการวิเคราะห์สมการคลื่นที่มีสภาพยอมไฟฟ้าแปรตามทิศทาง  $\epsilon = [\epsilon]$  และสภาพซึมได้แปรตามทิศทาง  $\mu = [\mu]$  เริ่มจากสมการคลื่นแบบเวกเตอร์

$$\nabla \times ([p]\nabla \times \Phi) - k_0^2 [q]\Phi = 0 \quad (จ.1)$$

ถ้า  $\Phi = E$

$$[p] = \begin{bmatrix} p_{xx} & p_{xy} & p_{xz} \\ p_{yx} & p_{yy} & p_{yz} \\ p_{zx} & p_{zy} & p_{zz} \end{bmatrix} = \begin{bmatrix} \frac{s_y s_z}{s_x} & 0 & 0 \\ 0 & \frac{s_z s_x}{s_y} & 0 \\ 0 & 0 & \frac{s_x s_y}{s_z} \end{bmatrix}^{-1} \quad (จ.2.1)$$

$$[q] = \begin{bmatrix} q_{xx} & q_{xy} & q_{xz} \\ q_{yx} & q_{yy} & q_{yz} \\ q_{zx} & q_{zy} & q_{zz} \end{bmatrix} = \begin{bmatrix} \frac{s_y s_z}{s_x} \epsilon_{xx} & s_z \epsilon_{xy} & s_y \epsilon_{xz} \\ s_z \epsilon_{yx} & \frac{s_z s_x}{s_y} \epsilon_{yy} & s_x \epsilon_{yz} \\ s_y \epsilon_{zx} & s_x \epsilon_{zy} & \frac{s_x s_y}{s_z} \epsilon_{zz} \end{bmatrix} \quad (จ.2.2)$$

ถ้า  $\Phi = H$

$$[p] = \begin{bmatrix} p_{xx} & p_{xy} & p_{xz} \\ p_{yx} & p_{yy} & p_{yz} \\ p_{zx} & p_{zy} & p_{zz} \end{bmatrix} = \begin{bmatrix} \frac{s_y s_z}{s_x} \epsilon_{xx} & s_z \epsilon_{xy} & s_y \epsilon_{xz} \\ s_z \epsilon_{yx} & \frac{s_z s_x}{s_y} \epsilon_{yy} & s_x \epsilon_{yz} \\ s_y \epsilon_{zx} & s_x \epsilon_{zy} & \frac{s_x s_y}{s_z} \epsilon_{zz} \end{bmatrix}^{-1} \quad (จ.2.3)$$

$$[q] = \begin{bmatrix} q_{xx} & q_{xy} & q_{xz} \\ q_{yx} & q_{yy} & q_{yz} \\ q_{zx} & q_{zy} & q_{zz} \end{bmatrix} = \begin{bmatrix} \frac{s_y s_z}{s_x} & 0 & 0 \\ 0 & \frac{s_z s_x}{s_y} & 0 \\ 0 & 0 & \frac{s_x s_y}{s_z} \end{bmatrix} \quad (\text{จ.2.4})$$

โดย  $s_x, s_y, s_z$  คือสัมประสิทธิ์ PML

พิจารณา  $\nabla \times \Phi$

$$\nabla \times \Phi = \left[ \frac{\partial \Phi_z}{\partial y} - \frac{\partial \Phi_y}{\partial z} \right] \vec{a}_x + \left[ \frac{\partial \Phi_x}{\partial z} - \frac{\partial \Phi_z}{\partial x} \right] \vec{a}_y + \left[ \frac{\partial \Phi_y}{\partial x} - \frac{\partial \Phi_x}{\partial y} \right] \vec{a}_z \quad (\text{จ.3})$$

$([p]\nabla \times \Phi)$

$$\begin{aligned} &= \left( p_{xx} \left[ \frac{\partial \Phi_z}{\partial y} - \frac{\partial \Phi_y}{\partial z} \right] + p_{xy} \left[ \frac{\partial \Phi_x}{\partial z} - \frac{\partial \Phi_z}{\partial x} \right] + p_{xz} \left[ \frac{\partial \Phi_y}{\partial x} - \frac{\partial \Phi_x}{\partial y} \right] \right) \vec{a}_x \\ &+ \left( p_{yx} \left[ \frac{\partial \Phi_z}{\partial y} - \frac{\partial \Phi_y}{\partial z} \right] + p_{yy} \left[ \frac{\partial \Phi_x}{\partial z} - \frac{\partial \Phi_z}{\partial x} \right] + p_{yz} \left[ \frac{\partial \Phi_y}{\partial x} - \frac{\partial \Phi_x}{\partial y} \right] \right) \vec{a}_y \\ &+ \left( p_{zx} \left[ \frac{\partial \Phi_z}{\partial y} - \frac{\partial \Phi_y}{\partial z} \right] + p_{zy} \left[ \frac{\partial \Phi_x}{\partial z} - \frac{\partial \Phi_z}{\partial x} \right] + p_{zz} \left[ \frac{\partial \Phi_y}{\partial x} - \frac{\partial \Phi_x}{\partial y} \right] \right) \vec{a}_z \end{aligned} \quad (\text{จ.4})$$

$\nabla \times ([p]\nabla \times \Phi) =$

$$\begin{aligned} &\left( p_{xx} \frac{\partial}{\partial y} \frac{\partial \Phi_z}{\partial y} - p_{xx} \frac{\partial}{\partial y} \frac{\partial \Phi_y}{\partial z} + p_{xy} \frac{\partial}{\partial y} \frac{\partial \Phi_x}{\partial z} - p_{xy} \frac{\partial}{\partial y} \frac{\partial \Phi_z}{\partial x} + p_{xz} \frac{\partial}{\partial y} \frac{\partial \Phi_y}{\partial x} - p_{xz} \frac{\partial}{\partial y} \frac{\partial \Phi_x}{\partial y} \right) \vec{a}_x \\ &- \left[ p_{yx} \frac{\partial}{\partial z} \frac{\partial \Phi_z}{\partial y} - p_{yx} \frac{\partial}{\partial z} \frac{\partial \Phi_y}{\partial z} + p_{yy} \frac{\partial}{\partial z} \frac{\partial \Phi_x}{\partial z} - p_{yy} \frac{\partial}{\partial z} \frac{\partial \Phi_z}{\partial x} + p_{yz} \frac{\partial}{\partial z} \frac{\partial \Phi_y}{\partial x} - p_{yz} \frac{\partial}{\partial z} \frac{\partial \Phi_x}{\partial y} \right] \vec{a}_x \\ &\left( p_{xx} \frac{\partial}{\partial z} \frac{\partial \Phi_z}{\partial y} - p_{xx} \frac{\partial}{\partial z} \frac{\partial \Phi_y}{\partial z} + p_{xy} \frac{\partial}{\partial z} \frac{\partial \Phi_x}{\partial z} - p_{xy} \frac{\partial}{\partial z} \frac{\partial \Phi_z}{\partial x} + p_{xz} \frac{\partial}{\partial z} \frac{\partial \Phi_y}{\partial x} - p_{xz} \frac{\partial}{\partial z} \frac{\partial \Phi_x}{\partial y} \right) \vec{a}_y \\ &- \left[ p_{zx} \frac{\partial}{\partial x} \frac{\partial \Phi_z}{\partial y} - p_{zx} \frac{\partial}{\partial x} \frac{\partial \Phi_y}{\partial z} + p_{zy} \frac{\partial}{\partial x} \frac{\partial \Phi_x}{\partial z} - p_{zy} \frac{\partial}{\partial x} \frac{\partial \Phi_z}{\partial x} + p_{zz} \frac{\partial}{\partial x} \frac{\partial \Phi_y}{\partial x} - p_{zz} \frac{\partial}{\partial x} \frac{\partial \Phi_x}{\partial y} \right] \vec{a}_y \end{aligned}$$

$$\begin{aligned} & \left( p_{yx} \frac{\partial}{\partial x} \frac{\partial \Phi_z}{\partial y} - p_{yx} \frac{\partial}{\partial x} \frac{\partial \Phi_y}{\partial z} + p_{yy} \frac{\partial}{\partial x} \frac{\partial \Phi_x}{\partial z} - p_{yy} \frac{\partial}{\partial x} \frac{\partial \Phi_z}{\partial x} + p_{yz} \frac{\partial}{\partial x} \frac{\partial \Phi_y}{\partial x} - p_{yz} \frac{\partial}{\partial x} \frac{\partial \Phi_x}{\partial y} \right) \vec{a}_z \\ & - \left[ p_{xx} \frac{\partial}{\partial y} \frac{\partial \Phi_z}{\partial y} - p_{xx} \frac{\partial}{\partial y} \frac{\partial \Phi_y}{\partial z} + p_{xy} \frac{\partial}{\partial y} \frac{\partial \Phi_x}{\partial z} - p_{xy} \frac{\partial}{\partial y} \frac{\partial \Phi_z}{\partial x} + p_{xz} \frac{\partial}{\partial y} \frac{\partial \Phi_y}{\partial x} - p_{xz} \frac{\partial}{\partial y} \frac{\partial \Phi_x}{\partial y} \right] \vec{a}_z \end{aligned} \quad (9.5)$$

เขียนในรูปเมทริกซ์ได้ดังนี้

$$\begin{aligned} & [A] \frac{\partial}{\partial z} \frac{\partial \Phi}{\partial z} + [B_x] \frac{\partial}{\partial z} \frac{\partial \Phi}{\partial x} + [B_y] \frac{\partial}{\partial z} \frac{\partial \Phi}{\partial y} + \frac{\partial}{\partial x} \left\{ [C_x] \frac{\partial}{\partial z} + [D_x] \frac{\partial}{\partial x} + [E_x] \frac{\partial}{\partial y} \right\} \Phi \\ & + \frac{\partial}{\partial y} \left\{ [C_y] \frac{\partial}{\partial z} + [E_y] \frac{\partial}{\partial x} + [D_y] \frac{\partial}{\partial y} \right\} \Phi + k_0^2 [q] \Phi = 0 \end{aligned} \quad (9.6)$$

$$\Phi = [\Phi_x \ \Phi_y \ \Phi_z]^T$$

$$[A] = \begin{bmatrix} -p_{yy} & p_{yx} & 0 \\ p_{xy} & -p_{xx} & 0 \\ 0 & 0 & 0 \end{bmatrix} \quad (9.7.1) \quad [D_x] = \begin{bmatrix} 0 & 0 & 0 \\ 0 & -p_{zz} & p_{zy} \\ 0 & p_{yz} & -p_{yy} \end{bmatrix} \quad (9.7.6)$$

$$[B_x] = \begin{bmatrix} 0 & -p_{yz} & p_{yy} \\ 0 & p_{xz} & -p_{xy} \\ 0 & 0 & 0 \end{bmatrix} \quad (9.7.2) \quad [D_y] = \begin{bmatrix} -p_{zz} & 0 & p_{zx} \\ 0 & 0 & 0 \\ p_{xz} & 0 & -p_{xx} \end{bmatrix} \quad (9.7.7)$$

$$[B_y] = \begin{bmatrix} p_{yz} & 0 & -p_{yx} \\ -p_{xz} & 0 & p_{xx} \\ 0 & 0 & 0 \end{bmatrix} \quad (9.7.3) \quad [E_x] = \begin{bmatrix} 0 & 0 & 0 \\ p_{zz} & 0 & -p_{zx} \\ -p_{yz} & 0 & p_{yx} \end{bmatrix} \quad (9.7.8)$$

$$[C_x] = \begin{bmatrix} 0 & 0 & 0 \\ -p_{zy} & p_{zx} & 0 \\ p_{yy} & -p_{yx} & 0 \end{bmatrix} \quad (9.7.4) \quad [E_y] = \begin{bmatrix} 0 & p_{zz} & -p_{zy} \\ 0 & 0 & 0 \\ 0 & -p_{xz} & p_{xy} \end{bmatrix} \quad (9.7.9)$$

$$[C_y] = \begin{bmatrix} p_{zy} & -p_{zx} & 0 \\ 0 & 0 & 0 \\ -p_{xy} & p_{xx} & 0 \end{bmatrix} \quad (9.7.5)$$

ให้คำตอบของสมการอยู่ในรูปดังนี้

$$\begin{aligned}\Phi(x, y, z) = & \phi_x(x, y, z)\exp(-jk_0n_0z)\vec{a}_x \\ & + \phi_y(x, y, z)\exp(-jk_0n_0z)\vec{a}_y \\ & + \phi_z(x, y, z)\exp(-jk_0n_0z)\vec{a}_z\end{aligned}\quad (\text{ข.8})$$

แทนสมการ (ข.8) ลงในสมการ (ข.6) จัดรูปสมการได้ดังนี้

$$\begin{aligned}& [A]\left(\frac{\partial^2}{\partial z^2} - 2jk_0n_0\frac{\partial}{\partial z} - k_0^2n_0^2\right)\phi \\ & + [B_x]\left(\frac{\partial}{\partial z} - jk_0n_0\right)\frac{\partial\phi}{\partial x} + [B_y]\left(\frac{\partial}{\partial z} - jk_0n_0\right)\frac{\partial\phi}{\partial y} \\ & + \frac{\partial}{\partial x}\left\{[C_x]\left(\frac{\partial}{\partial z} - jk_0n_0\right) + [D_x]\frac{\partial}{\partial x} + [E_x]\frac{\partial}{\partial y}\right\}\phi \\ & + \frac{\partial}{\partial y}\left\{[C_y]\left(\frac{\partial}{\partial z} - jk_0n_0\right) + [E_y]\frac{\partial}{\partial x} + [D_y]\frac{\partial}{\partial y}\right\}\phi + k_0^2[q]\phi = 0\end{aligned}\quad (\text{ข.9})$$

สมการ (ข.9) เป็นสมการคลื่นในรูปเวกเตอร์โดยสามารถนำไปใช้ในการคำนวณด้วยวิธีไฟไนต์อีลีเมนต์ปีมพรอพาเกชันต่อไป

## ประวัติผู้เขียนวิทยานิพนธ์

นาย สุรพัชร์ เจริญยิ่ง เกิดวันที่ 6 กรกฎาคม พ.ศ. 2515 จ.กรุงเทพฯ สำเร็จการศึกษาปริญญาตรีวิศวกรรมศาสตรบัณฑิต สาขาวิศวกรรมไฟฟ้าสื่อสาร ภาควิชาวิศวกรรมไฟฟ้า คณะวิศวกรรมศาสตร์ มหาวิทยาลัย ธรรมศาสตร์ ในปีการศึกษา 2536 โดยฝึกงานภาคฤดูร้อน ที่บริษัท สามารถคอร์ปอเรชั่น จากนั้นเข้าทำงานใน บริษัท ไทยเทเลโฟนแอนด์เทเลคอมมิวนิเคชั่น จำกัด (มหาชน) ตำแหน่ง วิศวกร สายงาน office of Vice President ฝ่าย Implementation ปี พ.ศ. 2537 ระหว่างนั้นได้รับการอบรมระบบ O&M Transmission จากบริษัท NEC ประเทศ ญี่ปุ่น เป็นระยะเวลา 2 เดือน ระหว่างโครงการโทรศัพท์ เฟส 2 500,000 เลขหมาย ได้รับผิดชอบหน่วยงาน Project Control Office คอยควบคุมและประสานงานในพื้นที่เขต 9 จังหวัด สระบุรี ในปี พ.ศ. 2540 ได้เข้าร่วมงานกับ บ. สามารถคอมมิวนิเคชั่น เซอร์วิส จำกัด ในตำแหน่ง วิศวกร ในโครงการมโหรีโทรศัพท์สาธารณะทางไกลชนบทผ่านดาวเทียม ฝ่าย Project Management โดยได้รับผิดชอบในส่วน Network Management System เข้าศึกษาต่อในหลักสูตร วิศวกรรมศาสตรมหาบัณฑิต สาขาคลื่นแม่เหล็กไฟฟ้า ภาควิชา วิศวกรรมไฟฟ้า คณะวิศวกรรมศาสตร์ จุฬาลงกรณ์มหาวิทยาลัย เมื่อ ปี พ.ศ. 2541 ระหว่างนั้นในปี พ.ศ. 2544 ได้เดินทางไปนำเสนอผลงานเรื่อง Analysis of 3-Dimensional Optical Waveguides by the FE-BPM Based on Newmark Scheme and PML ในการประชุมทางวิชาการ AP-RASC'01 ที่มหาลัย ซูโฮ ณ.ประเทศ ญี่ปุ่น

สถาบันวิทยบริการ  
จุฬาลงกรณ์มหาวิทยาลัย